

ПРИРОДНО-МАТЕМАТИЧКИ ФАКУЛТЕТ НА УНИВЕРЗИТЕТОТ „КИРИЛ И МЕТОДИЈ“

EDITIONS SPÉCIALES, livre 1 (13)
ПОСЕБНИ ИЗДАНИЈА, книга 1 (18)

20/175

Љиљана ЈАНИЋИЈЕВИЋ

ТЕОРИЈА НА ДИФРАКЦИЈА НА СВЕТЛИНАТА
КАЈ ЛИНЕАРНАТА ЗОНСКА МРЕЖИЧКА

— ДОКТОРСКА ДИСЕРТАЦИЈА —

ОСНОВНА ОРГАНИЗАЦИЈА УДРУЖЕНОГ РАДА
ЗА МАТЕМАТИКУ, МЕХАНИКУ И АСТРОНОМИЈУ
БИБЛИОТЕКА

Број: факс. 111/1
Датум: 17. 6. 1981.

Скопје, 1973 година

Универзитетска печатница – Скопје

Ми причинува особено задоволство на овој начин најтопло да му се заблагодарам на својот водител Проф.Др.Јосип Мозер кој ми ја предложи работата на оваа тема и во текот на изработката ми укажуваше помош со своите драгоценни совети.

Голема благодарност ѝ должам на својата колешка Mr. Мирјана Јоноска чии дискусији ми беа мошне корисни.

Исто така би сакала да ѝ се заблагодарам и на колешката Mr. Димитра Карчицка за укажаната помош во врска со програмирањето на пресметките на некои делови од работата, вршени на електронски пресметнувач.

С О Д Р Ж И Н А

Стр.

- УВОД	1
Г Л А В А I.	
- СПЕЦИЈАЛИЗАЦИЈА НА ХАЈГЕНС-ФРЕНЕЛОВИОТ ПРИНЦИП ЗА ШИРЕЊЕ НА ЦИЛИНДРИЧНИТЕ БРА- НОВИ.....	10
- ДОБИВАЊЕ НА ЛИНЕАРНИ ЗОНСКИ МРЕЖИЧКИ.....	20
- ОСНОВНИ КАРАКТЕРИСТИКИ НА ЛИНЕАРНИТЕ ЗОНСКИ МРЕЖИЧКИ.....	25
- КОРНИЕВА МРЕЖИЧКА.....	28
- ЗАКЛУЧОК КОН ГЛАВА I.....	33
Г Л А В А II.	
- СПЕЦИЈАЛИЗАЦИЈА НА КИРХОФОВАТА ФОРМУЛА ЗА СЛУЧАЈ НА ДИФРАКЦИЈА НА ЦИЛИНДРИЧНИ БРАНОВИ.....	34
- ПРИМЕНА НА КИРХОФОВАТА ФОРМУЛА ЗА СЛУ- ЧАЈ НА ФРЕНЕЛОВА ДИФРАКЦИЈА КАЈ ЛИНЕАР- НАТА ЗОНСКА МРЕЖИЧКА.....	38
- РАСПОРЕД НА ИНТЕНЗИТЕТОТ НА ДИФРАКТИРА- НАТА СВЕТЛИНА ПО ОПТИЧКАТА ОСНА РАМНИНА.....	45
- РАСПОРЕД НА ИНТЕНЗИТЕТОТ НА ДИФРАКТИРА- НАТА СВЕТЛИНА ПО ОПТИЧКАТА ОСКА КАЈ НЕ- ГАТИВНА ЛИНЕАРНА ЗОНСКА МРЕЖИЧКА.....	49
- ИСПИТУВАЊЕ НА КАРАКТЕРОТ НА ГЛАВНИТЕ ЕКСТРЕМИ НА ИНТЕНЗИТЕТОТ ПО ОПТИЧКАТА ОСКА КАЈ НЕГАТИВНАТА ЛИНЕАРНА ЗОНСКА МРЕЖИЧКА.....	62

- ИСПИТУВАЊЕ НА ЕКСТРЕМИТЕ КАЈ ПО- ЗИТИВНА ЛИНЕАРНА ЗОНСКА МРЕЖИЧКА.....	70
- ДИСКУСИЈА ЗА ВРЕДНОСТА НА ИНТЕН- ЗИТЕТОТ ВО ГЛАВНИТЕ МИНИМУМИ И МАКСИМУМИ ВДОЛЖ ОПТИЧКАТА ОСКА.....	73
- ЗАВИСНОСТ НА ВРЕДНОСТА НА ИНТЕН- ЗИТЕТОТ ВО ПРВИОТ ГЛАВЕН МАКСИМУМ ОД БРОЈОТ НА ЗОНИТЕ НА МРЕЖИЧКАТА.....	77
- ВРЕДНОСТ НА ИНТЕНЗИТЕТОТ ВО ГЛАВ- НИТЕ МАКСИМУМИ ОД ПОВИСОК РЕД.....	82
- ИСПИТУВАЊЕ НА СПОРЕДНИТЕ ЕКСТРЕМИ НА ИНТЕНЗИТЕТОТ ПО ОПТИЧКАТА ОСКА НА ЛИНЕАРНАТА ЗОНСКА МРЕЖИЧКА.....	84
Г Л А В А III.	
- ПРИМЕНА НА ТЕОРИЈАТА ВРЗ ЕДЕН КОН- КРЕТЕН ПРИМЕР.....	91
Г Л А В А IV.	
- ДИФРАКЦИЈА НА РАМНИ БРАНОВИ КАЈ ЛИ- НЕАРНАТА ЗОНСКА МРЕЖИЧКА.....	121
Г Л А В А V.	
- ДИСПЕРЗИЈА И ХРОМАТСКА РАЗДЕЛНА СПОСОБНОСТ КАЈ ЛИНЕАРНАТА ЗОНСКА МРЕЖИЧКА.....	126
Г Л А В А VI.	
- РАСПОРЕД НА ИНТЕНЗИТЕТОТ ВО РАМНИНА- ТА НА ПРВИОТ ГЛАВЕН МАКСИМУМ.....	130
- ЗА РАЗДЕЛНАТА СПОСОБНОСТ НА ЛИНЕАР- НАТА ЗОНСКА МРЕЖИЧКА ВО УЛОГА НА ЦИЛИНДРИЧНА ЛЕЌА.....	147

- РАСПОРЕД НА ИНТЕНЗИТЕТОТ И РАЗДЕЛНА СПОСОБНОСТ ВО РАМНИНИТЕ НА ФОКУСИТЕ ОД ПОВИСОК РЕД.....	153
ГЛАВА УІ.	
- РАСПОРЕД НА ИНТЕНЗИТЕТОТ ВО РАМНИНИТЕ НА ГЛАВНИТЕ МИНИМУМИ КАЈ ЛИНЕАРНАТА ЗОНСКА МРЕЖИЧКА.....	157
ЗАКЛУЧОК.....	167
ДОДАТОК	
- ТАБЕЛА I ЗА ВРЕДНОСТИ НА ФУНКЦИИТЕ Q(*) И P(*)	171
ЦИТИРАНА ЛИТЕРАТУРА.....	172

У В О Д

Од појавата на првите зонски мрежички не дели период долг скоро сто години. Во 1875 год. францускиот физичар Сорé (Sorret L) [1] ги објави резултатите што ги добил при дифракција на кружната зонска мрежичка, која по него носи име Соретова дифракциона мрежичка. Тој ја конструирал како систем од наизменично пропусни и непропусни за светлината концентрични кружни прстени, чии рабови имаат радиуси $\tau\sqrt{m}$, каде m е цел број, а τ радиус на основниот круг. Геометријата на така конструираната мрежичка се должи на Френеловата теорија (Fresnel A.J) [2] за толкување на дифракцијата на светлината, според која, дифракционата слика е резултат на интерференцијата на бранувањата што потекнуваат од точките на фронтот на бранот кој стасал до дифракционата пукнатина, кој според Хајгенсовиот принцип треба да бидат третирани како елементарни бранови извори. Со цел да ја најде интерференцијата, Френел го дели фронтот на примарниот бран од точкастот извор на зони, чии граници проектирани врз рамнина поставена тангенцијално на брановиот фронт, претставуваат систем од концентрични кругови чии радиуси се однесуваат како квадратните корени од целите броеви. Во случај кога поделата на брановиот фронт на Френелови зони се врми на многу големо растојание од примарниот точкаст извор, системот од концентричните кругови можеме да го земеме како претставник на Френеловите зони.

Правејќи ја мрежичката со наизменично пропусни и не-пропусни зони, Сорé успеа да добие дифракциона препрека, која кога низ своите пропусни делови дозволува премин на непарен

број на Френелови зони, има особина во дадени точки од оптичката оска која тој ја дефинира како права која мине низ светлинскиот извор и центарот на мрежичката, да ја фокусира дифрактираната светлина. Сорé покажа дека неговата мрежичка има особини на лека со повеќекратни реални и имагинарни фокусни растојанија дадени со

$$\frac{1}{f_m} = \frac{n^2}{(2m-1)\lambda}$$

каде n е радиус на основниот круг на мрежичката, λ е бранова должина на светлината со која се работи, а m е цел број. Употребувајќи ја зонската мрежичка како замена на лека, Сорé правел снимки на сонцето, а мрежичката вметната како окулар во Галилеевиот дурбин му дала исправена слика, со што покажал дека мрежичката дејствува и какр растурна лека.

При работа со бела светлина мрежичката ги фокусирала на различни места поедините бранови должини.

Истата 1875 година Корни (Сорни А.) [3] објави дека и тој добил фокусирачки ефекти, но со мрежичка составена не од кружни зони како онаа на Сорé, туку од систем на паралелни тенки пукнатини чии растојанија од една оска се однесуваат како квадратните корени на целите броеви. (Сх. 7). Објаснението на овој свој резултат Корни го наоѓа во Френеловото толкување на дифракциониот феномен, со таа разлика што делешето на брановиот фронт на зони би требало да се простири и кај цилиндричните бранови. Мрежичката што ја употреби Корни не е зонска мрежичка, во смисок на систем од пропусни и непропусни зони како онаа на Сорé, меѓутоа наговестува можност за конструирање на линеарни или цилиндрични зонски мрежички со наизменично светли и темни линеарни зони. Поради тоа линеарните зонски мрежички понекаде во литературата се среќаваат под името Корниеви

мрежички [4] и [5], меѓутоа името линеарна зонска мрежичка е покоректно, така што тоа ќе биде употребувано во понатамошниот текст.

Од литературата за зонските мрежички далеку е пообемна онаа која се однесува на кружните зонски мрежички. Овде ќе бидат споменати само некои покарактеристични трудови од таа област.

Покрај раните трудови на Сорé и Корнý, спага и работата на Вуд (Wood R.W.) [6], кој ја конструира својата фазна кружна зонска мрежичка. Таа се состои од зони кои се сите пропусни, но дебелината на слоевите на зоните е таква, што секоја втора зона обезбедува патна разлика на елементарното бранување од $(2k + 1) \frac{\lambda}{2}$ или фазна разлика од π . Поради учеството на сите зони во формирањето на вредноста на интензитетот, во фокусните точки се добива поинтензивна слика од колку кога се работи со Соретова зонска мрежичка.

Многу подоцна проблемот на зонските мрежички станува повторно актуелен. Буавен (Boivin A.) [7] користејќи ги Ломеловите параметри и функции разработува една скаларна теорија на дифракција низ кружни прстени, што потоа ја специјализира за случај на зонските мрежички.

Ј. Мозер во [8] подробно го разработува проблемот на распоредот на интензитетот на дифрактираната светлина од страна на зонските мрежички од типот на Сорé и Вуд, вдолж оптичката оска, при тоа употребувајќи ја како теориска база Кирхофовата дифракциона апроксимација. Нешто подоцна Сусман (Sussman M.) [9] го обработува истиот проблем но само за Соретовите мрежички и тоа за случај на паралелна упадна светлина. Неговите резултати потполно се складуваат со оние добиени во [8].

Мејерс (Myers O.E.) [10], Рајскиј (Райский С.М.) [11] и Бахчеванциев [12], покрај другото во своите експериментални испитувања имаат забележано дека зонската мрежичка покажува фокусирачки особини и на местата кои не се сложуваат со теоретските претпоставки. Тоа се местата на така наречените парни фокуси, каде според теоријата би требало да има отсуство на светлина. Додека Мејерс и Рајскиј своите експериментални резултати ги толкуваат со несовршеноста на мрежичките со кои работеле, Бахчеванциев појавата на парните фокуси ја објаснува со едновременото дејствување на мрежичката како собирна и растурна леќа, и ги смета за битна особина на зонските мрежички.

Бахчеванциев го проучува и проблемот на астигматизмот на кружните зонски мрежички, а со тој проблем се занимава и Кого Камија (Kogo Kamiya) [13] кој, применувајќи го како основа принципот на Ферма, ги разгледува особините на зонските мрежички, покажувајќи дека кружните зонски мрежички патат од сите видови на аберации како и леќата.

Со цел да даде одговор на несогласувањето на теоријата со експерименталните резултати од гореспоменатите автори, Мозер [14] дава подробна теориска разработка на дифракцијата на зонските мрежички од типот на Соре и Вуд, разгледувајќи го распоредот на интензитетот како вдолж оптичката оска, така и во карактеристичните фокални рамнини. Мозер по теоретски пат успева да покаже дека појавата на непарните фокуси може да се должи на отстапувањата од потполната непропустливост на темните зони, на отстапувањата од кружната форма на прстените, како и на отстапувањата од идеалната ширина на светлите и темните зони.

Буавеи во [15] го разгледува распоредот на интензите-

тот во фокалните рамнини и има покажано дека со зголемување на бројот на зоните на мрежичката, дифракционата слика асимптотски се приближува кон Ериевата (Airy) дифракциона распределба. Тој своите пресметнувања ги прави за случај на Френелова дифракција. Арсенault (Arsenault H.) во [16] покажува дека истото важи и кај Фраунхоферовата дифракција на сверната зонска мрежичка.

Стиgliani и др. (Stigliani J., Mitra R., Semonin R.) [17] проучувајќи ја разделната способност на зонските мрежички, покажуваат дека мрежичките ја постигнуваат разделната способност на сверна лека со ист дијаметар, кога бројот на зоните содржани во дијаметарот се зголемува.

Габор (Gabor D.) [18] ја нагласува фундаменталната врска на зонската мрежичка и холограмот, што претставува предмет на понатамошни испитувања од страна на Родерс (Rogers G.L) [19].

Розенберг (Rosenberg G.) [20] занимавајќи се со проблемот на разделната способност во дифракционата микроскопија и придржувајќи се кон воочената аналогија меѓу зонската мрежичка и холограмот од страна на Родерс, предлага зонската мрежичка лесно добиена како холограм од точкаст предмет и доведно намалена, да биде употребена во улога на лека при конструкцијата на еден рентген микроскоп.

Добивањето на холограми станува особено лесно со проширувањето на ласерот. Така Шампаж (Shampagne E.) [21] по пат на правење на холограм со помош на гасен ласер добива зонски мрежички кои содржат илјади зони.

Меѓутоа, при третманот на холограмите, каде мора да се води сметка за трансмисионите можности на фотографската емулзија на која се регистрираат интерферограмите, стана јасно

после теоријата што ја развија Хорман и Чо (Norman M.H., Chau H) [22] а што беше забележано уште од страна на Родерс, дека вака добиената мрежичка поради нелинеарните ефекти на фотографската емулзија не претставува Соретова зонска мрежичка со амплитудна трансмисија рамна на нула или единица во зависност од тоа дали се работи за темна или светла зона од мрежичката, туку така наречена генерализирана мрежичка, кај која, според Чо [23], поради споменатите ефекти на емулзијата се јавува проширување на темните зони за сметка на пропусните зони. Ова според него е причината за појава на дифракциони максимуми од парен ред.

Имајќи во предвид дека мрежичките со кои работеле авторите во [10], [11] и [12] биле нанесени на фотографски плочи, стануваат јасни и резултатите на нивните експериментални мерења на знатен интензитет на местата на парните фокуси, а исто така и позитивното теоретско објаснување од страна на Мозер во [14], кое се базира на отстапувањата од идеалната ширина на темните и светлите прстени.

Зонските мрежички како репрезенти на еквифазните површини на сверните бранови се употребени од страна на Мозер и др. во [5], а испитувањето на нивните муарé фигури добро се сложува со експериментално добиените интерферограми од страна на Мозер и Шпигелхалтер (Moser J, Spiegelhalter) во [24]. Во трудот [5] исто така е работено со линеарни зонски мрежички како репрезенти на еквифазните површини на цилиндричните бранувања.

Интересен е предлогот на Ломан и Парис (Lohman A.W., Paris D.P.) [25] за добивање на зонски мрежички, кружни и линеарни, како муарé фигури од други две еднакви мрежички поместени една во однос на друга. Со мрежичките што тие ги предлагаат се добиваат муарé фигури во вид на зонски мрежички со фокусни

растојанија кои зависат од поместувањето на двете основни мрежички. На тој начин се постига т.н. зум ефект со помош на зонска мрежичка.

Што се однесува до литературата за линеарната зонска мрежичка, освен во [4], [5] и [25] каде тие се споменуваат како постоечки видови на мрежички, само Харт и др. (Hart H, Scrandis J, Mark R, Hatcher R.) во [26] теориски и експериментално го имаат разгледано проблемот на Фраунхоферова дифракција на дифракциона препрека во вид на линеарна зонска мрежичка. Како теориска база ја земаат Кирхофовата апроксимација, но за точкаст извор и сверни бранувања, што наметнува непотребно дводимензионално третирање на проблемот. Освен тоа и покрај работењето со мрежичка со двеста пропусни зони, при анализата на распоредот на интенитетот е направена прилично груба апроксимација сведувајќи го проблемот на разгледување на дифракција на пропусните зони со реден број 1, што со оглед на тоа да е работено со негативна мрежичка, се сведува на дифракција на две паралелни пукнатини. Од друга страна дифракционите мрежички покажуваат фокусирачки особини само при Френеловата дифракција, така што резултатите на авторите од [26] не ги покажуваат вистинските карактеристики на линеарната зонска мрежичка.

Веројатно една од главните причини што за линеарната зонска мрежичка не е направен друг обид за теориско или експериментално разгледување на нејзините дифракциони карактеристики е сличноста во начинот на формирањето на Френеловите зони кај сверните и цилиндричните бранови. Но дали оваа сличност повлекува и слични карактеристики на двета типа на мрежички е посебно прашање. Како друга причина би можел да се најде фактот што и покрај редативно поедноставната геометрија на линеарната

зонска мрежичка, проблемот на нејзината дифракција наметнува прилично тежок математички третман.

И покрај долгот период од нивната појава, зонските мрежички во последно време стануваат се поактуелни, зошто претставуваат добра замена на леките и огледалата при формирањето на ликови во ултравиолетовото браново подручје. Освен тоа поради обратно пропорционалната зависност на фокусното растојание од брановата должина, мрежичката се покажа погодна за спектрални анализи на високофреквентните бранови подручја. За таа цел Баез (Baez A.) [27] има конструирано зонска мрежичка кај која непропусните зони се прекриени со златни прстени (радијално прицврстени) а просторот на пропусните зони е потполно празен. Поради малата трансмисија на златото во однос на ултравиолетовите радијации, неговата мрежичка се покажала како можно погодна за фокусирање на брановите од тој дел на спектарот. Значи зонската мрежичка направена од погоден материјал останува како единствена замена на леките или огледалата при формирање на ликови и анализа на овој дел од спектарот, каде употребата на леките, огледалата или призмите, поради рефлексивноста или трансмитивноста на материјалите од кои тие обично се прават станува невозможна.

Освен тоа бидејќи претставува холограм на точка, зонската мрежичка има особено значење во холографијата при синтезата на холограмите. Зонските мрежички исто така наоѓаат применा при мерење на кохерентноста, потоа при испитувањето на муарите на системи од криви кои вовлекуваат зонска симетрија, при различни тестирања и друго.

Во сите гореспоменати области, кога наместо точкаст извор ќе се употреби прачкаст, кој во просторот околу себе еми-

тува цилиндричен бран, како природно се наметнува наместо со кружна мрежичка да се работи со линеарна зонска мрежичка, без оглед на тоа дали таа ќе биде од типот на Сорé, Вуд, Баез или ќе претставува холограма добиена со помош на прачкаста препрека.

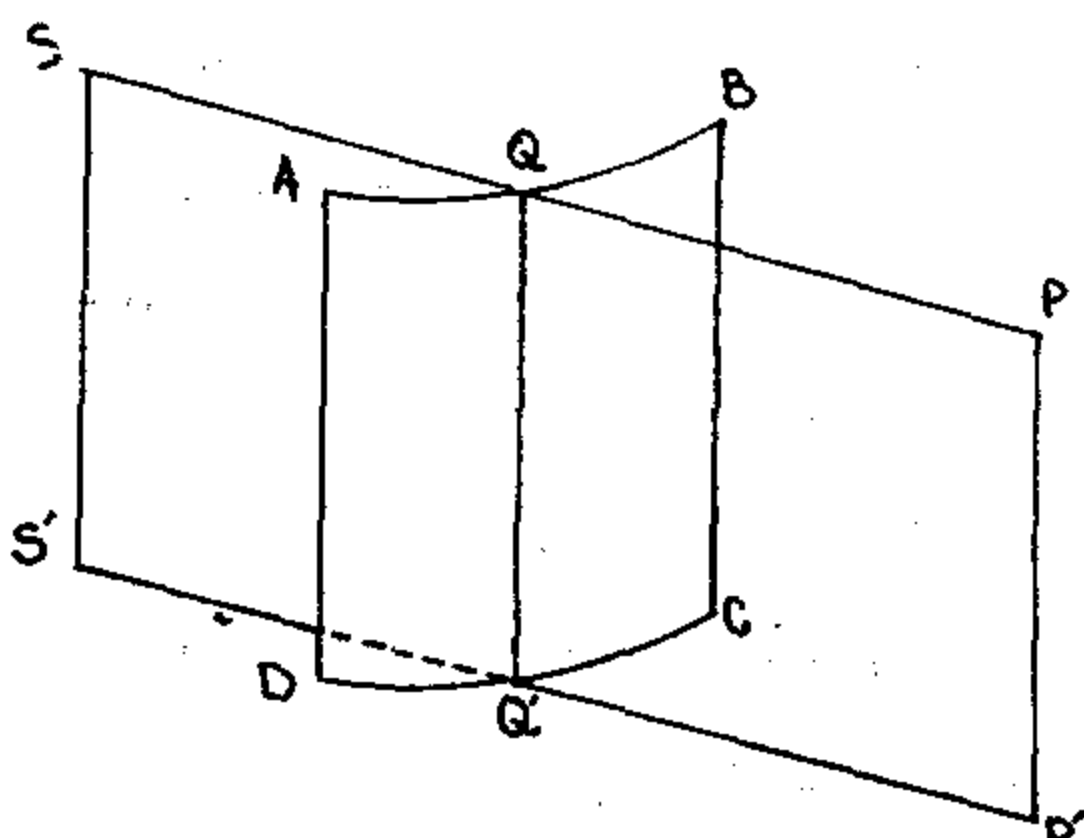
Поради тоа сметам дека подобното теориско разработување на проблемот на дифракција кај линеарната зонска мрежичка претставува посебен научен интерес. Затоа во рамките на оваа дисертација теориски ќе биде разгледан проблемот на дифракција на позитивните и негативните линеарни зонски мрежички од типот на Сорé, кои во литературата се среќаваат и под називот бинарни зонски мрежички [25].

Како теориска основа и овде ќе биде земена Кирхофовата апроксимација, која и покрај своите математички недостатоци, претставува една од најпогодните методи во третирањето на голем дел од дифракционите проблеми.

ГЛАВА I.

СПЕЦИЈАЛИЗАЦИЈА НА ХАЈГЕНС-ФРЕНЕЛОВИОТ ПРИНЦИП ЗА ШИРЕЊЕ НА ЦИЛИНДРИЧНИТЕ БРАНОВИ

Вдолж правата $\overline{SS'}$ нека е сместен прачаст светлински извор во вид на пукнатина, кој во просторот околу себе емитува



Сл.1

цилиндрични светлински бранови. Според тоа брановиот фронт или еквифазната поврвнина на бранот кој стигнал на растојание R од изворот, ќе претставува цилиндер чија генератриса е паралелна со изворот $\overline{SS'}$, а со оска во самиот извор. На Сл.1 поврвнината ABCD претставува дел

од една ваква цилиндрична поврвнина. Вдолж било која права $\overline{QQ'}$ од еквифазната поврвнина, бранот е претставен со решението на брановата диференцијална равенка

$$\Delta V = \frac{1}{v^2} \frac{\partial^2 V}{\partial t^2} \quad (1)$$

које определено со помош на методата на сепарација на променлиите ќе гласи

$$V = U(\pi, \psi, z) e^{-i\omega t} \quad (2)$$

Бидејќи при испитувањето на интензитетот се бара производот на брановата функција V со нејзината конjugирано комплексна вредност, временскиот фактор од решението (2) се пониш-

тува, така што распоредот на интензитетот ќе зависи само од координатниот дел на брановата функција. Поради тоа во понатамошниот текст под бранова функција ќе го подразбирааме само координатниот дел од решението (2). За овој дел ја имаме диференцијалната равенка

$$\Delta U + k^2 U = 0 \quad (3)$$

во која $k = \frac{\omega}{R} = \frac{2\pi}{\lambda}$ е бранов број.

При претпоставка прачкастниот извор да е доволно долг, ширењето на цилиндричниот бран ќе зависи само од растојанието од изворот, така што за Лапласовиот оператор во равенката (3) треба да се земе во предвид само радијалниот дел. Значи брановата функција ја задоволува диференцијалната равенка

$$\frac{d^2 U}{dr^2} + \frac{1}{r} \frac{dU}{dr} + k^2 U = 0$$

која преку смената $r = g$ се трансформира во

$$g^2 \frac{d^2 U}{dg^2} + g \frac{dU}{dg} + g^2 U = 0 \quad (4)$$

Споредбата на равенката (4) со општата Беселова диференцијална равенка [28]

$$g^2 \frac{d^2 W}{dg^2} + g \frac{dW}{dg} + (g^2 - n^2) W = 0$$

покажува дека таа претставува Беселова диференцијална равенка од нулти ред, зошто за неа бројот n кој го определува редот на равенката, е рамен на нула.

Како што е познато Беселовите диференцијални равенки се задоволени со три класи на функции и тоа: Беселови функции $J_n(g)$, Нојманови функции $N_n(g)$ и Ханкелови функции од прва и втора врста $H_n^1(g)$ и $H_n^2(g)$, кои се взајмно конjugирани комплексни и ги соединуваат претходните две на следниот начин

$$H_n^1(g) = J_n(g) + i N_n(g)$$

$$H_n^2(g) = J_n(g) - i N_n(g)$$

Од математиката исто така е познато дека за големи вредности на аргументот ϱ , првите две групи на решенија имаат асимптотски вредности [28]

$$\lim_{\varrho \rightarrow \infty} J_n(\varrho) \longrightarrow \sqrt{\frac{2}{\pi \varrho}} \cos\left(\varrho - \frac{n\pi}{2} - \frac{\pi}{4}\right)$$

и

$$\lim_{\varrho \rightarrow \infty} N_n(\varrho) \longrightarrow \sqrt{\frac{2}{\pi \varrho}} \sin\left(\varrho - \frac{n\pi}{2} - \frac{\pi}{4}\right)$$

Имајќи во предвид дека $\varrho = kR$, во физиката овие две асимптотски решенија на Беселовата диференцијална равенка би одговарале на формирање на стојни бранови далеку од изворот. Асимптотската пак вредност на Ханкеловите функции е

$$\lim_{\varrho \rightarrow \infty} H_n^{(1,2)}(\varrho) = \lim_{\varrho \rightarrow \infty} [J_n(\varrho) \pm iN_n(\varrho)] \longrightarrow \sqrt{\frac{2}{\pi \varrho}} e^{\pm i(\varrho - \frac{n\pi}{2} - \frac{\pi}{4})}$$

и одговара на прогресивен бран. Поради тоа Ханкеловите функции се избираат како најпогодни решенија кај дифракционите проблеми, особено Ханкеловата функција од прва врста $H_n^1(kR) = H_n^1(kR)$ зонто претставува прогресивен бран кој од изворот се шири на сите страни.

Според тоа вдолж правата $\overline{QQ'}$ од брановиот фронт на растојание R од изворот, брановата функција е претставена со помош на Ханкеловата функција од прва врста и нулти ред

$$M(\overline{QQ'}) = H_0^1(kR) \xrightarrow{kR \rightarrow \infty} \frac{A e^{i(kR - \frac{\pi}{4})}}{\sqrt{R}} \quad (5)$$

Во согласност со Хајгенсовиот принцип, секоја права од брановиот фронт треба да се третира како елементарен извор на нов цилиндричен бран, кој на растојание r од брановиот фронт е зададен со функцијата

$$M(\overline{PP'}) = B H_0^1(kr) \xrightarrow{kr \rightarrow \infty} \frac{B e^{i(kr - \frac{\pi}{4})}}{\sqrt{r}} \quad (6)$$

$\overline{PP'}$ е било која права до која стасал елементарниот бран од $\overline{QQ'}$.

Вредноста на амплитудата на елементарниот бран B е еднаква на вредноста на брановата функција која одговара на бранот што од изворот $\bar{S}\bar{S}'$ стигнал до елементарниот извор $\bar{Q}\bar{Q}'$. Според тоа треба да се земе

$$B = H_0^1(kR) \xrightarrow{kR \rightarrow \infty} \frac{A e^{i(kR-\frac{\pi}{4})}}{\sqrt{R}} \quad (7)$$

Придонесот кон амплитудната функција вдолж правата $\bar{P}\bar{P}'$ чија вредност се должи на бранувањата од елементарните извори сместени по ширината ds од брановиот фронт, ќе биде

$$dU(\bar{P}\bar{P}') = H_0^1(kR) H_0^1(kr) ds \quad (8)$$

или, ако се работи на големи растојанија, такви што $R, r \gg \lambda$

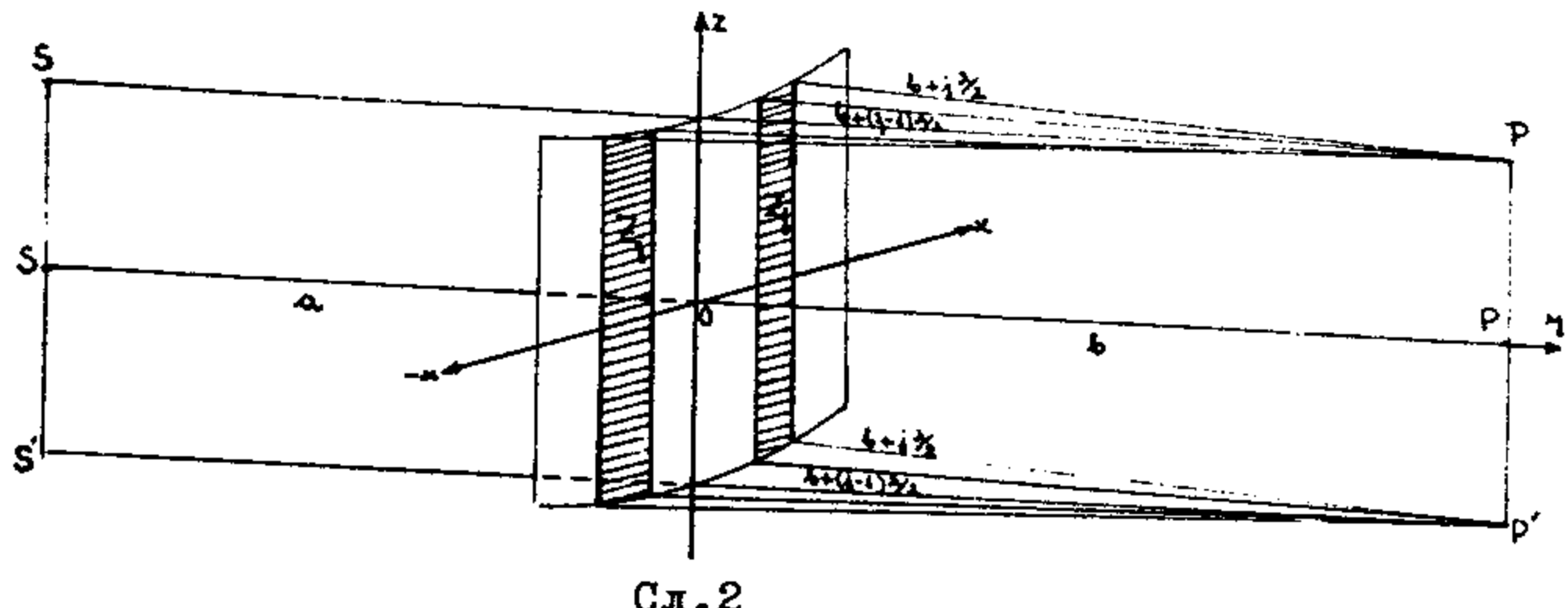
$$dU(\bar{P}\bar{P}') = A e^{-\frac{i\pi}{2}} \frac{e^{ikR}}{\sqrt{R}} \frac{e^{ikr}}{\sqrt{r}} ds \quad (9)$$

Вредноста на брановата функција на местото на правата $\bar{P}\bar{P}'$, според Френел [2] е резултат од суперпозицијата на сите елементарни бранувања што потекнуваат од брановиот фронт. Тогаш таа ќе биде дадена со интегралот по сите елементарни бранувања $dU(\bar{P}\bar{P}')$, а подручјето на интеграција ќе биде ширината на брановиот фронт. Значи

$$U(\bar{P}\bar{P}') = A e^{-\frac{i\pi}{2}} \int \frac{e^{ik(R+r)}}{\sqrt{R} \sqrt{r}} ds \quad (10)$$

Да поставиме сега координатен систем така што у-оската стои нормално на изворот $\bar{S}\bar{S}'$ и се совпаѓа со спојницата на правите $\bar{S}\bar{S}'$ и $\bar{P}\bar{P}'$. x-оската е паралелна со изворот $\bar{S}\bar{S}'$ и правата $\bar{P}\bar{P}'$ и нека е сместена на челото на бранот, т.е. вдолж најблиската права од брановиот фронт до правата $\bar{P}\bar{P}'$. x-оската е тангента на брановиот фронт. Пресекот на брановиот фронт со xOy-рам-

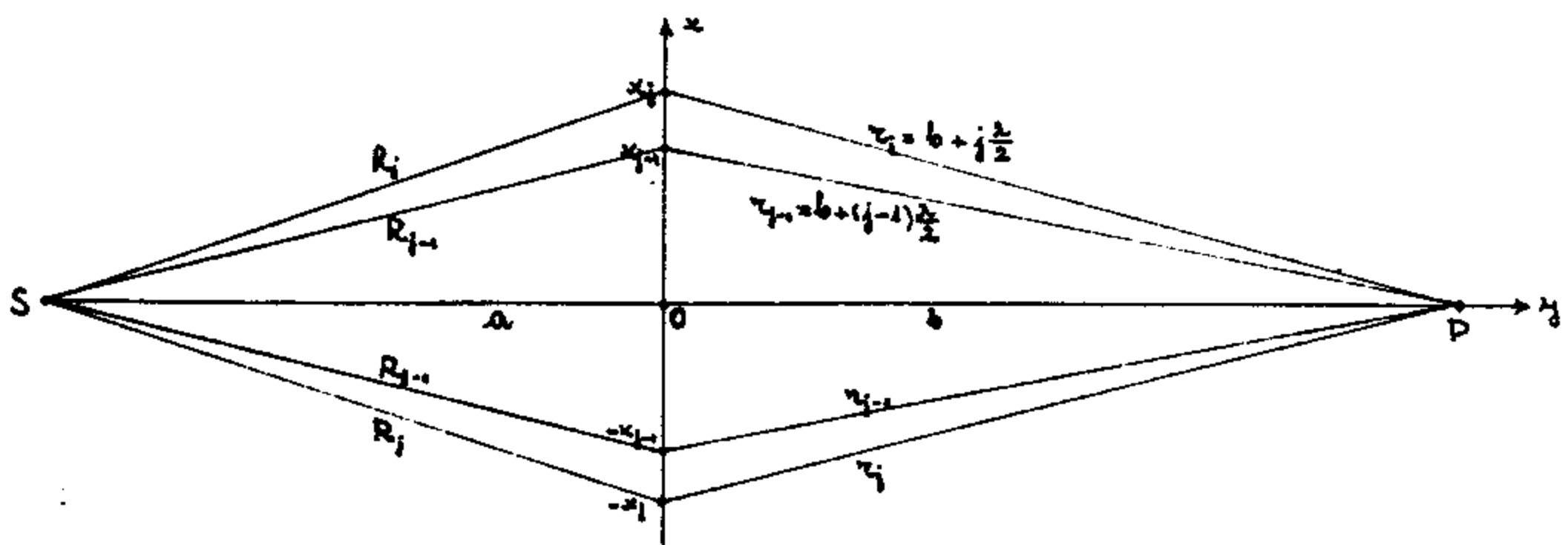
нината е даден на Сл.2. Точките S и P се пресеци на правите $\overline{SS'}$ и $\overline{PP'}$ со координатната рамнина xOy . Најмалото растојание од брановиот фронт до правата \overline{PP} е означено со $\overline{OP} = b$. Со оска во



Сл.2

правата $\overline{PP'}$ нека се конструирани концентрични цилиндри со радиуси b ; $b + \frac{\lambda}{2}$; $b + 2\frac{\lambda}{2}$; ...; $b + j\frac{\lambda}{2}$; ... каде λ е бранова должина на бранувањето на изворот сместен во $\overline{SS'}$. Вака конструираните цилиндри го сечат брановиот фронт на зони $Z_1, Z_2, \dots, Z_i, \dots$ кои се во вид на ленти паралелни со z -оската.

На големо растојание од изворот брановиот фронт може да биде апроксимиран со неговата тангенцијална рамнина, во случајов со xOz -рамнината. Тогаш наместо по должината на лакот ds интеграцијата ќе се врши по должината на x -оската dx , а xOz -рамнината ќе биде поделена на зони чија ширина изнесува $(x_j - x_{j-1})$.



Сл.3

Од пртежот на Сл.3 се гледа дека $x_j^2 + b^2 = (b + j\frac{\lambda}{2})^2$ или

$$x_j^2 = b \lambda j + j^2 \frac{\lambda^2}{4}$$

Вториот член од горниот израз може да се земе дека е приближно рамен на нула, зошто $\lambda \ll b$, а овде се јавува квадратот на брановата должина. Значи

$$x_j = \sqrt{b \lambda j} \quad (11)$$

а ширината на една ваква зона е

$$x_j - x_{j-1} = \sqrt{b \lambda} (\sqrt{j} - \sqrt{j-1}) \quad (12)$$

Придонесот на j -тата зона кон вредноста на брановата функција вдолж правата $\overline{PP'}$ ќе биде

$$M_j(\overline{PP'}) = A e^{-\frac{i k}{2} \int_{\sqrt{b \lambda(j-1)}}^{\sqrt{b \lambda j}} \frac{e^{ik(x+a)}}{\sqrt{Rr}} dx} \quad (13)$$

Од Сл.3 исто така се гледа дека

$$R = (a^2 + x^2)^{\frac{1}{2}} \quad r = (b^2 + x^2)^{\frac{1}{2}}$$

а при претпоставка растојанијата a и b да се многу големи во однос на x , десните страни од горните релации можат да бидат развиени во ред по биномната формула и при тоа да бидат земени во предвид само првите два члена. Така имаме

$$\begin{aligned} R &= (a^2 + x^2)^{\frac{1}{2}} = a(1 + \frac{x^2}{a^2})^{\frac{1}{2}} = a(1 + \frac{1}{2} \frac{x^2}{a^2} + \dots) \approx a + \frac{1}{2a} x^2 \\ r &= (b^2 + x^2)^{\frac{1}{2}} = b(1 + \frac{x^2}{b^2})^{\frac{1}{2}} = b(1 + \frac{1}{2} \frac{x^2}{b^2} + \dots) \approx b + \frac{1}{2b} x^2 \end{aligned} \quad (14)$$

$$\tilde{R}^{\frac{1}{2}} \approx a^{\frac{1}{2}} \quad \tilde{r}^{\frac{1}{2}} \approx b^{\frac{1}{2}}$$

Имајќи ги во предвид апроксимациите (14), подинтегралната функција од формулата (13) добива вредност

$$\frac{e^{ik(R+r)}}{\sqrt{Rr}} \approx \frac{e^{ik(a+b)}}{\sqrt{ab}} e^{ik \frac{1}{2} (\frac{1}{a} + \frac{1}{b}) x^2}$$

така што наместо изразот (13), за придонесот на j -тата зона кон вредноста на брановата функција се добива

$$M_j(\bar{P}\bar{P}') = \frac{A e^{ik[(a+b)-\frac{\lambda}{2}]}}{\sqrt{ab}} \int_{\frac{\sqrt{ab}}{\sqrt{2(a+b)}}(j-1)}^{\frac{\sqrt{ab}}{\sqrt{2(a+b)}}} e^{i\frac{k}{2}(\frac{1}{a} + \frac{1}{b})x^2} dx \quad (15)$$

Со цел да се реши интегралот во формулата (15) ја правиме смената

$$\frac{k}{2}(\frac{1}{a} + \frac{1}{b})x^2 = \frac{\xi}{2}\xi^2$$

при тоа

$$x = \sqrt{\frac{\lambda ab}{2(a+b)}} \xi$$

а границите на интеграција се

$$\xi_j = \delta \sqrt{j} \quad \text{и} \quad \xi_{j-1} = \delta \sqrt{j-1}$$

каде

$$\delta = \sqrt{\frac{2(a+b)}{a}}$$

Така за придонесот на j -тата зона која вредноста на амплитудната функција во $\bar{P}\bar{P}'$ се добива

$$M_j(\bar{P}\bar{P}') = K \int_{\frac{\sqrt{ab}}{\sqrt{2(a+b)}}(j-1)}^{\frac{\sqrt{ab}}{\sqrt{2(a+b)}}} e^{i\frac{\xi}{2}\xi^2} d\xi = K \left[\int_{\frac{\sqrt{ab}}{\sqrt{2(a+b)}}(j-1)}^{\frac{\sqrt{ab}}{\sqrt{2(a+b)}}} \cos \frac{\xi}{2}\xi^2 d\xi + i \int_{\frac{\sqrt{ab}}{\sqrt{2(a+b)}}(j-1)}^{\frac{\sqrt{ab}}{\sqrt{2(a+b)}}} \sin \frac{\xi}{2}\xi^2 d\xi \right]$$

каде

$$K = A e^{i[k(a+b)-\frac{\lambda}{2}]} \sqrt{\frac{\lambda}{2(a+b)}}$$

е константен фактор. Секој од интегралите што се наоѓаат во средната заграда може да биде расчленет на два дела, делејќи го подручјето на интеграција на $(\delta \sqrt{j-1} \rightarrow 0)$ и $(0 \rightarrow \delta \sqrt{j})$. Според тоа ќе имаме

$$M_j(\bar{P}\bar{P}') = K \left\{ \left[\int_0^{\delta \sqrt{j}} \cos \frac{\xi}{2}\xi^2 d\xi - \int_0^{\delta \sqrt{j-1}} \cos \frac{\xi}{2}\xi^2 d\xi \right] + i \left[\int_0^{\delta \sqrt{j}} \sin \frac{\xi}{2}\xi^2 d\xi - \int_0^{\delta \sqrt{j-1}} \sin \frac{\xi}{2}\xi^2 d\xi \right] \right\}$$

а имајќи ја во предвид дефиницијата на Френеловите интеграли [29]

$$C(\sigma) = \int_0^\sigma \cos \frac{\xi}{2}\xi^2 d\xi \quad \text{и} \quad S(\sigma) = \int_0^\sigma \sin \frac{\xi}{2}\xi^2 d\xi \quad (16)$$

може да биде претставена со изразот

$$M_j(\bar{P}P') = K \left\{ [C(tV_j) - C(tV_{j-1})] + i[S(tV_j) - S(tV_{j-1})] \right\} \quad (17)$$

Меѓутоа треба да имаме во предвид дека со изразот (17) е даден придонесот на соодветната зона што се наоѓа на позитивната страна на x-оската. Зони со ист реден број се наоѓаат и на негативната страна на x-оската, а нивниот придонес кон брановата функција ќе биде даден со

$$M_j(\bar{P}P') = K \int_{-tV_j}^{-tV_{j-1}} e^{i\frac{\pi}{2}\xi^2} d\xi = K \left\{ [C(-tV_j) - C(-tV_{j-1})] + i[S(-tV_j) - S(-tV_{j-1})] \right\} \quad (18)$$

Имајќи ја во предвид непарноста како особина на Френеловите интеграли [29]

$$C(-\omega) = -C(\omega) \quad \text{и} \quad S(-\omega) = -S(\omega)$$

гледаме дека изразот (18) е идентичен со изразот (17), што значи дека зоните кои имаат ист реден број, а се наоѓаат на две спротивни страни од x-оската (Сл.3), подеднакво учествуваат кон формирањето на вредноста на брановата функција.

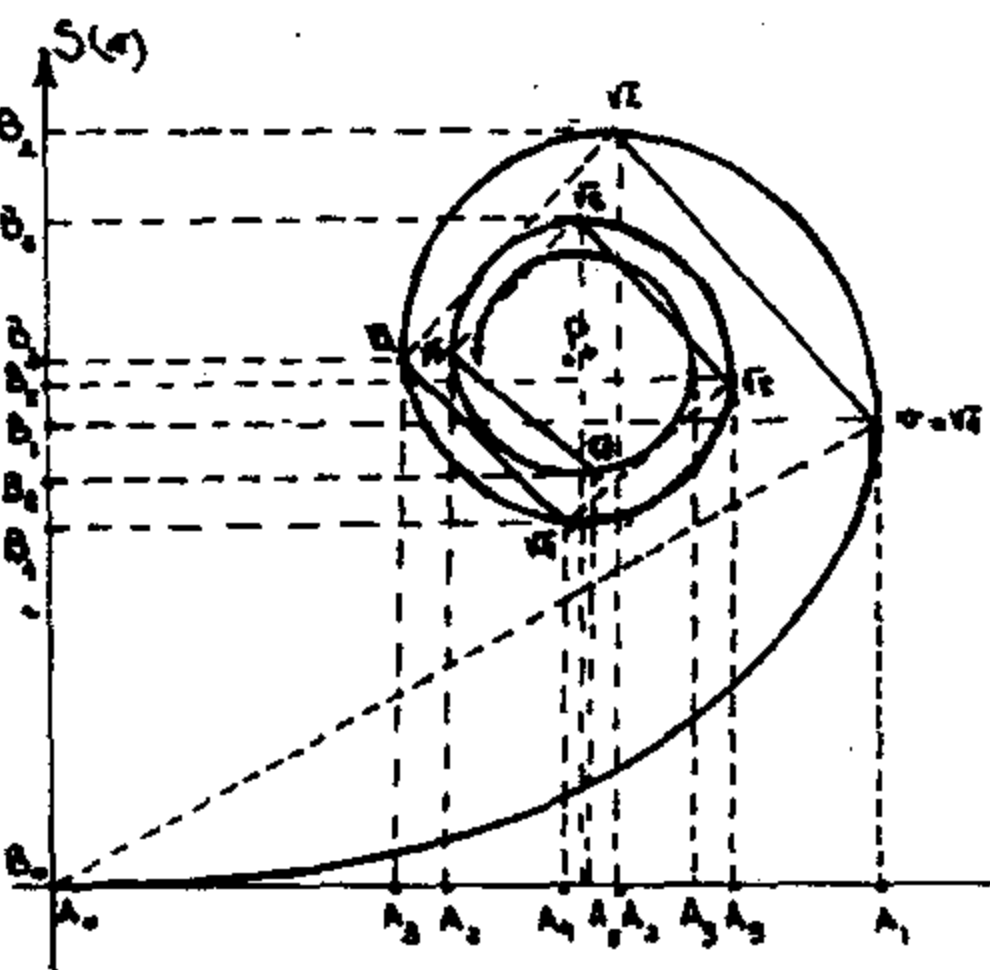
Следната $(j+1)$ -ва зона учествува кон формирањето на вредноста на брановата функција во $\bar{P}P'$ со дел

$$\begin{aligned} M_{j+1}(\bar{P}P') &= K \int_{tV_j}^{tV_{j+1}} e^{i\frac{\pi}{2}\xi^2} d\xi = K \left\{ [C(tV_{j+1}) - C(tV_j)] + i[S(tV_{j+1}) - S(tV_j)] \right\} = \\ &= -K \left\{ [C(tV_j) - C(tV_{j+1})] + i[S(tV_j) - S(tV_{j+1})] \right\} \end{aligned} \quad (19)$$

Споредувањето на формулите (17) и (19) покажува дека две сукcesивни Френелови зони кај цилиндричниот бран даваат придонес кон вредноста на брановата функција кој се разликува во предзнакот, меѓутоа нема взаимно поништување, каков што е случајот кај сверните Френелови зони [30], зонто придонесите не се еднакви по абсолютна вредност.

За да се добие попрегледна претстава за нееднаквото учество кон формирањето на вредноста на брановата функција во

\overline{PP}' , може да се даде известно аналитичко толкување на изразите (17) односно (19). Имено, разликите на Френеловите интеграли што се јавуваат во средните загради од овие изрази можат да бидат интерпретирани како проекции на растојанието помеѓу две точки од позитивниот крак на Корниевата спирала (клотоида) врз С и S оската. Заради поедноставување можеме да земеме да $e^{\pi} = 1$. Тогаш $[C(\sqrt{j}) - C(\sqrt{j-1})]$ и $[S(\sqrt{j}) - S(\sqrt{j-1})]$ би претставувале проекции на растојанието меѓу две точки од корниевата спирала во кои вредноста на параметарот е $\varphi_j = \sqrt{j}$ и $\varphi_{j-1} = \sqrt{j-1}$. Како што е познато тоа се оние точки од спиралата во кои повлечената тангента е паралелна со една од оските, што зависи од тоа дали j е парен или е непарен број. Тогаш на Сл.4 величината $[C(\sqrt{2}) - C(\sqrt{1})]$ е претставена со должината на отсечката $\overline{A_2 A_1}$ на С-оската, а $[S(\sqrt{2}) - S(\sqrt{1})]$ со должината $\overline{B_1 B_4}$ на S-оската. Тоа се проекциите на растојанието на точките во кои вредноста на параметарот е $\varphi = \sqrt{2}$ и $\varphi = \sqrt{1}$ ($j=2$). Потоа за $j=4$ имаме $[C(\sqrt{4}) - C(\sqrt{3})] = \overline{A_4 A_3}$ и $[S(\sqrt{4}) - S(\sqrt{3})] = \overline{B_4 B_3}$ и т.н. За $j=2\beta$ имаме $[C(\sqrt{2\beta}) - C(\sqrt{2\beta-1})] = \overline{A_{2\beta} A_{2\beta-1}}$ и $[S(\sqrt{2\beta}) - S(\sqrt{2\beta-1})] = \overline{B_{2\beta} B_{2\beta-1}}$. Бројната вредност на овие отсечки би требала да се земе во изразите за придонесот што го даваат парните Френелови цилиндрични зони.



Сл.4

спирала во кои вредноста на параметарот е $\varphi_j = \sqrt{j}$ и $\varphi_{j-1} = \sqrt{j-1}$. Како што е познато тоа се оние точки од спиралата во кои повлечената тангента е паралелна со една од оските, што зависи од тоа дали j е парен или е непарен број. Тогаш на Сл.4 величината $[C(\sqrt{2}) - C(\sqrt{1})]$ е претставена со должината на отсечката $\overline{A_2 A_1}$ на С-оската, а $[S(\sqrt{2}) - S(\sqrt{1})]$ со должината $\overline{B_1 B_4}$ на S-оската. Тоа се проекциите на растојанието на точките во кои вредноста на параметарот е $\varphi = \sqrt{2}$ и $\varphi = \sqrt{1}$ ($j=2$). Потоа за $j=4$ имаме $[C(\sqrt{4}) - C(\sqrt{3})] = \overline{A_4 A_3}$ и $[S(\sqrt{4}) - S(\sqrt{3})] = \overline{B_4 B_3}$ и т.н. За $j=2\beta$ имаме $[C(\sqrt{2\beta}) - C(\sqrt{2\beta-1})] = \overline{A_{2\beta} A_{2\beta-1}}$ и $[S(\sqrt{2\beta}) - S(\sqrt{2\beta-1})] = \overline{B_{2\beta} B_{2\beta-1}}$. Бројната вредност на овие отсечки би требала да се земе во изразите за придонесот што го даваат парните Френелови цилиндрични зони.

Кога пак $j=2\beta+1$, што одговара на Френеловите зони со непарен реден број, за $j=1$ имаме $[C(\sqrt{1}) - C(0)] = \overline{A_1 A_0}$ и $[S(\sqrt{1}) - S(0)] = \overline{B_1 B_0}$, потоа за $j=3$ $[C(\sqrt{3}) - C(\sqrt{2})] = \overline{A_3 A_2}$ и $[S(\sqrt{3}) - S(\sqrt{2})] = \overline{B_3 B_2}$.

$= \overline{B_3} \overline{B_1}$ и т.н. и општо за $j=2p+1$ $C(\sqrt{2p+1}) - C(\sqrt{2p}) = \overline{A_{2p}} \overline{A_{2p}}$ и $S(\sqrt{2p+1}) - S(\sqrt{2p}) = \overline{B_{2p}} \overline{B_{2p}}$. Од сликата 4 се гледа дека проекции-те на долните на отсечките што одговараат на било која од не-парните Френелови зони (на Сл.4 се повлечени со испрекината линија) се бројно поголеми од проекциите на отсечките што одго-вараат на сукцесивните парни зони (на Сл.4 повлечени со пол-на линија). Така гледаме дека

$$\overline{A_1} \overline{A_0} > \overline{A_2} \overline{A_1}; \quad \overline{A_3} \overline{A_2} > \overline{A_4} \overline{A_3}; \dots \dots \dots \overline{A_{2p+1}} \overline{A_{2p}} > \overline{A_{2p}} \overline{A_{2p-1}} \dots \dots \dots$$

и исто така

$$\overline{B_1} \overline{B_0} > \overline{B_2} \overline{B_1}; \quad \overline{B_3} \overline{B_2} > \overline{B_4} \overline{B_3}; \dots \dots \dots \overline{B_{2p+1}} \overline{B_{2p}} > \overline{B_{2p}} \overline{B_{2p-1}} \dots \dots \dots$$

Во колку редните броеви на двете сукцесивни зони се поголеми, т.е. се работи за периферни цилиндрични зони, придонесите кон брановата функција стануваат се помали, но и разликата меѓу соодветните проекции се намалува.

Од горното толкување како и од формулите (17) и (19) може да се заклучи дека

$$U_{j+1} = -U_j + \Psi_j \quad \text{или} \quad U_j = -U_{j+1} + \Psi_j \quad (20)$$

каде

$$\Psi_j = K \{ [C(t\sqrt{j+1}) - C(t\sqrt{j-1})] + i[S(t\sqrt{j+1}) - S(t\sqrt{j-1})] \} \quad (21)$$

Вредноста на брановата функција што се должи на учеството на сите зони од брановиот фронт вдолж правата $\overline{PP'}$ ќе биде

$$\begin{aligned} M(\overline{PP'}) - 2 \sum_{j=1}^{\infty} U_j (\overline{PP'}) &= U_1 + U_2 + U_3 + \dots \dots \dots U_j + U_{j+1} + \dots \dots = \\ &= 2(U_1 - U_2 + \Psi_1 + U_3 - U_3 + \Psi_2 + \dots \dots \dots U_j - U_j + \Psi_j + \dots \dots) = \\ &= 2(\Psi_1 + \Psi_2 + \dots \dots \dots \Psi_{2m+1} + \dots \dots) = 2 \sum_{k=0}^{\infty} \Psi_{2k+1} = F \end{aligned} \quad (22)$$

Вдолж првата $\overline{PP'}$ дел од придонесот кон брановата функција на зоните од брановиот фронт се понижтува, додека друг многу помал

дел останува слободен.

Наместо взаемното поништување на деловите од брановата функција што потекнуваат од две соседни цилиндрични Френелови зони, може да се добие појачување на вредноста на брановата функција ако на некој начин се елиминира придонесот на сите парни или на сите непарни зони. Кога ќе се изврши таква елиминација, вредноста на брановата функција ќе биде дадена со

$$\lambda(\bar{P}P) = \lambda_1 + \lambda_3 + \lambda_5 + \dots + \lambda_{2p+1} + \dots$$

или

$$\lambda(\bar{P}P) = \lambda_1 + \lambda_4 + \lambda_6 + \dots + \lambda_{2p} + \dots$$

Оптичките направи со кои се постига одстранување на дејството на сите парни или непарни цилиндрични Френелови зони, или иако со кои се одбегнува нивното взаимно поништување ќе ги наречеме цилиндрични или линеарни зонски мрежички.

ДОБИВАЊЕ НА ЛИНЕАРНИ ЗОНСКИ МРЕЖИЧКИ

Еден од начините за постигавање најголемена вредност на брановата функција е кога на патот на простирањето на бранот ќе се постави препрека со паралелно поставени пропусни и непропусни линеарни зони, кои нанаменнично се менуваат и чија широчина е

$$r_j = x_j - x_{j-1} = \alpha\sqrt{j} - \alpha\sqrt{j-1}$$

Кога како оска на симетрија на така распределените зони ќе се земе x -оската, границите на зоните се наоѓаат на ширини

$$x = \alpha\sqrt{1}; \alpha\sqrt{2}; \alpha\sqrt{3}; \dots; \alpha\sqrt{j}; \dots \text{ и на}$$

$x = -\alpha\sqrt{1}; -\alpha\sqrt{2}; -\alpha\sqrt{3}; \dots; -\alpha\sqrt{j}; \dots$ од двете страни на x -оската.

Со непролустлив материјал можат да бидат прекриени

сите зони што носат непарен индекс и чија ширина е

$$p_j = p_{2\beta+1} = \pm (\alpha\sqrt{2\beta+1} - \alpha\sqrt{2\beta}) \quad \beta = 0, 1, 2, \dots$$

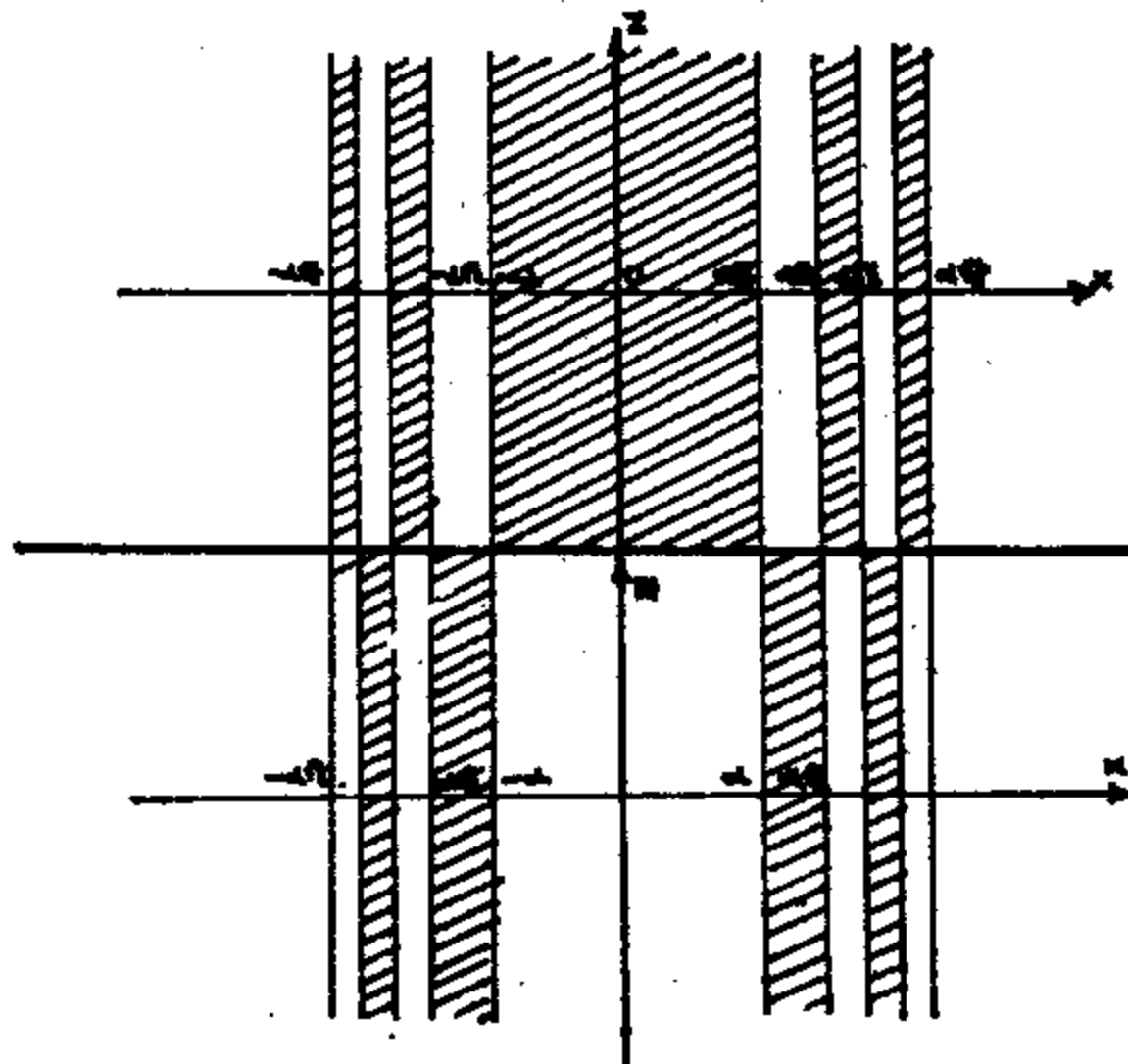
а да се пропусни сите зони со парен индекс

$$p_j = p_{2\beta} = \pm (\alpha\sqrt{2\beta} - \alpha\sqrt{2\beta-1}) \quad \beta = 1, 2, 3, \dots$$

Во тој случај непропусна ќе биде и најшироката централка зона.

Вака добиениот оптички систем, чија шема е дадена на горниот дел од Сл.5, ќе го наречеме негативна зонска линеарна мрежичка, аналогно на негативната Соретова кружна зонска мрежичка.

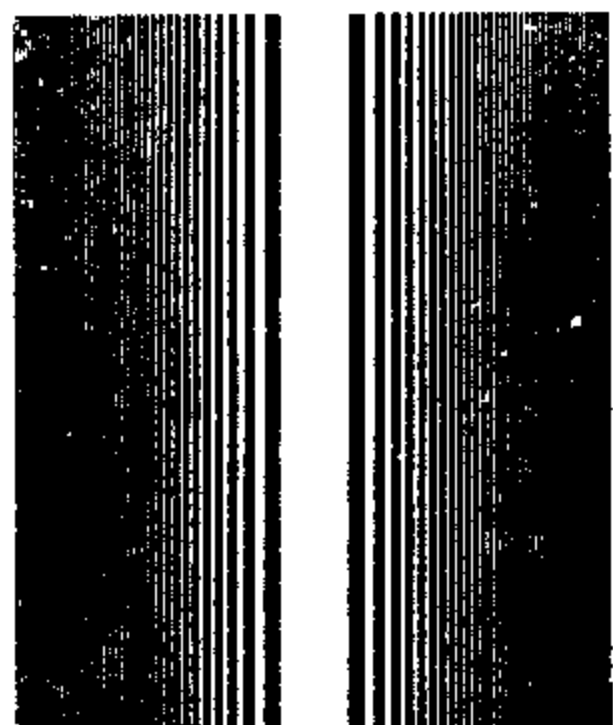
Кога пак ќе се прекријат со непропустлив материјал сите парни зони $p_j = p_{2\beta}$, централната зона е пропусна и во тој случај се добива позитивна линеарна зонска мрежичка. Нејзината шема е дадена на долниот дел од Сл.5.



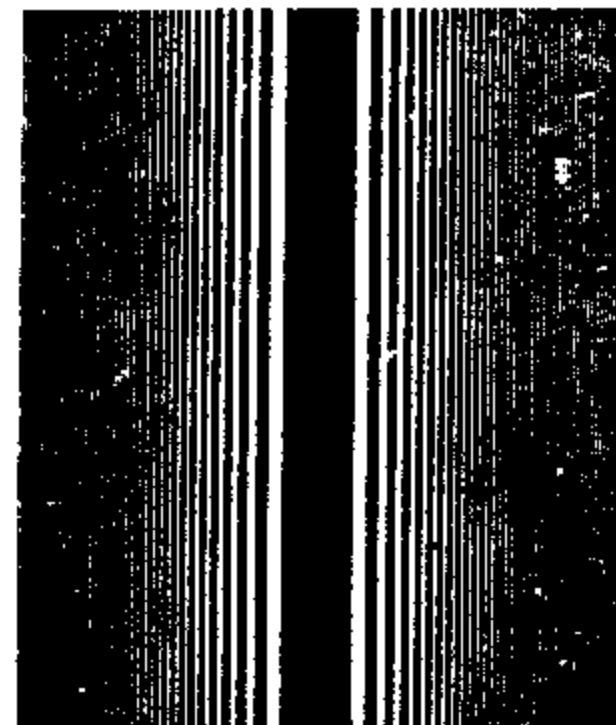
Сл.5

Начинот на правење на линеарните зонски мрежички би бил идентичен со овој предложен од страна на Соре. Разликата е во тоа што сега на хамер хартија во голем формат, се прта систем од паралелни линии наместо концентрични кругови. Растројанието на секоја линија од една

однапред избрана оска е во однос $\sqrt{1} : \sqrt{2} : \sqrt{3} : \dots : \sqrt{n} \dots$. Потоа просторот меѓу правите наизменично се поцрнува со туш. После фотографирањето на овој цртеж, се прави контрастен дијапозитив или негатив, во зависност од тоа кој тип на мрежичка се бара, во znatno намалени димензии од оригиналниот цртеж. На Сл.6 е дадена фотографијата на вака добиените линеарни зонски мрежич-



а)



б)

Сл.6

ки. а) е фотографија на позитивна мрежичка, а б) претставува фотографија на негативна линеарна зонска мрежичка.

За брановите што потекнуваат од сите парни цилиндрични зони и кои се презентирани со брановите функции M_1, M_3, \dots, M_q може да се рече дека се во фаза, зошто патната разлика меѓу поедини елементарни бранови од

$$k_{2p} - k_{2p-2} = b + \lambda \frac{3}{2} - [b + (2p-2) \frac{\lambda}{2}] = \lambda$$

обезбедува фазна разлика меѓу поедините компоненти што се сумираат во износ $\Delta = 2\pi$. Истото важи и за брановите што потекнуваат од сите непарни зони. Поништувањето пак на деловите од брановите што доаѓаат од две сукцесивни Френелови зони (парна и непарна) може да се објасни со фактот што патната разлика на нивните бранувача од $\chi_j - \chi_{j-1} = \frac{\lambda}{2}$ дава фазна разлика од $\Delta = \pi$ меѓу деловите од зоните што взајмно се поништуваат. Според тоа и овде би можела да се искористи идејата на Вуд [6] за добивање на фазни мрежички, во случајов цилиндрични односно линеарни зонски мрежички. Имено, на една стакlena плоча, на површината на сите парни или непарни линеарни зони, да се нанесе прозирен материјал со онолкава дебелина d , која обезбедува

зголемување на оптичкиот од на бранот за непарен број од $\frac{\lambda}{2}$. Начинот на изработка на такви мрежички со помош на фотосензи - билен желатин би бил идентичен со веќе применуваниот за изработка на Вудовите сверни мрежички [6], [11], [12]. Вака добиената Вудова мрежичка обезбедува учество на сите Френелови зони кон формирањето на вредноста на брановата функција вдолж правата $\overline{PP'}$, а како резултат на тоа може да се очекува и поголема вредност на интензитетот во споредба со оној добиен со линеарна зонска мрежичка од Соретовиот тип.

Со цел да се добие линеарна зонска мрежичка која би била ползувана за работа во високофреквентното подручје, по аналогија на веќе конструираната кружна зонска мрежичка од страна на Баез [27], би требало да се пристапи кон изработка на долги златни ленти со ширини $r_{1\mu}$ или $r_{1\mu+1}$, кои откако би се поставиле на местата на темните Соретови зони, би требало на краевите да бидат прицврстени во една рамка. Просторот што го сочинуваат пропусните линеарни зони во случајов е празен.

Изгледа дека најлесен и најбрз начин за добивање на зонските мрежички е правењето на холограми на соодветни препреки. За добивање на линеарна зонска мрежичка би требало да се пристапи кон изработка на холограм на прачкаста препрека. Меѓутоа и овде мора да се води сметка дека особините на емулзијата на холографската плоча даваат како резултат мрежичка кај која кривата на амплитудната транспаренција не се менува на границите на зоните скоковито од минимална до максимална вредност, како што беше замислено од Соре, туку има континуиран премин и тоа за сметка на ширината на пропусните зони [23]. Истиот ефект треба да се очекува и при добивање на мрежичките со фотографирање на направените цртежи. Мрежичката пак на Баез

под претпоставка да има идеално широки зони има крива на транспаренција која скоковито си ја менува вредноста на границата на зоните.

Ломан и Париз во [25] го имаат разгледано проблемот на добивање на променлива зонска мрежичка, и помеѓу другото, за добивање на линеарна зонска мрежичка како муарé фигура од други два типа на мрежички. Како основни мрежички кои треба да бидат суперпонирани ги имаат предложено мрежичките од типот $x^2 z / \alpha^3 = N$ и мрежичките од типот $(x/\alpha)^3 + z/b = N$ каде N е цел број. Кога две исти мрежички од првиот тип ќе бидат суперпонирани така што нивните центри се поместени еден во однос на друг за износ $\frac{q}{2}$ по z -оската, равенките на основните системи на криви ќе бидат

$$\Psi_m(x,z) = \frac{x^2(z + \frac{q}{2})}{\alpha^3} - m = 0 \quad \text{и} \quad \Psi_n(x,z) = \frac{x^2(z - \frac{q}{2})}{\alpha^3} - n = 0 \quad m,n=1,2,3,\dots$$

Муарé фигурата што се добива со нивното суперпонирање е суптрактивна во сиот простор освен во внатрешноста на елипсата $x^2 + 4z^2 = q^2$ која според Теокарис (Theocaris P.) [31] претставува ефективна муаре граница. Равенката на суптрактивната муарé фигура добиена според индексната равенка $m - n = p$ е

$$x = \sqrt{\frac{\alpha^3}{q}} \sqrt{p} \quad (24)$$

т.е. се добива систем од паралелни прави со z -оската, чии растојанија се однесуваат како квадратни корени од целите броеви p . На такви взајемни растојанија се наоѓаат и границите на зоните на линеарната зонска мрежичка, само наместо константата α овде имаме величина која зависи од взајемното поместување q . Адитивните муарé фигури што се јавуваат во внатрешноста на елипсата со полуски q и $\frac{q}{2}$, не градат зонска мрежичка. А бидејќи се јавуваат околу координатниот почеток, би требало да се вни-

мава да се користи како зонска мрежичка само суптрактивниот дел од муареа сликата.

Кога пак две исти мрежички од вториот тип ќе бидат поместени така, што нивните центри се оддалечени за $\frac{a}{2}$ од двете страни на x-оската, равенката на суптрактивните муареа фигури што се добиваат од основните системи

$$\Psi_m = \frac{(x + \frac{a}{2})^3}{a^3} + \frac{z}{b} - m = 0 \quad \text{и} \quad \Psi_n = \frac{(x - \frac{a}{2})^3}{a^3} + \frac{z}{b} - n = 0$$

сега гласи

$$x = \sqrt{\frac{a^3}{32}} \sqrt{1 - \frac{2^3}{4a^3}} \quad (25)$$

и претставува линеарна зонска мрежичка само кога поместувањето $\frac{a}{2}$ е многу мало. И кај вака добиената мрежичка константата a зависи од поместувањето $\frac{a}{2}$.

ОСНОВНИ КАРАКТЕРИСТИКИ НА ЛИНЕАРНИТЕ ЗОНСКИ МРЕЖИЧКИ

Кога било кој тип од гореспоменатите цилиндрични зонски мрежички би се поставила на растојание a од изворот на цилиндричен бран, на растојание b вдолж правата $\overline{PP'}$, која претставува оска на замислените концентрични цилиндри кои поминуваат низ границите на зоните, ќе се јави максимална осветленост, бидејќи имаме зголемена вредност на брановата функција, што е постигнато било преку елиминирање на сите парни(непарни) зони, било преку нанесување на фазен слој. Интензитетот ќе биде поголем во колку е поголем бројот на пропусните зони од мрежичката. Значи линеарната зонска мрежичка може да има улога на цилиндрична леќа чиј фокус е правата $\overline{PP'}$. Оваа права беше оска на замислените цилиндри со радиуси $\frac{b}{2} \pm \frac{a}{2}$ кои ги формираат Френеловите зони на брановиот фронт.

Меѓутоа нормално на оптичката оска постои и права

\overline{PP}' која претставува оска на систем од концентрични цилиндри, кои, на местото каде е поставена мрежичката го сечат брановите от фронт така, што низ границите на зоните од мрежичката поминува секој втор цилиндер. Според тоа во секоја зона од мрежичката се сместени по две Френелови цилиндрични зони образувани од замислените пресеци на цилиндрите чија оска е правата \overline{PP}' . Следува дека вдолж правата \overline{PP}' треба да се очекува минимална осветленост, зошто вредноста на брановата функција е сведена на минимум преку дозволувањето низ зоните од мрежичката да поминат една парна и една непарна Френелова зона. Бидејќи цилиндричните Френелови зони немаат ист придонес кон вредноста на брановата функција, што се гледа од формулите (17) и (19) и толкувањето со помош на Сл.4, взајемно ќе се поништи само дел од поминатата светлина, додека слободниот дел останува непоништен. Затоа вдолж правата \overline{PP}' , и вдолж сите прави поставени нормално на оптичката оска, кои претставуваат оски на системи на цилиндри кои на нашата мрежичка образуваат Френелови зони, но такви што секоја зона од мрежичката содржи парен број од овие зони, ќе се добие минимално осветлување, но не интензитет рамен на нула.

Освен вдолж правата \overline{PP}' интензивна светлина ќе се добие и вдолж правата \overline{PP}' која претставува оска на цилиндрите, чии радиуси $b_1 + j\frac{\lambda}{2}$ образуваат Френелови зони така, што една зона од мрежичката содржи по три зони од нив. Тогаш постои поништување на по две Френелови зони, а третата зона е во фаза со останатите непоништени зони кои потекнуваат од другите пропусни делови на мрежичката.

Правата \overline{PP}' ќе ја наречеме главен фокус или место на првиот главен максимум на линеарната зонска мрежичка. Освен

неа како што се гледа постојат и други места со максимална осветленост вдолж оптичката оска. Тоа би биле сите оние прави кои како и правата $\overline{PP'}$, претставуваат оски на замислени Френелови цилиндри кои ја сечат рамнината на нашата мрежичка така, што секоја нејзина зона содржи $3,5,7,\dots (2m+1)$ непарен број на Френелови зони, конструирани од овие оски. Сите овие места вдолж оптичката оска ќе ги наречеме места на вториот, третиот и т.н. главен максимум. Поради нееднаквото учество на Френеловите цил.зони во формирањето на вредноста на брановата функција, не би требало да се очекува дека интензитетот на светлината во вториот, третиот и т.н.главен максимум ќе биде еднаков со оној што би се добил во првиот фокус.

Од сето досега изложено може да се заклучи дека цилиндричната или линеарната зонска мрежичка може да биде употребена како цилиндрична леќа, но со повеќекратни фокусни растојанија, исто како што сверната зонска мрежичка може да ја преземе улогата на сверна леќа.

Кај сите типови на сверни зонски мрежички, зоните со ширина $r_j = \alpha\sqrt{j} - \alpha\sqrt{j-1}$ претставуваат кружни прстени со површини $[\alpha^2 j - \alpha^2(j-1)] = \alpha^2 \Delta$ кои се еднакви за сите зони, така што може да се смета дека секоја зона учествува со еднаков број на елементарни точкасти извори во формирањето на вредноста на брановата функција, а со тоа и врз интензитетот во поедини точки од просторот.

Линеарните зонски мрежички имаат ширина на зоните $r_j = \alpha\sqrt{j} - \alpha\sqrt{j-1}$, но површините на зоните не се еднакви. Кај негативната линеарна зонска мрежичка површините на пропуснатите зони се на пример во однос $(\sqrt{2} - \sqrt{1}) : (\sqrt{4} - \sqrt{3}) : (\sqrt{6} - \sqrt{5}) : \dots$ додека кај позитивната мрежичка овој однос е $(\sqrt{1} - \sqrt{0}) : (\sqrt{3} - \sqrt{2}) : (\sqrt{5} - \sqrt{4}) : \dots$. Бидејќи позитивната зонска мрежичка со опреде-

ден број на пропусни зони учествува со поголема површина од негативната мрежичка со ист број на пропусни зони, вредноста на амплитудната функција е воедно и на интензитетот во главните максимуми и минимуми, кај позитивната мрежичка би требало да бидат поголеми отколку кај негативната, и покрај тоа што нивното место вдолж оптичката оска би останало исто.

Нееднаквото учество на зоните кај линеарната зонска мрежичка, ја прави битно различна од сверната зонска мрежичка. Кај Соретовата кружна мрежичка на пример вредноста на интензитетот останува непроменета кога се работи со позитивна или со негативна мрежичка [7], [13].

КОРНИЕВА МРЕЖИЧКА

Поттикнат од соопштението на Сорé, во 1875-та година Кори [3] покажа дека и тој дошол до сличен заклучок за фокусирачките особини на дифракционите мрежички, но во случајов линеарни. Тој во својот извештај вели: "Јас си поставил за задача да го решам следниот проблем: По кое правило треба да бидат распоредени линиите на една мрежичка, за цилиндричните бранови, кои доаѓаат од еден прачаст светлински извор паралелен со пртите на мрежичката, откако ќе бидат дифрактирани на линиите од мрежичката, да одат кон една права која им е исто така паралелна?" Потоа геометриски разработувајќи го овој проблем тој доаѓа до формулата^{*)}

$$(x_{\text{max}}^2 + x_{\text{min}}^2) \left(\frac{1}{D} - \frac{1}{D'} \right) = 2k\lambda \quad (26)$$

каде x_{max} и x_{min} се растојанија на пртите на мрежичката од оската на мрежичката, D и D' се растојанија на мрежичката од прач-

^{*)} Формулата е со печатна грешка и треба да стои $\left(\frac{1}{D} + \frac{1}{D'} \right)$

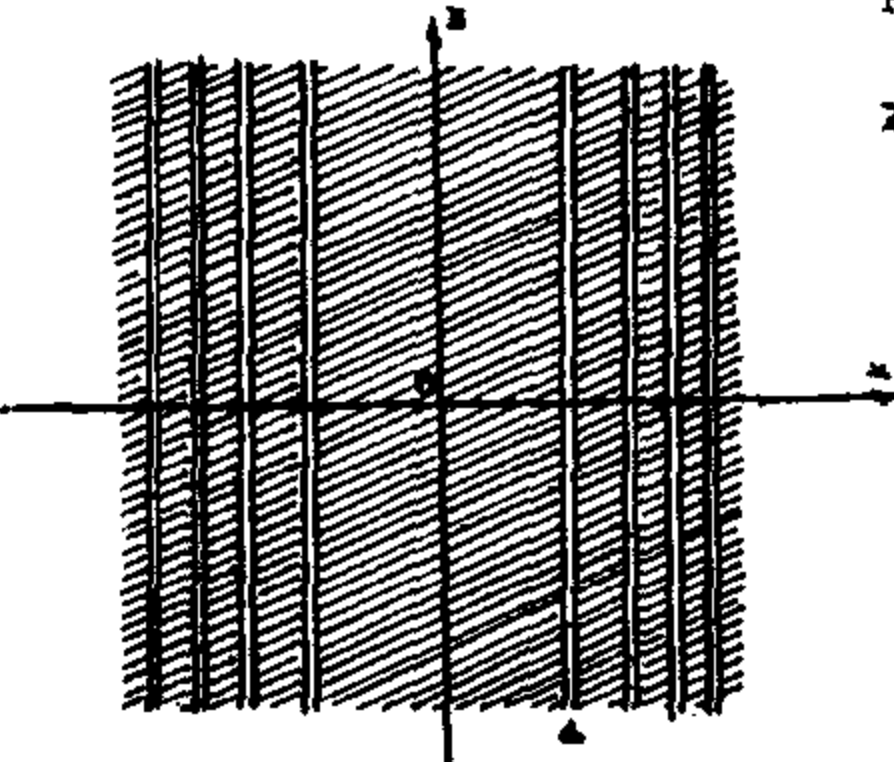
кастиот извор и еcranот на кој е набљудуван ефектот (тоа се растојанијата a и b во нашиот случај), k е цел број, а λ е бранова должина со која е работено. Потоа споредувајќи ја равенката (26) со равенката за пречниците кај Ќутновите прстени $x_m^2 - x_n^2 = R\lambda'$, каде R е радиусот на крибината на леката со која би се добиле Ќутновите прстени, λ' бранова должина за било која боја од прстените, заклучува дека бараниот фокус-црта ќе го најде на таква положба на мрежичката кога

$$\frac{1}{D} + \frac{1}{D'} = \frac{2}{R} k \frac{\lambda}{\lambda'} \quad (27)$$

што е идентично со равенката на лека $\frac{1}{p} + \frac{1}{p'} = \frac{1}{f}$ и вели:

"Рамна мрежичка, чии прави или кружни линии се распоредени по законот на радиусите на "прстените на бои", ги има особините на цилиндрична или сверна лека со низа реални и виртуелни фокуси распределени вдолж оптичката оска" Со цел да ја поткрепи својата теорија, Корни направил фотографија на Ќутновите прстени (што тој ги наречува "прстени на бои") со помош на цилиндрична лека, покажувајќи дека цртите на поедините бранови должини имаат растојанија кои "го задоволуваат законот на прстените", а потоа по истиот тој закон самиот конструирал линеарна мрежичка, врежувајќи црти со некаква машина за делење врз начадена плоча. Вака добиената мрежичка ја употребил за мерење на фокусните растојанија на спектрите од различен ред.

Мрежичката што ја конструирал Корни не е идентична со линеарната или цилиндричната зонска мрежичка. Таа не се состоела од наизменично пропусни и непропусни зони, како што е мрежичката од Соретовиот тип, туку од тенки паралелни црти со еднаква ширина, чии растојанија од една однапред зададена оска се однесуваат како квадратните корени од целите броеви. На Сл.7 шематски е претставена таквата мрежичка. И овде растоја-



нието на цртите се мери во однос на x -оската а ширината на секоја црта е

$$p_j = \alpha\sqrt{j} + d - \alpha\sqrt{j} = d$$

Каде d е многу мала величина. Тогаш според формулата (15) за елементарното бранување што потекнува од секоја црта на мрежичката имаме

Сл. 7

$$\begin{aligned} M_i &= \frac{A e^{i[\frac{1}{2}k(a+b)-\frac{\pi}{2}]}}{\sqrt{ab}} \int_{-\sqrt{j}}^{\sqrt{j}+d} e^{i\frac{k}{2}(\frac{1}{a}+\frac{1}{b})x^2} dx \\ M_{-i} &= \frac{A e^{i[\frac{1}{2}k(a+b)-\frac{\pi}{2}]}}{\sqrt{ab}} \int_{-\sqrt{j}-d}^{-\sqrt{j}} e^{i\frac{k}{2}(\frac{1}{a}+\frac{1}{b})x^2} dx \end{aligned} \quad (28)$$

што со смената

$$x = \sqrt{\frac{2\pi}{k}} \xi \quad \text{каде } \frac{1}{a} = \frac{1}{\alpha} + \frac{1}{b} \quad \text{се сведува на}$$

$$M_i = M_{-i} = \frac{A e^{i[\frac{1}{2}k(a+b)-\frac{\pi}{2}]}}{\sqrt{ab}} \sqrt{\frac{2\pi}{k}} \int_{\frac{\sqrt{\frac{2\pi}{k}}(-\sqrt{j}+d)}{\sqrt{\frac{2\pi}{k}\alpha}}}^{\frac{\sqrt{\frac{2\pi}{k}}(\sqrt{j}+d)}{\sqrt{\frac{2\pi}{k}\alpha}}} e^{i\frac{\pi}{2}\xi^2} d\xi$$

односно

$$M_i = K \left\{ [C(\sqrt{\frac{2\pi}{k}}(\sqrt{j}+d)) - C(\sqrt{\frac{2\pi}{k}\alpha})] + i[S(\sqrt{\frac{2\pi}{k}}(\sqrt{j}+d)) - S(\sqrt{\frac{2\pi}{k}\alpha})] \right\} \quad (29)$$

Вака добиената мрежичка не е зонска, меѓутоа постои сличност меѓу неа и Соретовата кружна мрежичка во единствениот придонес на сите парни односно на сите непарни процепи кон вредноста на брановата функција, како и на взајмното поништување на дејството на овие елементарни бранувања вдолж оските на замислените Френелови цилиндри, кои би претставувале места на главни максимуми односно фокуси на ваквата мрежичка, кога би се врежале само цртите со парен реден број j или само цртите со непарен реден број j .

Да се вратиме сега на формулата (29). Изразите што

се наоѓаат во средните загради, при претпоставка α да е многу мало, можеме да ги третираме како многу мали нараствувања на функциите $C(\sqrt{\frac{2}{\lambda^2}} \alpha \sqrt{j})$ и $S(\sqrt{\frac{2}{\lambda^2}} \alpha \sqrt{j})$ во интервалот $d\sqrt{\frac{2}{\lambda^2}}$. Според тоа

$$[C(\sqrt{\frac{2}{\lambda^2}} (\alpha \sqrt{j} + d)) - C(\sqrt{\frac{2}{\lambda^2}} \alpha \sqrt{j})] = d \sqrt{\frac{2}{\lambda^2}} \frac{dC}{d(\alpha \sqrt{j} \sqrt{\frac{2}{\lambda^2}})} = d \sqrt{\frac{2}{\lambda^2}} \cos \frac{\pi}{2} (\alpha \sqrt{j} \sqrt{\frac{2}{\lambda^2}})^2 = d \sqrt{\frac{2}{\lambda^2}} \cos \frac{\pi \alpha^2}{\lambda^2} j$$

и исто така

$$[S(\sqrt{\frac{2}{\lambda^2}} (\alpha \sqrt{j} + d)) - S(\sqrt{\frac{2}{\lambda^2}} \alpha \sqrt{j})] = d \sqrt{\frac{2}{\lambda^2}} \sin \frac{\pi \alpha^2}{\lambda^2} j$$

од каде следува

$$M_j = \frac{Ade^{i[\frac{k(a+b)-\pi}{2}]}}{\sqrt{ab}} \left\{ \cos \frac{\pi \alpha^2}{\lambda^2} j + i \sin \frac{\pi \alpha^2}{\lambda^2} j \right\} = \frac{Ade^{i[\frac{k(a+b)-\pi}{2}]}}{\sqrt{ab}} e^{i \frac{\pi \alpha^2}{\lambda^2} j} \quad (29a)$$

Придонесот кон брановата функција на следниот процеп е

$$M_{j+1} = \frac{Ade^{i[\frac{k(a+b)-\pi}{2}]}}{\sqrt{ab}} e^{i \frac{\pi \alpha^2}{\lambda^2} (j+1)} \quad (30)$$

и ќе биде со спротивна фаза од претходниот бран кога

$$\frac{\pi \alpha^2}{\lambda^2} = (2m-1)\pi \quad m = 1, 2, 3, \dots$$

односно кога

$$\frac{1}{\lambda^2} = \frac{1}{a} + \frac{1}{b} = (2m-1) \frac{\lambda}{\alpha^2}$$

од каде следува дека за вредноста на фокусното растојание се добива

$$\frac{1}{\lambda^2} = \frac{\alpha^2}{(2m-1)\lambda} \quad (31)$$

кое поради $(2m-1)$ во именителот ќе го наречеме непарно, и во кое дејството на цртите со парни и непарни индекси се поништува, така што тоа одговара на место со минимално осветлување. Го добивме кога сите нанесени црти кои се наоѓаат на растојанија $x_j = \alpha \sqrt{j}$ од x -оската се присутни. Меѓутоа ако се врежат само цртите со парен или само цртите со непарен индекс, овие места ќе бидат места на максимално осветлување вдолж оптичката оска.

Идентична формула за непарните фокуси како места на главни максимиуми се добива и за сверната мрежичка, која е добиена на ист начин, со елиминирање на дејството на парните или непарните зони [14].

Меѓутоа и кога се присутни и сите пропусни процепи на Корниевата мрежичка се добиваат дифракциони фокуси (максимиуми). Од формулите (29) и (30) следува дека дејството на сукцесивните црти нема да се поништи, кога бранот кој излегува од нив е во фаза, односно кога

$$\frac{2m^2}{\lambda^2} = 2n\pi \quad m - \text{цел број}$$

или

$$\frac{1}{d} = \frac{2m\lambda}{\alpha^2} \quad (32)$$

Имајќи во предвид дека разликата на квадратите на растојанијата меѓу две сукцесивни црти од Корниевата формула ($x_{m+1}^2 - x_m^2$) во нашиот случај е ($x_{m+1}^2 - x_m^2$) = α^2 , формулата (32) е идентична со Корниевата формула (26) (се разбира со корегиран знак), при тоа водејќи сметка дека и овде фокусните растојанија се парни субмултипи од количникот α^2/λ . Интересно е да се забележи дека самиот Корни во дискусијата на својот резултат вели: "Спектрите од различен ред имаат фокусни растојанија кои се субмултипи од целите броеви $1, 2, 3, \dots, k \dots$ " (цитирано од стр. 118 од 3). Овој цитат на Корни ја обrazложува точно и нашата формула (32), која дава

$$\frac{1}{d} = \frac{\alpha^2}{2m\lambda} \quad (33)$$

$$\text{и } \frac{1}{d_1} : \frac{1}{d_2} : \frac{1}{d_3} : \dots : \frac{1}{d_n} = 1 : 1/2 : 1/3 : \dots : 1/m.$$

Дека Корни работел со мрежичка која ги има пропусни сите црти со парен и непарен индекс, зборува фактот што тој добивал мрежички преку фотографирање на кривите на еднаква дебелина на една слабо свиткана кварцна плача, која му служе-

ла како цилиндрична лека, а и пртите што ги нанесувал на начадената плоча биле на растојанија u_n од една однапред зададена права дадено со

$$u_n = 100\sqrt{1 + \frac{n}{1000}} = 10\sqrt{1000 + n}$$

од каде следува дека

$$u_{n+1} = 10\sqrt{1000 + (n+1)}$$

т.е. пртите се на растојанија кои одговараат на квадратните корени на два сукцесивни цели броја.

ЗАКЛУЧОК КОН ГЛАВА I.

Предлогот за конструирање на линеарната или цилиндрична зонска мрежичка е направен врз база на Хајгенсовиот принцип и Френеловата интерпретација на дифракцијата, што беа специјализирани за простирање на цилиндричните бранови. Во врска со тоа се претпоставени известни особичи што би требало да ги поседува линеарната зонска мрежичка како дифракционен инструмент. Исто така, базирајќи се на Френеловата интерпретација беа разгледани фокусирачките особини на цилиндричната мрежичка што ја конструираше Корни.

Со цел да се добие подробен увид за карактеристиките на линеарната зонска мрежичка, претставува интерес во подробности да се разгледа распоредот на дифрактираната светлина, како вдолж оптичката оска, така и во главните фокални рамнини. Како основа за ова испитување ќе послужи Кирхофовата дифракциона апроксимација.

ГЛАВА II.

СПЕЦИЈАЛИЗАЦИЈА НА КИРХОФОВАТА ФОРМУЛА ЗА СЛУЧАЈ НА ДИФРАКЦИЈА НА ЦИЛИНДРИЧНИ БРАНОВИ

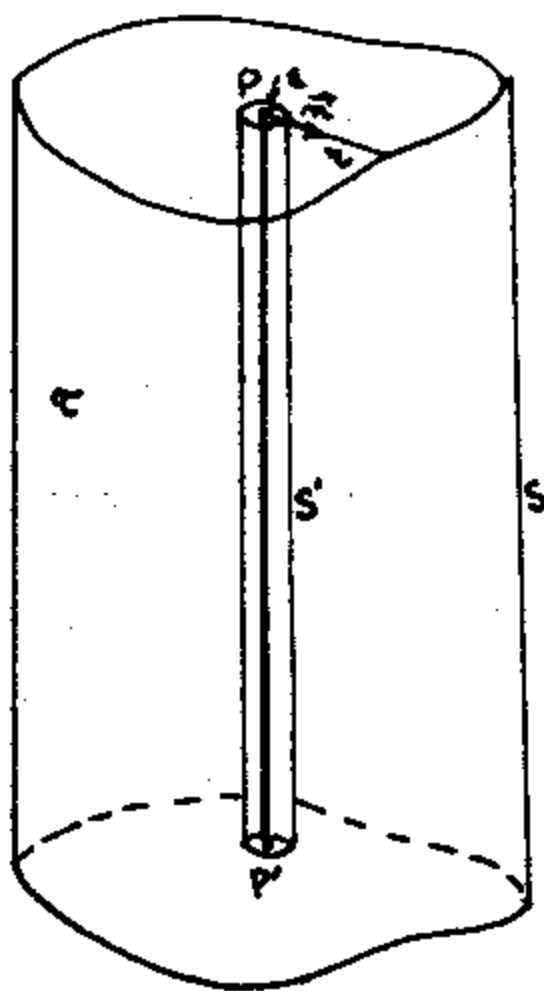
Како што е познат Кирхоф успеа да покаже дека Гриновата теорема може да послужи како математичка база за примена на Хајгенс–Френеловиот принцип. Кирхофовата формула е изведена за случај на точкаст светлински извор, кој во просторот околу себе еmitува сверен светлински бран, а сите точки од челото на ваквиот сверен бран се сметаат за секундарни извори на сверни бранувања, кои се суперпонираат во дадена точка P од просторот. Според Кирхофовата изведба, брановата функција на бранот добиен во дадена точка P е дадена со изразот [30]

$$M(P) = \frac{i}{4\pi} \iint_S \left(M \operatorname{grad} \frac{e^{ikr}}{r} - \frac{e^{ikr}}{r} \operatorname{grad} M \right) \cdot d\vec{S} \quad (34)$$

каде r е растојание меѓу точките на површината S и тчката P на еcranот на кој се набљудува дифракционата слика. Интеграцијата се врши по површината S на отворот на кој станува дифракцијата.

Меѓутоа бидејќи природата на проблемот поставен во овој труд наметнува работа со цилиндрични бранови емитирани од точкаст извор во вид на пукнатина SS' , секундарните елементарни извори исто така ги третираме како прави што ги содржи површината S на дифракциониот отвор и кои претставуваат извори на цилиндрична светлина.

Бранот што доаѓа до било која права на еcranот е резултат на суперпозицијата на овие скундарни цилиндрични бранови. Се поставува прашање како ќе гласи формулата за вредноста на брановата функција вдолж некоја права $\overline{PP'}$.



Сл.8

Нека е τ волумен ограничен со една бескрајно долга цилиндрична поврвнина S , а \overline{PP}' нека е било која права паралелна со генератрисата на поврвниката и нека се наоѓа во внатрешноста на волуменот. Нека се U и V две скаларни функции кои ја задовољуваат брановата равенка (3) и кои во просторот ограничен со поврвниката S се непрекидни и имаат непрекидни први и втори парцијални изводи.

Како такви тие ја задоволуваат Гриновата релација

$$\int_{\tau} (U \Delta V - V \Delta U) d\tau = \oint_S (U \operatorname{grad} V - V \operatorname{grad} U) d\vec{S} \quad (35)$$

Со оглед на тоа што функциите U и V задоволуваат брановата диференцијална равенка (3), интегралот што се наоѓа на левата страна е рамен на нула вдолж било која права од волуменот ограничен со поврвниката S , така што следува

$$\oint_S (U \operatorname{grad} V - V \operatorname{grad} U) d\vec{S} = 0 \quad (36)$$

За да се издвои правата \overline{PP}' ја обиколуваме со мал цилиндер со поврвнина на омотачот S' , чиј радиус $r = \epsilon \rightarrow 0$, а интеграцијата ја вршиме во просторот меѓу поврвните S и S' .

Така равенката (36) се распаѓа на два дела

$$\int_S (U \operatorname{grad} V - V \operatorname{grad} U) d\vec{S} + \int_{S'} (U \operatorname{grad} V - V \operatorname{grad} U) d\vec{S} = 0$$

Бидејќи според формулата (5) $V = U_0(kr)$ како решение на брановата диференцијална равенка, горната релација ќе гласи

$$\oint_S (\bar{M} \operatorname{grad} H_0^*(kx) - H_0^*(kx) \operatorname{grad} \bar{M}) d\vec{S} = - \oint_S (\bar{M} \operatorname{grad} H_0^*(kx) - H_0^*(kx) \operatorname{grad} \bar{M}) d\vec{S} \quad (37)$$

Елементот на површината во цилиндрични координати е

$$d\vec{S} = \vec{e}_z r d\varphi dz$$

а бидејќи резултатот на интеграција по координатата z на двете страни на равенството (37) е еднаков, може да се земе елемент на површината со единична должина и интеграцијата по z да оди од 0 до 1.

Кога ќе се земе уште дека $\tau = \varepsilon \rightarrow 0$ и

$$\operatorname{grad} H_0^*(kx) = \lim_{\tau \rightarrow \varepsilon} (H_0^*(kx))' \cdot \vec{e}_\tau$$

се добива

$$\oint_S \dots = - \lim_{\varepsilon \rightarrow 0} \int_0^{2\pi} \int_0^{\infty} [U(\bar{P}\bar{P}') k_\tau (H_0^*(kx))' - U(\bar{P}\bar{P}') k_\tau \frac{du}{dx}] d\varphi dz \quad (38)$$

Вториот дел од подинтегралната функција на десната страна е рамен на нула, додека за првиот дел ќе треба да се искористат од математиката познатите формули за вредноста на Ханкеловата односно Беселовата и Нојмановата функција, во случај кога нивниот аргумент тежи кон нула. За овие функции имаме

$$J_0(g) = \sum_{m=0}^{\infty} \frac{(-1)^m}{m!^2} \left(\frac{g}{2}\right)^{2m}$$

и

$$N_0(g) = \frac{2}{\pi} J_0(g) \ln \frac{g}{2} - \frac{2}{\pi} \sum_{m=0}^{\infty} \frac{(-1)^m}{m!^2} \frac{\psi(m)}{\pi^2(m)} \left(\frac{g}{2}\right)^{2m}$$

каде $\psi(m)$ е Ојлерова ψ -функција. Па кога $g \rightarrow 0$

$$\lim_{g \rightarrow 0} J_0(g) = \lim_{g \rightarrow 0} \sum_{m=0}^{\infty} \frac{(-1)^m}{m!^2} \left(\frac{g}{2}\right)^{2m} = \lim_{g \rightarrow 0} [1 - \frac{1}{1!^2} \left(\frac{g}{2}\right)^2 + \frac{1}{2!^2} \left(\frac{g}{2}\right)^4 - \dots] \rightarrow 1$$

и

$$\lim_{g \rightarrow 0} J'_0(g) = \lim_{g \rightarrow 0} [-\frac{2g}{1!^2 2^2} + \frac{4g^3}{2!^2 2^4} - \dots] \rightarrow 0$$

потоа

$$\lim_{g \rightarrow 0} N_0(g) = \frac{2}{\pi} \lim_{g \rightarrow 0} J_0(g) \ln \frac{g}{2} = \frac{2}{\pi} \ln \frac{g}{2} \rightarrow -\infty$$

и

$$\lim_{g \rightarrow 0} N'_0(g) = \lim_{g \rightarrow 0} \frac{2}{\pi} [J'_0(g) \ln \frac{g}{2} + J_0(g) \frac{2}{g} \cdot \frac{1}{2}] \rightarrow \frac{2}{\pi g}$$

По според тоа

$$\lim_{\rho \rightarrow 0} (H_0^i(\rho))' = \lim_{\rho \rightarrow 0} [J_0'(\rho) + iN_0'(\rho)] \rightarrow \frac{2i}{\pi\rho}$$

Кога сето ова ќе се замени во формулата (38) се добива

$$\oint_S \phi (I \operatorname{grad} H_0^i(kx) - H_0^i(kx) \operatorname{grad} I) d\vec{s} = -2k I(\bar{P}P') k \epsilon \frac{2i}{\pi k \epsilon} = -4i I(\bar{P}P') = 4e^{-\frac{i\pi}{2}} I(\bar{P}P')$$

Од овде следува дека вредноста на брановата функција I вдолж правата $\bar{P}P'$ ќе биде дадена со

$$I(\bar{P}P') = \frac{e^{-\frac{i\pi}{2}}}{4} \oint_S \phi (I \operatorname{grad} H_0^i(kx) - H_0^i(kx) \operatorname{grad} I) \cdot d\vec{s} \quad (39)$$

Формулата (39) може да се смета за математички аналог на Кирхофовата формула (34), но сега за случај кога светлинскиот извор еmitува цилиндрична светлина, т.е. правата $\bar{P}P'$ вдолж која се бара вредноста на интензитетот односно на брановата функција, се наоѓа во средина на цилиндрични бранувања. Според Кирхофовите гранични услови за вредноста на I треба да се зема вредноста на брановата функција која го описува бранот од примарниот извор и тоа на местата на отворите на дифракционата препрека, додека на местата од затворената површина S по која се врши интеграцијата (која во случајов ја замислуваате во вид на еден бескрајно долг цилиндер) на кои не се наоѓаат дифракционите процепи вредноста за I треба да се земе да е рамна на нула. Овој последни услов вклучува истиот математички недостаток што го има и Кирхофовата формула за сверните бранувања. И овде цилиндричните бранувања што доаѓаат од делот на затворената површина S кој не содржи процепи можеме да ги занемариме земајќи дека правата $\bar{P}P'$ е на бескрајно големо растојание од S така што интензитетот на бранувачката што доаѓаат во $\bar{P}P'$ од овој дел на површината е практички

рамен на нула. Меѓутоа не треба да се заборави дека и овде земајќи ја површината S на бескрајно големо растојание од правата \overline{PP}' не исти времено го зголемуваме подручјето на интеграцијата, така што не е извесно дали и крајниот резултат на интегрирањето по бескрајно малите придонеси имаме право да го занемариме.

Од друга страна, под претпоставка да важат Кирхофовите гранични услови, со помош на неговата апроксимација се решени голем број на дифракциони проблеми и добиени резултати кои се во согласност со експерименталните мерења. Како таква и овде ќе биде прифатена како појдовна за решавање на проблемот на дифракцијата кај линеарната зонска мрежичка.

ПРИМЕНА НА КИРХОФОВАТА ФОРМУЛА ЗА СЛУЧАЈ НА ФРЕНЕЛОВА ДИФРАКЦИЈА КАЈ ЛИНЕАРНАТА ЗОНСКА МРЕЖИЧКА

Специјализираната Кирхфова формула за цилиндрични бранувања ќе ја примениме за случај кога бранувањето описано со функцијата $H_0^{(1)}(kx)$ им припаѓа на елементарните извори од зоните на една цилиндрична или линеарна зонска мрежичка.

Нека е S_j површината на j -тата зона. Тогаш според формулата (39) вредноста на брановата функција вдолж било која права во просторот зад мрежичката ќе биде

$$M_j(\overline{PP}') = \frac{e^{ik\overline{P}S_j}}{4} \int_{S_j} (\mathbf{U} \cdot \nabla \text{grad } H_0^{(1)}(kx) - H_0^{(1)}(kx) \nabla \cdot \mathbf{U}) \cdot d\vec{S} \quad (40)$$

Интеграцијата се врши по површината на j -тата зона, додека сега \mathbf{x} ќе биде растојанието на правата \overline{PP}' од површината по која се врши интеграцијата. Во најопшти случај правата \overline{PP}' не мора да ја сече оптичката оска (Сл.9). Кај сите дифракциони експерименти ова растојание е многу големо, така што за Хан-

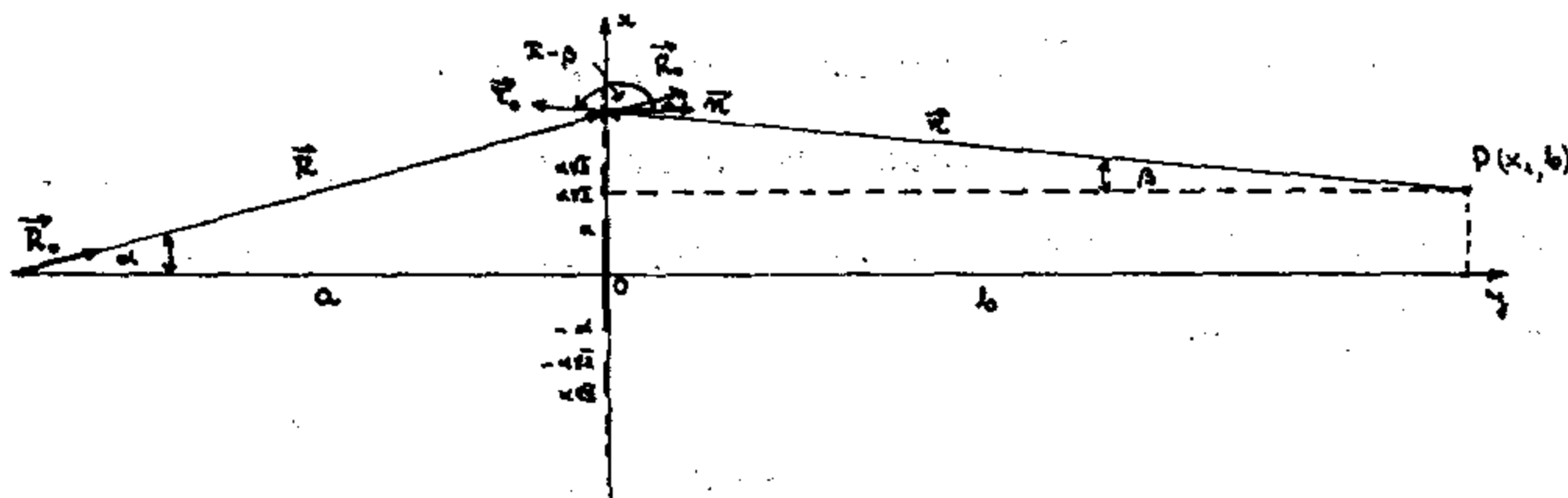
келовата функција може да се земе нејзината асимптотска вредност

$$H_0(kr) \xrightarrow[r \rightarrow \infty]{} e^{-\frac{ikr}{4}} \frac{e^{ikr}}{\sqrt{\pi}}$$

Тогаш за вредноста на брановата функција на бранот што потекнува од j -тата зона се добива

$$U_j(\vec{PP}) = \frac{e^{\frac{i\pi}{4}}}{4} \int_{S_j} \left(M \operatorname{grad} \frac{e^{ikr}}{\sqrt{\pi}} - \frac{e^{ikr}}{\sqrt{\pi}} \operatorname{grad} M \right) \vec{n} dS \quad (41)$$

Во согласност со Кирхофовата апроксимација, Функцијата M во горната формула ја претставува функцијата на бранот што дошол од светлинскиот извор \bar{SS}' до површината на која настанува дифракцијата. Бидејќи и светлинскиот извор се наоѓа на



Сл.9

големо растојание R од површината S_j , за M исто така може да се земе асимптотската Ханклова функција

$$M = A e^{-\frac{i\pi}{4}} \frac{e^{ikR}}{\sqrt{R}}$$

Кога бранот од светлинскиот извор \bar{SS}' до правата \bar{QQ}' од површината S_j би минел низ вакуум, A би била константа и би ја претставувала вредноста на амплитудата на растојание единица од изворот. Меѓутоа поради апсорпцијата на материјалот од кој е направена мрежичката амплитудата ќе биде намалена за износ

$$m = e^{-\alpha l} \quad (42)$$

каде α е коефициент на апсорпција на материјалот од кој е направ

вена мрежичката, а ℓ дебелина на слојот на мрежичката.

Освен тоа при излезот од материјалниот слој бранот нема да има иста фаза на трепереве како кога би поминувал низ вакуум, туку ќе настане промена во фазата која ја регистрираме со факторот $e^{i\delta}$. Според тоа ќе сметаме дека на површината на j -тата зона стасал бран

$$M_j = A \cdot e^{i(\delta_j - \frac{\pi}{4})} \frac{e^{i k R}}{\sqrt{R}}$$

каде A и δ_j се апсорбициониот фактор и промената на фазата што се должат на j -тата зона. Тогаш брановата функција што потекнува од j -тата зона вдолж правата \vec{PP}' ќе има вредност

$$M_j(\vec{PP}') = \frac{A \cdot e^{i\delta_j}}{4} \int_{S_j} \left(\frac{e^{i k R}}{\sqrt{R}} \operatorname{grad} \frac{e}{\sqrt{R}} - \frac{e}{\sqrt{R}} \operatorname{grad} \frac{e}{\sqrt{R}} \right) \vec{n} dS \quad (43)$$

Меѓутоа на правата \vec{PP}' стасуваат бранови кои потекнуваат од сите зони на мрежичката, така што земајќи ја во предвид контрибуцијата на сите зони, вредноста на брановата функција вдолж правата \vec{PP}' ќе биде

$$M(\vec{PP}') = \sum_{j=1}^n M_j(\vec{PP}') = \frac{A}{4} \sum_j \frac{e^{i\delta_j}}{S_j} \int \left(\frac{e^{i k R}}{\sqrt{R}} \operatorname{grad} \frac{e}{\sqrt{R}} - \frac{e}{\sqrt{R}} \operatorname{grad} \frac{e}{\sqrt{R}} \right) \vec{n} dS \quad (44)$$

Имајќи во предвид дека растојанијата ℓ и R се многу големи, изразите што се наоѓаат под знакот на градиент ќе ги апроксимирааме така, што ќе ги занемариме членовите во чиј именител се јавуваат ℓ и R со експонент поголем од $1/2$. Така имаме

$$\operatorname{grad} \frac{e}{\sqrt{R}} = \left(ik \frac{e}{\sqrt{R}} - \frac{e}{2\sqrt{R}} \right) \vec{R} \approx ik \frac{e}{\sqrt{R}} \vec{R}$$

и исто така

$$\operatorname{grad} \frac{e}{\sqrt{R}} \approx ik \frac{e}{\sqrt{R}} \vec{R}$$

(45)

каде \vec{e} и \vec{R} се единични вектори во насоките на \vec{x} и \vec{R} . Кога формулите (45) ќе се заменат во изразот (44) ќе се јават скалар-

ните производи $(\vec{r} \cdot \vec{n})$ и $(\vec{R} \cdot \vec{n})$ каде \vec{n} е единичен вектор во смер на нормалата на површината што ја образува нашата мрежичка. Од Сл.9 може да се види дека

$$\vec{R} \cdot \vec{n} = \cos \langle \vec{R}, \vec{n} \rangle = \cos \alpha$$

$$\vec{r} \cdot \vec{n} = \cos \langle \vec{r}, \vec{n} \rangle = \cos(\pi - \beta) = -\cos \beta$$

Од друга пак страна

$$\cos \alpha = \frac{a}{R} \approx 1 \quad \cos \beta = \frac{b}{n} \approx 1$$

што е во приближност на апроксимацијата со која работиме, така што, кога сето тоа ќе се замени во формулата (44) се добива

$$M(\overline{PP}) = \frac{i_k A}{2} \sum_{j=1}^m \left\{ x_j e^{ib_j} \right\} \left\{ \int_{-\sqrt{j-1}}^{\sqrt{j}} \frac{e^{ik(x+a)}}{\sqrt{\pi} \sqrt{R}} dx + \int_{-\sqrt{j}}^{-\sqrt{j-1}} \frac{e^{ik(x+a)}}{\sqrt{\pi} \sqrt{R}} dx \right\} \quad (46)$$

Првиот од интегралите во средната заграда е општ член за сумирање на придонесите на зоните што се простираат по позитивниот смер на x-оската од нашиот координатен систем, додека вториот интеграл ги опфаќа зоните на другата страна од мрежичката. Множителот што сме го добиле со интеграцијата по променливата ќе сметаме дека се скратил со истиот множител што би го добиле со интеграцијата на левата страна, која во равенката (38) ја направивме со цел да ја издвоиме вредноста на брановата функција по правата \overline{PP}' .

Од шемата на Сл.9 исто така се гледа дека

$$R = (a^2 + x^2)^{\frac{1}{2}} \quad \text{и} \quad \tau = [b^2 + (x - x_1)^2]^{\frac{1}{2}}$$

а бидејќи a и b се многу поголеми од x , при развијањето на овие изрази во ред по биномната формула, ќе ги занемариме членовите во кои во именителот се содржани a и b со степен поголем од единица. Така според формулите (14) имаме

$$R = a + \frac{1}{2a} x^2 \quad \tau = b + \frac{1}{2b} (x - x_1)^2 \quad R^{-\frac{1}{2}} \approx a^{-\frac{1}{2}} \quad \tau^{-\frac{1}{2}} \approx b^{-\frac{1}{2}}$$

што внесено во равенката (46) дава

$$M(\bar{P}P) = \frac{\lambda k A}{2} \frac{e^{i k(a+b)}}{\sqrt{ab}} \sum_{j=1}^m \left\{ x_j e^{i \delta_j} \left[\int_{-\sqrt{j-1}}^{\sqrt{j}} e^{i k \frac{1}{2} \left[\frac{x^2}{a} + \frac{(x-x_j)^2}{b} \right]} dx + \right. \right. \\ \left. \left. + \int_{-\sqrt{j}}^{-\sqrt{j-1}} e^{i k \frac{1}{2} \left[\frac{x^2}{a} + \frac{(x-x_j)^2}{b} \right]} dx \right] \right\}$$

Изразот што се наоѓа во заградата на експонентот на подинтегралната функција може да се среди на следниот начин

$$\frac{x^2}{a} + \frac{(x-x_j)^2}{b} = \left(\frac{1}{a} + \frac{1}{b} \right) x^2 - \frac{2x x_j}{b} + \frac{x_j^2}{b} = \left(\frac{x}{\sqrt{a}} - \frac{x_j \sqrt{b}}{b} \right)^2 + \frac{(b-a)}{b^2} x_j^2$$

каде со

$$\frac{1}{\lambda} = \frac{1}{a} + \frac{1}{b}$$

е означен, по аналогија на равенката на лека, збирот на реципрочните вредности од растојанијата на мрежичката од изворот и екранот каде се набљудува резултатот на дифракцијата. Кога ќе се извади пред знакот на сумата константниот дел, под сумата остануваат интегралите

$$\int_{-\sqrt{j}}^{\sqrt{j}} e^{i \frac{k}{2} \left(\frac{x}{\sqrt{a}} - \frac{x_j \sqrt{b}}{b} \right)^2} dx \quad \text{и} \quad \int_{-\sqrt{j-1}}^{\sqrt{j-1}} e^{i \frac{k}{2} \left(\frac{x}{\sqrt{a}} - \frac{x_j \sqrt{b}}{b} \right)^2} dx$$

кои се разликуваат само по своите граници. Ги решаваме воведувајќи ја смената

$$\frac{k}{2} \left(\frac{x}{\sqrt{a}} - \frac{x_j \sqrt{b}}{b} \right)^2 = \frac{\pi}{2} \xi^2 \quad (47)$$

која за границите на интеграција дава

$$x_j = \pm \sqrt{j} \quad \rightarrow \quad \xi_j = \pm \sqrt{j} - q$$

$$x_{j-1} = \pm \sqrt{j-1} \quad \rightarrow \quad \xi_{j-1} = \pm \sqrt{j-1} - q$$

каде

$$\xi = \sqrt{\frac{2}{\lambda a}} \quad \text{и} \quad q = \sqrt{\frac{2q}{\lambda b}} \quad (48)$$

Тогаш за збирот на овие два интеграли ќе имаме

$$\int_{\frac{1}{2}\sqrt{j-1}}^{\frac{1}{2}} e^{i\frac{k}{2}(\frac{x}{\sqrt{j}} - \frac{x\sqrt{j}}{2})^2} dx + \int_{-\frac{1}{2}\sqrt{j}}^{-\frac{1}{2}} e^{i\frac{k}{2}(\frac{x}{\sqrt{j}} - \frac{x\sqrt{j}}{2})^2} dx = \sqrt{\frac{2\pi}{2}} \left\{ \int_{\frac{1}{2}\sqrt{j-1}-2}^{\frac{1}{2}\sqrt{j-1}} e^{i\frac{k}{2}\xi^2} d\xi + \int_{-\frac{1}{2}\sqrt{j-1}-2}^{-\frac{1}{2}\sqrt{j-1}} e^{i\frac{k}{2}\xi^2} d\xi \right\} = \\ = \sqrt{\frac{2\pi}{2}} \left\{ \int_0^{\frac{1}{2}\sqrt{j-2}} e^{i\frac{k}{2}\xi^2} d\xi - \int_0^{-\frac{1}{2}\sqrt{j-2}} e^{i\frac{k}{2}\xi^2} d\xi - \int_0^{\frac{1}{2}\sqrt{j-1}} e^{i\frac{k}{2}\xi^2} d\xi + \int_0^{-\frac{1}{2}\sqrt{j-1}} e^{i\frac{k}{2}\xi^2} d\xi \right\}$$

што според формулата (16) дава

$$\sqrt{\frac{2\pi}{2}} \left\{ C(\frac{1}{2}\sqrt{j-2}) + iS(\frac{1}{2}\sqrt{j-2}) - C(-\frac{1}{2}\sqrt{j-2}) - iS(-\frac{1}{2}\sqrt{j-2}) - C(-\frac{1}{2}\sqrt{j-2}) - iS(-\frac{1}{2}\sqrt{j-2}) + C(-\frac{1}{2}\sqrt{j-1}-2) + iS(-\frac{1}{2}\sqrt{j-1}-2) \right\} = F_j$$

Ставајќи за апсорбионо фазниот фактор скратена ознака

$$D_j = x_j e^{i\delta_j}$$

за вредноста на брановата функција вдолж правата \bar{PP}' се добива

$$M(\bar{PP}') = \frac{i\pi A}{\sqrt{2\lambda(a+b)}} e^{i\frac{k}{2}[a+b+\frac{x_1^2}{2(a+b)}]} \sum_{j=1}^m D_j F_j \quad (49)$$

Кога мрежичката со која се работи е со идеално пропусни и идеално непропусни зони, коефициентот D_j може да добива вредности нула или единица, во зависност од тоа на која зона ѝ припаѓа. При претпоставка дека сите непарни зони се покриени со ист идеално непропустлив материјал, додека парните зони се идеално пропустливи, за негативната зонска мрежичка ќе треба да се земе

$$x_{j=2p-1} = 0 \quad x_{j=2p} = 1 \quad e^{i\delta_{2p}} = e^{i\delta} \quad (50)$$

Тогаш вредноста на брановата функција што ја дава негативната зонска мрежичка вдолж било која права \bar{PP}' ќе биде

$$M(\bar{PP}') = \frac{i\pi A}{\sqrt{2\lambda(a+b)}} e^{i\frac{k}{2}[a+b+\frac{1}{2(a+b)}x_1^2]} e^{i\delta} \sum_{p=1}^n \left\{ [C(\frac{1}{2}\sqrt{2p-1}-2) - C(-\frac{1}{2}\sqrt{2p-1}-2) - C(\frac{1}{2}\sqrt{2p-1}-2) + C(-\frac{1}{2}\sqrt{2p-1}-2)] + i[S(\frac{1}{2}\sqrt{2p-1}-2) - S(-\frac{1}{2}\sqrt{2p-1}-2) - S(\frac{1}{2}\sqrt{2p-1}-2) + S(-\frac{1}{2}\sqrt{2p-1}-2)] \right\} \quad (51)$$

За позитивната зонска мрежичка од Соретовиот тип треба да се земе

$$x_{j+2p-1} = 1 \quad x_{j+2p} = 0 \quad e^{\frac{i\delta_{2p}}{2}} = e^{\frac{i\delta}{2}} \quad (52)$$

така што за брановата функција се добива

$$\begin{aligned} M_+(PP) = & \frac{i\pi A}{2\lambda(a+b)} e^{i\frac{4}{\lambda(a+b)}x^2} e^{\frac{i\delta}{2}} \sum_{p=1}^N \left\{ [C(\delta\sqrt{2p-1}-q) - C(-\delta\sqrt{2p-1}-q) - \right. \\ & \left. - C(\delta\sqrt{2p-2}-q) + C(-\delta\sqrt{2p-2}-q)] + i[S(\delta\sqrt{2p-1}-q) - S(-\delta\sqrt{2p-1}-q) - \right. \\ & \left. - S(\delta\sqrt{2p-2}-q) + S(-\delta\sqrt{2p-2}-q)] \right\} \end{aligned} \quad (53)$$

Итензитетот на светлината вдолж правата \overline{PP}' од екранот како што е познато претставува производ на брановата функција со нејзината којугирано комплексна вредност вдолж истата права

$$I = M(PP) \cdot M^*(PP') \quad (54)$$

Така итензитетот вдолж правата \overline{PP}' што се добива од негативната зонска мрежичка ќе биде

$$\begin{aligned} I_-(PP) = & \frac{A^2 \pi^2}{2\lambda(a+b)} \left\{ \left(\sum_{p=1}^N [C(\delta\sqrt{2p-2}) - C(-\delta\sqrt{2p-2}) - C(\delta\sqrt{2p-1}-q) + C(-\delta\sqrt{2p-1}-q)] \right)^2 + \right. \\ & \left. + \left(\sum_{p=1}^N [S(\delta\sqrt{2p-2}) - S(-\delta\sqrt{2p-2}) - S(\delta\sqrt{2p-1}-q) + S(-\delta\sqrt{2p-1}-q)] \right)^2 \right\} \end{aligned} \quad (55)$$

а итензитетот на позитивната мрежичка на истото место ќе биде даден со

$$\begin{aligned} I_+(PP) = & \frac{A^2 \pi^2}{2\lambda(a+b)} \left\{ \left(\sum_{p=1}^N [C(\delta\sqrt{2p-1}-q) - C(-\delta\sqrt{2p-1}-q) - C(\delta\sqrt{2p-2}-q) + C(-\delta\sqrt{2p-2}-q)] \right)^2 + \right. \\ & \left. + \left(\sum_{p=1}^N [S(\delta\sqrt{2p-1}-q) - S(-\delta\sqrt{2p-1}-q) - S(\delta\sqrt{2p-2}-q) + S(-\delta\sqrt{2p-2}-q)] \right)^2 \right\} \end{aligned} \quad (56)$$

Како што се гледа од формулите (55) и (56) вредноста

на интензитетот на дифрактираната светлина вдолж една иста права \overline{PP}' на еcranот е различна што се должи на различните вредности на Френеловите интеграли $C(\nu)$ и $S(\nu)$ кои се наоѓаат под знаците на сумирање. За иста вредност на T тие особено се разликуваат кај членовите со ниски индекси на сумирањето ρ , односно кај членовите што го описуваат придонесот кон интензитетот на централните пропусни зони.

За да видиме како нееднаквиот удел на зоните ќе се одрази не само врз вредноста на интензитетот, туку и врз него-виот распоред, посебно ќе бидат испитани негативната и позитивната мрежичка правејќи споредба на добиените резултати.

Најнапред ќе биде разгледан распоредот на интензитетот вдолж правите \overline{PP}' кои стојат нормално на оптичката оска и се паралелни со зоните на мрежичката, односно вдолж правите за кои е $x_1=0$ или $q=0$. Сите овие прави лежат во нашата x_0y рамнина, која ќе ја наречеме оптичка осна рамнина на линеарната зонска мрежичка.

РАСПОРЕД НА ИНТЕНЗИТЕТОТ НА ДИФРАКТИРАНАТА СВЕТЛИНА ПО ОПТИЧКАТА ОСНА РАМНИНА

Како што рековме за правите што стојат нормално на оптичката оска

$$q = x_1 \sqrt{\frac{2\pi}{\lambda b}} = 0$$

и со оглед на антисиметричните особини на Френеловите интеграли, т.е.

$$C(-\nu) = -C(\nu) \quad S(-\nu) = -S(\nu)$$

за вредноста на брановата функција на овие места за негативната мрежичка ќе имаме

$$U_{-}(\bar{PP}) = \frac{i\pi A}{\sqrt{2}\lambda(a+b)} e^{i[k(a+b)+\delta]} \left\{ \left(\sum_{p=1}^n [C(\delta\sqrt{2p}) - C(\delta\sqrt{2p-1})] + 2i[S(\delta\sqrt{2p}) - S(\delta\sqrt{2p-1})] \right) \right\} \quad (57)$$

што според (54) дава за вредноста на интензитетот

$$I_{-}(\bar{PP}) = \frac{2A^2\pi^2}{2\lambda(a+b)} \left\{ \left(\sum_{p=1}^n [C(\delta\sqrt{2p}) - C(\delta\sqrt{2p-1})] \right)^2 + \left(\sum_{p=1}^n [S(\delta\sqrt{2p}) - S(\delta\sqrt{2p-1})] \right)^2 \right\} \quad (58)$$

Позитивната пак мрежичка, вдолж правите нормални на оптичката оска, за брановата функција на дифрактираната светлина дава вредност

$$U_{+}(\bar{PP}) = \frac{2i\pi A e^{i[k(a+b)+\delta]}}{\sqrt{2}\lambda(a+b)} \left\{ \left(\sum_{p=1}^n [C(\delta\sqrt{2p-1}) - C(\delta\sqrt{2p-2})] + i[S(\delta\sqrt{2p-1}) - S(\delta\sqrt{2p-2})] \right) \right\} \quad (59)$$

и интензитет

$$I_{+}(\bar{PP}) = \frac{2A^2\pi^2}{2\lambda(a+b)} \left\{ \left(\sum_{p=1}^n [C(\delta\sqrt{2p-1}) - C(\delta\sqrt{2p-2})] \right)^2 + \left(\sum_{p=1}^n [S(\delta\sqrt{2p-1}) - S(\delta\sqrt{2p-2})] \right)^2 \right\} \quad (60)$$

Формулите (58) и (60) можат да бидат напишани и на друг начин.

На пример за негативната мрежичка од формулата (55) следува

$$I_{-}(\bar{PP}) = \frac{A^2\pi^2}{2\lambda(a+b)} \left\{ \left(\sum_{p=1}^n [C(\delta\sqrt{2p}) - C(\delta\sqrt{2p-1})] - [C(-\delta\sqrt{2p}) - C(-\delta\sqrt{2p-1})] \right)^2 + \left(\sum_{p=1}^n [S(\delta\sqrt{2p}) - S(\delta\sqrt{2p-1})] - [S(-\delta\sqrt{2p}) - S(-\delta\sqrt{2p-1})] \right)^2 \right\}$$

или

$$I_{-}(\bar{PP}) = \frac{A^2\pi^2}{2\lambda(a+b)} \left\{ \left[\left(\sum_{p=1}^n [C(\delta\sqrt{2p}) - C(\delta\sqrt{2p-1})] \right)^2 - 2 \left(\sum_{p=1}^n [C(\delta\sqrt{2p}) - C(\delta\sqrt{2p-1})] \right) \left(\sum_{p=1}^n [C(-\delta\sqrt{2p}) - C(-\delta\sqrt{2p-1})] \right) + \left(\sum_{p=1}^n [C(-\delta\sqrt{2p}) - C(-\delta\sqrt{2p-1})] \right)^2 \right] + \left[\left(\sum_{p=1}^n [S(\delta\sqrt{2p}) - S(\delta\sqrt{2p-1})] \right)^2 + \left(\sum_{p=1}^n [S(-\delta\sqrt{2p}) - S(-\delta\sqrt{2p-1})] \right)^2 - 2 \left(\sum_{p=1}^n [S(\delta\sqrt{2p}) - S(\delta\sqrt{2p-1})] \right) \cdot \left(\sum_{p=1}^n [S(-\delta\sqrt{2p}) - S(-\delta\sqrt{2p-1})] \right) \right] \right\} \quad (61)$$

Интензитетот што се добива на правите кои стојат нормално на оптичката оска се состои од три дела

$$I = I_1 + I_2 + I_3$$

каде

$$I_1 = \frac{A^2 \pi^2}{2\lambda(a+b)} \left\{ \left(\sum_{p=1}^N [C(\sqrt{2p}) - C(\sqrt{2p-1})] \right)^2 + \left(\sum_{p=1}^N [S(\sqrt{2p}) - S(\sqrt{2p-1})] \right)^2 \right\} \quad (62)$$

е интензитетот што потекнува од интерференцијата на зоните што лежат нормално на позитивниот смер на x-оската (на десната страна од мрежичката), а

$$I_2 = \frac{A^2 \pi^2}{2\lambda(a+b)} \left\{ \left(\sum_{p=1}^N [C(-\sqrt{2p}) - C(-\sqrt{2p-1})] \right)^2 + \left(\sum_{p=1}^N [S(-\sqrt{2p}) - S(-\sqrt{2p-1})] \right)^2 \right\} \quad (63)$$

е интензитетот што потекнува од интерференцијата на брановите кои излегуваат од зоните распределени по негативниот смер на x-оската (налевата страна на мрежичката) и

$$I_3 = -\frac{A^2 \pi^2}{2\lambda(a+b)} \left\{ \left(\sum_{p=1}^N [C(\sqrt{2p}) - C(\sqrt{2p-1})] \right) \left(\sum_{p'=1}^N [C(-\sqrt{2p'}) - C(-\sqrt{2p'-1})] \right) + \left(\sum_{p=1}^N [S(\sqrt{2p}) - S(\sqrt{2p-1})] \right) \left(\sum_{p'=1}^N [S(-\sqrt{2p'}) - S(-\sqrt{2p'-1})] \right) \right\} \quad (64)$$

го претставува делот од интензитетот што се должи на взаимното дејство на брановите кои поминале од двете страни на мрежичката.

Кога ќе се земат во предвид антисиметричните особини на Френеловите интеграли, следува дека е

$$I_1 = I_2 = \frac{1}{2} I_3$$

односно

$$I = I_1 + I_2 + I_3 = 4I_1 \quad (65)$$

Следува заклучок дека кога би се работело само со половина мрежичка, би се добил ист распоред на интензитетот но неговата вредност би била четири пати помала.

Очигледно е дека истата особина ја поседува и позитивната мрежичка.

Споредбата на формулите (58) и (60) покажува дека позитивната мрежичка дава вредност на интензитетот која се разликува од онаа на негативната за износ

$$\Delta I = I_+ - I_-$$

кој со оглед на тоа да е

$$\sum_{p=1}^n C(t\sqrt{2p}) = C(t\sqrt{2N}) + \sum_{p=1}^n C(t\sqrt{2p-2})$$

и

$$\sum_{p=1}^n S(t\sqrt{2p}) = S(t\sqrt{2N}) + \sum_{p=1}^n S(t\sqrt{2p-2})$$

има вредност

$$\begin{aligned} \Delta I &= \frac{2A^2\pi^2}{\lambda(a+b)} \left\{ \left(\sum_{p=1}^n [C(t\sqrt{2p-1}) - C(t\sqrt{2p-2})] \right)^2 - \left(C(t\sqrt{2N}) - \sum_{p=1}^n [C(t\sqrt{2p-1}) - C(t\sqrt{2p-2})] \right)^2 \right. \\ &\quad \left. + \left(\sum_{p=1}^n [S(t\sqrt{2p-1}) - S(t\sqrt{2p-2})] \right)^2 - \left(S(t\sqrt{2N}) - \sum_{p=1}^n [S(t\sqrt{2p-1}) - S(t\sqrt{2p-2})] \right)^2 \right\} = \\ &= \frac{2A^2\pi^2}{\lambda(a+b)} \left\{ C(t\sqrt{2N}) \left(2 \sum_{p=1}^n [C(t\sqrt{2p-1}) - C(t\sqrt{2p-2})] - C(t\sqrt{2N}) \right) + \right. \\ &\quad \left. + S(t\sqrt{2N}) \left(2 \sum_{p=1}^n [S(t\sqrt{2p-1}) - S(t\sqrt{2p-2})] - S(t\sqrt{2N}) \right) \right\} \quad (66) \end{aligned}$$

Постоењето на различни вредности на интензитетот кај негативната и позитивната линеарна зонска мрежичка е битна особина на овој тип на мрежички. Како што беше порано споменато кај кружните мрежички се добива иста вредност за интензитетот без оглед на тоа дали се работи со позитивна или негативна мрежичка од Соретов тип. Тоа е и разбираливо со оглед на рамноправното учество на сверните зони со бројот на елементарни извори, што овде не е случај и што може да се види како од формулите (57) и (59), така и од формулите (58) и (60).

Се поставува прашање дали нееднаквото учество на зоните во формирањето на вредноста на интензитетот ќе влијае и врз неговата распределба вдолж оптичката оска. За таа цел ќе биде направена подробна анализа за вредностите на интензитетот по оптичката оска за двата типа на мрежички.

РАСПОРЕД НА ИНТЕНЗИТЕТОТ НА ДИФРАКТИРАНАТА СВЕТЛИНА ПО ОПТИЧКАТА ОСКА КАЈ НЕГАТИВНАТА ЛИНЕАРНА ЗОНСКА МРЕЖИЧКА

Како што беше покажано интензитетот вдолж правите \overline{PP}' кои стојат нормално на оптичката оска, кај негативната зонска мрежичка е даден со формулата (58). Од Сл.9 се гледа дека величината ($a+b$) која се јавува во именителот пред големата заграда, всушност го претставува растојанието меѓу светлинскиот извор SS' и правата \overline{PP}' на оптичката оска по која го испитуваме интензитетот. За прецизно мерење на интензитетот, на местото на правата \overline{PP}' треба да биде поставена влезната пукнатина на еден фотометар или било кој друг инструмент со кој би се мереала вредноста на интензитетот. Со цел да се испита распоредот на интензитетот во оптичката осна рамнина, би требало инструментот да се движи и да се поставува на различни растојанија b од мрежичката.

Меѓутоа, со цел да се избегнат експерименталните темкотии во врска со движењето на инструментот (при што треба да се внимава неговиот влезен отвор да стои строго паралелно со оската на мрежичката и да е нормален на оптичката оска), мерењето на интензитетот може да се изведе и така, што инструментот, еднаш подесен за мерење, се остава да мирува, а мрежичката се донесува на разни растојанија b во однос на инструментот. При тоа едновремено се менуваат величините a и b , но така што

$$a + b = c \text{ - константа.} \quad (67)$$

од каде следува

$$a = c - b$$

Според тоа за количникот пред големата заграда може да се стави

$$\frac{2A^2\bar{\kappa}^2}{\lambda(a+b)} = K \quad (68)$$

каде K е константа кога се работи со монохроматски светлински извор.

Значи

$$I_{(PP)} = K \left\{ \left(\sum_{p=1}^n [C(\sqrt{2p}) - C(\sqrt{2p-1})] \right)^2 + \left(\sum_{p=1}^n [S(\sqrt{2p}) - S(\sqrt{2p-1})] \right)^2 \right\} \quad (69)$$

ќе биде равенката што го дава интензитетот на негативната мрежичка вдолж правите кои стојат нормално на оптичката оска и која ќе биде предмет на понатамошна подробна анализа.

За да се најде за кои вредности λ интензитетот добива екстремна вредност, ќе треба, како што е тоа вообично во математичката анализа, првиот извод на оваа функција да го изедначима со нула. При тоа треба да се води сметка дека е

$$\gamma = \alpha \sqrt{\frac{2}{\lambda}} \quad \text{и} \quad \frac{d\gamma}{d\lambda} = \frac{\alpha b}{\alpha + b} = \frac{b(c-b)}{c}$$

значи

$$\frac{dI}{db} = \frac{dI}{d\gamma} \cdot \frac{d\gamma}{db} = \frac{c-2b}{c} \frac{dI}{d\gamma} = 0 \quad (70)$$

Равенката (70) ќе биде задоволена кога

$$b = \frac{c}{2} \quad (71)$$

и кога

$$\frac{dI}{dc} = 0 \quad (72)$$

Решението (71) одговара на случајот кога $a = b = \frac{c}{2}$ т.е. кога мрежичката се наоѓа на средината меѓу изворот и екранот односно фотметарот. Овој резултат ќе биде дискутиран пододна.

За нас многу поважно е да најдеме за кои вредности на $\frac{dI}{dc}$ односно b е задоволена равенката (72). Пред поминувањето на нејзиното решавање, ќе воведеме скратена ознака за величините

$$8\sqrt{2\beta} = \alpha \sqrt{\frac{2 \cdot 2\beta}{\lambda^2}} = n_p \quad \text{и} \quad 8\sqrt{2\beta-1} = \alpha \sqrt{\frac{2 \cdot (2\beta-1)}{\lambda^2}} = u_p \quad (73)$$

Тогаш за вредноста на изводот од (72) ќе имаме

$$\begin{aligned} \frac{dI}{dt} = 2K & \left\{ \left(\sum_{p=1}^n [C(n_p) - C(u_p)] \right) \cdot \frac{d}{dt} \left(\sum_{p=1}^n [C(n_p) - C(u_p)] \right) + \right. \\ & \left. + \left(\sum_{p=1}^n [S(n_p) - S(u_p)] \right) \cdot \frac{d}{dt} \left(\sum_{p=1}^n [S(n_p) - S(u_p)] \right) \right\} \end{aligned}$$

или

$$\begin{aligned} \frac{dI}{dt} = 2K & \left\{ \left(\sum_{p=1}^n [C(n_p) - C(u_p)] \right) \left(\sum_{p=1}^n \left[\frac{dC(n_p)}{dn_p} \frac{dn_p}{dt} - \frac{dC(u_p)}{du_p} \frac{du_p}{dt} \right] \right) + \right. \\ & \left. + \left(\sum_{p=1}^n [S(n_p) - S(u_p)] \right) \left(\sum_{p=1}^n \left[\frac{dS(n_p)}{dn_p} \frac{dn_p}{dt} - \frac{dS(u_p)}{du_p} \frac{du_p}{dt} \right] \right) \right\} \end{aligned}$$

Ако е

$$C(\sigma) = \int_0^\pi \cos \frac{\pi}{2} \xi^2 d\xi \quad \text{и} \quad S(\sigma) = \int_0^\pi \sin \frac{\pi}{2} \xi^2 d\xi$$

Тогаш

$$\begin{aligned} \frac{dC(n_p)}{dn_p} &= \cos \frac{\pi}{2} n_p^2 & \frac{dS(n_p)}{dn_p} &= \sin \frac{\pi}{2} n_p^2 \\ \frac{dC(u_p)}{du_p} &= \cos \frac{\pi}{2} u_p^2 & \frac{dS(u_p)}{du_p} &= \sin \frac{\pi}{2} u_p^2 \end{aligned} \quad (74)$$

Освен тоа имаме за изводите

$$\frac{dn_p}{dt} = \frac{d}{dt} (\alpha \sqrt{\frac{2 \cdot 2\beta}{\lambda^2}}) = -\frac{1}{2\beta} n_p \quad \frac{du_p}{dt} = -\frac{1}{2\beta} u_p \quad (75)$$

Значи ќе треба да се изедначи со нула изразот

$$\begin{aligned} \frac{dI}{dt} = -\frac{K}{\pi} & \left\{ \left(\sum_{p=1}^n [C(n_p) - C(u_p)] \right) \left(\sum_{p=1}^n [n_p \cos \frac{\pi}{2} n_p^2 - u_p \cos \frac{\pi}{2} u_p^2] \right) + \right. \\ & \left. + \left(\sum_{p=1}^n [S(n_p) - S(u_p)] \right) \left(\sum_{p=1}^n [n_p \sin \frac{\pi}{2} n_p^2 - u_p \sin \frac{\pi}{2} u_p^2] \right) \right\} \end{aligned} \quad (76)$$

Како што се гледа изразот (76) претставува једна трансцендентна равенка која не може лесно да се реши. Поради тоа наместо да

работиме со Френелови интеграли, во изразот (69) ќе ги внесеме релациите кои ги претставуваат овие интеграли со помош на опаѓачки редови во однос на нивниот аргумент [30]. Имено

$$C(n) = \int_0^\infty \cos \frac{\pi}{2} \xi^2 d\xi = \int_0^\infty \cos \frac{\pi}{2} \xi^2 d\xi - \int_0^\infty \frac{d}{d\xi} (\sin \frac{\pi}{2} \xi^2) \frac{d\xi}{\pi \xi}$$

парцијалната интеграција дава

$$C(n) = C(\infty) + \frac{1}{\pi n} \sin \frac{\pi}{2} n^2 + \int_n^\infty \frac{d}{d\xi} (\cos \frac{\pi}{2} \xi^2) \frac{d\xi}{\pi^2 \xi^3}$$

и кога би се продолжило со понатамошни парцијални интеграции ќе се добие

$$C(n) = C(\infty) - \frac{1}{\pi n} [N(n) \cos \frac{\pi}{2} n^2 - M(n) \sin \frac{\pi}{2} n^2]$$

и на сличен начин

$$S(n) = S(\infty) - \frac{1}{\pi n} [N(n) \sin \frac{\pi}{2} n^2 + M(n) \cos \frac{\pi}{2} n^2]$$

каде

$$M(n) = 1 - \frac{1 \cdot 3}{(\pi n^2)^2} + \frac{1 \cdot 3 \cdot 5 \cdot 7}{(\pi n^2)^4} - + \dots$$

$$N(n) = \frac{1}{\pi n^2} - \frac{1 \cdot 3 \cdot 5}{(\pi n^2)^3} + \frac{1 \cdot 3 \cdot 5 \cdot 7 \cdot 9}{(\pi n^2)^5} - + \dots$$

Френеловите интеграли за бескрајно голем аргумент имаат вредност

$$C(\infty) = \frac{1}{2} \quad S(\infty) = \frac{1}{2}$$

а наместо функциите $M(n)$ и $N(n)$ ќе воведеме нови две функции такви што

$$Q(n) = \frac{1}{\pi n} M(n) \quad P(n) = \frac{1}{\pi n} N(n) \quad (77)$$

Тогаш френеловите интеграли се претставени со изразите

$$\begin{aligned} C(n) &= \frac{1}{2} + Q(n) \sin \frac{\pi}{2} n^2 - P(n) \cos \frac{\pi}{2} n^2 \\ S(n) &= \frac{1}{2} - Q(n) \cos \frac{\pi}{2} n^2 - P(n) \sin \frac{\pi}{2} n^2 \end{aligned} \quad (78)$$

Функцијата $Q(n)$ за големи вредности на аргументот може да биде апроксимирана со $Q \rightarrow \frac{1}{\pi n}$, додека $P(n)$ многу бргу опаѓа и тежи

кон нула. Однесувањето на овие две функции може да се види од таблицата I приложена во додатокот на дисертацијата.

Од формулите (78) следува дека е

$$C(w_p) - C(u_p) = Q(w_p) \sin \frac{\pi}{2} n_p^2 - Q(u_p) \sin \frac{\pi}{2} u_p^2 - P(w_p) \cos \frac{\pi}{2} n_p^2 + P(u_p) \cos \frac{\pi}{2} u_p^2$$

$$S(w_p) - S(u_p) = -Q(w_p) \cos \frac{\pi}{2} n_p^2 + Q(u_p) \cos \frac{\pi}{2} u_p^2 - P(w_p) \sin \frac{\pi}{2} n_p^2 + P(u_p) \sin \frac{\pi}{2} u_p^2$$

Тогаш наместо формулата (69) за интензитетот на негативната мрежичка ја имаме формулата

$$\begin{aligned} I_{-}(\bar{P}P) = K & \left\{ \left(\sum_{p=1}^n [Q(w_p) \sin \frac{\pi}{2} n_p^2 - Q(u_p) \sin \frac{\pi}{2} u_p^2 - P(w_p) \cos \frac{\pi}{2} n_p^2 + P(u_p) \cos \frac{\pi}{2} u_p^2] \right)^2 + \right. \\ & \left. + \left(\sum_{p=1}^n [-Q(w_p) \cos \frac{\pi}{2} n_p^2 + Q(u_p) \cos \frac{\pi}{2} u_p^2 - P(w_p) \sin \frac{\pi}{2} n_p^2 + P(u_p) \sin \frac{\pi}{2} u_p^2] \right)^2 \right\} \quad (79) \end{aligned}$$

Првиот извод по променливата τ од изразот (79) е

$$\begin{aligned} \frac{dI_{-}(\bar{P}P)}{dt} = 2K & \left(\sum_{p=1}^n [Q(w_p) \sin \frac{\pi}{2} n_p^2 - Q(u_p) \sin \frac{\pi}{2} u_p^2 - P(w_p) \cos \frac{\pi}{2} n_p^2 + \right. \\ & + P(u_p) \cos \frac{\pi}{2} u_p^2] \left(\sum_{p=1}^n \frac{dn_p}{dt} \left[\frac{dQ(w_p)}{dn_p} \sin \frac{\pi}{2} n_p^2 + \pi n_p Q(w_p) \cos \frac{\pi}{2} n_p^2 - \right. \right. \\ & - \frac{dP(w_p)}{dn_p} \cos \frac{\pi}{2} n_p^2 + \pi n_p P(w_p) \sin \frac{\pi}{2} n_p^2] + \frac{du_p}{dt} \left[-\frac{dQ(u_p)}{du_p} \sin \frac{\pi}{2} u_p^2 - \pi u_p Q(u_p) \cos \frac{\pi}{2} u_p^2 + \right. \\ & + \frac{dP(u_p)}{du_p} \cos \frac{\pi}{2} u_p^2 - \pi u_p P(u_p) \sin \frac{\pi}{2} u_p^2] \left. \right) + 2K \left(\sum_{p=1}^n [-Q(w_p) \cos \frac{\pi}{2} n_p^2 + \right. \\ & + Q(u_p) \cos \frac{\pi}{2} u_p^2 - P(w_p) \sin \frac{\pi}{2} n_p^2 + P(u_p) \sin \frac{\pi}{2} u_p^2] \left(\sum_{p=1}^n \frac{du_p}{dt} \left[-\frac{dQ(w_p)}{du_p} \cos \frac{\pi}{2} n_p^2 + \right. \right. \\ & + \pi u_p Q(w_p) \sin \frac{\pi}{2} n_p^2 - \frac{dP(w_p)}{du_p} \sin \frac{\pi}{2} n_p^2 - \pi u_p P(w_p) \cos \frac{\pi}{2} n_p^2] + \frac{dn_p}{dt} \left[\frac{dQ(u_p)}{dn_p} \cos \frac{\pi}{2} u_p^2 - \right. \\ & \left. - \pi u_p Q(u_p) \sin \frac{\pi}{2} u_p^2 + \frac{dP(u_p)}{dn_p} \sin \frac{\pi}{2} u_p^2 + \pi u_p P(u_p) \cos \frac{\pi}{2} u_p^2 \right) \quad (80) \end{aligned}$$

Од формулите (77) следува дека

$$Q(n) = \frac{1}{\pi n^2} - \frac{1 \cdot 3}{\pi^3 n^4} + \frac{1 \cdot 3 \cdot 5 \cdot 7}{\pi^5 n^6} - \frac{1 \cdot 3 \cdot 5 \cdot 7 \cdot 9 \cdot 11}{\pi^7 n^8} + \dots$$

и

$$P(n) = \frac{1}{\pi^2 n^2} - \frac{1 \cdot 3 \cdot 5}{\pi^4 n^4} + \frac{1 \cdot 3 \cdot 5 \cdot 7 \cdot 9}{\pi^6 n^6} - + \dots$$

па според тоа

$$\begin{aligned}\frac{dQ(n)}{dn} &= -\frac{1}{\pi n^2} + \frac{1 \cdot 3 \cdot 5}{(\pi n^2)^3} - \frac{1 \cdot 3 \cdot 5 \cdot 7 \cdot 9}{(\pi n^2)^5} + \dots = -\pi n P(n) \\ \frac{dP(n)}{dn} &= -\frac{1 \cdot 3}{(\pi n^2)^2} + \frac{1 \cdot 3 \cdot 5 \cdot 7}{(\pi n^2)^4} - \frac{1 \cdot 3 \cdot 5 \cdot 7 \cdot 9 \cdot 11}{(\pi n^2)^6} + \dots = \pi n Q(n) - 1\end{aligned}\quad (81)$$

Значи во формулата (80) покрај изводите (75) ќе треба да ги замениме и изводите

$$\begin{aligned}\frac{dQ(n_p)}{dn_p} &= -\pi n_p P(n_p) & \frac{dQ(u_p)}{du_p} &= -\pi u_p P(u_p) \\ \frac{dP(n_p)}{dn_p} &= \pi n_p Q(n_p) - 1 & \frac{dP(u_p)}{du_p} &= \pi u_p Q(u_p) - 1\end{aligned}\quad (82)$$

Така ќе треба да се изедначи со нула изразот

$$\begin{aligned}\frac{dI(\bar{P}P)}{dt} &= -\frac{K}{4} \left\{ \left(\sum_{p=1}^n [Q(n_p) \sin \frac{\pi}{2} n_p^2 - Q(u_p) \sin \frac{\pi}{2} u_p^2 - P(n_p) \cos \frac{\pi}{2} n_p^2 + \right. \right. \\ &\quad \left. \left. + P(u_p) \cos \frac{\pi}{2} u_p^2] \right) \left(\sum_{p=1}^n [n_p \cos \frac{\pi}{2} n_p^2 - u_p \cos \frac{\pi}{2} u_p^2] \right) + \left(\sum_{p=1}^n [-Q(n_p) \cos \frac{\pi}{2} n_p^2 + \right. \right. \\ &\quad \left. \left. + Q(u_p) \cos \frac{\pi}{2} u_p^2 - P(n_p) \sin \frac{\pi}{2} n_p^2 + P(u_p) \sin \frac{\pi}{2} u_p^2] \right) \left(\sum_{p=1}^n [n_p' \sin \frac{\pi}{2} n_p^2 - \right. \right. \\ &\quad \left. \left. - u_p' \sin \frac{\pi}{2} u_p^2] \right) \right\} = 0\end{aligned}\quad (83)$$

Кога ќе се изврши множење на сумите во големата заграда се добива

$$\begin{aligned}\sum_{p=1}^n \sum_{p'=1}^n &\left\{ Q(n_p) n_p \sin \frac{\pi}{2} n_p^2 \cos \frac{\pi}{2} n_p^2 - Q(u_p) u_p \sin \frac{\pi}{2} n_p^2 \cos \frac{\pi}{2} u_p^2 - Q(u_p) n_p' \sin \frac{\pi}{2} n_p^2 \cos \frac{\pi}{2} n_p^2 + \right. \\ &\quad \left. + Q(u_p) u_p' \sin \frac{\pi}{2} u_p^2 \cos \frac{\pi}{2} u_p^2 - P(n_p) n_p' \cos \frac{\pi}{2} n_p^2 \cos \frac{\pi}{2} n_p^2 + P(n_p) u_p' \cos \frac{\pi}{2} n_p^2 \cos \frac{\pi}{2} u_p^2 + \right. \\ &\quad \left. + P(u_p) n_p' \cos \frac{\pi}{2} u_p^2 \cos \frac{\pi}{2} n_p^2 - P(u_p) u_p' \cos \frac{\pi}{2} u_p^2 \cos \frac{\pi}{2} u_p^2 - Q(n_p) n_p' \cos \frac{\pi}{2} n_p^2 \sin \frac{\pi}{2} n_p^2 + \right. \\ &\quad \left. + Q(u_p) u_p' \cos \frac{\pi}{2} u_p^2 \sin \frac{\pi}{2} u_p^2 + Q(u_p) n_p' \cos \frac{\pi}{2} n_p^2 \sin \frac{\pi}{2} n_p^2 - Q(u_p) u_p' \cos \frac{\pi}{2} u_p^2 \sin \frac{\pi}{2} u_p^2 - \right.\end{aligned}$$

$$- P(w_p) n_p' \sin \frac{\pi}{2} n_p^2 \sin \frac{\pi}{2} n_p^2 + P(n_p) n_p' \sin \frac{\pi}{2} n_p^2 \sin \frac{\pi}{2} n_p^2 + P(u_p) n_p' \sin \frac{\pi}{2} u_p^2 \sin \frac{\pi}{2} n_p^2 - \\ - P(u_p) u_p' \sin \frac{\pi}{2} u_p^2 \sin \frac{\pi}{2} u_p^2 \} = 0$$

а со понатамошно групирање на членовите со заеднички множители се добива

$$\sum_{p=1}^n \sum_{p'=1}^n \{ Q(w_p) n_p' \sin \frac{\pi}{2} (n_p^2 - n_p'^2) - Q(n_p) n_p' \sin \frac{\pi}{2} (n_p^2 - n_p'^2) - \\ - Q(u_p) n_p' \sin \frac{\pi}{2} (u_p^2 - n_p'^2) + Q(u_p) u_p' \sin \frac{\pi}{2} (u_p^2 - n_p'^2) - P(n_p) n_p' \cos \frac{\pi}{2} (n_p^2 - n_p'^2) + \\ + P(n_p) n_p' \cos \frac{\pi}{2} (n_p^2 - n_p'^2) + P(u_p) n_p' \cos \frac{\pi}{2} (u_p^2 - n_p'^2) - P(u_p) u_p' \cos \frac{\pi}{2} (u_p^2 - n_p'^2) \} = 0 \quad (84)$$

За изразите што се наоѓаат под знакот на тригонометриските функции со оглед на смената (73) имаме

$$\begin{aligned} \frac{\pi}{2} (n_p^2 - n_p'^2) &= \frac{\pi \alpha^2}{2} \left(\alpha^2 \frac{2 \cdot 2 \beta}{\lambda^2} - \alpha^2 \frac{2 \cdot 2 \beta'}{\lambda^2} \right) = \frac{\pi \alpha^2}{\lambda^2} (2\beta - 2\beta') \\ \frac{\pi}{2} (n_p^2 - u_p^2) &= \frac{\pi \alpha^2}{\lambda^2} [(2\beta - 2\beta') + 1] \\ \frac{\pi}{2} (u_p^2 - n_p'^2) &= \frac{\pi \alpha^2}{\lambda^2} [(2\beta - 2\beta') - 1] \\ \frac{\pi}{2} (u_p^2 - u_p'^2) &= \frac{\pi \alpha^2}{\lambda^2} (2\beta - 2\beta') \end{aligned} \quad (85)$$

Заменувајќи ги формулите (85) во (84), конечно за изразот со кој ќе ги бараме местата на екстремните вредности на интензитетот, односно за првиот извод кој го изедначуваме со нула имаме

$$\begin{aligned} \frac{dI - (84)}{d\beta} = - \frac{K}{\lambda^2} \sum_{p=1}^n \sum_{p'=1}^n \{ [Q(n_p) n_p' + Q(u_p) u_p'] \sin \frac{\pi \alpha^2}{\lambda^2} (2\beta - 2\beta') - \\ - Q(w_p) u_p' \sin [\frac{\pi \alpha^2}{\lambda^2} (2\beta - 2\beta') + \frac{\pi \alpha^2}{\lambda^2}] - Q(u_p) n_p' \sin [\frac{\pi \alpha^2}{\lambda^2} (2\beta - 2\beta') - \frac{\pi \alpha^2}{\lambda^2}] - \\ - [P(w_p) n_p' + P(u_p) u_p'] \cos \frac{\pi \alpha^2}{\lambda^2} (2\beta - 2\beta') + P(n_p) u_p' \cos [\frac{\pi \alpha^2}{\lambda^2} (2\beta - 2\beta') + \frac{\pi \alpha^2}{\lambda^2}] + \\ + P(u_p) n_p' \cos [\frac{\pi \alpha^2}{\lambda^2} (2\beta - 2\beta') - \frac{\pi \alpha^2}{\lambda^2}] \} = 0 \end{aligned} \quad (86)$$

Кога ќе се земат во предвид ознаките (48) и (73), условот (86) ќе биде задоволен кога

$$\sum_{p=1}^n \sum_{p'=1}^n \left\{ \left[(Q(n_p)n_p' + Q(m_p)m_p') - (Q(n_p)m_p' + Q(m_p)n_p') \cos \frac{\pi t^2}{2} - \right. \right. \\ \left. \left. - (P(n_p)m_p' - P(m_p)n_p') \sin \frac{\pi t^2}{2} \right] \sin \pi t^2(p-p') - \left[(P(n_p)n_p' + P(m_p)m_p') \right. \right. \\ \left. \left. - (P(n_p)m_p' + P(m_p)n_p') \cos \frac{\pi t^2}{2} - (Q(n_p)m_p' - Q(m_p)n_p') \sin \frac{\pi t^2}{2} \right] \cos \pi t^2(p-p') \right\} = 0 \quad (87)$$

Бидејќи функциите $P(n_p)$ и $P(m_p)$ многу бргу тежат кон нула (како $\frac{1}{x^{2-m}}$) членовите во кои се јавуваат тие можеме да ги занемариме. Ова занемарување би можноло да се направи кога n и $m > 2$. Тоа значи дека би требало да работиме или во интервалот $t > 2$ или пак со членовите во кои индексот на сумирање е доволно висок така што $\sqrt{2p-1} = n_p > 2$ односно $\sqrt{2p} = n_p > 2$. Да претпоставиме дека имаме учество на сите зони од мрежичката и дека ги бараме екстремите во интервалот $t > 2$. Со тоа во формулата (87) можеме да ги занемариме функциите $P(n_p)$ и $P(m_p)$, така што како услов за добивање на екстремните места ја имаме формулата

$$\sum_{p=1}^n \sum_{p'=1}^n \left\{ \left[(Q(n_p)n_p' + Q(m_p)m_p') - (Q(n_p)m_p' + Q(m_p)n_p') \cos \frac{\pi t^2}{2} \right] \sin \pi t^2(p-p') + \right. \\ \left. + (Q(n_p)m_p' - Q(m_p)n_p') \sin \frac{\pi t^2}{2} \cos \pi t^2(p-p') \right\} = 0 \quad (88)$$

Веднаш може да се види дека за секое p и p' овој услов е задоволен со решението

$$\frac{\pi t^2}{2} = m\pi \quad \text{или} \quad t = \sqrt{2m} \quad \text{каде } m \text{-цел број} \quad (89)$$

зашто тогаш $\sin \frac{\pi t^2}{2} = \sin m\pi = 0$ и $\sin \pi t^2(p-p') = \sin 2m\pi(p-p') = 0$

На тој начин апроксимативно ги определивме главните екстреми на интензитетот. Ги наречуваме главни зашто нивното место не зависи од редните броеви p и p' , односно од бројот

на зоните на мрежичката што учествуваат во дифракцијата.

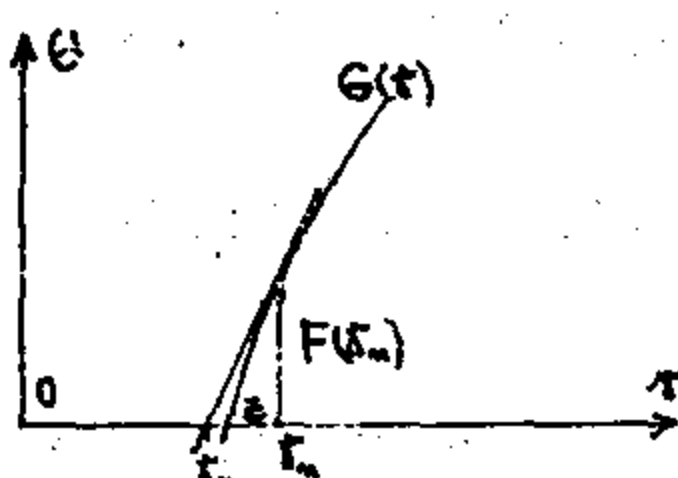
Апроксимативната формула (88) се разликува од правилото услов за екстрем (87) за величината

$$F(t) = \sum_{\rho} \sum_{\rho'} \left\{ (P(\nu_{\rho}) \mu_{\rho} - P(\nu_{\rho'}) \mu_{\rho'}) \sin \frac{\pi t^2}{2} \sin \pi t^2 (\rho - \rho') + \right. \\ \left. + [P(\nu_{\rho}) \mu_{\rho} + P(\nu_{\rho'}) \mu_{\rho'}] - (P(\nu_{\rho}) \mu_{\rho} + P(\nu_{\rho'}) \mu_{\rho'}) \cos \frac{\pi t^2}{2} \right] \cos \pi t^2 (\rho - \rho') \right\} \quad (90)$$

која на местата на главните екстреми за кои $t^2 = 2m$ е рамка на

$$F(t)_{t=\sqrt{2m}} = \sum_{\rho} \sum_{\rho'} \left\{ (P(\nu_{\rho}) \mu_{\rho} + P(\nu_{\rho'}) \mu_{\rho'}) - (-1)^m (P(\nu_{\rho}) \mu_{\rho} + P(\nu_{\rho'}) \mu_{\rho'}) \right\} = \\ = \sum_{\rho} \sum_{\rho'} P(\sqrt{2m} \cdot \rho) \left[\sqrt{2m} \cdot \rho' - (-1)^m \sqrt{2m} (\rho' - 1) + P(\sqrt{2m} \cdot \rho - 1) \sqrt{2m} (\rho' - 1) - (-1)^m \sqrt{2m} \rho' \right] \quad (91)$$

Со $G(t)$ ќе го означиме изразот на левата страна од формулата (88). Според (87) за $t_m = \sqrt{2m}$ следува дека $G(t_m) = F(t_m)$ а не е рамен на нула. Да претпоставиме сега дека $G(t) = 0$ во близина на $t = \sqrt{2m}$. Види Сл.10. Во тој случај коефициентот на



Сл.10

правецот на тангентата повлечена врз функцијата $G(t)$ за $t = \sqrt{2m}$ можеме да го замениме со количникот

$$\left(\frac{dG(t)}{dt} \right)_{t=\sqrt{2m}} = \frac{F(t_m)}{\epsilon_m} \quad (92)$$

Вс прва приближ-

ност поместувањето на екстремот можеме да земеме дека е еднакво на

$$\Delta t \approx \epsilon_m \times t_m - t_0$$

каде t_0 е вредност на пресекот на тангентата со t -оската. Од Сл.10 се гледа дека

$$\epsilon_m = \frac{F(t_m)}{\left(\frac{dG(t)}{dt} \right)_{t=\sqrt{2m}}} \quad (93)$$

Со $A(\tau)$ ќе го означиме множителот на $\sin \pi \tau^2 (\rho - \rho')$ во оштиот член на двојната сума од изразот (87), а со $B(\tau)$ множителот на $\cos \pi \tau^2 (\rho - \rho')$. Тогаш изводот што е потребен во именителот на (93) може скратено да се напише како

$$\frac{dG(\tau)}{d\tau} = \sum_p \sum_{p'} \left\{ \frac{dA(\tau)}{d\tau} \sin \pi \tau^2 (\rho - \rho') + A(\tau) 2\pi \tau (\rho - \rho') \cos \pi \tau^2 (\rho - \rho') + \right. \\ \left. + \frac{dB(\tau)}{d\tau} \cos \pi \tau^2 (\rho - \rho') - 2\pi \tau (\rho - \rho') \sin \pi \tau^2 (\rho - \rho') \cdot B(\tau) \right\} \quad (94)$$

Вредноста на овој израз на местата определени со $\tau = \sqrt{2m}$ се сведува поради $\cos \pi \tau^2 (\rho - \rho') = 1$ и $\sin \pi \tau^2 (\rho - \rho') = 0$ на

$$\left(\frac{dG(\tau)}{d\tau} \right)_{\tau=\sqrt{2m}} = \sum_p \sum_{p'} \left\{ 2\pi \tau_n (\rho - \rho') A(\tau_n) + \left(\frac{dB(\tau)}{d\tau} \right)_{\tau=\sqrt{2m}} \right\} \quad (95)$$

каде

$$A(\tau_n) = [Q(\tau_n \sqrt{2\rho}) \tau_n \sqrt{2\rho} + Q(\tau_n \sqrt{2\rho-1}) \tau_n \sqrt{2\rho-1}] - (-1)^n [Q(\tau_n \sqrt{2\rho}) \tau_n \sqrt{2\rho-1} + Q(\tau_n \sqrt{2\rho-1}) \tau_n \sqrt{2\rho}] \\ = \sqrt{2m} [\sqrt{2\rho} - (-1)^n \sqrt{2\rho-1}] [Q(\sqrt{2m} \cdot 2\rho) - Q(\sqrt{2m} (2\rho-1))]$$

и

$$\left(\frac{dB(\tau)}{d\tau} \right)_{\tau=\sqrt{2m}} = - \left\{ \tau_n \frac{dP(\tau_n \sqrt{2\rho})}{d\tau_n} [\sqrt{2\rho} - (-1)^n \sqrt{2\rho-1}] + \tau_n \frac{dP(\tau_n \sqrt{2\rho-1})}{d\tau_n} [\sqrt{2\rho-1} - (-1)^n \sqrt{2\rho}] + \right. \\ \left. + P(\tau_n \sqrt{2\rho}) [\sqrt{2\rho} - (-1)^n \sqrt{2\rho-1}] + P(\tau_n \sqrt{2\rho-1}) [\sqrt{2\rho-1} - (-1)^n \sqrt{2\rho}] \right\}$$

После соодветното групирање и употреба на формулите (82), вредноста на изразот за $\frac{dB}{d\tau_n}$ се сведува на

$$\frac{dB(\tau_n)}{d\tau_n} = - [\sqrt{2\rho} - (-1)^n \sqrt{2\rho-1}] [P(\sqrt{2m} \cdot 2\rho) - P(\sqrt{2m} (2\rho-1)) + \xi 2m 2\rho (Q(\sqrt{2m} \cdot 2\rho) - \\ - Q(\sqrt{2m} (2\rho-1)) + \xi 2m Q(\sqrt{2m} (2\rho-1)) - \sqrt{2m} (\sqrt{2\rho} - \sqrt{2\rho-1})] \quad (96)$$

Внесувајќи ги сите овие резултати во (95) се добива

$$\frac{dG(\tau_n)}{d\tau_n} = - \sum_p \sum_{p'} [\sqrt{2\rho} - (-1)^n \sqrt{2\rho-1}] \{ 4\pi m \rho [Q(\sqrt{2m} (2\rho-1)) - Q(\sqrt{2m} \cdot 2\rho)] +$$

$$+ [P(\sqrt{2m(2\beta-1)}) - P(\sqrt{2m \cdot 2\beta})] + 2m \xi Q(\sqrt{2m(2\beta-1)}) - \sqrt{2m}(\sqrt{2\beta} - \sqrt{2\beta-1}) \} \quad (97)$$

Последниот член во големата заграда

$$\sqrt{2m}(\sqrt{2\beta} - \sqrt{2\beta-1}) = \frac{\sqrt{2m}}{\sqrt{2\beta} + \sqrt{2\beta-1}} < \frac{\sqrt{2m}}{\sqrt{2\beta-1}}$$

е помал од претходниот член, кој според формулите (77) може да биде апраксимиран со

$$\xi 2m Q(\sqrt{2m(2\beta-1)}) \longrightarrow \xi 2m \frac{1}{\xi \sqrt{2m(2\beta-1)}} = \frac{\sqrt{2m}}{\sqrt{2\beta-1}}$$

и тоа за сите вредности на целиот број β . Се разбира дека $\sqrt{2m}(\sqrt{2\beta} - \sqrt{2\beta-1})$ ќе биде помал од збирот на трите претходни членови кои стојат во иста заграда со него но се со спротивен предзнак (секојпат позитивни). Според тоа изразот (97) ќе биде секојпат негативен, било m да има парни било да има непарни вредности.

Според тоа поместувањето на екстремните места ќе биде дадено со

$$\varepsilon_m = - \frac{\sum_{\beta} \sum_{\beta'} 2m[\sqrt{2\beta'} - (-1)^m \sqrt{2\beta-1}] [P(\sqrt{2m(2\beta-1)}) - P(\sqrt{2m \cdot 2\beta})]}{\sum_{\beta} \sum_{\beta'} L_{\beta\beta'}} \quad (98)$$

каде

$$L_{\beta\beta'} = [\sqrt{2\beta'} - (-1)^m \sqrt{2\beta-1}] \{ 45m\beta' [Q(\sqrt{2m(2\beta-1)}) - Q(\sqrt{2m \cdot 2\beta})] + [P(\sqrt{2m(2\beta-1)}) - P(\sqrt{2m \cdot 2\beta})] + 2m \xi Q(\sqrt{2m(2\beta-1)}) - \sqrt{2m}(\sqrt{2\beta} - \sqrt{2\beta-1}) \}$$

т.е. екстремите се поместени кон помали вредности од оние што ги определивме со решението (89) $t = t_m - \varepsilon_m$

Секој член од двојната сума на именителот е поголем од соодветниот член во броителот. И додека со наголемување на бројот на членовите во сумите, во броителот се добиваат членови со се помали вредности кои можат да бидат занемарени поради малата вредност на $[P(\sqrt{2m(2\beta-1)}) - P(\sqrt{2m \cdot 2\beta})]$, вредноста на именителот постојано расте. Поради тоа поместувањето на екстремот кај мрежички со поголем број на пропусни зони N ќе биде помало откол-

ку кај мрежичките со мал број на пропусни зони. Кај мрежички со многу голем број на пропусни зони $\delta \rightarrow 0$ па како место на главен екстрем може да се земе она спределено со $\xi = \sqrt{2m}$.

Значи поместувањето зависи од бројот на зоните со кој мрежичката учествува во дифракцијата и се намалува со растењето на бројот на пропусните зони.

Освен тоа бидејќи $\xi_m = \sqrt{2m}$ влегува во аргументот на функциите $P(\sqrt{2m}\beta)$, $P(\sqrt{2m}\beta-1)$ и $Q(\sqrt{2m}\beta)$ и $Q(\sqrt{2m}\beta-1)$, а со растење на вредноста на аргументот овие функции опаѓаат, особено функциите што се јавуваат во броителот на (98), следува заклучокот дека екстремите што носат повисок реден број m , ќе имаат помало поместување.

Парните екстреми ќе имат поместување добиено за $m = 2k$.

$$\epsilon_{2k} = - \frac{\sum \sum \sqrt{4k} [\sqrt{2\beta} - \sqrt{2\beta-1}] [P(\sqrt{4k}(\beta-1)) - P(\sqrt{4k}\beta)]}{\sum \sum L_{pp'2k}} \quad (99)$$

које е значително помало од поместувањето кое се добива за иста вредност на k но кај непарните екстреми определени со $m = 2k-1$

$$\epsilon_{2k-1} = - \frac{\sum \sum [\sqrt{2(2k-1)} [\sqrt{2\beta} + \sqrt{2\beta-1}] [P(\sqrt{2(2k-1)}(\beta-1)) - P(\sqrt{2(2k-1)}\beta)]}{\sum \sum L_{pp'2k-1}} \quad (100)$$

зашто кај парните екстреми малите разлики $[P(\xi_m \sqrt{2\beta-1}) - P(\xi_m \sqrt{2\beta})]$ треба да се множат со исто така мали разлики $[\sqrt{2\beta} - \sqrt{2\beta-1}]$, така што сумата во броителот ќе даде краен резултат со многу помала вредност од оној што го имаме во броителот на изразот (100), каде како множители на $[P(\xi_m \sqrt{2\beta-1}) - P(\xi_m \sqrt{2\beta})]$ се јавуваат збировите $[\sqrt{2\beta} + \sqrt{2\beta-1}]$.

Од сето досега изложено може да се изведе следниот заклучок: Најголемо поместување има екстремот со редниот број $m = 1$. Ова поместување може да се намали со зголемување на бројот на пропусните зони кај дифракционата мрежичка. За ист број

на пропусни зони, непарните екстреми ќе имаат поместување кое се намалува со зголемување на редниот број k на екстремот.

Првиот парен екстрем ќе биде многу помалку поместен од првиот непарен екстрем. А екстремите со висок парен ред k се уште помалку поместени, така што за нив можеме да сметаме дека $\Delta t \rightarrow 0$. И овде поместувањето на екстремите со ниска вредност на k може да се намали со зголемување на бројот на пропусните зони кај мрежичката.

Значи ако се одлучиме да работиме со мрежичка со бескрајно многу пропусни зони, како места каде интензитетот ја постига својата екстремна вредност ќе ги сметаме оние што се определени со решението (89), т.е. со $t^* = 2m$.

Целиот број m може да биде како позитивен така и негативен. Со оглед на формулата (46) решенијата (89) во кои m е позитивен број, за фокусното растојание

$$\frac{t^*}{\lambda} = \frac{2\alpha^2}{\lambda r^2} = \frac{\alpha^2}{\lambda m} \quad (101)$$

даваат вредности кои се исто така позитивни. Според тоа овие решенија ќе ги определуваат реалните фокусни растојанија.

Решенијата пак (89) во кои m е негативен цел број $m = -m$, така што $t^* = i\sqrt{2m}$, за фокусните растојанија даваат

$$\frac{t^*}{\lambda} = -\frac{\alpha^2}{\lambda m} \quad (102)$$

вредности кои се исто така негативни поради што ќе ги наречеме имагинарни фокусни растојанија.

Освен решенијата $t^* = \sqrt{2m}$, кои ги нарековме решенија што ги определуваат местата на главните екстреми, равенката (87) одк. (88) има и други решенија чиј број зависи од бројот N на пропусните зони на мрежичката. Овие решенија ќе ги определуваат местата на т.н. споредни екстреми, но за нив ќе

стане збор подоцна.

Ние само ги определивме местата на главните екстреми на интензитетот, не знаејќи кои од нив се места на максимални а кои места на минимални вредности на интензитетот. Затоа како следна задача се поставува прашањето да се испита карактерот на главните екстреми. Дискусијата ќе биде водена за случај на негативна мрежичка со голем број на пропусни зони, така што местата на главните екстреми се определени со равенката (89),

ИСПИТУВАЊЕ НА КАРАКТЕРОТ НА ГЛАВНИТЕ ЕКСТРЕМИ НА ИНТЕНЗИТЕТОТ ПО ОПТИЧКАТА ОСКА КАЈ НЕГАТИВНАТА ЛИНЕАРНА ЗОНСКА МРЕЖИЧКА

Од решението (89) за главните екстреми на интензитетот на линеарната зонска мрежичка $\Gamma = \frac{\alpha^2}{\lambda m}$ следува, според смената (48), формулата (101)

$$\frac{dI}{d\theta} = \frac{\alpha^2}{\lambda m}$$

каде за m земаме дека е цел позитивен број. За овие вредности на величината $\frac{dI}{d\theta}$ треба да се добијат максималните и минималните вредности на интензитетот. За да определим на кои од нив им припаѓаат овие вредности, ќе треба да се определи знакот на вториот извод $\frac{d^2I}{d\theta^2}$ како што е тоа вообичаено во математиката.

За првиот извод ја имаме формулата (70) во која според (86) за првиот извод ќе треба да се земе вредноста

$$\begin{aligned} \frac{dI(\bar{P}P)}{d\theta} = & -\frac{K}{\frac{dI}{d\theta}} \sum_p \sum_{p'} \left\{ [Q(\omega_p) \pi_p' + Q(\mu_p) \mu_p'] \sin \frac{\pi \alpha^2}{\lambda m} (2\beta - 2\beta') - Q(\omega_p) \omega_p' \sin \left[\frac{\pi \alpha^2}{\lambda m} (2\beta - 2\beta' + 1) \right] - \right. \\ & - Q(\mu_p) \mu_p' \sin \frac{\pi \alpha^2}{\lambda m} (2\beta - 2\beta' - 1) - [P(\omega_p) \pi_p' + P(\mu_p) \mu_p'] \cos \frac{\pi \alpha^2}{\lambda m} (2\beta - 2\beta') + \\ & \left. + P(\omega_p) \omega_p' \cos \frac{\pi \alpha^2}{\lambda m} (2\beta - 2\beta' + 1) + P(\mu_p) \mu_p' \cos \frac{\pi \alpha^2}{\lambda m} (2\beta - 2\beta' - 1) \right\} \end{aligned}$$

поради тоа што p , p' и n се цели броеви, а што се однесува до вредностите на косинусите ќе имаме

$$\cos \frac{\pi n^2}{\lambda^2} (2p-2p') = \cos 2n\pi(p-p') = 1$$

$$\cos \left[\frac{\pi n^2}{\lambda^2} (2p-2p') \pm \frac{\pi n^2}{\lambda^2} \right] = \cos [2n\pi(p-p') \pm n\pi] = \cos n\pi = (-1)^n$$

Да кога сето ова ќе се земе во предвид за изразот (104) се додава

$$\begin{aligned} \left(\frac{d^2 I}{d\psi^2} \right)_{\psi=\frac{\pi n^2}{\lambda^2}} &= \frac{\pi K}{2} \sum_p \sum_{p'} \left\{ -\frac{\pi n^2}{\lambda^2} (2p-2p') [Q(\psi_p) u_{p'} + Q(u_p) u_{p'}] + \right. \\ &+ (-1)^n \frac{\pi n^2}{\lambda^2} [(2p-2p') Q(u_p) u_{p'} + Q(u_p) u_{p'} + (2p-2p'-1) Q(u_p) u_{p'}] - \\ &- \left[\frac{dP(\psi_p)}{d\psi} u_{p'} + \frac{dP(u_p)}{d\psi} u_{p'} + P(\psi_p) \frac{du_{p'}}{d\psi} + P(u_p) \frac{du_{p'}}{d\psi} \right] + (-1)^n \left[\frac{dP(\psi_p)}{d\psi} u_p + \right. \\ &\left. \left. + P(\psi_p) \frac{du_p}{d\psi} + \frac{dP(u_p)}{d\psi} u_p + P(u_p) \frac{du_p}{d\psi} \right] \right\} \end{aligned} \quad (105)$$

Во горната формула се јавуваат изводи на функцијата $P(n)$ по променливата ψ , кои можеме да ги напишеме во вид на сложени изводи како

$$\frac{dP(n)}{d\psi} = \frac{dP(n)}{d\pi} \frac{d\pi}{d\psi}$$

што според формулите (75) и (82) дава

$$\frac{dP(\psi_p)}{d\psi} = -\frac{1}{2\pi} n_p [\pi n_p Q(u_p) - 1] \quad \text{и} \quad \frac{dP(u_p)}{d\psi} = -\frac{1}{2\pi} u_p [\pi u_p Q(u_p) - 1] \quad (106)$$

освен тоа

$$\frac{\pi n^2}{\lambda^2} (2p-2p') = \frac{\pi}{2} (n_p^2 - n_{p'}^2)$$

така што изразот (105) се редуцира на

$$\begin{aligned} \left(\frac{d^2 I}{d\psi^2} \right)_{\psi=\frac{\pi n^2}{\lambda^2}} &= \frac{\pi K}{2} \sum_p \sum_{p'} \left\{ (n_p^2 - n_{p'}^2) [Q(\psi_p) u_{p'} + Q(u_p) u_{p'} - (-1)^n Q(\psi_p) u_{p'} - (-1)^n Q(u_p) u_{p'}] + \right. \\ &+ (-1)^n 2n [Q(u_p) u_{p'} - Q(\psi_p) u_{p'}] - Q(n_p) n_p^2 u_{p'} - Q(u_p) u_p^2 u_{p'} + (-1)^n Q(n_p) n_p^2 u_{p'} + \end{aligned}$$

За вториот извод на интензитетот по променливата θ имаме

$$\frac{d^2 I}{dt^2} = \frac{d}{dt} \left(\frac{dI}{dt} \frac{dt}{dt} \right) = \frac{d^2 I}{dt^2} \frac{dt}{dt} + \frac{d}{dt} \frac{d}{dt} \left(\frac{dI}{dt} \right) \frac{dt}{dt} = \frac{d^2 I}{dt^2} \frac{dt}{dt} + \frac{d^2 I}{dt^2} \left(\frac{dt}{dt} \right)^2 \quad (103)$$

На местата определени со $t^2=2n$ првиот член од изразот (103) е рамен на нула (поради $\left(\frac{dt}{dt}\right)_{t^2=2n} = 0$), а бидејќи величината $\left(\frac{dt}{dt}\right)^2$ е секојпат позитивна, за знакот на вториот извод по θ одлучува знакот на вториот извод по фокусното растојание $\frac{d^2 I}{dt^2}$.

Поради тоа ќе треба да се побара вредноста на овој извод и да се дискутира неговиот знак за вредности на $t=\sqrt{2n}$. Од (86) имаме

$$\begin{aligned} \frac{d^2 I}{dt^2} = & \frac{K}{\lambda^2} \sum_p \sum_{p'} \left\{ \left[\frac{dQ(\sigma_p)}{dt} n_p' + Q(\sigma_p) \frac{dn_p}{dt} + \right. \right. \\ & + \frac{dQ(u_p)}{dt} u_p' + Q(u_p) \frac{du_p}{dt} \left] \sin \frac{\pi \alpha^2}{\lambda^2} (2p - 2p') - \frac{\pi \alpha^2}{\lambda^2} (2p - 2p') [Q(\sigma_p) n_p' + \right. \\ & \left. \left. + Q(u_p) u_p'] \cos \frac{\pi \alpha^2}{\lambda^2} (2p - 2p') - [Q(\sigma_p) \frac{du_p}{dt} + \frac{dQ(\sigma_p)}{dt} u_p'] \sin \frac{\pi \alpha^2}{\lambda^2} (2p - 2p' + 1) + \right. \\ & + Q(\sigma_p) u_p' (2p - 2p' + 1) \frac{\pi \alpha^2}{\lambda^2} \cos \frac{\pi \alpha^2}{\lambda^2} (2p - 2p' + 1) - [Q(u_p) \frac{dn_p}{dt} + \right. \\ & \left. + \frac{dQ(u_p)}{dt} n_p'] \sin \frac{\pi \alpha^2}{\lambda^2} (2p - 2p' - 1) + Q(u_p) n_p' \frac{\pi \alpha^2}{\lambda^2} (2p - 2p' - 1) \cos \frac{\pi \alpha^2}{\lambda^2} (2p - 2p' - 1) \right. \\ & \left. - \left[\frac{dP(\sigma_p)}{dt} n_p' + \frac{dP(u_p)}{dt} u_p' + P(u_p) \frac{du_p}{dt} + P(n_p) \frac{dn_p}{dt} \right] \cos \frac{\pi \alpha^2}{\lambda^2} (2p - 2p') + \right. \\ & \left. + (2p - 2p') \frac{\pi \alpha^2}{\lambda^2} [P(n_p) n_p' + P(u_p) u_p'] \sin \frac{\pi \alpha^2}{\lambda^2} (2p - 2p') + \left[\frac{dP(n_p)}{dt} n_p' + \right. \right. \\ & \left. \left. + P(n_p) \frac{dn_p}{dt} \right] \cos \frac{\pi \alpha^2}{\lambda^2} (2p - 2p' + 1) + P(n_p) u_p' \frac{\pi \alpha^2}{\lambda^2} (2p - 2p' + 1) \sin \frac{\pi \alpha^2}{\lambda^2} (2p - 2p' + 1) + \right. \\ & \left. + \left[\frac{dP(u_p)}{dt} n_p' + P(u_p) \frac{du_p}{dt} \right] \cos \frac{\pi \alpha^2}{\lambda^2} (2p - 2p' - 1) + P(u_p) n_p' \frac{\pi \alpha^2}{\lambda^2} (2p - \right. \\ & \left. - 2p' - 1) \sin \frac{\pi \alpha^2}{\lambda^2} (2p - 2p' - 1) \right] \quad (104) \end{aligned}$$

Кога е $t^2 = \frac{\pi \alpha^2}{\lambda^2} = 2n$ величината $\frac{\pi^2}{\lambda^2} = n$, па сите синуси во горната формула се рамни на нула зашто

$$\sin \frac{\pi \alpha^2}{\lambda^2} (2p - 2p') = \sin 2n \pi (p - p') = 0 \quad \text{и} \quad \sin \frac{\pi \alpha^2}{\lambda^2} (2p - 2p' \pm 1) = \sin n \pi (2p - 2p' \pm 1) = 0$$

поради тоа што ρ , ρ' и n се цели броеви, а што се однесува до вредностите на косинусите ќе имаме

$$\cos \frac{2\pi n^2}{\lambda^2} (2\rho - 2\rho') = \cos 2\pi \frac{n}{\lambda} (\rho - \rho') = 1$$

$$\cos \left[\frac{2\pi n^2}{\lambda^2} (2\rho - 2\rho') \pm \frac{2\pi n^2}{\lambda^2} \right] = \cos [2\pi \frac{n}{\lambda} (\rho - \rho') \pm \pi \frac{n}{\lambda}] = \cos \pi \frac{n}{\lambda} = (-1)^n$$

На кога сето ова ќе се земе во предвид за изразот (104) се досива

$$\begin{aligned} \left(\frac{d^2 I}{d\psi^2} \right)_{\psi=\frac{\pi}{2}} &= \frac{K}{2} \sum_p \sum_{p'} \left\{ -\frac{2\pi n^2}{\lambda^2} (2\rho - 2\rho') [Q(\psi_p) u_{p'} + Q(u_p) u_{p'}] + \right. \\ &+ (-1)^n \frac{2\pi n^2}{\lambda^2} [(2\rho - 2\rho') Q(u_p) u_{p'} + Q(u_p) u_{p'} + (2\rho - 2\rho' - 1) Q(u_p) u_{p'}] - \\ &- \left[\frac{dP(\psi_p)}{d\psi} u_{p'} + \frac{dP(u_p)}{d\psi} u_{p'} + P(\psi_p) \frac{du_{p'}}{d\psi} + P(u_p) \frac{du_{p'}}{d\psi} \right] + (-1)^n \left[\frac{dP(u_p)}{d\psi} u_{p'} + \right. \\ &\left. \left. + P(\psi_p) \frac{du_{p'}}{d\psi} + \frac{dP(u_p)}{d\psi} u_{p'} + P(u_p) \frac{du_{p'}}{d\psi} \right] \right\} \end{aligned} \quad (105)$$

Во горната формула се јавуваат изводи на функцијата $P(n)$ по променливата ψ , кои можеме да ги напишеме во вид на сложени изводи како

$$\frac{dP(\psi)}{d\psi} = \frac{dP(\psi)}{d\pi} \frac{d\pi}{d\psi}$$

што според формулите (75) и (82) дава

$$\frac{dP(\psi_p)}{d\psi} = -\frac{1}{2\pi} n_p [\pi n_p Q(u_p) - 1] \quad \text{и} \quad \frac{dP(u_p)}{d\psi} = -\frac{1}{2\pi} u_p [\pi u_p Q(u_p) - 1] \quad (106)$$

освен тоа

$$\frac{2\pi n^2}{\lambda^2} (2\rho - 2\rho') = \frac{\pi}{2} (n_p^2 - n_{p'}^2)$$

така што изразот (105) се редуцира на

$$\begin{aligned} \left(\frac{d^2 I}{d\psi^2} \right)_{\psi=\frac{\pi}{2}} &= \frac{\pi K}{2} \sum_p \sum_{p'} \left\{ (n_p^2 - n_{p'}^2) [Q(\psi_p) u_{p'} + Q(u_p) u_{p'}] - (-1)^n Q(\psi_p) u_{p'} - (-1)^n Q(u_p) u_{p'} \right\} + \\ &+ (-1)^n 2n [Q(u_p) u_{p'} - Q(u_p) u_{p'}] - Q(u_p) n_p^2 u_{p'} - Q(u_p) n_{p'}^2 u_{p'} + (-1)^n Q(u_p) n_p^2 u_{p'} + \end{aligned}$$

$$+ (-1)^n Q(u_p) u_p^2 n_p' \} + \frac{K}{2\pi^2} \sum_p \sum_{p'} \{ n_p n_{p'} + u_p u_{p'} - P(u_p) n_p' - P(u_{p'}) u_{p'} - (-1)^n n_p u_{p'} + \\ + (-1)^n P(u_p) u_{p'} - (-1)^n u_p n_{p'} + (-1)^n P(u_{p'}) n_{p'} \} \quad (107)$$

Кога редниот број на екстремот n е парен број

$$n = 2k \quad (-1)^n = 1$$

за вредноста на изразот (107) се добива

$$\left(\frac{d^2 I}{d \alpha^2} \right)_{\frac{\alpha^2}{2k\lambda}} = \frac{\pi K}{2\pi^2} \sum_p \sum_{p'} \{ Q(n_p) [n_p^2 - 2n] u_{p'} - Q(u_p) [(n_p^2 - u_p^2 - n_{p'}^2) u_{p'} - \\ - (n_p^2 - u_p^2) n_{p'} + 2n u_{p'} + n_{p'}^3] \} + \frac{K}{2\pi^2} \sum_p \sum_{p'} \{ (n_p - u_p)(n_{p'} - u_{p'}) + [P(u_p) - P(u_{p'})](u_{p'} - u_{p'}) \}$$

Мора да имаме во предвид дека е

$$n_p^2 - u_p^2 = \alpha^2 \left(\frac{2 \cdot 2p}{\lambda^2} - \frac{2(2p-1)}{\lambda^2} \right) = \frac{2\alpha^2}{\lambda^2} = 2n \quad n_{p'}^2 - u_{p'}^2 = 2n$$

така што изразот кој стои во заградата како множител на функцијата $Q(n_p)$ се редуцира на

$$[(n_p^2 - u_p^2 - n_{p'}^2) u_{p'} - (n_p^2 - u_p^2) n_{p'} + 2n u_{p'} + n_{p'}^3] = [(2n - n_{p'}^2) u_{p'} - 2n n_{p'} + 2n u_{p'} + n_{p'}^3] = \\ = [n_{p'}^3 - (n_{p'}^2 - 2n) u_{p'}] = n_{p'}^3 - u_{p'}^3$$

за множителот пак на функцијата $Q(n_p)$ исто така имаме

$$[(n_p^2 - 2n) u_{p'} - n_{p'}^3] = u_{p'}^3 - n_{p'}^3$$

На кога ќе се изврши груирање на соодветните членови, за вредноста на вториот извод која одговара на парните фокусни растојанија имаме

$$\left(\frac{d^2 I}{d \alpha^2} \right)_{\frac{\alpha^2}{2k\lambda}} = \frac{\pi K}{2\pi^2} \sum_p \sum_{p'} (n_{p'}^3 - u_{p'}^3) [Q(u_p) - Q(n_p)] + \\ + \frac{K}{2\pi^2} \sum_p \sum_{p'} \{ (n_p - u_p)(n_{p'} - u_{p'}) + [P(u_p) - P(u_{p'})](u_{p'} - u_{p'}) \} \quad (108)$$

Бидејќи е $n_p > u_p$ и исто така $n_{p'} > u_{p'}$ а $Q(u_p) > Q(n_p)$ и $P(u_p) > P(n_p)$, очигледно е дека сите три члена од горниот израз се позитивни.

Значи кога $n = 2k$ на местата определени со $\frac{\alpha^2}{2k\lambda}$

$$\left(\frac{d^2I}{dt^2}\right)_{t=\frac{\omega_2}{2K\lambda}} > 0 \quad (109)$$

Парните фокусни растојанија одговараат на места со минимална осветленост вдолж правите \overline{PP}' кои стојат нормално на оптичката оска.

Нека е сега редниот број на екстремот непарен број

$$m = 2k-1 \quad (-1)^m = (-1)^{2k-1} = -1$$

што заменето во изразот (107) дава

$$\begin{aligned} \frac{d^2I}{dt^2} = & \frac{K\lambda}{2t^2} \sum_p \sum_{p'} \left\{ (n_p^2 - n_{p'}^2) [Q(n_p)n_{p'} + Q(u_p)u_{p'} + Q(w_p)w_{p'} + Q(u_p)u_{p'}] - 2mQ(u_p)n_{p'} + \right. \\ & + 2mQ(u_p)u_{p'} - Q(n_p)n_p^2 n_{p'} - Q(u_p)u_p^2 u_{p'} - Q(w_p)w_p^2 w_{p'} - Q(u_p)u_p^2 n_{p'} \left. \right\} + \\ & + \frac{K}{2t^2} \sum_p \sum_{p'} \left\{ n_p n_{p'} + u_p u_{p'} - P(n_p)n_{p'} - P(u_p)u_{p'} + w_p w_{p'} - P(w_p)w_{p'} + u_p u_{p'} - P(u_p)u_{p'} \right\} \end{aligned}$$

а со групирање на множителите на функциите $Q(n_p)$ и $O(u_p)$ и на останатите членови, слично како во горниот случај, за вториот извод се добива

$$\frac{d^2I}{dt^2} = - \frac{K\lambda}{2t^2} \sum_p \sum_{p'} (n_p^3 + u_p^3) [Q(n_p) + Q(u_p)] - \frac{K}{2t^2} \sum_p \sum_{p'} (n_p + u_p) [P(n_p) + P(u_p) - v_p - u_p] \quad (110)$$

што е очигледно негативна величина. Значи местата на кои им одговараат непарните фокуси, поради тоа што знакот на вториот извод на интензитетот е помал од нула, треба да се очекува максимална вредност на интензитетот.

Досегашната дискусија се однесуваше само на реалните вредности на фокусните растојанија, т.е. кога m е позитивен цел број. Меѓутоа равенката (88) е задоволена и кога m е негативен цел број, така што според (89) се добиваат имагинарни вредности за t , кои ќе ги означиме со

$$t = i\sqrt{2m} = i\Gamma \quad (111)$$

Се поставува прашањето дали и парните имагинарни фокуси се виртуелни места на минимален интензитет, а оние за

кои $m = -m = -(2k-1)$ одговараат на виртуелните места со максимален интензитет.

Имагинарните фокусни растојанија одговараат на оние места на оптичката оска, во кои се сечат правците на дивергентно дифрактирани бранови од мрежичката. Вредноста на брановата функција што одговара на брановите кои ги ствараат имагинарните фокуси според (57) ќе биде дадена со

$$U_{(PP)} = \frac{2i\pi A e^{i(kc+\delta)}}{\sqrt{2}c} \left\{ \left(\sum_{p=1}^n [C(r\sqrt{2}p) - C(r\sqrt{2}p-1)] + i[S(r\sqrt{2}p) - S(r\sqrt{2}p-1)] \right) \right\} \quad (112)$$

што со оглед на (111) преминува во

$$U_{(PP)} = \frac{2i\pi A e^{i(kc+\delta)}}{\sqrt{2}c} \left\{ \left(\sum_{p=1}^n [C(r\sqrt{2}p) - C(r\sqrt{2}p-1)] + i \left(\sum_{p=1}^n [S(r\sqrt{2}p) - S(r\sqrt{2}p-1)] \right) \right) \right\}$$

Според [29] за Френеловите интеграли од имагинарните аргументи имаме

$$C(i\sigma) = iC(\sigma) \quad \text{и} \quad S(i\sigma) = -iS(\sigma)$$

така што тоа заменето во горниот израз, за брановата функција на местата на виртуелните фокусни растојанија ќе даде

$$U_{(PP)} = \frac{2i\pi A e^{i(kc+\delta)}}{\sqrt{2}c} \left\{ \left(\sum_{p=1}^n [S(r\sqrt{2}p) - S(r\sqrt{2}p-1)] \right) + i \left(\sum_{p=1}^n [C(r\sqrt{2}p) - C(r\sqrt{2}p-1)] \right) \right\} \quad (113)$$

Ако се спореди функцијата (113) со (57), гледаме дека на имагинарните фокуси им одговара бранова функција во која имагинарниот и реалниот дел од функцијата на реалните фокуси си ги имаат изменето улогите.

Множењето на оваа функција со нејзината конjugирано комплексна вредност, според (54) ја дава вредноста на интензитетот кој одговара на овие фокуси. А како е

$$U^*(PP) = \frac{-2i\pi A e^{-i(kc+\delta)}}{\sqrt{2}c} \left\{ \left(\sum_{p=1}^n [S(r\sqrt{2}p) - S(r\sqrt{2}p-1)] \right) - i \left(\sum_{p=1}^n [C(r\sqrt{2}p) - C(r\sqrt{2}p-1)] \right) \right\}$$

за интензитетот се добива формулата (69). Во неа $\tilde{k} = \sqrt{2}k$, па во согласност со спроведената дискусија за знакот на вториот извод на изразот (69), можеме да заклучиме дека кога

$$m = -m = -(2L-1) \quad \left(\frac{d^2 I}{dx^2} \right)_{x=-\frac{m}{2L-1}} < 0 \quad (114)$$

т.е. непарните имагинарни фокуси исто така одговараат на места со максимален интензитет, а бидејќи е

$$m = -m = -2L \quad \left(\frac{d^2 I}{dx^2} \right)_{x=-\frac{m}{2L}} > 0 \quad (115)$$

заклучуваме дека и парните имагинарни фокуси, како и реалните се места вдолж оптичката оска на кои им одговара минимален интензитет.

Местото на реалниот или имагинарниот екстрем го определуваме од формулата на лека, што со оглед на (67) дава

$$\frac{f}{c} = \frac{b(c-b)}{c} \quad \text{или} \quad b^2 - bc + c^2 = 0$$

од каде следува

$$b_{1,2} = \frac{c \pm \sqrt{c^2 - 4c^2}}{2} \quad (116)$$

Реалните главни фокуси, или фокусите на мрежичката кога таа делува како собирна лека, ги наоѓаме на оние растојанија $b_{1,2}$ кои можат да имаат вредности од 0 до $c = a + b$ како крајни граници. Тоа се гледа од формулата (116). Имено реалните фокуси се позитивни $f > 0$ а вредноста на дискриминантата во решението (116) е

$$c^2 - 4c^2 < 0$$

така што

$$b_{1,2} = \frac{c}{2} \pm d$$

каде

$$d = \sqrt{\frac{f^2}{4} - c^2} \leq \frac{c}{2}$$

Вредноста $d = \frac{c}{2}$ се добива кога $\frac{f}{c} = 0$ т.е. кога $m \rightarrow \infty$ или на местата $b = c$ и $b = 0$ би лежеле екстремите со бескрајно голем реден број. Тоа практички е невозмошно зошто мрежичката би требало да стои на истото место на кое се наоѓа екранот ($b = 0$),

или на местото на кое се наоѓа изворот ($b=c$). Сите останати ликови на кои им одговара позитивен фокус се наоѓаат во интервалот кога мрежичката ја движиме меѓу изворот и еcranот. Во тој интервал таа дејствува само како собирна лека.

Реални главни максимуми постојат само кога вредноста на дискриминантата во решението (116) е позитивна

$$c^2 - 4c\lambda > 0 \quad \text{од каде следува} \quad c > 4\lambda \quad (117)$$

а бидејќи е

$$\frac{c}{\lambda} = \frac{\alpha^2}{(2k-1)\lambda}$$

мора да е

$$c > \frac{4\alpha^2}{(2k-1)\lambda}$$

Одовде следува дека редниот број k на главниот максимум мора да го исполнува условот

$$k > \frac{2\alpha^2}{c\lambda} + \frac{1}{2} \quad (118)$$

Тоа значи ако c не е доволно големо може да се случи како прв максимум во интервалот $b=0$ и $b=c$ да се јави оној k -ти максимум за кој е исполнет условот (118).

Изборот на растојанието c меѓу изворот и еcranот може да биде направен така што за $k=1$ $b=\frac{c}{2}$ т.е. равенката (116) да има двојно решение. За таа положба на мрежичката, на еcranот би бил набљудуван првиот главен максимум. Мегутоа с може да биде избрано така што за $k=2$ $b=\frac{c}{2}$ па ќе го имаме вториот главен максимум за таа положба на мрежичката, а за $k=3$ и $b=\frac{c}{2}$ на еcranот се јавува третиот главен максимум, и така натаму.

Кога пак $\frac{c}{2} < b_{\text{min}} < c$ и е исполнет условот (118), на местото $b=\frac{c}{2}$ треба да се очекува минимум на осветлување. Значи решението (71) е место на екстремна вредност на интензитетот и може да биде минимум или максимум во зависност од изборот на фиксното растојание c меѓу изворот и еcranот.

Негативните вредности на фокусните растојанија $b = -\frac{c^2}{\lambda m}$ кои одговараат на мрежичката кога таа делува како растурна лешка, ги наоѓаме за

$$b_{1,2} = \frac{c}{2} \pm \frac{1}{2}\sqrt{c^2 - 4c\frac{\lambda^2}{\lambda m}} = \frac{c}{2} \pm e \quad (119)$$

Овде вредноста на дискриминантата е секојпат позитивна,

$$c^2 - 4c\frac{\lambda^2}{\lambda m} = c^2 + 4c\frac{\lambda^2}{\lambda m} > 0$$

така што величината

$$e > \frac{c}{2}$$

Според тоа имагинарни максимуми (ликови) би ди биле кога мрежичката се наоѓа на растојание $b = \frac{c}{2} + e > c$ т.е. зад светлинскиот извор. Другото решение $b = \frac{c}{2} - e$ е негативно, така што мрежичката сега би требало да стои зад екранот.

ИСПИТУВАЊЕ НА ЕКСТРЕМИТЕ КАЈ ПОЗИТИВНА ЛИНЕАРНА ЗОНСКА МРЕЖИЧКА

Сета досега направена дискусија во врска со испитувањето на главните минимуми и максимуми се однесуваше на негативните линеарни зонски мрежички. Истиот редослед во барање на екстремните вредности на интензитетот вдолж оптичката оска може да се спроведе и за позитивните мрежички поаѓајќи од формулата за интензитетот (60) која гласеше

$$I_p(\bar{P}) = K \left\{ \left(\sum_{p=1}^n [C(\sqrt[2]{2p-1}) - C(\sqrt[2]{2p-2})] \right)^2 + \left(\sum_{p=1}^n [S(\sqrt[2]{2p-1}) - S(\sqrt[2]{2p-2})] \right)^2 \right\}$$

И овде ќе ги употребиме ознаките (73), само сега тие ќе имаат друго значење. За позитивната мрежичка

$$N_p = \sqrt[2]{2p-1} = \alpha \sqrt{\frac{2(2p-1)}{\lambda^2}} \quad \text{и} \quad M_p = \sqrt[2]{2p-2} = \alpha \sqrt{\frac{2(2p-2)}{\lambda^2}} \quad (120)$$

Со овие значења на аргументите N_p и M_p по сосема иста посталка како кај негативната мрежичка, за првиот извод и овде се

добива формулата (84). Аргументите кои стојат под знакот на тригонометриските функции синус и косинус во формулата (84) не е тешко да се види дека и овде ги имаат вредностите определени со равенките (85).

Според тоа и овде услов за добивање на екстрем ќе биде равенката (87) односно (88) но со изменети аргументи на функциите Q и P. Местата на екстремните вредности на интензитетот по оптичката оска за позитивната зонска мрежичка според тоа ќе бидат определени со решенијата на равенката

$$\sum_{\rho=1}^{\infty} \sum_{\rho'=1}^{\infty} \left\{ \left[(\Gamma \sqrt{2\rho}-1) Q(\sqrt{2\rho}-1) + \Gamma \sqrt{2\rho'-2} Q(\sqrt{2\rho'-2}) - (Q(\Gamma \sqrt{2\rho}-1) \Gamma \sqrt{2\rho'-2} + Q(\Gamma \sqrt{2\rho'-2}) \Gamma \sqrt{2\rho}-1) \cos \frac{\pi \Gamma}{2} \right] \sin \Gamma \frac{\pi}{2} (\rho-\rho') \right. \\ \left. + [P(\Gamma \sqrt{2\rho}-1) \Gamma \sqrt{2\rho}-1 + P(\Gamma \sqrt{2\rho'-2}) \Gamma \sqrt{2\rho'-2} - (P(\Gamma \sqrt{2\rho}-1) \Gamma \sqrt{2\rho'-2} + P(\Gamma \sqrt{2\rho'-2}) \Gamma \sqrt{2\rho}-1) \cos \frac{\pi \Gamma}{2}] \sin \Gamma \frac{\pi}{2} (\rho-\rho') \right] \sin \Gamma \frac{\pi}{2} (\rho-\rho') \right\} = 0 \quad (121)$$

која поради занемарувањето на членовите во кои фигурира функцијата P се сведува на

$$\sum_{\rho} \sum_{\rho'} \left\{ \left[(Q(\Gamma \sqrt{2\rho}-1) \sqrt{2\rho}-1 + Q(\Gamma \sqrt{2\rho'-2}) \sqrt{2\rho'-2}) - (Q(\Gamma \sqrt{2\rho}-1) \sqrt{2\rho}-2 + Q(\Gamma \sqrt{2\rho'-2}) \sqrt{2\rho'-1}) \cos \frac{\pi \Gamma}{2} \right] \sin \Gamma \frac{\pi}{2} (\rho-\rho') \right. \\ \left. + [Q(\Gamma \sqrt{2\rho}-1) \sqrt{2\rho'-2} - Q(\Gamma \sqrt{2\rho'-2}) \sqrt{2\rho}-1] \sin \Gamma \frac{\pi}{2} \cos \Gamma \frac{\pi}{2} (\rho-\rho') \right] = 0 \quad (122)$$

Како што се гледа и равенката (122) е задоволена за вредности на $\Gamma = \sqrt{2m}$, а бидејќи и овде $\Gamma = \frac{2\pi}{\lambda f}$, следува дека местата со екстремна вредност на интензитетот се определени со фокусните разстојанија $f = \frac{\lambda^2}{2m}$.

Останува уште да се види дали местата на главните минимуми и максимуми на негативната мрежичка се истовремено минимуми и максимуми за позитивната мрежичка. Се разбира и ов-

де ќе треба да се дискутира знакот на вториот извод $\frac{d^2}{dx^2}$.

Меѓутоа бидејќи не постои формална разлика меѓу изразите за првиот извод $\frac{dt}{dx}$, освен во значењето на параметрите n_p и m_p , и изразот за вториот извод ќе биде формално ист со (107) односно со (108) за $m=2k$ и со (109) за $m=2k-1$.

Според тоа парните фокусни растојанија и кај позитивната мрежичка одговараат на места со минимално осветлување, додека непарните фокуси одговараат на места со максимално осветлување по оптичката оска.

За сега можеме да го изведеме следниов заклучок: Кога се работи со мрежичка со голем број на пропусни зони $N \rightarrow \infty$ местата со максимален интензитет вдолж правите $\overline{PP'}$ кои стојат нормално на оптичката оска се определени со непарните фокуси $f = \frac{\alpha^2}{(2k-1)\lambda}$ без оглед на тоа дали се работи со позитивна или негативна мрежичка. Разлика ќе постои само во вредноста на максималниот интензитет. Истото важи и за местата со минимална осветленост кои се определени со парните фокусни растојанија $f = \frac{\alpha^2}{2k\lambda}$.

Кога пак се работи со мрежичка со мал број на пропусни зони, вредноста на отстапувањето на екстремите ќе биде определена со израз сличен на (98) само ќе имаме различни аргументи на функциите P и Q . Сега поместувањето ќе биде дадено со

$$\Delta t_n = \varepsilon_n = - \frac{\sum_{p=1}^P \sum_{p'=1}^{P-1} t_n \left[(\sqrt{2p-1} - (-1)^p \sqrt{2p'-2}) [P(t_n \sqrt{2p-2}) - P(t_n \sqrt{2p'-1})] \right]}{\sum_{p=1}^P \sum_{p'=1}^{P-1} L_{pp'n}} \quad (123)$$

каде

$$L_{pp'n} = [\sqrt{2p-1} - (-1)^p \sqrt{2p'-2}] \{ 2\varepsilon_n t_n^2 (p'-1) [Q(t_n \sqrt{2p-2}) - Q(t_n \sqrt{2p'-1})] + [P(t_n \sqrt{2p-2}) + P(t_n \sqrt{2p'-1})] + \varepsilon_n t_n^2 Q(t_n \sqrt{2p-2}) - t_n (\sqrt{2p-1} - \sqrt{2p'-2}) \}$$

Споредбата на горната формула со формулата (98), поради тоа

што

$$P(t_{\sqrt{2}\rho-2}) > P(t_{\sqrt{2}\rho-1}) \quad \text{и} \quad P(t_{\sqrt{2}\rho-1}) > P(t_{\sqrt{2}\rho})$$

укажува на постоење на поголемо отстапување на вредноста на местото на главните максимуми, особено на првиот, кога се работи со позитивна мрежичка. Инаку и овде отстапувањето се намалува со зголемување на бројот на зоните, или со зголемување на редот на максимумот.

ДИСКУСИЈА ЗА ВРЕДНОСТА НА ИНТЕНЗИТЕТОТ ВО ГЛАВНИТЕ МИНИМУМИ И МАКСИМУМИ ВДОЛЖ ОПТИЧКАТА ОСКА

Видовме дека кај линеарната зонска мрежичка исто како и кај кружната мрежичка, местата на непарните фокуси се места со максимален, а на парните, со минимален интензитет. Според тоа за $n=1, 3, 5, \dots, (2k-1), \dots$ се добиваат првиот, вториот, третиот, ... k -тиот главен максимум, односно за $n=2, 4, 6, \dots, 2k, \dots$ се добиваат местата на првиот, вториот, ит.н. k -тиот главен минимум.

Вредноста на интензитетот во првиот главен максимум, според релациите (69) и (89) ќе биде определена со формулата

$$(I_{\max})_{n=1} = K \left\{ \left(\sum_{p=1}^{\infty} [C(\sqrt{2}\rho) - C(\sqrt{2}\rho-1)] \right)^2 + \left(\sum_{p=1}^{\infty} [S(\sqrt{2}\rho) - S(\sqrt{2}\rho-1)] \right)^2 \right\} \quad (124)$$

За да се добие вредноста на вториот главен максимум, ќе треба во (69) да се земе $t=\sqrt{2}\cdot 3 = \sqrt{6}$ ($n=3$), така што имаме

$$(I_{\max})_{n=3} = K \left\{ \left(\sum_{p=1}^{\infty} [C(\sqrt{6}\cdot 2\rho) - C(\sqrt{6}\cdot 2\rho-1)] \right)^2 + \left(\sum_{p=1}^{\infty} [S(\sqrt{6}\cdot 2\rho) - S(\sqrt{6}\cdot 2\rho-1)] \right)^2 \right\} \quad (125)$$

Третиот главен максимум се добива за $t=\sqrt{2}\cdot 5 = \sqrt{10}$ ($n=5$)

$$(I_{\max})_{n=5} = K \left\{ \left(\sum_{p=1}^{\infty} [C(\sqrt{10}\cdot 2\rho) - C(\sqrt{10}\cdot 2\rho-1)] \right)^2 + \left(\sum_{p=1}^{\infty} [S(\sqrt{10}\cdot 2\rho) - S(\sqrt{10}\cdot 2\rho-1)] \right)^2 \right\} \quad (126)$$

Вредноста пак на интензитетот во првите два главни минимуми е за $t=\sqrt{2}\cdot 2 = \sqrt{4}$ ($n=2$)

$$(I_{-})_{\text{I}_{\min}} = K \left\{ \left(\sum_{p=1}^n [C(\sqrt{4 \cdot 2p}) - C(\sqrt{4(2p-1)})] \right)^2 + \left(\sum_{p=1}^n [S(\sqrt{4 \cdot 2p}) - S(\sqrt{4(2p-1)})] \right)^2 \right\} \quad (127)$$

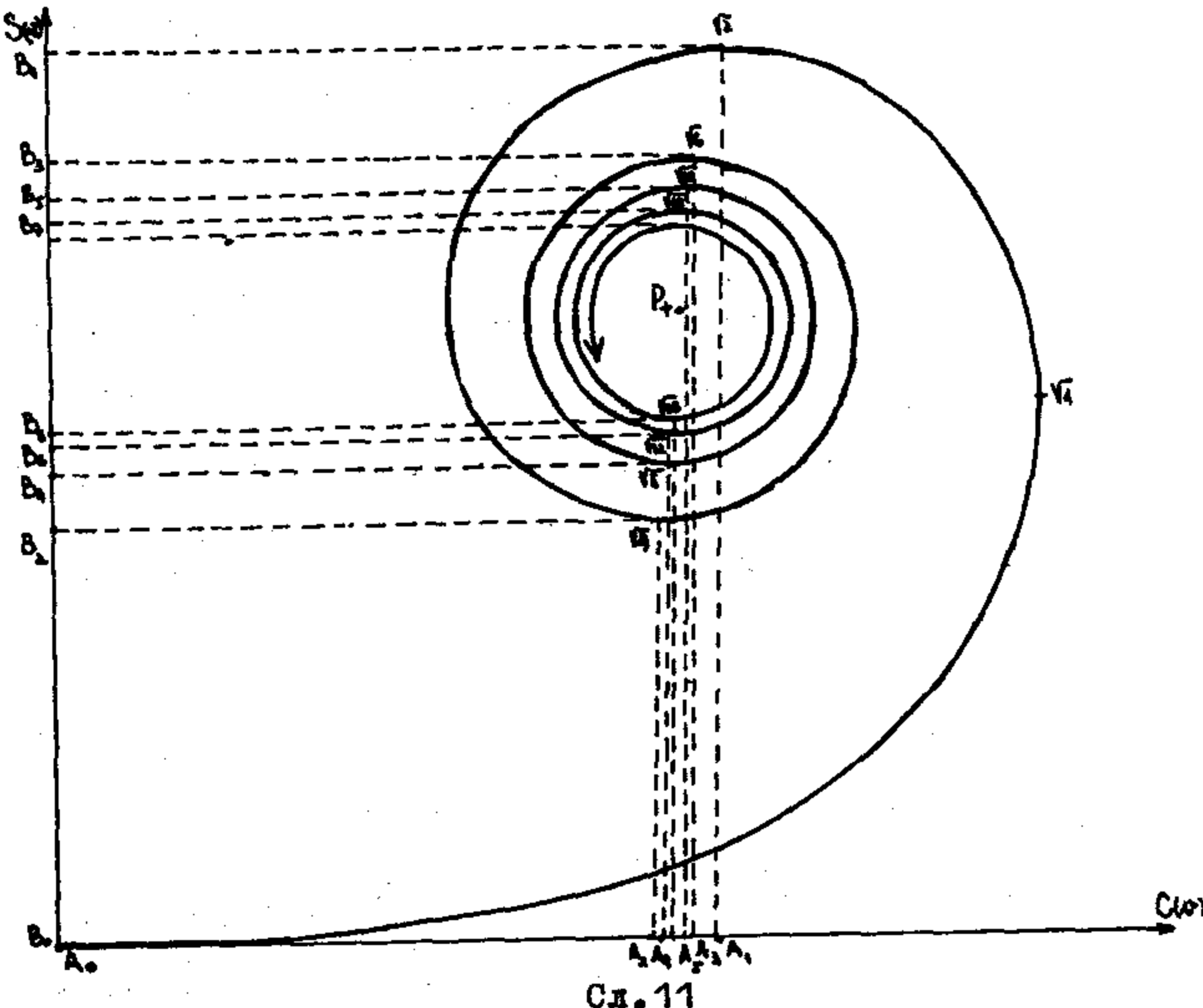
и за $\xi = \sqrt{2 \cdot 4} = \sqrt{8} \quad (n=4)$

$$(I_{-})_{\text{II}_{\min}} = K \left\{ \left(\sum_{p=1}^n [C(\sqrt{8 \cdot 2p}) - C(\sqrt{8(2p-1)})] \right)^2 + \left(\sum_{p=1}^n [S(\sqrt{8 \cdot 2p}) - S(\sqrt{8(2p-1)})] \right)^2 \right\} \quad (128)$$

и т.н.

Ако се третира вредноста на интензитетот како збир од квадратите на збирот од проекциите на растојанијата меѓу две точки од корниевата спирала врз $C(\nu)$ и $S(\nu)$ оските (на точките на кои им одговараат вредности на параметрите $n_p = \sqrt{2m \cdot 2p}$ и $\xi_p = \sqrt{2m(2p-1)}$), тогаш за да ја добиеме вредноста на интензитетот за првиот главен максимум, ќе треба да се квадрираат и соберат сумите на отсечките ($\overline{A_1 A_2} + \overline{A_3 A_4} + \overline{A_5 A_6} + \dots$) на позитивниот крак на $C(\nu)$ оската и ($\overline{B_1 B_2} + \overline{B_3 B_4} + \overline{B_5 B_6} + \dots$) на $S(\nu)$ оската.

Од Сл. 11 се гледа дека должината на проекциите на C -оската е



многу мала и дека преовладува S делот од сумите. Значи

$$(I_{\text{max}})_{\text{II}} = K \{ (\bar{B}_1 B_1 + \bar{B}_2 B_2 + \bar{B}_3 B_3 + \dots)^2 + (\bar{A}_1 A_1 + \bar{A}_2 A_2 + \dots)^2 \} \quad (129)$$

Вредноста на интензитетот во вториот главен максимум квантитативно одговара на

$$(I_{\text{max}})_{\text{III}} = K \{ (\bar{B}_1 B_1 + \bar{B}_2 B_2 + \dots)^2 + (\bar{A}_3 A_3 + \bar{A}_4 A_4 + \dots)^2 \} \quad (130)$$

Од Сл. 11 се гледа дека $\bar{B}_1 B_1 > \bar{B}_3 B_3$; $\bar{B}_2 B_2 > \bar{B}_4 B_4$ и т.н.

Според тоа вредноста на интензитетот на вториот главен максимум ќе биде значително помала од вредноста на интензитетот во првиот главен максимум. Интензитетот на третиот главен максимум ќе биде уште помал, зошто најдолгата отсечка на S-оската со која почнува сумата е $\bar{B}_5 B_5$.

Тоа значи дека најголема вредност на интензитетот по оптичката оска се добива на местото на првиот главен максимум. Со растење на редот на максимумот вредноста на интензитетот опаѓа.

Вредноста на интензитетот на местото на првиот главен минимум не е нула, туку претставува збир од квадратите на збировите на отсечките

$$(I_{\text{min}})_{\text{I}} = K \{ (\bar{B}_1 B_1 + \bar{B}_2 B_2 + \bar{B}_3 B_3 + \dots)^2 + (\bar{A}_1 A_1 + \bar{A}_2 A_2 + \dots)^2 \} \quad (131)$$

Од оваа формула исто така може да се изведе заклучок дека вредноста на интензитетот во првиот главен минимум ќе биде поголема воколку е поголем бројот на зоните што учествуваат во дифракцијата.

Вториот главен минимум на интензитетот е понизок од првиот зошто неговата вредност би била

$$(I_{\text{min}})_{\text{II}} = K \{ (\bar{B}_1 B_1 + \bar{B}_2 B_2 + \dots)^2 + (\bar{A}_3 A_3 + \bar{A}_4 A_4 + \dots)^2 \} \quad (132)$$

Фактот што интензитетот на местата на главните миними не е нула оди во прилог на претпоставката дека "слободниот" дел од брановиот фронт од мрежичката останал непоништен при интерференција на брановите што потекнуваат од зоните на мре-

жичката.

Во случај на позитивна зонска мрежичка вредноста на интензитетот во првиот главен максимум ќе биде дадена со

$$\begin{aligned} (I_+)_\text{max} &= K \{ [C(B) - C(F)] + [B_6 - B_5] + \dots]^2 + [S(F_2) - S(F_1)] + [S(F_6) - S(F_5)] + \dots]^2 \} \\ &= K \{ (\overline{OA}_1 + \overline{A_3 A_2} + \overline{A_5 A_4} + \dots)^2 + (\overline{OB}_1 + \overline{B_3 B_2} + \overline{B_5 B_4} + \dots)^2 \} \end{aligned} \quad (133)$$

Од изразот (133) и Сл.11 се гледа дека треба да се сумираат отсечки со значително поголеми должини отколку кај негативната мрежичка. Според тоа може да се заклучи дека интензитетот во првиот главен максимум кај позитивната зонска мрежичка е поголем отколку кај негативната. Освен тоа се гледа дека најголем придонес кон интензитетот има двојната централна зона со ширина 2α , на која ѝ одговараат должините на отсечките \overline{OB}_4 и \overline{OA}_4 . Инаку и овде вредноста на интензитетот во вториот главен максимум ќе биде помала од вредноста во првиот главен максимум зошто

$$(I_+)_\text{max} = K \{ (\overline{OB}_3 + \overline{B_5 B_6} + \dots)^2 + (\overline{OA}_3 + \overline{A_5 A_6} + \dots)^2 \} \quad (134)$$

што споредено со (133) покажува дека треба да се сумираат отсечки со помали должини. Кога ќе се спореди вредноста на интензитетите во вториот главен максимум кај позитивната и негативната мрежичка, се гледа дека $(I_+)_\text{max} > (I_-)_\text{max}$.

И првиот главен минимум има поголема вредност на интензитетот од онаа што ја имаме зададена со (131) за негативната мрежика. Сега таа изнесува

$$(I_-)_\text{max} = K \{ (\overline{OB}_2 + \overline{B_4 B_5} + \overline{B_6 B_7} + \dots)^2 + (\overline{OA}_2 + \overline{A_4 A_5} + \overline{A_6 A_7} + \dots)^2 \} \quad (135)$$

Тоа може да се протолкува со фактот што централната пропусна зона учествува со најголем слободен дел.

Друга интересна разлика меѓу позитивните и негативните линеарни зонски мрежички е фактот што кај позитивните мрежички вториот, третиот, четвртиот, ит.н. главни минимуми

се со малку поголем интензитет од оној што го имаме во првиот главен минимум. На пример

$$I_{\text{min}} = K \left\{ (\bar{B}_1 + \bar{B}_2 B_1 + \dots)^2 + (\bar{A}_1 + \bar{A}_2 A_1 + \dots)^2 \right\} \quad (136)$$

а од Сл. 11 се гледа дека

$$\bar{B}_1 > \bar{B}_2 ; \quad \bar{B}_2 B_1 > \bar{B}_1 B_2 ; \quad \dots$$

И оваа појава може да се протолкува со фактот што вториот минимум се добива кога низ мрежичката минале поголем парен број на Френелови зони, отколку што поминуваат во случај на добивање на првиот минимум, така што слободниот дел е нешто поголем и придонесува кон нешто поголема вредност на интензитетот во минимумите.

ЗАВИСНОСТ НА ВРЕДНОСТА НА ИНТЕНЗИТЕТОТ ВО ПРВИОТ ГЛАВЕН МАКСИМУМ ОД БРОЈОТ НА ЗОНТИТЕ НА МРЕЖИЧКАТА

Формулите за интензитетот на негативната и позитивната мрежичка (58) и (60) можат да бидат напишани и како

$$I_2(\bar{P}P') = K \left\{ \left(\sum_{p=1}^n \int_{u_p}^{u_p} \cos \frac{\pi}{2} \xi^2 d\xi \right)^2 + \left(\sum_{p=1}^n \int_{u_p}^{u_p} \sin \frac{\pi}{2} \xi^2 d\xi \right)^2 \right\} \quad (137)$$

каде за границите на интеграција треба да се земат значењата (73) или (120) во зависност од тоа дали се работи за негативна или позитивна мрежичка.

Користејќи се со од математиката познатата релација за средните вредности на функциите [32]

$$\int_a^b f(x) dx = (b-a) \bar{f}(x) \quad \text{одн.} \quad \bar{f}(x) = \frac{1}{b-a} \int_a^b f(x) dx \quad (138)$$

релацијата (137) ќе гласи

$$I_2(\bar{P}P') = K \left\{ \left[\sum_{p=1}^n (u_p - u_p) \overline{\cos \frac{\pi}{2} \xi^2} \right]^2 + \left[\sum_{p=1}^n (u_p - u_p) \overline{\sin \frac{\pi}{2} \xi^2} \right]^2 \right\} \quad (139)$$

Со замена на значењето на аргументите u_p и u_p за негативната мре-

жичка ќе имаме

$$I_1 = K \frac{\pi^2}{\alpha^2} \left\{ \left(\sum_{p=1}^n (\alpha(\sqrt{2}\beta - \sqrt{2}\beta - 1) \cos \frac{\pi}{2} p^2) \right)^2 + \left(\sum_{p=1}^n (\alpha(\sqrt{2}\beta - \sqrt{2}\beta - 1) \sin \frac{\pi}{2} p^2) \right)^2 \right\}$$

Величините $\alpha(\sqrt{2}\beta - \sqrt{2}\beta - 1)$ в сушност претставуваат ширини на пропусните зони на негативната зонска мрежичка. Овие ширини ќе ги означиме со

$$P_{2p} = \alpha(\sqrt{2}\beta - \sqrt{2}\beta - 1) \quad (140)$$

па со внесувањето на оваа ознака во претходната равенка, за вредноста на интезитетот на местото на првиот главен максимум се добива ($\tau = \sqrt{2}$)

$$I_1(\bar{P}\bar{P}') = \frac{2K}{\alpha^2} \left\{ \left(\sum_{p=1}^n P_{2p} \cos \frac{\pi}{2} p^2 \right)^2 + \left(\sum_{p=1}^n P_{2p} \sin \frac{\pi}{2} p^2 \right)^2 \right\} \quad (141)$$

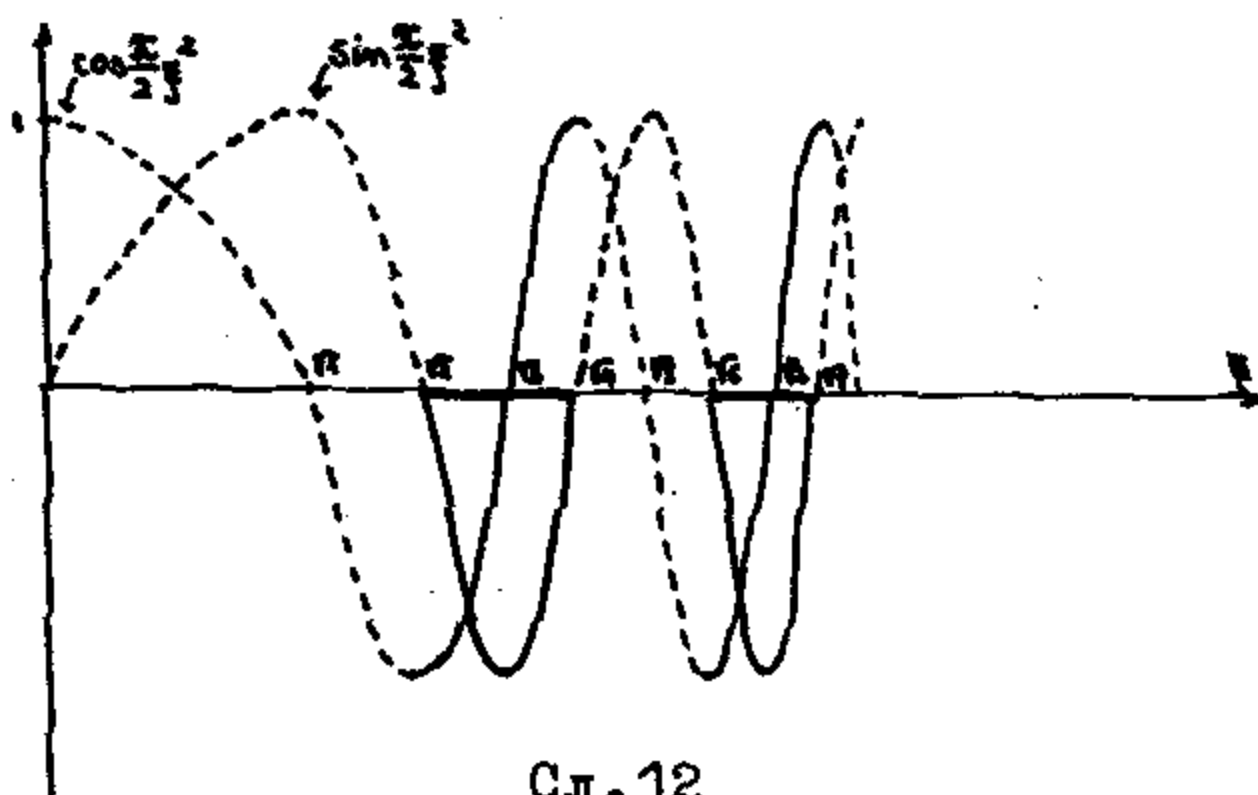
Средните вредности на функциите што се јавуваат овде според формулите (138) ќе ги пресметаме како

$$\overline{\cos \frac{\pi}{2} p^2} = \frac{1}{\sqrt{2}\cdot 2\beta - \sqrt{2}(2\beta - 1)} \int_{\sqrt{2}\beta - 1}^{\sqrt{2}\beta} \cos \frac{\pi}{2} p^2 dp = \frac{C(\sqrt{2}\beta) - C(\sqrt{2}\beta - 1)}{\sqrt{2}\cdot 2\beta - \sqrt{2}(2\beta - 1)} \quad (142)$$

и

$$\overline{\sin \frac{\pi}{2} p^2} = \frac{1}{\sqrt{2}\cdot 2\beta - \sqrt{2}(2\beta - 1)} \int_{\sqrt{2}\beta - 1}^{\sqrt{2}\beta} \sin \frac{\pi}{2} p^2 dp = \frac{S(\sqrt{2}\beta) - S(\sqrt{2}\beta - 1)}{\sqrt{2}\cdot 2\beta - \sqrt{2}(2\beta - 1)}$$

На сл. 12 со полна линија се подвлечени деловите на функциите $\sin \frac{\pi}{2} p^2$ и $\cos \frac{\pi}{2} p^2$ во првите два интервали во кои се бара нивната средна вредност. Инаку пресметнувањето на средните вредности



Сл. 12

на овие две функции е направено врз база на формулите (142), при тоа за пресметнување на Френеловите интеграли се користени

специјални таблици [33]. Пресметнувањето е направено за десет вредности на β .

Табела 1

p	$\cos \frac{\pi}{2} \beta^2$	$\sin \frac{\pi}{2} \beta^2$
1	-0,060	-0,632
2	-0,031	-0,635
3	-0,019	-0,635
4	-0,012	-0,636
5	-0,009	-0,636
6	-0,010	-0,634
7	-0,005	-0,634
8	-0,007	-0,637
9	-0,005	-0,636
10	-0,005	-0,631

Од табелата 1

се гледа дека средните вредности на $\cos \frac{\pi}{2} \beta^2$ се одредот на величините 10^{-2} и помали, а нивните меѓусебни производи и квадрати ќе бидат од редот 10^{-4} , така што битно нема да влијаат врз вредноста на интензитетот дадена со релацијата (141). Со други зборови во оваа формула ќе можеме да сметаме дека се приближно рамни на нула членовите со $\cos \frac{\pi}{2} \beta^2$.

Што се однесува до средната вредност на $\sin \frac{\pi}{2} \beta^2$, од табелата 1 се гледа дека можеме да земеме за сите десет интервали

$$\sin \frac{\pi}{2} \beta^2 \approx \text{конд.} = -0,635 \quad (143)$$

Тогаш за вредноста на интензитетот во првиот главен максимум може да се земе дека важи приближно формулата

$$I_{\text{pp}} = \frac{2K}{\alpha_2} (-0,635)^2 (\sum_{p=1}^n p_{2p})^2 = 2K(0,635)^2 (\sum_{p=1}^n (2p-1)^2) \quad (144)$$

Кога пак мрежичката е позитивна, од (139) и (120) следува

$$\begin{aligned} I_{\text{pp}} &= \frac{2K}{\alpha_2} \left\{ \left(\sum_{p=1}^n \alpha((2p-1)^2 - (2p-2)^2) \cos \frac{\pi}{2} \beta^2 \right)^2 + \left(\sum_{p=1}^n \alpha((2p-1)^2 - (2p-2)^2) \sin \frac{\pi}{2} \beta^2 \right)^2 \right\} \\ &= \frac{2K}{\alpha_2} \left\{ \left(\sum_{p=1}^n p_{2p-1} \cos \frac{\pi}{2} \beta^2 \right)^2 + \left(\sum_{p=1}^n p_{2p-1} \sin \frac{\pi}{2} \beta^2 \right)^2 \right\} \end{aligned} \quad (145)$$

при што сега

$$p_{2p-1} = \alpha (\sqrt{2\beta-1} - \sqrt{2\beta-2}) \quad (146)$$

и

$$\cos \frac{\pi}{2} \xi^2 = \frac{c(\sqrt{2(2\beta-1)} - c(\sqrt{2(2\beta-2)}))}{\sqrt{2(2\beta-1)} - \sqrt{2(2\beta-2)}} \quad \text{и} \quad \sin \frac{\pi}{2} \xi^2 = \frac{s(\sqrt{2(2\beta-1)} - s(\sqrt{2(2\beta-2)}))}{\sqrt{2(2\beta-1)} - \sqrt{2(2\beta-2)}}$$

Средните вредности сега се пресметани врз деловите на кривите $\sin \frac{\pi}{2} \xi^2$ и $\cos \frac{\pi}{2} \xi^2$ кои на Сл.12 се подвлечени со испрекината линија.

Во табелата 2 се дадени директно пресметаните средни вредности на овие величини за десет вредности на β . Од неа

Табела 2

β	$\sin \frac{\pi}{2} \xi^2$	$\cos \frac{\pi}{2} \xi^2$
1	-0,505	-0,374
2	-0,633	-0,042
3	-0,635	-0,024
4	-0,635	-0,014
5	-0,636	-0,010
6	-0,636	-0,008
7	-0,636	-0,012
8	-0,637	-0,006
9	-0,637	-0,005
10	-0,639	-0,007

се гледа дека, со искушок на првите членови, имаме иста ситуација како кај негативната мрежичка, т.е. можеме да сметаме дека се приближно рамни на нула членовите со $\cos \frac{\pi}{2} \xi^2$ а за $\sin \frac{\pi}{2} \xi^2 \approx -0,635$ Така за интензитетот на првиот главен максимум кај позитивната мрежичка ја имаме приближната формула

$$I_+(\bar{P}) = \frac{2K}{\alpha^2} (0,635)^2 \left(\sum_{p=1}^n p_{2p-1} \right)^2 \quad (147)$$

Ако со P_+ и P_- ги означиме вкупните пропусни ширини кај позитивната и негативната мрежичка соодветно

$$P_+ = \sum_{p=1}^n \alpha (\sqrt{2\beta-1} - \sqrt{2\beta-2}) \quad P_- = \sum_{p=1}^n \alpha (\sqrt{2\beta} - \sqrt{2\beta-1}) \quad (148)$$

од формулите (144) и (145) следува дека

$$\frac{I_+}{I_-} = \frac{P_+^2}{P_-^2} \quad (149)$$

За мрежички со по пет пропусни зони поради тоа што е

$$P_+ = \alpha \sum_{p=1}^5 (\sqrt{2p-1} - \sqrt{2p-2}) = \alpha \{(\sqrt{1}-\sqrt{0}) + (\sqrt{3}-\sqrt{2}) + (\sqrt{5}-\sqrt{4}) + (\sqrt{7}-\sqrt{6}) + (\sqrt{9}-\sqrt{8})\} = 1,932 \alpha$$

$$P_- = \alpha \sum_{p=1}^5 (\sqrt{2p} - \sqrt{2p-1}) = \alpha \{(\sqrt{2}-\sqrt{1}) + (\sqrt{4}-\sqrt{3}) + (\sqrt{6}-\sqrt{5}) + (\sqrt{8}-\sqrt{7}) + (\sqrt{10}-\sqrt{9})\} = 1,239 \alpha$$

овој однос би требало да се очекува да е

$$\frac{I_+}{I_-} = \left(\frac{P_+}{P_-} \right)^2 = 2,41 \quad (150)$$

За мрежички пак кои имаат по 10 пропусни зони од двете страни на оската

$$P_+ = \alpha \sum_{p=1}^{10} (\sqrt{2p-1} - \sqrt{2p-2}) = 2,590 \alpha$$

$$P_- = \alpha \sum_{p=1}^{10} (\sqrt{2p} - \sqrt{2p-1}) = 1,882 \alpha$$

$$\frac{I_+}{I_-} = \left(\frac{P_+}{P_-} \right)^2 = 1,88 \quad (151)$$

Поради грубата приближност која е направена во заокружувањето на формулите (144) и (145), поради големото отстапување на првите членови, можеме да замислиме позитивна и негативна мрежичка кај кои се прекриени првите пет пропусни зони. а во дифракцијата да учествуваат зоните чии редни броеви се во интервалот од 5-10. Тогаш

$$(P_+)_{5-10} = 0,642 \quad \text{и} \quad \frac{I_+}{I_-} = \left(\frac{P_+}{P_-}_{5-10} \right)^2 = 1,080 \quad (152)$$

$$(P_-)_{5-10} = 0,667$$

И покрај тоа што се земени прилично приближно, формулите (144) и (147) ја даваат зависноста на интензитетот од бројот на зоните во првиот главен максимум. Имено за интензитетот во првиот главен максимум можеме да напишеме дека е равен на

$$I(\bar{pp}) = \frac{2K}{\alpha^2} (0,635)^2 P_x^2 \quad (153)$$

каде P_x е ширината на сите пропусни зони од дадената мрежичка без оглед на тоа дали таа е позитивна или негативна.

ВРЕДНОСТ НА ИНТЕНЗИТЕТОТ ВО ГЛАВНИТЕ МАКСИМУМИ ОД ПОВИСОК РЕД

Според формулите (69) и (89) вредноста на интензитетот во главните максимуми кај негативната мрежичка ќе биде даден со

$$I = K \left\{ \left(\sum_{p=1}^n [C(\sqrt{2(2k-1)}\sqrt{2p}) - C(\sqrt{2(2k-1)}\sqrt{2p-1})] \right)^2 + \left(\sum_{p=1}^n [S(\sqrt{2(2k-1)}\sqrt{2p}) - S(\sqrt{2(2k-1)}\sqrt{2p-1})] \right)^2 \right\}$$

каде за $k = 2, 3, 4, \dots$ се добиваат интензитетите на вториот, третиот, .. k -тиот главен максимум.

Од друга страна во согласност со формулите (77) и (78) за Френеловите интеграли во нивната прва приближност можеме да земеме

$$C(n) = \frac{1}{2} + \frac{1}{\pi n} \sin \frac{\pi}{2} n^2$$

$$S(n) = \frac{1}{2} - \frac{1}{\pi n} \cos \frac{\pi}{2} n^2$$

односно

$$C(\sqrt{2(2k-1)}\sqrt{2p}) = \frac{1}{2} + \frac{1}{\pi \sqrt{2(2k-1)} \sqrt{2p}} \sin \frac{\pi}{2} \sqrt{2(2k-1)} 2p = \frac{1}{2}$$

$$C(\sqrt{2(2k-1)}\sqrt{2p-1}) = \frac{1}{2} + \frac{1}{\pi \sqrt{2(2k-1)} \sqrt{2p-1}} \sin \frac{\pi}{2} \sqrt{2(2k-1)} 2p-1 = \frac{1}{2}$$

а

$$S(\sqrt{2(2k-1)}\sqrt{2p}) = \frac{1}{2} - \frac{1}{\pi \sqrt{2(2k-1)} \sqrt{2p}} \cos \frac{\pi}{2} \sqrt{2(2k-1)} p = \frac{1}{2} - \frac{1}{\pi \sqrt{2(2k-1)} \sqrt{2p}}$$

$$S(\sqrt{2(2k-1)}\sqrt{2p-1}) = \frac{1}{2} - \frac{1}{\pi \sqrt{2(2k-1)} \sqrt{2p-1}} \cos \frac{\pi}{2} \sqrt{2(2k-1)} (2p-1) = \frac{1}{2} + \frac{1}{\pi \sqrt{2(2k-1)} \sqrt{2p-1}}$$

Во оваа приближност првиот член од формулата за интензитетот омакаа, така што имаме

$$I_- = K \left(\sum_{p=1}^n \left[-\frac{1}{\pi \sqrt{2(2k-1)} \sqrt{2p}} - \frac{1}{\pi \sqrt{2(2k-1)} \sqrt{2p-1}} \right] \right)^2$$

или

$$(I_-)_{\max} = \frac{K}{(2k-1)} \left(\sum_{p=1}^n \left[\frac{1}{\pi \sqrt{2 \cdot 2p}} + \frac{1}{\pi \sqrt{2(2p-1)}} \right] \right)^2 \quad (155)$$

Според оваа формула

$$(I_-)_{\max} = K \left(\sum_{p=1}^n \left[\frac{1}{\pi \sqrt{2 \cdot 2p}} + \frac{1}{\pi \sqrt{2(2p-1)}} \right] \right)^2 \quad (156)$$

на следува дека

$$(I_{-})_{k_{\max}} = \frac{1}{(2k-1)} (I_{-})_{1_{\max}} \quad (157)$$

или дека

$$(I_{-})_{1_{\max}} : (I_{-})_{k_{\max}} = 1 : 1/(2k-1) \quad (158)$$

Тоа значи дека интензитетите во главните максимуми ќе се однесуваат како

$$(I_{-})_{1_{\max}} : (I_{-})_{2_{\max}} : (I_{-})_{3_{\max}} : \dots : (I_{-})_{k_{\max}} = 1 : \frac{1}{3} : \frac{1}{5} : \dots : \frac{1}{(2k-1)} \quad (159)$$

Неќетешмо да се види дека истата законитост важи и за позитивната мрежичка. Имено, во случај на позитивна мрежичка наместо формулата (155) за интензитетот во k-тиот максимум добиваме

$$(I_{+})_{k_{\max}} = K \frac{1}{(2k-1)} \left(\sum_{p=1}^k \left[\frac{1}{\pi \sqrt{2(2p-1)}} + \frac{1}{\pi \sqrt{2(2p-2)}} \right] \right)^2 \quad (160)$$

од каде јасно следуваат релациите (157) и (159).

На сосема ист начин како во претходниот наслов, направено е нумеричко пресметнување на средната вредност на интензитетот во вториот главен максимум. При тоа наместо со (141) работиме со формулата (за $\xi = \sqrt{6}$)

$$(I_{+})_{2_{\max}} = K \left\{ \left(\sum_{p=1}^5 \sqrt{6}(\sqrt{2p} - \sqrt{2p-1}) \cos \frac{\pi}{2} \xi^p \right)^2 + \left(\sum_{p=1}^5 \sqrt{6}(\sqrt{2p} - \sqrt{2p-1}) \sin \frac{\pi}{2} \xi^p \right)^2 \right\} \quad (161)$$

водејќи сметка дека сега

$$\cos \frac{\pi}{2} \xi^p = \frac{C(\sqrt{6 \cdot 2p}) - C(\sqrt{6 \cdot 2p-1})}{\sqrt{6}(\sqrt{2p} - \sqrt{2p-1})} \quad \text{односно} \quad \sqrt{6} \cos \frac{\pi}{2} \xi^p = \frac{C(\sqrt{6 \cdot 2p}) - C(\sqrt{6 \cdot 2p-1})}{(\sqrt{2p} - \sqrt{2p-1})}$$

и исто така

$$\sqrt{6} \sin \frac{\pi}{2} \xi^p = \frac{S(\sqrt{6 \cdot 2p}) - S(\sqrt{6 \cdot 2p-1})}{\sqrt{2p} - \sqrt{2p-1}}$$

Со помош на таблиците [3] за овие средни вредности во случај на мрежичка со по десет пропусни зони од двете страни на оската ($N = 10$) е добиено дека

$$\sqrt{6} \cos \frac{\pi}{2} \xi^p \approx 0 \quad \text{и} \quad \sqrt{6} \sin \frac{\pi}{2} \xi^p = 0,522 \quad (162)$$

што значи дека средната вредност на интензитетот во вториот главен максимум може да биде апроксимирана со формулата

$$(I_{\text{max}})_{\text{max}} = \frac{K}{\alpha^2} (0,522)^2 \left(\sum_{p=1}^n P_{2p} \right)^2 \quad (163)$$

Имајќи ја во предвид формулата (144) за првиот главен максимум на интензитетот, за односот на овие два интензитети наобаме

$$I_x : I_1 = 2 \cdot (0,635)^2 : (0,522)^2 = 0,8064 : 0,2725 = 2,9593$$

додека според (159) овој однос треба да биде рамен на 3.

Ваквиот однос на вредноста на интензитетот во главните максимуми вдолж оптичката оска битно ја разликува линеарната зонска мрежичка од Соретовата кружна мрежичка, која според теоријата што ја има изведено Мозер [4], кога мрежичката се движи во интервалот на константното растојание меѓу изворот и еcranot \mathbf{c} , има константен интензитет во сите главни максимуми.

ИСПИТУВАЊЕ НА СПОРЕДНИТЕ ЕКСТРЕМИ НА ИНТЕНЗИТЕТОТ ПО ОПТИЧКАТА ОСКА НА ЛИНЕАРНА ЗОНСКА МРЕЖИЧКА

Уште понапред беше споменато дека описанот услов за добивање на екстремните вредности на интензитетот (87) односно (88) за случај на мрежичка со голем број на пропусни зони, покрај решенијата (89) ($\frac{t^2}{r^2} = 2m$) кои ги даваат главните екстреми, има и други решенија кои зависат од вредностите на r и r' , па според тоа можеме да ги сметаме како екстремни вредности на интензитетот предизвикани од интерференцијата на бранувајата кои потекнуваат од зоните на мрежичката кои имаат различни редни броеви r и r' .

За да ги најдеме овие екстреми, кои ќе ги наречеме споредни, би требало да ги најдеме сите решенија на равенката (88), што претставува прилично голема математичка тешкотија. Затоа ќе се задоволиме само со определување на бројот на спо-

редните екстреми и тоа, не преку решавање на равенката (88), туку директно разгледувајќи ја релацијата (79), која го дава распоредот на интензитетот вдолж оптичката оска.

Определувајќи се да работиме во подручјето $\frac{\pi}{2} > 2$ каде функциите $P(\nu)$ можат да бидат занемарени, формулата (79) ќе гласи

$$\begin{aligned} I(\bar{P}\bar{P}) = K \sum_{p=1}^n \sum_{p'=1}^n & \left\{ [Q(w_p)Q(w_{p'}) + Q(u_p)Q(u_{p'})] - [Q(w_p)Q(u_{p'}) + \right. \right. \\ & \left. \left. + Q(u_p)Q(w_{p'})] \cos \frac{\pi}{2} t^2 \right] \cos \pi t^2 (p-p') + \right. \\ & \left. + [Q(w_p)Q(u_{p'}) - Q(u_p)Q(w_{p'})] \sin \frac{\pi}{2} t^2 \sin \pi t^2 (p-p') \right\} \end{aligned} \quad (164)$$

Во интервалот $\frac{\pi}{2} > 2$ и вториот дел од двојната сума во кој фигурираат коефициентите множени со $\sin \pi t^2 (p-p')$ можеме да ги занемариме зошто $Q(w_p)Q(u_{p'}) \approx Q(u_p)Q(w_{p'})$ па разликата во средната заграда е приближно рамна на нула за секој член од сумата. Така за распоредот на интензитетот вдолж оптичката оска ја имаме приближната формула

$$\begin{aligned} I(\bar{P}\bar{P}) = K \sum_{p=1}^n \sum_{p'=1}^n & \left\{ [Q(w_p)Q(w_{p'}) + Q(u_p)Q(u_{p'})] - [Q(w_p)Q(u_{p'}) + \right. \right. \\ & \left. \left. + Q(u_p)Q(w_{p'})] \cos \frac{\pi}{2} t^2 \right] \cos \pi t^2 (p-p') \right\} \end{aligned} \quad (165)$$

или

$$\begin{aligned} I(\bar{P}\bar{P}') = K \sum_{p=1}^n & \left\{ [Q^2(w_p) + Q^2(u_p)] - 2Q(w_p)Q(u_p) \cos \frac{\pi}{2} t^2 \right\} + \\ & + K \sum_{p=1}^n \sum_{p'=1}^n A_{pp'} \cos \pi t^2 (p-p') = \sum_p I_{pp} + \sum_{p \neq p'} I_{pp'} \end{aligned} \quad (166)$$

каде

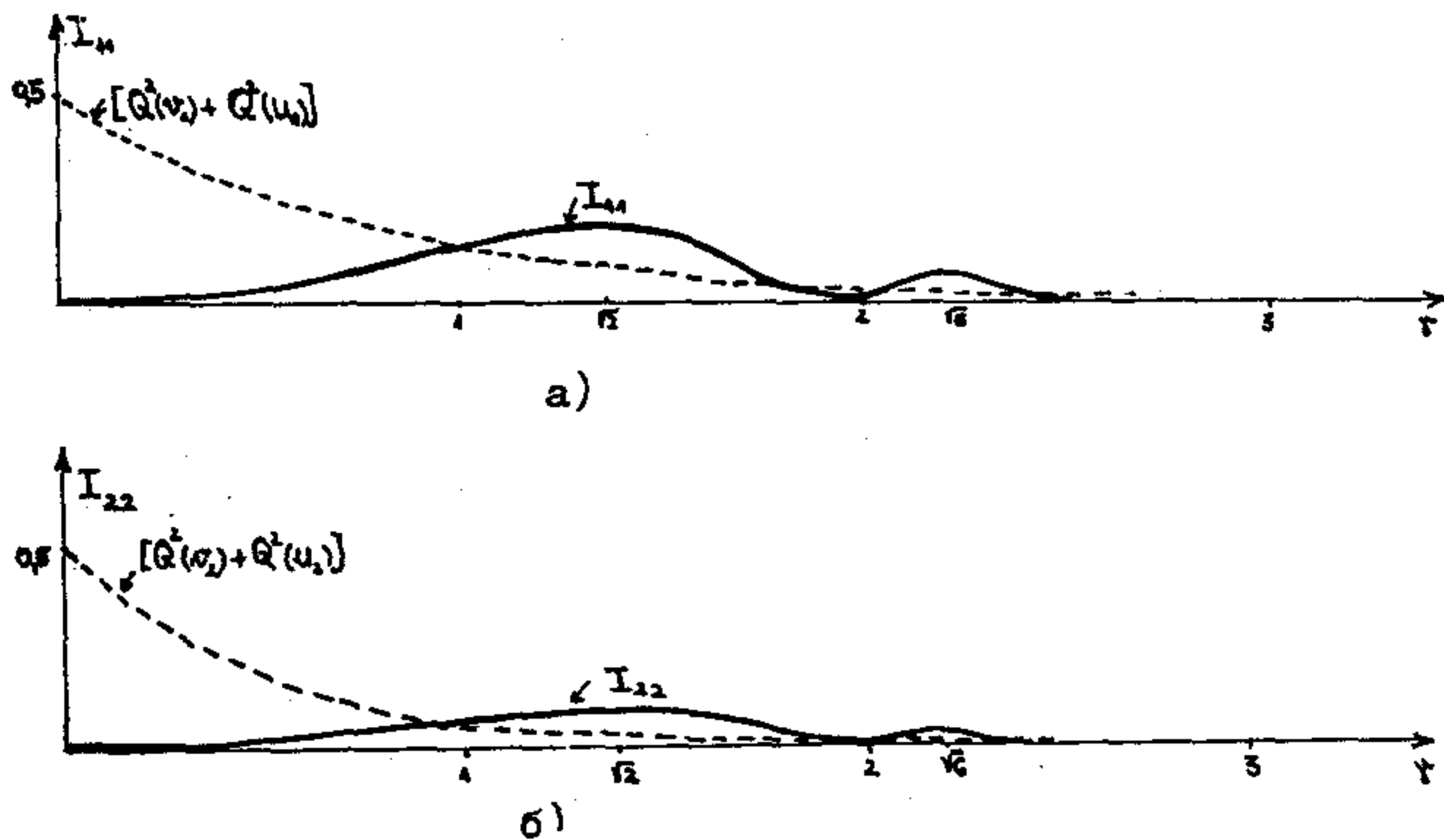
$$A_{pp'} = [Q(w_p)Q(w_{p'}) + Q(u_p)Q(u_{p'})] - [Q(w_p)Q(u_{p'}) + Q(u_p)Q(w_{p'})] \cos \frac{\pi}{2} t^2$$

I_{pp} е дел од интензитетот што се додава на бранувачата кои потекнуваат од зоните со исти индекси p . Секој член од оваа сума ќе има најголема вредност кога

$$\frac{\pi k^2}{2} = 2\pi \kappa$$

$$\tau = \sqrt{2 \cdot 2\kappa}$$

зашто претставува квадрат од разликата на функциите $Q(\varphi_p)$ и $Q(u_p)$. Ние видовме дека вака определените вредности на Ψ всушност ги дефинираат местата на главните екстреми на интензитетот. Инаку секој член од првата сума можеме да го третираме како осцилација $-2Q(\varphi_p)Q(u_p)\cos\frac{\pi k^2}{2}\tau$ околу кривата $Q(\varphi_p)+Q(u_p)$. На Сл.13а и 13б дадени се графиците на интензитетите I_{pp} и I_{22} .



Сл.13

Всушност сите интензитети I_{pp} ќе бидат претставени со истородни криви, при што со зголемувањето на вредноста на индексот амплитудите на осцилацијата стануваат се помали поради опаѓањето на вредноста на Функциите $Q(\Psi)$. Сите криви го постигаат својот минимум кога $\tau = \sqrt{2 \cdot 2\kappa}$ а имаат максимум кога $\tau = \sqrt{2(2\kappa - 1)}$.

Членовите I_{pp}' на втората сума, кои го претставуваат придонесот кон вредноста на интензитетот на бранувавањата што потекнуваат од зоните чии редни броеви се различни $\rho \neq \rho'$, графички ќе бидат прикажани со осцилации $\cos\frac{\pi k^2}{2}(\rho - \rho')$ кои се модулирани со амплитуди чии графици се слични со оние на Сл.13.

На местата на главните екстреми, т.е. екстремите на модулирачки-

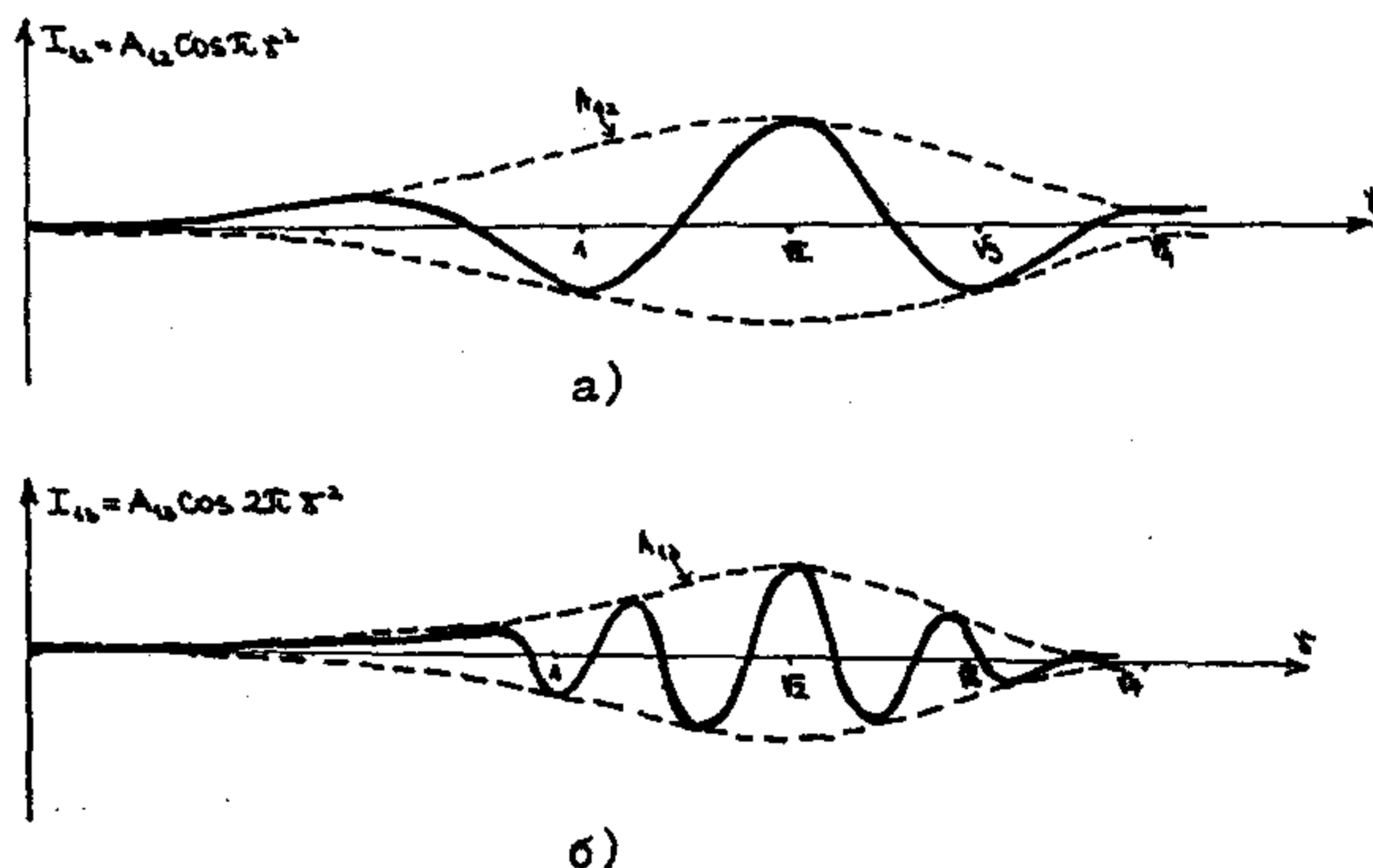
те амплитуди, осцилациите $\cos \xi^2(\beta-\rho)$ имаат вредност 1, така што не ја менуваат вредноста на амплитудата $A_{pp'}$. Минимумите на модулираните осцилации ќе бидат дадени со оние вредности на ξ за кои е

$$\pi \xi^2(\beta-\rho') = (2p-1)\pi$$

т.е. за

$$\xi = \sqrt{\frac{2p-1}{(\beta-\rho')}} \quad p\text{-цел број} \quad (167)$$

На Сл. 14а и 14б графички се прикажани интензитетите I_{1a} и I_{1b} .



Сл. 14

Интензитетот I_{1a} има екстреми на истите места како и I_{1b} само со помали вредности.

Да забележиме уште дека

$$I_{pp'} = I_{pp} \quad (168)$$

И покрај нееднаквата висина на модулираните амплитуди на осцилациите $\cos \xi^2(\beta-\rho')$, сите осцилации кои потекнуваат од зони чии разлики на редните броеви се

$$|\beta-\rho'| = q \quad q = 1, 2, 3, \dots$$

ќа имаат минимуми определени според формулата (167) со

$$t = \sqrt{\frac{2\rho-1}{2}} \quad (169)$$

а максимуми со

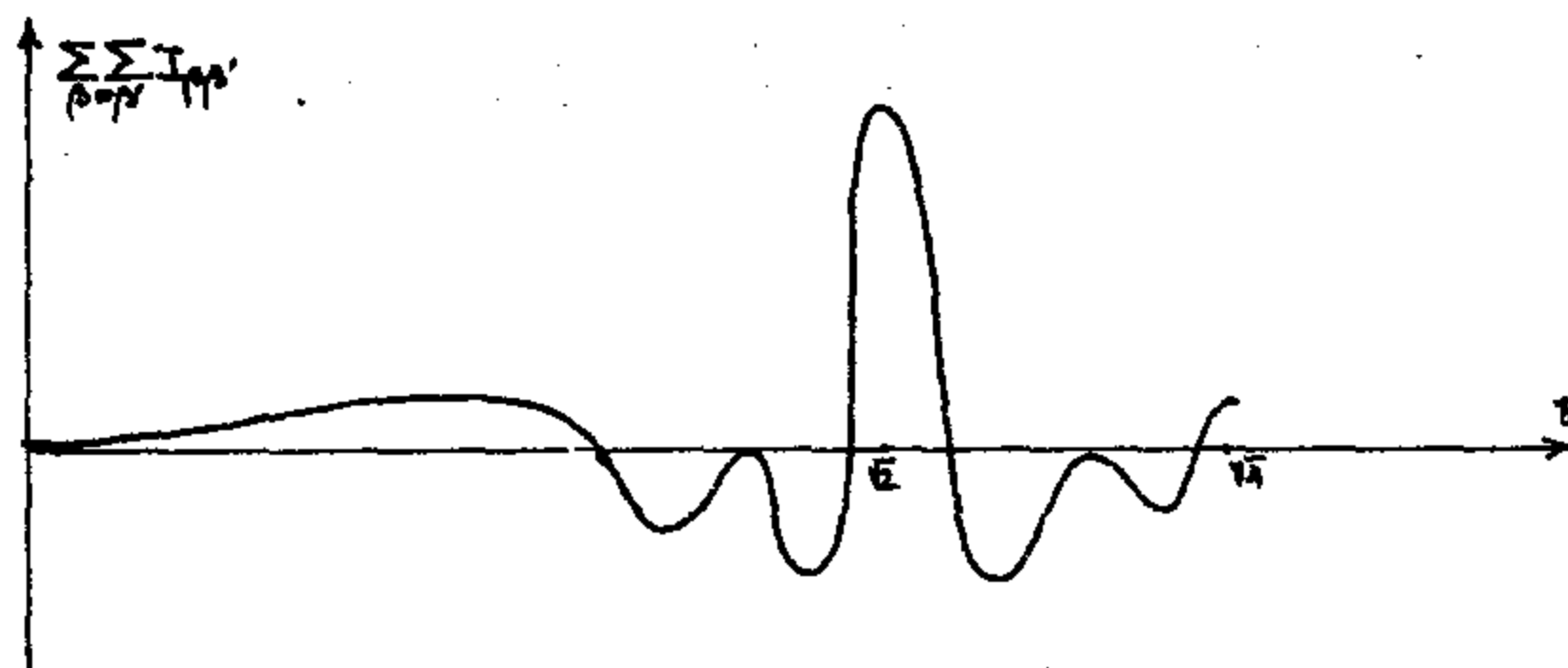
$$t = \sqrt{\frac{2\rho}{2}} \quad (170)$$

Најголем број на екстреми ќе има членот кој ја претставува интерференцијата меѓу зоните со реден број 1 и N .

Да претпоставиме сега дека имаме линеарна зонска мрежичка со по три пропусни зони од двете страни на оската на мрежичката ($N=3$). Кога би го претставиле графички интензитетот $\sum_{\rho=\rho'}^{\rho} I_{\rho\rho'}$, би требало да извршиме графичко сумирање на членовите представени со графиките на Сл. 14. Поради (168) ќе треба да ги сумираме по графички пат

$$\sum_{\rho} \sum_{\rho'} I_{\rho\rho'} = 2I_{1a} + 2I_{2a} + 2I_{3a}$$

Ова графичко сумирање е претставено на Сл. 15



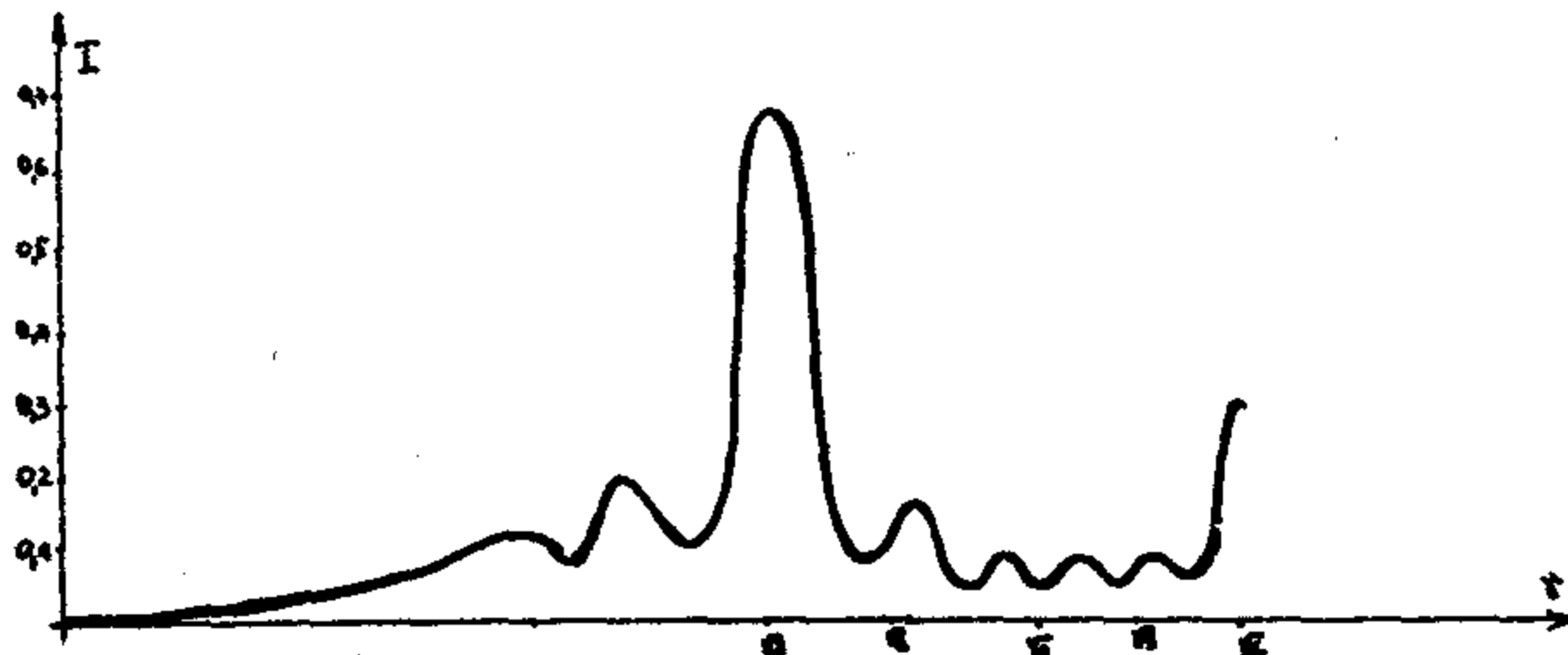
Сл. 15

Резултантната осцилација ќе има исто толку минимуми колку што има членот за кој $|\rho-\rho'| = 3-1=2$. Се разбира местата на овие минимуми не се веќе определени со формулата (169), меѓутоа ако правиме слично графичко сумирање за мрежичка со голема вредност на редниот број на последната пропусна зона N , можеме да сметаме дека тие се во близина на местата определени со

$$t = \sqrt{\frac{2\rho-1}{N-1}} \quad (171)$$

Вкупниот интензитет е даден со формулата (166) и за

случај на мрежичка со $N=3$ тој графички е претставен на Сл. 16



Сл. 16

Гледаме дека меѓу првите два главни максимуми $t=\sqrt{2}$ и $t=\sqrt{6}$ се јавуваат четири споредни минимуми како заедно со првиот главен минимум даваат вкупно 5 минимуми во овој интервал. Меѓу нив се јавуваат 4 споредни максимуми.

Кога имаме мрежичка со N пропусни зони од двете страни на оската, меѓу двета главни максимуми ќе се јават $2(N-1)$ споредни минимуми, кои заедно со главниот минимум во овој интервал се вкупно $2(N-1)+1=2N-1$ минимуми. Меѓу нив се јавуваат $2N-2$ споредни максимуми.

Така на пример за мрежичка со 10 пропусни зони ($N=10$) членот во сумата $I_{4,n}$ ќе има минимуми дадени со

$$t = \frac{\sqrt{2p-1}}{3} = \frac{1}{3}\sqrt{2p-1} \quad (171a)$$

Меѓу првот и вториот главен максимум, значи меѓу вредностите на $t=\sqrt{2}$ и $t=\sqrt{6}$ ќе лежат минимумите определени со

p	t	p	t	p	t	p	t	p	t	p	t	p	t
10	$\sqrt{19}/3$	13	$\sqrt{25}/3$	16	$\sqrt{31}/3$	19	$\sqrt{37}/3$	22	$\sqrt{43}/3$	25	$\sqrt{49}/3$		
11	$\sqrt{21}/3$	14	$\sqrt{27}/3$	17	$\sqrt{33}/3$	20	$\sqrt{39}/3$	23	$\sqrt{45}/3$	26	$\sqrt{51}/3$		
12	$\sqrt{23}/3$	15	$\sqrt{29}/3$	18	$\sqrt{35}/3$	21	$\sqrt{41}/3$	24	$\sqrt{47}/3$	27	$\sqrt{53}/3$		

Овие минимуми заедно со главниот минимум $\bar{x}=\sqrt{4}$ во овој интервал даваат вкупно $18+1=19=2 \cdot 10-1$ минимуми на интензитетот.

Меѓу вториот и третиот главен максимум $\bar{x}=\sqrt{6}$ и $\bar{x}=\sqrt{10}$, исто така се наоѓаат 18 споредни и еден главен минимум (втор гл.мин.) на кои им одговараат вредностите на \bar{x} определени од (171а) за вредности на r од 28 до 45 закључно. Меѓу нив исто така се јавуваат $2 \cdot 10-2=18$ споредни максимуми.

Не само кај мрежичката со 10 пропусни зони, туку кај мрежичка со било кој број N на пропусни зони, бројот на споредните минимуми и максимуми ќе биде еднаков и ќе изнесува по $2N-1$ минимуми и $2N-2$ споредни максимуми во интервалот меѓу било кои два сукцесивни главни максимуми.

Како што беше напоменато формулата (171) го определува бројот на споредните екстреми (минимуми) и само приближно нивното место. Споредните екстреми кои се во близина на првиот главен максимум исто така ќе бидат поместени кон помали вредности на \bar{x} , што се должи на занемарувањето на функциите $P(n)$ во изразот (79), кога се работи со мрежичка со мал број на пропусни зони.

Од самото графичко претставување на добивањето на споредните екстреми за примерот на мрежичката со $N=3$, јасно е дека споредните екстреми се осцилации со многу мали амплитуди (модулирани со A_{pp} кои во наведеното подручје се многу ниски). И додека вкупниот интензитет на местата на главните максимуми брз го расте со зголемување на бројот N (особено е забележително растејето на првиот главен максимум), во интервалот меѓу главните максимуми се јавува само наголемен број на споредни максимуми со незначителни вредности, кои се згуснуваат во колку се оди поблиску до максимумот со повисок реден број. Поради нивна-

та густина и малите отстапувања од средната вредност на интензитетот во интервалот меѓу два главни максимуми, споредните екстреми тешко би биле регистрирани особено ако се работи со мрежичка со голем број на пропусни зони.

Затоа од сите максимуми на интензитетот што ги ствара линеарната зонска мрежичка вдолж правите $\overline{PP'}$ кои стојат нормално на оптичката оска, најважни се главните максимуми а особено првиот главен максимум, како место на оптичката оска во кое имаме најголема вредност на интензитетот.

ГЛАВА III.

ПРИМЕНА НА ТЕОРИЈАТА ВРЗ ЕДЕН КОНКРЕТЕН ПРИМЕР

Со цел да се поткрепат теориските резултати направено е едно нумеричко испитување на зависноста на распределбата на интензитетот на дифрактираната светлина по оптичката оска. Пресметнувањата се направени за линеарна зонска мрежичка со ширина на централната зона $2\alpha = 2 \cdot 10^{-3}$ м односно $\alpha = 1$ мм. Растојанието меѓу светлинскиот извор и екранот (фотометарот) е фиксно и е земено да изнесува

$$c = a + b = 7 \text{ mm}$$

За светлински извор е избрана пукнатина поставена пред отворот на еден Не-Не ласер кој емитира монохроматска кохерентна светлина со бранова должина

$$\lambda = 632,8 \text{ nm}$$

Ако е $a+b+c$ константно, во изразот за фокусното растојание ќе се јави само една променлива b , па

$$\frac{f}{b} = \frac{b(c-b)}{c}$$

Според тоа ако сакаме да најдеме на кое растојание b треба да

се наоѓа мрежичката од еcranот за определена вредност на фокусното растојание f , ке треба да се реши квадратната равенка $b^2 - bc + \frac{c^2}{4} = 0$ чии корени како и во (116) се дадени со

$$b_{1,2} = \frac{c \pm \sqrt{c^2 - 4c^2}}{2}$$

што при нашиот избор на експерименталната постановка дава

$$b_{1,2} = \frac{3 \pm \sqrt{49 - 28}}{2} \quad (172)$$

(b – мерено во метри)

Од равенката (172) се гледа дека за да се добијат реални решенија за b , при фокусни растојанија $f > 0$, ке треба да е

$$49 - 28f \geq 0 \quad \text{односно} \quad f \leq 1,75 \quad (173)$$

што одговара на

$$f \geq 1,35$$

Што се однесува пак до имагинарните фокусни растојанија $f < 0$ не постои никакво ограничување, меѓутоа како што рековме понапред, вредноста на b е надвор од интервалот ($0 - c$).

Овде ќе биде дискутирано само за подручјето во кое фокусното растојание е позитивно, односно во интервалот од оптичката оска од $b=0$ до $b=c$ во кој мрежичката делува само како собирна лека со повеќе фокусни места.

Мејерс во [10] изведува една формула која служи како критериум за допуштените зони од мрежичката кои даваат добар фокус. Имено, како кружната, така и линеарната зонска мрежичка само приближно го заменува брановиот фронт кога упадната светлина не е рамен бран, зошто рамната поврвнина на мрежичката отстапува од цилиндричната поврвнина на брановиот фронт, па периферните зони од мрежичката не се совпаѓаат со Френеловите зони. Мејерс, базирајќи се на Рейлиевиот критериум за грешката во оптичката патна разлика на брановите што идат од периферните зони на мрежичката да не смее да биде поголема од

$\lambda/4$, покажува дека редниот број на последната допуштена зона која е добра замена на Френеловата зона, треба да биде

$$N < \frac{0.6}{6\lambda} \quad (174)$$

што во нашиот случај со оглед на равенките (67) се сведува на

$$N < \frac{c}{6\lambda} \quad (175)$$

Па кога би се замениле вредностите на c и λ се добива дека бројот на допуштените зони е

$$N < 1855$$

а мрежичка со толкав број на зони тешко да би можела да се направи. Значи практички можеме да сметаме дека не постои ограничување во однос на бројот на зоните.

Нека $\frac{c}{\lambda}$ го определува местото на некој од екстремите. Тогаш од формулата (172) следува дека постојат две решенија b_1 и b_2 за секој екстрем. Според Виетовите правила за корените на една квадратна равенка

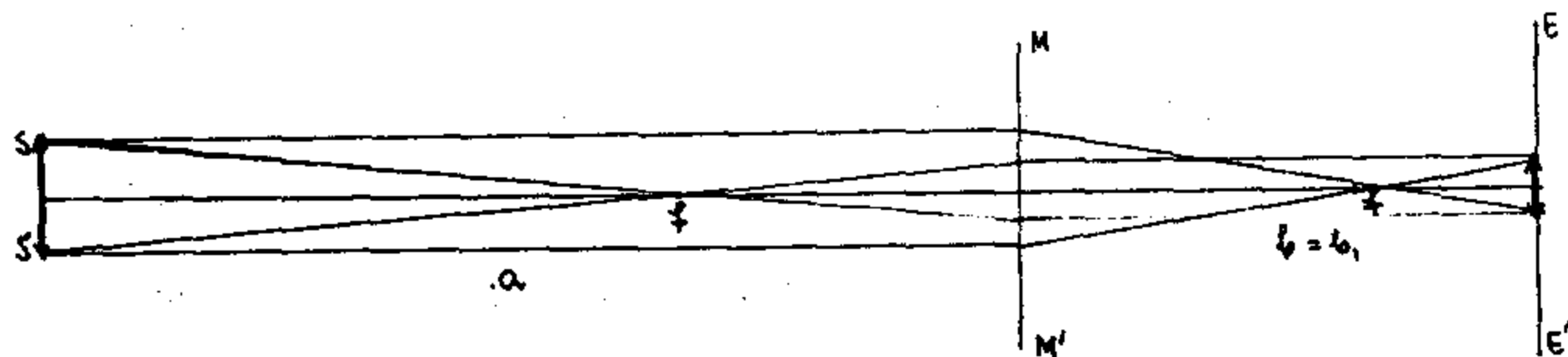
$$b_1 + b_2 = \frac{c}{\lambda} + \frac{\sqrt{c^2 - 4c^2}}{2} + \frac{c}{\lambda} - \frac{\sqrt{c^2 - 4c^2}}{2} = c \quad (176)$$

па ако земеме $b_1 = b$, мора да е $b_2 = a$, зонто $a + b = c$. И обратно сосема рамноправно можеме да земеме дека е $b_1 = a$ и $b_2 = b$.

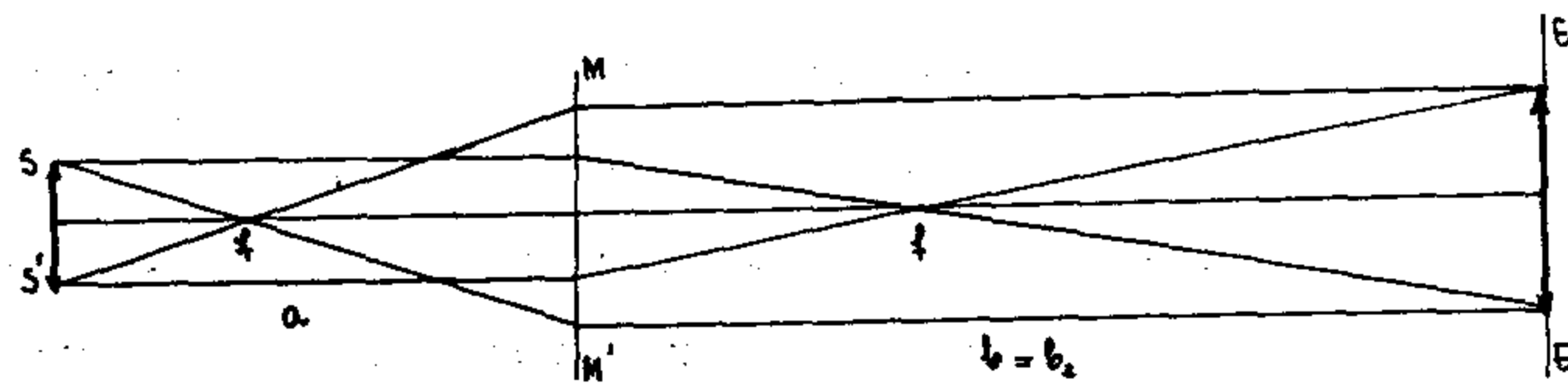
Овде всушност имаме иста ситуација како кога се бара реален лик со собирна цилиндрична лека при фиксирана положба на изворот и екранот. Како што е познато од геометриската оптика постојат две положби во кои може да се постави леката при што се добиваат реални ликови на предметот. Единот лик е намален а другиот наголемен. Така решението $b = \frac{c}{\lambda} - \frac{\sqrt{c^2 - 4c^2}}{2}$ дава намален лик, додека решението $b = \frac{c}{\lambda} + \frac{\sqrt{c^2 - 4c^2}}{2}$ дава наголемен лик, што може да се види од шемите на Сл. 17.

Разликата меѓу обичната цилиндрична лека и линеарната зонска мрежичка е во тоа, што кај леката постои само една вредност на $\frac{c}{\lambda}$ за која се добива интензивна и остра слика на

предметот односно изворот, додека кај мрежичката постојат повеќе такви вредности.



$$a) \quad b_1 = \frac{c}{2} - \frac{\sqrt{c^2 - 4cf}}{2}$$



$$b) \quad b_2 = \frac{c}{2} + \frac{\sqrt{c^2 - 4cf}}{2}$$

Сл. 17

SS'-извор, MM'-мрежичка, EE'-екран.

Мрежичката ќе даде интензивен лик на еcranот кога ќе биде поставена на такво растојание b , што вредноста на фокусното растојание во формулата (172) е $f_k = \frac{\alpha^2}{\lambda}$. Друг остер лик, но според (159) со три пати помал интензитет се добива кога b има таква должина што $f_k = \frac{\alpha^2}{3\lambda}$, и т.н.

Ако е $\alpha = 10^{-3} m$ а $\lambda = 632,8 nm = 6328 \cdot 10^{-10} m$ величина

$$\frac{\alpha^2}{\lambda} = \frac{10^{-6} m^2}{6328 \cdot 10^{-10} m} = 15803 m \quad (177)$$

Тогаш вредностите на фокусните растојанија кои одговараат на главните максимуми ги пресметнуваме според формулата

$$f_{max} = \frac{\alpha^2}{(2k-1)\lambda} \quad k=1, 2, 3, \dots \quad (178)$$

растојанијата b и a на кои треба да се постави мрежичката се пресметани според формулата (172).

Табела 3

m	k	f_{max} (м)	b_1 (м)	b_2 (м)
1	1	1,5803	4,5899	2,4101
3	2	0,5268	6,4261	0,5739
5	3	0,3161	6,6681	0,3319
7	4	0,2255	6,7667	0,2333
9	5	0,1756	6,8197	0,1803
11	6	0,1436	6,8533	0,1467
13	7	0,1216	6,8762	0,1238
15	8	0,1053	6,8930	0,1069
17	9	0,0930	6,9057	0,0943
19	10	0,0832	6,9157	0,0843

На табелата 3 се дадени положбите на првите десет главни максимуми (т.е. местата $b_{1,2}$ на кои би требало да се постави мрежичката за да се измери во фотометарот максимален интензитет), како и вредноста на соодветното фокусно растојание за позитивна или негативна мрежичка со многу голем број на пропусни зони. Од табелата се гледа дека со наголемувањето на редот на главните максимуми, тие се наоѓаат се поблиску еден до друг. Растојанието меѓу првиот и вториот главен максимум е 1,84 м., меѓу вториот и третиот тоа изнесува 0,242 м., потоа меѓу третиот и четвртиот ова растојание е 0,099 м. и така најму, така што меѓу деветиот и десетиот главен максимум постои растојание од само 1 см.

Во табелата пак 4 се дадени вредностите на фокусните растојанија и

Табела 4

n	k	$f_{\text{мин}} (\text{м})$	$b_2 (\text{м})$	$b_4 (\text{м})$
2	1	0,7901	6,0921	0,9079
4	2	0,3951	6,5796	0,4204
6	3	0,2634	6,7258	0,2742
8	4	0,1975	6,7966	0,2034
10	5	0,1580	6,8383	0,1617
12	6	0,1317	6,8657	0,1343
14	7	0,1129	6,8852	0,1148
16	8	0,0987	6,8999	0,1001
18	9	0,0878	6,9110	0,0890
20	10	0,0790	6,9201	0,0799

соответните положби b на мрежичката во однос на екранот за главните минимуми. За минимумите

$$f_{\text{мин}} = \frac{\lambda^2}{2k} \lambda \quad (479)$$

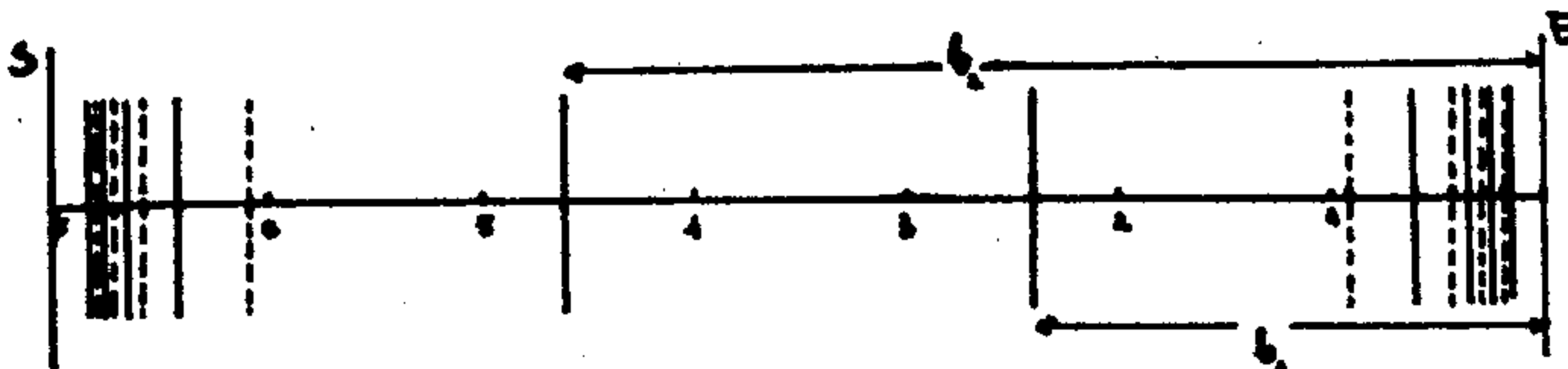
И од оваа табела може да се заклучи дека ситуацијата е слична како кај главните максимуми. Во колку се наголемува редот на

минимумите тие се се поблиску еден до друг.

Споредбата на последните две таблици покажува дека меѓу два главни максимуми се наоѓа по еден главен минимум. Главниот минимум не се наоѓа на средината меѓу двата главни максимуми, туку е поместен и се наоѓа поблиску до максимумот од повисок ред. Така на пример растојанието меѓу првиот главен максимум и минимумот од прв ред изнесува 1,5022 метри, а меѓу минимумот од прв ред и максимумот од втор ред тоа е 0,3340 метри. Вториот главен минимум се наоѓа на растојание 0,1535 м од вториот главен максимум, а на растојание 0,0885 м од третиот главен максимум. И т.н.

На мерната скала на Сл.18 со полна линија се означени

местата на првите пет главни максимуми, додека со испрекината линија местата на првите пет главни минимуми. Висината на цр-



Supt. 18

тите не ја претставува вредноста на интензитетот.

Теоријата покажа дека распоредот на интензитетот и неговата вредност на местата на главните екстреми зависи од бројот на пропусните зони (формули (69), (153) и дискусија на стр. 76-81). Според тоа неизводливо е по мат на нумеричко пресметнување да се претстави зависноста на вредноста на интензитетот од растојанието θ што мрежичката го зазема во однос на екранот (фотометарот) при нејзиното движење во интервалот $0 - c$, кога мрежичката има бескрајно многу зони. Затоа ќе се задоволиме со претставување на зависноста на интензитетот вдолж оптичката оска за мрежички со 10 и 20 пропусни зони, и споредувајќи ги нивните графици ќе направиме осврт кон теоретски предвидените отстапувања на местата на главните екстреми, (кога мрежичката има мал број на пропусни зони), потоа ќе ги споредиме овие зависности кај позитивните и негативните мрежички.

Графиците за распоредот на интензитетот по оптичката оска ја претставуваат зависноста определена со равенката (69) за негативна ирежичка и (60) за позитивна мрежичка и тоа за $N = 5$ и $N = 10$ во интервалот за b од 6 (3,5) до 3,5 (7) метри, зодра како што се гледа од ѕемата на Сл.18 распоредот е симерри-

чен во однос на вредноста $b = 3,5$ м. Вредноста на A во константата K епределена со формулата (68) е земена така, што за дадената бранова должина λ константата $K = 1$.

За пресметнување на вредноста на Френеловите интеграли кои фигурираат во формулите (69) и (60) беше користен потпрограмот CS на електронскиот пресметувач Фортран 3 систем IBM при Институтот за беизмологија во Скопје, а сумирањата $\sum_{p=1}^n [C(\psi_p) - C(u_p)]$ и $\sum_{p=1}^n [S(\psi_p) - S(u_p)]$ за секоја од наведените вредности на b се дополнително изведени и рачно е пресметана вредноста на интензитетот за секоја вредност на b во дадениот интервал. Во програмите беше земено λ да се менува со чекор 0,01 м меѓу првите два главни максимуми и со чекор 0,001 м. меѓу вториот и третиот главен максимум и понатаму, меѓутоа заради просторно скратување во табелата 5 ќе биде дадена секоја петта вредност со исклучок на карактеристичните места на екстремите.

Табела 5

Распоред на интензитетот на светлината вдолж оптичката оска кај линеарните зонски мрежички

b_1	b_2	позитивна мрежичка		негативна мрежичка	
		$I_{x=5}$	$I_{x=10}$	$I_{x=5}$	$I_{x=10}$
3,50 (3,50)		2,17491	1,12987	0,64438	0,16493
3,45 (3,55)		2,17882	1,13020	0,64633	0,16493
3,40 (3,60)		2,19048	1,13003	0,65216	0,16502
3,35 (3,65)		2,20984	1,13444	0,66191	0,16569
3,30 (3,70)		2,23691	1,14118	0,67562	0,16773
3,25 (3,75)		2,27144	1,15432	0,69328	0,17241
3,20 (3,80)		2,31325	1,17769	0,71497	0,18156

b_1 b_2	позитивна мрежичка		негативна мрежичка	
	$I_{n=5}$	$I_{n=10}$	$I_{n=5}$	$I_{n=10}$
3,15 (3,85)	2,36214	1,21637	0,74079	0,19767
3,10 (3,90)	2,41742	1,27702	0,77055	0,22404
3,05 (3,95)	2,47853	1,36771	0,80434	0,26494
3,00 (4,00)	2,54431	1,50474	0,84188	0,32905
2,95 (4,05)	2,61349	1,67835	0,88294	0,41218
2,90 (4,10)	2,68431	1,91914	0,92713	0,53134
2,85 (4,15)	2,75435	2,22878	0,97370	0,68972
2,80 (4,20)	2,82083	2,61167	1,02190	0,89294
2,75 (4,25)	2,88681	3,06357	1,07042	1,14339
2,70 (4,30)	2,92760	3,56894	1,11772	1,43876
2,65 (4,35)	2,95890	4,09605	1,16202	1,76911
2,64 (4,36)	2,96494	4,21199	1,17216	1,84597
2,63 (4,37)	2,96568	4,31099	1,17898	1,91284
2,62 (4,38)	2,96744	4,41095	1,18136	1,98211
2,61 (4,39)	2,96819	4,50810	1,19418	2,05122
2,60 (4,40)	2,96781	4,60197	1,20131	2,11995
2,59 (4,41)	2,96638	4,69192	1,20816	2,18803
2,55 (4,45)	2,94837	4,99922	1,23171	2,44672
2,50 (4,50)	2,89441	5,21469	1,25053	2,71117
2,49 (4,51)	2,87907	5,22896	1,25267	2,75236
2,48 (4,52)	2,86198	5,23186	1,25411	2,78838
2,47 (4,53)	2,84326	5,22334	1,25494	2,82923
2,46 (4,54)	2,82280	5,20266	1,25511	2,84424
2,45 (4,55)	2,80059	5,16963	1,25457	2,86326
2,44 (4,56)	2,77662	5,12372	1,25330	2,87571

b_1	b_2	позитивна мрежичка		негативна мрежичка	
		$I_{n=5}$	$I_{n=10}$	$I_{n=5}$	$I_{n=10}$
2,43 (4,57)		2,75079	5,06473	1,25127	2,87571
2,42 (4,58)		2,72310	4,99115	1,24842	2,88441
2,41 (4,59)		2,69361	4,90697	1,24482	2,87086
2,40 (4,60)		2,66219	4,80819	1,24034	2,85426
2,35 (4,65)		2,48162	4,14579	1,20582	2,65949
2,30 (4,70)		2,25026	3,21854	1,14698	2,27031
2,25 (4,75)		1,97333	2,18493	1,06315	1,23292
2,20 (4,80)		1,67227	1,24490	0,95482	1,14232
2,15 (4,85)		1,34899	0,58930	0,82482	0,61442
2,14 (4,86)		1,27479	0,49256	0,79262	0,51489
2,13 (4,87)		1,20999	0,42465	0,76378	0,43564
2,12 (4,88)		1,14573	0,37241	0,73445	0,36609
2,11 (4,89)		1,08206	0,33520	0,70461	0,30294
2,10 (4,90)		1,01887	0,31235	0,67446	0,24965
2,09 (4,91)		0,95773	0,30265	0,64395	0,20525
2,08 (4,92)		0,89743	0,30481	0,61328	0,16973
2,07 (4,93)		0,83862	0,31725	0,58250	0,14273
2,06 (4,94)		0,78151	0,33820	0,54339	0,12388
2,05 (4,95)		0,72636	0,36579	0,52085	0,11258
2,04 (4,96)		0,67330	0,39790	0,49022	0,10809
2,03 (4,97)		0,62254	0,43256	0,45989	0,10963
2,02 (4,98)		0,57429	0,46775	0,42987	0,11614
2,01 (4,99)		0,52869	0,50161	0,40035	0,12663
2,00 (5,00)		0,48594	0,53205	0,37136	0,13999

b_1	b_2	позитивна мрежичка		негативна мрежичка	
		$I_{n=5}$	$I_{n=10}$	$I_{n=5}$	$I_{n=10}$
1,99 (5,01)		0,44613	0,55775	0,34304	0,15509
1,98 (5,02)		0,40942	0,57729	0,31551	0,17082
1,97 (5,03)		0,37597	0,58968	0,28884	0,18614
1,96 (5,04)		0,34584	0,59433	0,26312	0,20008
1,95 (5,05)		0,31908	0,59084	0,23848	0,21172
1,94 (5,06)		0,29580	0,57952	0,21498	0,22039
1,93 (5,07)		0,27598	0,56074	0,19269	0,22549
1,92 (5,08)		0,25962	0,53543	0,17337	0,22671
1,91 (5,09)		0,24672	0,50494	0,15210	0,22389
1,90 (5,10)		0,23722	0,47062	0,13393	0,21706
1,89 (5,11)		0,23102	0,43431	0,11724	0,20651
1,88 (5,12)		0,22798	0,39780	0,10209	0,19277
1,87 (5,13)		0,22798	0,36289	0,08849	0,17637
1,86 (5,14)		0,23086	0,33140	0,07644	0,13889
1,85 (5,15)		0,23637	0,30488	0,06598	0,13889
1,84 (5,16)		0,24430	0,28460	0,05209	0,11951
1,83 (5,17)		0,25435	0,27143	0,04974	0,10103
1,82 (5,18)		0,26627	0,26585	0,04390	0,08418
1,81 (5,19)		0,27975	0,26187	0,03951	0,06974
1,80 (5,20)		0,29440	0,27687	0,03651	0,05830
1,79 (5,21)		0,30994	0,29191	0,03483	0,05026
1,78 (5,22)		0,32599	0,31150	0,03434	0,04575
1,77 (5,23)		0,34219	0,33395	0,03497	0,04473
1,76 (5,24)		0,35814	0,35723	0,03659	0,04687
1,75 (5,25)		0,37354	0,37931	0,03906	0,05168

b_1 b_2	позитивна мрежичка		негативна мрежичка	
	I_{n-r}	I_{n+10}	I_{n-r}	I_{n+10}
1,74 (5,20)	0,38799	0,39821	0,04225	0,05839
1,73 (5,27)	0,40121	0,41228	0,04601	0,06623
1,72 (5,28)	0,41283	0,42013	0,05020	0,07429
1,71 (5,29)	0,42266	0,42110	0,05530	0,07951
1,70 (5,30)	0,43038	0,41490	0,06149	0,08652
1,69 (5,31)	0,43586	0,40215	0,05840	0,08655
1,68 (5,32)	0,43894	0,38390	0,06292	0,09060
1,67 (5,33)	0,43952	0,36187	0,06728	0,09210
1,66 (5,34)	0,43759	0,33816	0,07132	0,09075
1,65 (5,35)	0,43317	0,31509	0,07492	0,08661
1,64 (5,36)	0,42639	0,29499	0,07844	0,07856
1,63 (5,37)	0,41739	0,27986	0,08068	0,06923
1,62 (5,38)	0,40669	0,27151	0,08214	0,05987
1,61 (5,39)	0,39372	0,27003	0,08248	0,04970
1,60 (5,40)	0,38142	0,27753	0,08252	0,041079
1,59 (5,41)	0,36468	0,28875	0,08143	0,03318
1,58 (5,42)	0,34917	0,30622	0,07937	0,02808
1,57 (5,43)	0,33356	0,32615	0,07652	0,02553
1,56 (5,44)	0,31838	0,34589	0,06858	0,02828
1,55 (5,45)	0,30410	0,36266	0,06369	0,03271
1,54 (5,46)	0,29114	0,37412	0,05835	0,03812
1,53 (5,47)	0,27998	0,37854	0,05271	0,04357
1,52 (5,48)	0,27098	0,37523	0,04692	0,04809
1,51 (5,49)	0,26448	0,36469	0,04115	0,05086
1,50 (5,50)	0,26067	0,34844	0,03559	0,05151

b_1	b_2	позитивна мрежичка		негативна мрежичка	
		$I_{n=5}$	$I_{n=10}$	$I_{n=5}$	$I_{n=10}$
1,49 (5,51)		0,25973	0,32909	0,03037	0,04927
1,48 (5,52)		0,26169	0,30980	0,02481	0,04496
1,47 (5,53)		0,26648	0,29381	0,02159	0,03899
1,46 (5,54)		0,27387	0,28394	0,01826	0,03224
1,45 (5,55)		0,28355	0,28194	0,01578	0,02577
1,44 (5,56)		0,29515	0,28833	0,01418	0,02058
1,43 (5,57)		0,30809	0,30193	0,01347	0,01743
1,42 (5,58)		0,32177	0,32010	0,01362	0,01676
1,41 (5,59)		0,33553	0,33930	0,01656	0,01846
1,40 (5,60)		0,34868	0,35559	0,01619	0,02196
1,39 (5,61)		0,36059	0,36557	0,01836	0,02632
1,38 (5,62)		0,37054	0,36697	0,02091	0,03038
1,37 (5,63)		0,37804	0,35956	0,02364	0,03309
1,36 (5,64)		0,38259	0,34504	0,02636	0,03365
1,35 (5,65)		0,38401	0,32707	0,02885	0,03181
1,34 (5,66)		0,38215	0,31018	0,03091	0,02790
1,33 (5,67)		0,37713	0,29893	0,03240	0,02281
1,32 (5,68)		0,36925	0,29650	0,03318	0,01773
1,31 (5,69)		0,35907	0,30388	0,03315	0,01391
1,30 (5,70)		0,34734	0,31938	0,03228	0,01222
1,29 (5,71)		0,33488	0,33872	0,03062	0,01297
1,28 (5,72)		0,32272	0,35642	0,02824	0,01576
1,27 (5,73)		0,31175	0,36714	0,02532	0,01951
1,26 (5,74)		0,30304	0,36768	0,02202	0,02283
1,25 (5,75)		0,29739	0,35801	0,01859	0,02446

	позитивна мрежичка		негативна мрежичка	
b_1	$I_{n=5}$	$I_{n=10}$	$I_{n=5}$	$I_{n=10}$
1,24 (5,76)	0,29536	0,334153	0,01490	0,02371
1,25 (5,77)	0,29733	0,32443	0,01238	0,02070
1,22 (5,78)	0,30330	0,31336	0,01005	0,01640
1,21 (5,79)	0,31292	0,31307	0,00849	0,01229
1,20 (5,80)	0,32541	0,32436	0,00782	0,00984
1,19 (5,89)	0,33972	0,34337	0,00805	0,00988
1,18 (5,82)	0,35452	0,36279	0,00911	0,01221
1,17 (5,83)	0,36844	0,37479	0,01084	0,01563
1,16 (5,84)	0,37998	0,37439	0,01300	0,01844
1,15 (5,85)	0,39040	0,36439	0,01474	0,01862
1,14 (5,86)	0,39148	0,34443	0,01740	0,01727
1,13 (5,87)	0,39016	0,33066	0,01900	0,01359
1,12 (5,88)	0,38424	0,32893	0,01984	0,00987
1,11 (5,89)	0,37459	0,34136	0,01976	0,00797
1,10 (5,90)	0,36265	0,36192	0,01874	0,00886
1,09 (5,91)	0,35032	0,38111	0,01686	0,01172
1,08 (5,92)	0,33967	0,38739	0,01441	0,01483
1,07 (5,93)	0,33270	0,37809	0,01162	0,01599
1,06 (5,94)	0,33100	0,35995	0,00902	0,01433
1,05 (5,95)	0,33535	0,34616	0,00699	0,01075
1,04 (5,96)	0,34561	0,34783	0,00586	0,00762
1,03 (5,97)	0,36056	0,36588	0,00579	0,00705
1,02 (5,98)	0,37794	0,38898	0,00680	0,00936
1,01 (5,99)	0,39494	0,40119	0,00866	0,01263
1,00 (6,00)	0,40858	0,39428	0,01094	0,01403

b_1	b_2	позитивна мрежичка		негативна мрежичка	
		$I_{N=5}$	$I_{N=10}$	$I_{N=5}$	$I_{N=10}$
0,99	(0,01)	0,41628	0,37523	0,01314	0,01223
0,98	(6,02)	0,41667	0,36241	0,01467	0,00860
0,97	(6,03)	0,40988	0,37012	0,01513	0,00631
0,96	(6,04)	0,39782	0,39448	0,01435	0,00744
0,95	(6,05)	0,38396	0,41519	0,01243	0,01082
0,94	(6,06)	0,37264	0,41399	0,00984	0,01289
0,93	(6,07)	0,36784	0,39434	0,00725	0,01126
0,92	(6,08)	0,37229	0,38059	0,00542	0,00755
0,91	(6,09)	0,38623	0,39257	0,00492	0,00595
0,90	(6,10)	0,40694	0,42146	0,00594	0,00836
0,89	(6,11)	0,42928	0,43650	0,00820	0,01182
0,88	(6,12)	0,44702	0,42230	0,01094	0,01173
0,87	(6,13)	0,45492	0,40173	0,01314	0,00801
0,86	(6,14)	0,45074	0,40910	0,01389	0,00583
0,85	(6,15)	0,43689	0,44158	0,01281	0,00854
0,84	(6,16)	0,42010	0,45783	0,01021	0,01217
0,83	(6,17)	0,40940	0,43826	0,00719	0,01094
0,82	(6,18)	0,41161	0,42129	0,00517	0,00669
0,81	(6,19)	0,43140	0,44566	0,00632	0,00698
0,80	(6,20)	0,46131	0,48018	0,00781	0,01198
0,79	(6,21)	0,49046	0,47107	0,01159	0,01234
0,78	(6,22)	0,50612	0,44508	0,01467	0,00753
0,77	(6,23)	0,50129	0,46778	0,01520	0,00748
0,76	(6,24)	0,48079	0,50956	0,01266	0,01329
0,75	(6,25)	0,46069	0,49496	0,00858	0,01281

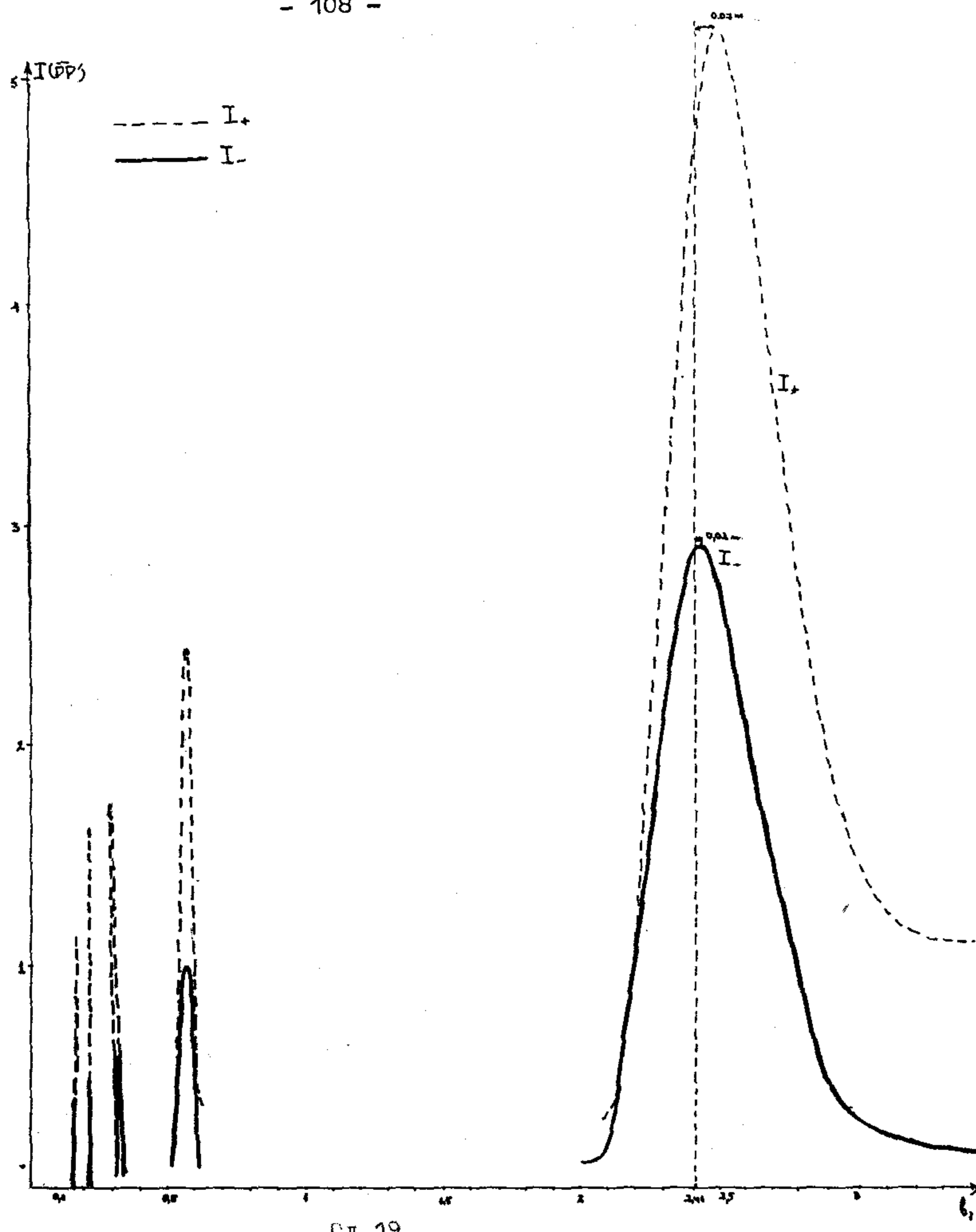
$b_1 \quad b_2$	позитивна мрежичка		негативна мрежичка	
	$I_{n=5}$	$I_{n=10}$	$I_{n=5}$	$I_{n=10}$
0,74 (6,26)	0,46032	0,47155	0,00595	0,00753
0,73 (6,27)	0,49024	0,51823	0,00750	0,01129
0,72 (6,28)	0,53685	0,54667	0,01296	0,01679
0,71 (6,29)	0,57644	0,50676	0,01919	0,01059
0,70 (6,30)	0,58209	0,53139	0,02121	0,01078
0,69 (6,31)	0,55318	0,59596	0,01690	0,02074
0,68 (6,32)	0,52373	0,55223	0,01024	0,01435
0,67 (6,33)	0,54050	0,57239	0,00964	0,01393
0,66 (6,34)	0,61783	0,65695	0,02033	0,02886
0,65 (6,35)	0,70828	0,59786	0,03643	0,01729
0,64 (6,36)	0,73377	0,67060	0,04253	0,02735
0,63 (6,37)	0,67486	0,75426	0,03024	0,04486
0,62 (6,38)	0,63750	0,67389	0,01838	0,02422
0,61 (6,39)	0,79125	0,94723	0,05151	0,08913
0,60 (6,40)	1,17683	0,83603	0,12286	0,08398
0,59 (6,41)	1,56570	1,35892	0,27292	0,11489
0,58 (6,42)	4,59840	2,57119	0,39875	0,73168
0,57 (6,43)	1,15930	1,18720	0,40850	0,85750
0,56 (6,44)	0,57488	0,32521	0,27691	0,90871
0,55 (6,45)	0,29255	0,46571	0,10815	0,07265
0,54 (6,46)	0,36175	0,34541	0,02048	0,03963
0,53 (6,47)	0,44063	0,38767	0,02275	0,03393
0,52 (6,48)	0,36676	0,37697	0,03360	0,00140
0,51 (6,49)	0,33183	0,35244	0,01588	0,02257
0,50 (6,50)	0,40206	0,40313	0,00638	0,00795

b_1	b_2	позитивна мрежичка		негативна мрежичка	
		$I_{n=5}$	$I_{n=10}$	$I_{n=5}$	$I_{n=10}$
0,45 (6,55)		0,38369	0,39005	0,00394	0,04660
0,42 (6,58)		0,44205	0,45283	0,00338	0,0526
0,40 (6,60)		0,45712	0,47105	0,00279	0,00493
0,35 (6,65)		0,60398	0,63399	0,02157	0,01573
0,33 (6,668)		1,23419	1,71719	0,25496	0,56662
0,233(6,767)		3,94494	1,68967	0,17999	0,39044
0,180(6,820)		0,97828	1,10866	0,14185	0,32463

Врз база на резултатите дадени во табелата 5 нацртана е зависноста на распоредот на интензитетот на неколкуте први главни максимуми по оптичката оска за позитивна и негативна мрежичка со по десет пропусни зони од двете страни на оската на мрежичката т.е. со $N = 10$. Графикот е правен за растојанијата определени со вредноста b , во горната табела. Како што се гледа од графикот на Сл. 19 во секој од главните максимуми постои разлика во интензитетот меѓу позитивната (испрекината линија) и негативната (полна линија) мрежичка.

Вредностите на интензитетот во главните максимуми се однесуваат како

2,88441 : 0,97207 : 0,56662 : 0,39044 : ... : 1 : 0,336 : 0,196 : 0,136 : ... додека според формулата (159) овој однос би требало да биде како 1 : 0,333 : 0,200 : 0,142 :



Сл. 19

Првиот главен максимум кај позитивната мрежичка е поместен во десно од вредноста $b_1 = 2,4101$ (табела 3) за 0,07 м, а кај негативната ова поместување е помало и изнесува 0,02 м. Местата

на главните максимуми од повисок ред скоро се совпаѓаат со оние дадени од таблицата 3.

Со цел да се добие појасна претстава за зависноста на поместувањето на првиот главен максимум од бројот на пропусните зони кои учествуваат во дифракцијата, како и од видот на мрежичката, во табелата 6 се наведени пресметаните вредности на интензитетот во олизина на првиот главен максимум за позитивни и негативни мрежички со по 30 и 40 пропусни зони одн. $N = 15$ и 20 . И во оваа табела како и во претходната наведена е само секоја пептта вредност со исклучок на подрачјето каде се јавува главниот максимум.

Табела 6

Определување на местото на првиот главен максимум за позитивна и негативна мрежичка со $N = 15$ и $N = 20$

b_1	b_2	позитивна мрежичка $I_{N=15}$	позитивна мрежичка $I_{N=20}$	негативна мрежичка $I_{N=15}$	негативна мрежичка $I_{N=20}$
2,70 (4,30)		2,36874	1,73131	0,76748	,0,40367
2,65 (4,35)		3,29456	2,10439	1,30065	0,60690
2,60 (4,40)		4,52002	3,34368	2,05632	1,34183
2,55 (4,45)		5,85792	5,46112	2,96400	2,72174
2,50 (4,50)		6,96678	7,95090	3,85376	4,50156
2,45 (4,55)		7,40407	9,49696	4,47130	5,98830
2,44 (4,56)		7,46482	9,56412	4,58084	6,29281
2,42 (4,58)		7,23739	9,68146	4,59862	6,47925
2,41 (4,59)		7,08708	9,23791	4,58993	6,35533
2,40 (4,60)		6,89853	8,92557	4,55375	6,28661
2,35 (4,65)		5,37708	6,15074	3,96135	4,97567
2,30 (4,70)		3,30629	2,72697	2,81252	2,69057

	позитивна мрежичка		негативна мрежичка	
$b_1 \quad b_2$	$I_{N=5}$	$I_{N=20}$	$I_{N=15}$	$I_{N=20}$
2,25 (4,75)	1,46303	0,72659	1,50686	0,83648
2,20 (4,80)	0,50497	0,63625	0,54620	0,36828

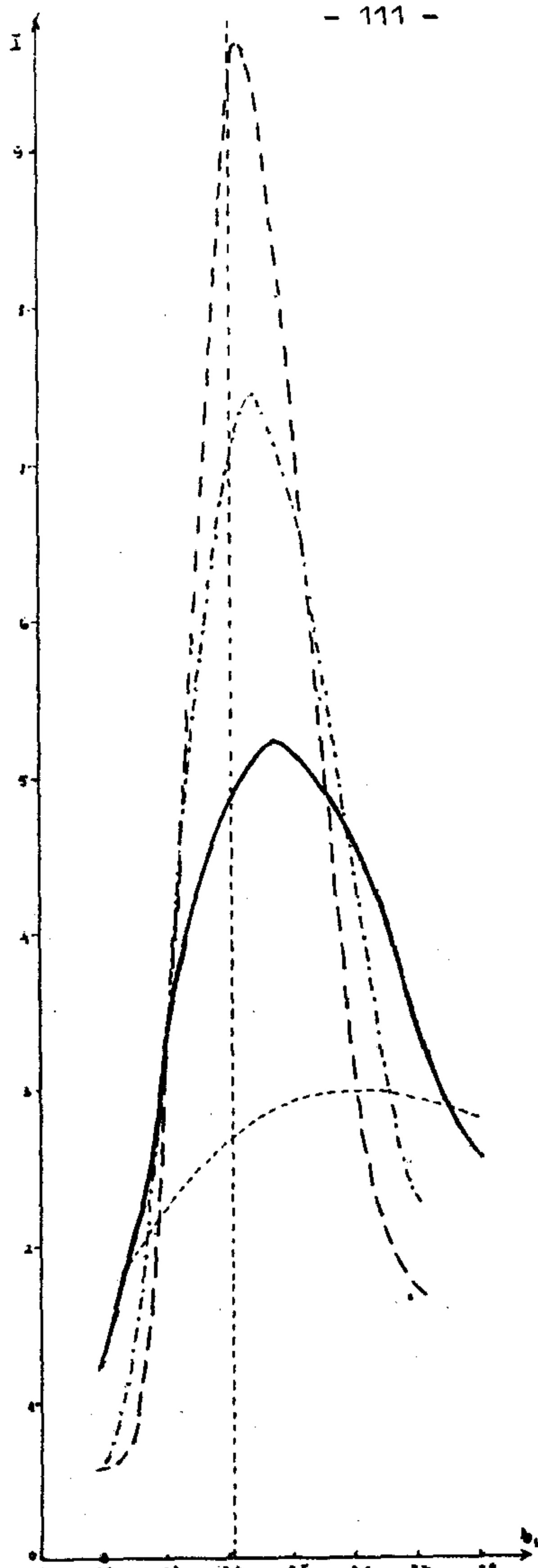
Врз основа на резултатите од табелите 5 и 6 нацртани се графиките за висината и местото на првиот главен максимум за позитивна мрежичка со $N = 5, 10, 15$ и 20 на Сл.20, и за негативна мрежичка со истиот број на пропусни зони на Сл.21. Од двата графика може да се заклучи дека и кај негативната и кај позитивната мрежичка првиот главен максимум е поместен кон поголеми вредности на b_1 , а вредноста на ова поместување опаѓа со зголемување на бројот на зоните. Кај негативната мрежичка со $N = 20$ ова отстапување изнесува $0,04\text{m}$.

Ние покажавме дека вредноста на интензитетот во првиот главен максимум е пропорционална со квадратот на ширина-та пропусните зони кои учествуваат во дифракцијата, при што ја добивме формулата (149) која гласеше

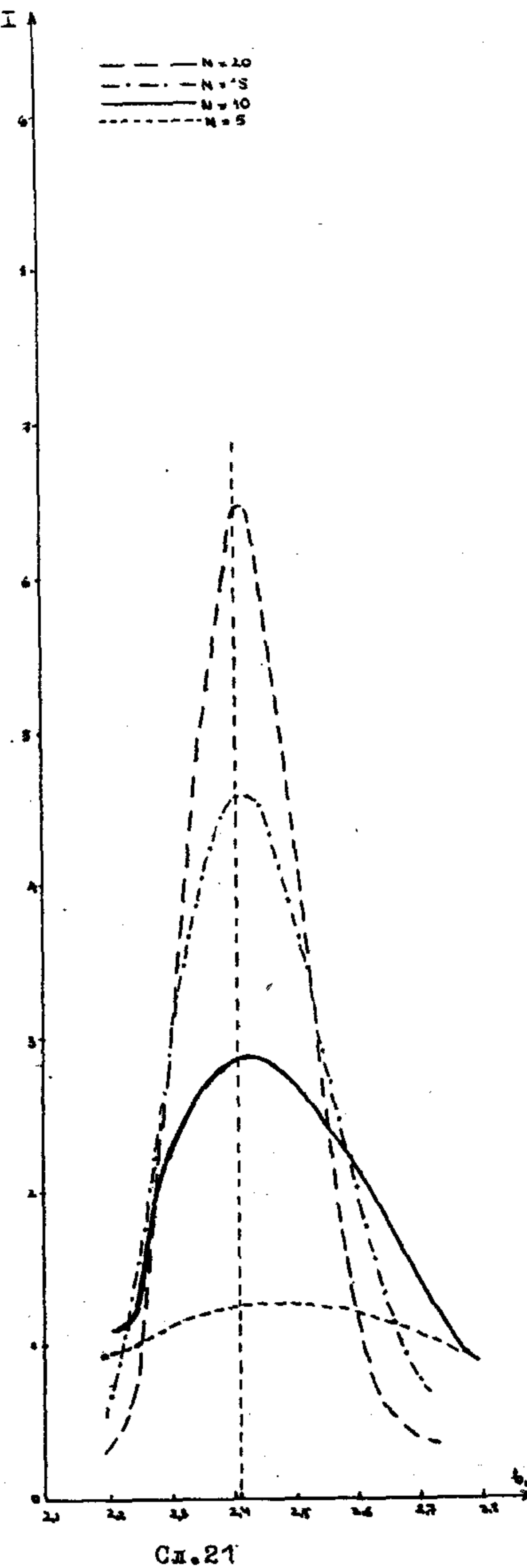
$$\frac{I_+}{I_-} = \left(\frac{P_+}{P_-}\right)^2$$

Па ако имаме мрежичка со основна ширина $\alpha = 10^{-3}\text{m}$ вредноста на вкупната пропусна ширина кај двата типа на мрежички и нивниот однос на квадрат се нанесени во втората, третата и четвртата колона од табелата 7, а односите на соодветните интензитети во последната колона, во зависност од бројот на пропусните зони на мрежичките N . Споредбата на вредностите од четвртата и петтата колона покажува дека постои добра согласност со формулата (149).

- 111 -



Сл.20

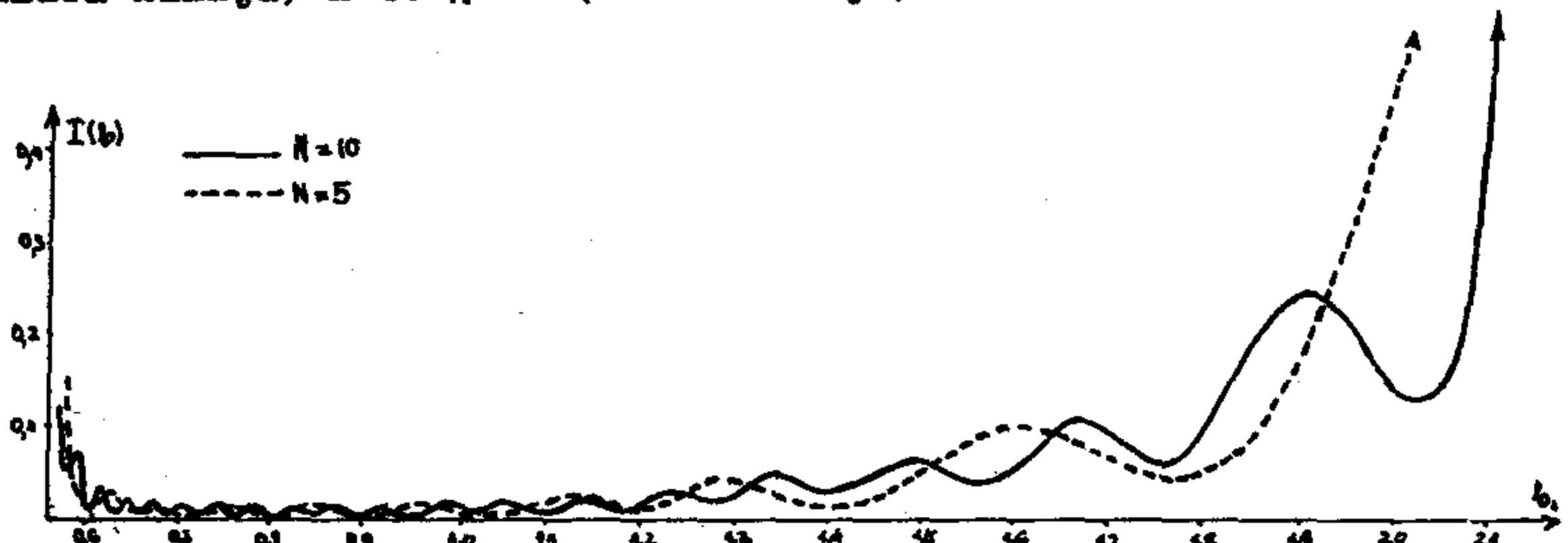


Сл.21

Табела 7

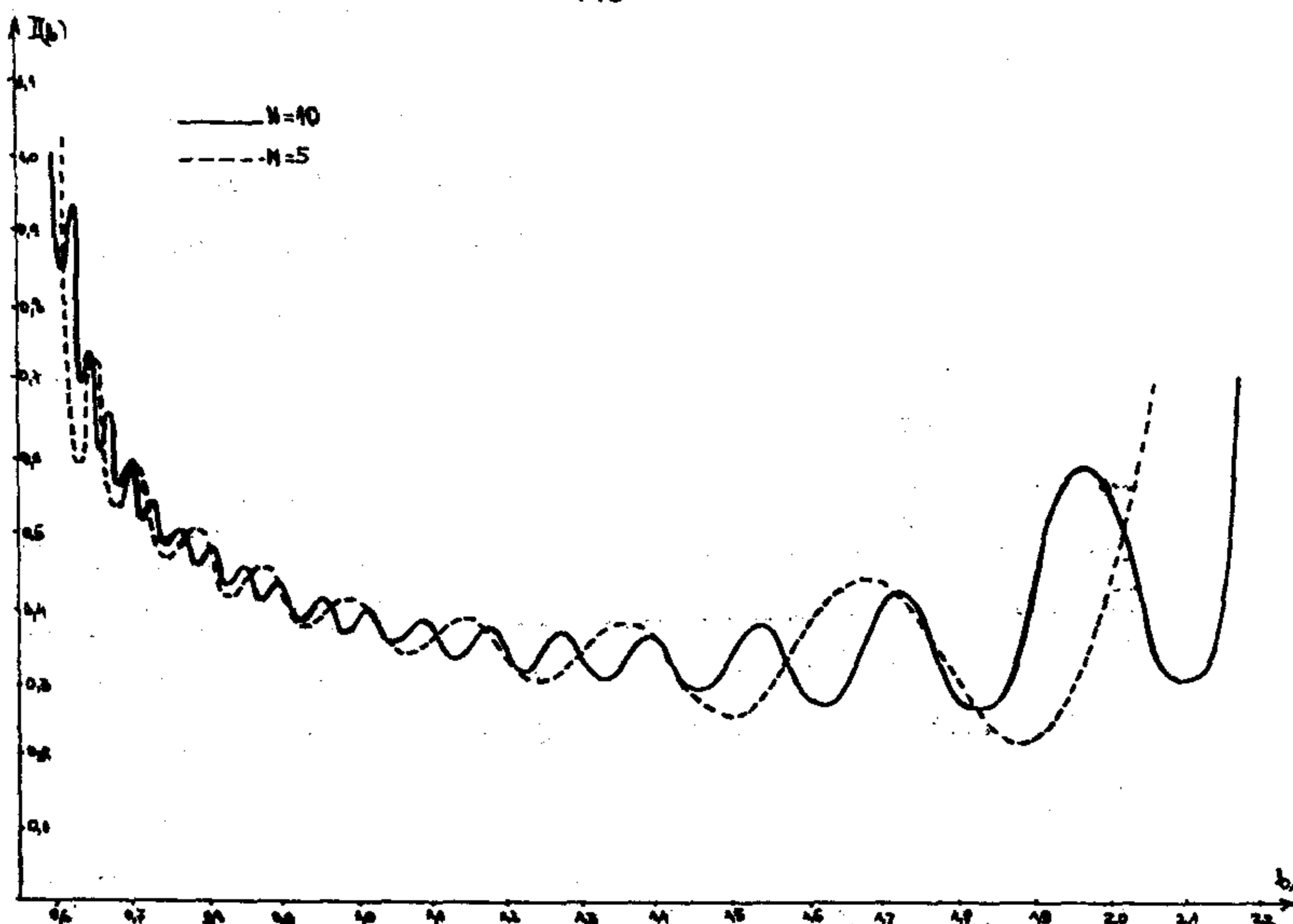
N	$P_+ \cdot 10^{-3} \text{ m}$	$P_- \cdot 10^{-3} \text{ m}$	$(\frac{P_+}{P_-})^2$	$\frac{I_+}{I_-}$
5	1,923	1,239	2,41	2,36
10	2,590	1,882	1,88	1,84
15	3,098	2,370	1,696	1,623
20	3,525	2,416	1,495	1,494

Да се задржиме сега на распоредот на интензитетот меѓу главните максимуми, поточно на интензитетот што го имаме меѓу првиот и вториот главен максимум вдолж оптичката оска. Врз база на вредностите наведени во табелата 5 на Сл.22 и 23 графички е представен распоредот на интензитетот за негативна и позитивна мрежичка соодветно и тоа за мрежички со $N=5$ (испрекината линија) и со $N=10$ (полна линија)



Сл.22

Од двата графика може да се види дека помеѓу првите два главни максимуми и двата типа на мрежички имаат по $2N-2$ споредни максимуми односно по 8 и 18 споредни максимуми за мрежичките со $N=5$ и $N=10$, а меѓу нив се јавуваат $2N-2$ споредни минимуми кои заедно со главниот минимум даваат вкупно $2N-1$ минимуми во овој интервал.



Сл.23

Главниот и споредните минимуми кај негативната мрежичка се со помала вредност од аналогите кај позитивната мрежичка. Споредните максимуми како што се гледа немаат голема вредност на интензитетот, а во споредба со вредноста на интензитетот во првиот главен максимум, таа е незначителна. Споредните максимуми се згуснуваат кон страната на главниот максимум од повисок ред.

Со оглед на формулите (46) и (116) и избраните вредности за χ и λ , местата на приближно определените споредни минимуми меѓу јрвите два главни максимуми се според (171а) за мрежичка со $N=10$ дадени со формулата

$$b_{1,2} = 3.5 \pm \frac{1}{2} \sqrt{49 - \frac{396.48}{2p-1}} \quad (180)$$

каде $p=10, 11, 12, \dots, 27$. Овие приближно определени места на споредните минимуми се наведени во втората и третата колона од табелата 8, а со цел да ја провериме степента на нивната точ-

ност веднаш до нив, во четвртата и петтата колона се наведени зредностите за местата на споредните минимуми добиени со помош на електронскиот пресметнувач за позитивната мрежичка, а во шестата и седмата колона за негативна мрежичка.

Табела 8
места на споредните минимуми

P	приближно		елек.пресм.поз.мр.		елек.пресм.нег.мр.	
	b ₁	b ₂	b ₃	b ₄	b ₅	b ₆
10	2,19	4,81	2,09	4,91	2,04	4,96
11	1,85	5,15	1,82	5,18	1,76	5,24
12	1,71	5,29	1,61	5,39	1,58	5,42
13	1,43	5,57	1,45	5,55	1,42	5,58
14	1,30	5,70	1,32	5,68	1,30	5,70
15	1,20	5,80	1,21	5,79	1,20	5,80
16	1,10	5,90	1,12	5,88	1,11	5,89
17	1,05	5,95	1,05	5,95	1,03	5,97
18	0,94	6,06	0,98	6,02	0,91	6,09
гл. мин.	0,908	6,092	0,92	6,08	0,91	6,09
19	0,88	6,12	0,87	6,13	0,86	6,14
20	0,83	6,17	0,82	6,18	0,82	6,18
21	0,78	6,22	0,78	6,22	0,77	6,23
22	0,74	6,26	0,74	6,26	0,74	6,26
23	0,71	6,29	0,71	6,29	0,71	6,29
24	0,68	6,38	0,68	6,32	0,67	6,33
25	0,64	6,36	0,65	6,35	0,65	6,36
26	0,62	6,38	0,62	6,38	0,62	6,38
27	0,59	6,41	0,60	6,40	0,594	6,406

Првиот главен минимум според (178) и (116) се наоѓа на местото определено со

$$b_{24} = 3,5 \pm \frac{1}{2} \sqrt{49 - 28 \cdot \frac{1,5803}{2k}} \quad \text{за } k = 1 \quad (181)$$

што по пресметнувањето ја дава првата вредност наведена во табелата 4. Гледаме дека од двете страни на главниот минимум се јавуваат по еднаков број на споредни минимуми, во нашиот случај по 9, а општо земено по $N - 1$.

Споредбата во табелата 8 покажува дека со исклучок на првите неколку места, што впрочем и требаше да се очекува со оглед на важењето на формулата (171) за мрежички со голем број на пропусни зони и големи вредности на T , имаме добро слагање со местата определени со приближната формула (171) за споредните минимуми.

Покажавме дека бројот на споредните екстреми е еднаков во интервалите меѓу било кои два сукцесивни главни максимуми. Со цел да го потврдиме овој нам теоретски резултат, ќе го испитаме распоредот на интензитетот во интервалот меѓу вториот и третиот главен максимум по оптичката оска и тоа за негативна мрежичка со по пет пропусни зони од двете страни на оската. Вредностите на интензитетите се наведени во табелата 9. Поради згуснувањето на главните екстреми од повисок ред, што може да се види од табелата 3, како и од графикот на Сл. 19, за растојанието меѓу овие два главни максимуми е земена десет пати поголема размера од онаа што ја имаме на Сл. 19. Освен тоа, со цел да се покаже дека веќе кај вториот главен максимум имаме мало отстапување од теоретски определеното место, во почетокот на табелата ќе бидат наведени вредностите на интензитетот во близин на на вториот главен максимум за мрежичка со $N = 10$.

Табела 9

Распоред на интензитетот меѓу вториот и третиот главен максимум за негативна мрежичка со $N = 5$

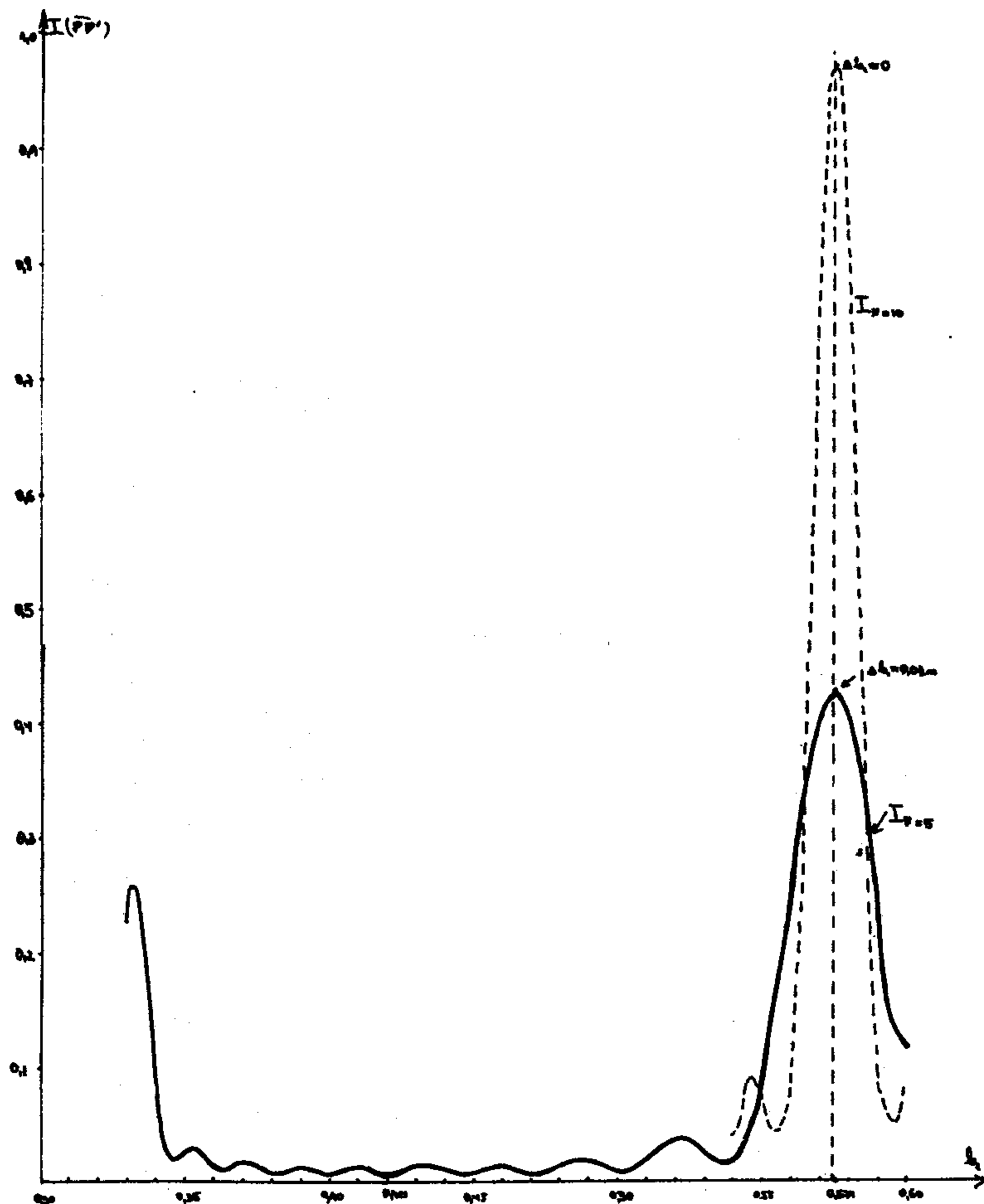
b_4	$I_{n=5}$	$I_{n=10}$
0,600	0,12286	0,08398
0,595	0,19383	0,05020
0,590	0,27292	0,11489
0,585	0,34702	0,37149
0,580	0,39875	0,73168
0,577	0,41972	0,90798
0,576	0,42282	0,94311
0,575	0,42438	0,96482
0,574	0,42436	0,97207
0,573	0,42276	0,96459
0,570	0,40850	0,85750
0,565	0,35584	0,49484
0,560	0,29742	0,26872
0,558	0,24159	0,37790
0,556	0,20590	0,04958
0,554	0,17105	0,04326
0,552	0,13815	0,05526
0,550	0,10815	0,07265
0,548	0,08178	0,08492
0,546	0,05967	0,08622
0,544	0,03201	0,07120
0,542	0,02014	0,04532
0,540	0,02048	0,03963

b_1	$I_{n=3}$	b_1	$I_{n=5}$
0,538	0,01582	0,465	0,00642
0,536	0,01450	0,460	0,00920
0,532	0,01879	0,455	0,00865
0,530	0,02275	0,450	0,00394
0,528	0,02683	0,445	0,00287
0,526	0,03039	0,440	0,00389
0,524	0,03289	0,435	0,00699
0,522	0,03333	0,430	0,00714
0,520	0,03360	0,425	0,00423
0,518	0,03034	0,421	0,00258
0,516	0,02863	0,420	0,00338
0,514	0,02465	0,418	0,00312
0,512	0,02025	0,416	0,00405
0,510	0,01588	0,414	0,00535
0,508	0,01200	0,410	0,00718
0,506	0,00895	0,408	0,00676
0,504	0,00697	0,405	0,00566
0,502	0,00613	0,403	0,00430
0,500	0,00638	0,400	0,00279
0,495	0,01020	0,395	0,00425
0,490	0,01425	0,392	0,00674
0,485	0,01419	0,390	0,00797
0,480	0,00987	0,385	0,00677
0,475	0,00510	0,380	0,00327
0,470	0,00385	0,375	0,00662

b_1	$I_{1..8}$	b_1	$I_{1..8}$
0,370	0,01183	0,342	0,03609
0,365	0,00763	0,340	0,07581
0,360	0,00615	0,335	0,21410
0,355	0,02004	0,333	0,24881
0,353	0,02157	0,332	0,25496
0,350	0,02157	0,331	0,25257
0,347	0,01952	0,330	0,24170
0,345	0,01132	0,329	0,23124

Врз база на резултатите наведени во горната табела нацртан е графикот на Сл. 24 кој го прикажува распоредот на интензитетот во интервалот меѓу вториот и третиот главен максимум. Како што се гледа од сликата и меѓу вториот и третиот главен максимум негативната мрежичка со $N = 5$ покажува постоење на 8 споредни максимуми и исто толкав број на споредни минимуми кој заедно со вториот главен минимум ($b_1 = 0,421$ м) даваат вкупно 9 минимуми во овој интервал, каков што беше случајот за мрежичката со ист број на зони на Сл. 22 (испрекината линија). Што се однесува до поместувањето на местото на вториот главен максимум гледаме дека за мрежичката со $N = 5$ тоа изнесува 0,01м а за мрежичката со $N = 10$ поместувањето е ≈ 0 .

Се разбира дека на ист начин би можел да се испита распоредот на интензитетот и помеѓу третиот и четвртиот главен максимум, меѓутоа како што се гледа и од табелите 3 и 5 главните максимуми од повисок ред се се погусти и пониски со зголемување-



Сл.24

то на редниот број на максимумот k , а интензитетот во споредните екстреми, чиј број се наголемува со бројот на пропусните зони на мрежичката, е незначителен и експериментално некористен.

Од добиените графици и табели може да се заклучи дека

првиот главен максимум на кој му одговара фокусното растојание

$$\frac{f}{d} = \frac{\alpha^2}{\lambda} \quad (182)$$

поради неговата најголема оддалеченост од останатите главни максимуми, како и поради најголемата вредност на интензитетот во него, е од најголемо значење при експерименталната употреба на фокусирачките особини на линеарната зонска мрежичка.

Фокусното растојание (182) кое го определува местото на првиот главен максимум, зависи од ширината α на основната зона на мрежичката и е правопропорционално со нејзиниот квадрат, а е обратно пропорционално со брановата должина λ . Истата формула ја имаме и за Соретовата кружна мрежичка, со таа разлика што таму α би го претставувал полупречникот на основниот круг [8].

Мрежичката добиена како муарé фигура од други две мрежички од страна на Ломан и Парис во [25], која е дадена со равенката (24) има константа $\alpha = \sqrt{\frac{\lambda}{2}}$ која зависи од взајмното растојание d на основните мрежички кои ја создаваат муарé фигура-та. Според тоа менувајќи го взајмното растојание на основните мрежички, се добива линеарна зонска мрежичка со променливо фокусно растојание. Така, на овој начин добиената мрежичка ја поседува особината на зумирање, што со леките се постига преку движење на леката во однос на предметот.

Обратно пропорционалната зависност на вредноста на фокусното растојание од брановата должина λ , покажува дека линеарната зонска мрежичка осветлена со бела светлина, различните бранови должини ќе ги фокусира на различни места вдолж оптичката оска. Во тој смисол таа може да биде употребена како спектрален разложувач во некој спектрален анализатор. На осо-

бините на линеарната зонска мрежичка кога таа би ја превзела улогата на една призма или дифракциона решетка, кои обично се употребуваат во разните спектрографски уреди, ќе обрнеме повеќе внимание кога ќе стане збор за дисперзијата и хроматската разделна способност на мрежичката.

ГЛАВА ІУ.

ДИФРАКЦИЈА НА РАМНИ БРАНОВИ КАЈ ЛИНЕАРНАТА ЗОНСКА МРЕЖИЧКА

Кога пред светлинскиот извор $\overline{SS'}$ (Сл.9) би се поставила една цилиндрична лека така што изворот лежи во нејзината фокална линија, врз линеарната зонска мрежичка ќе паѓа паралелен сноп на светлина, односно таа е осветлена со рамен бран. Тоа е исто како да сме го поставиле изворот на бескрајно големо растојание од мрежичката. Значи при испитувањето на дифракцијата што при тоа настанува на мрежичката, би требало секаде каде што се јавува α да ставиме ∞ . Од формулата за фокусното растојание $\frac{1}{f} = \frac{1}{a} + \frac{1}{b}$ следува дека сега

$$\frac{1}{f} = 0 \quad (183)$$

односно растојанието меѓу еcranот (фотометарот) и мрежичката истовремено е фокусно растојание на мрежичката.

Мебутоа внесувањето на $\alpha = \infty$ во формулите (55) или (56) би дало вредност за интензитетот на дифрактираната светлина на секаде еднаква на нула, зашто константниот фактор кој стои пред сумите $K = \frac{2A^2\pi^2}{\lambda(a+b)}$ е рамен во тој случај на нула.

За да ја отстраним оваа незгода би требало да појдеме од Кирхофовата формула за брановата функција дадена со изразот (41), земајќи во предвид дека бранот U кој паѓа на мрежичката е рамен бран, кој е даден со

$$M = B e^{ikR}$$

мегутоа после поминувањето низ пропусните слоеви на мрежичката поради промената во фазата за износ b_i и намалување на неговата амплитуда за α , неговата вредност ќе биде

$$M = B x e^{ib_i} e^{ikR}$$

Замената на оваа вредност во формулата (41) за случај на рамна светлина ќе даде

$$M(\bar{P}\bar{P}') = \frac{Bx e^{ib_i}}{4} \sum_j D_j \left\{ \left(e^{ikR} \text{grad} \frac{e^{ikR}}{R} - \frac{e^{ikR}}{R} \text{grad} R \right) d\vec{s}^j \right\} \quad (184)$$

при тоа

$$\text{grad } e^{ikR} = ik e^{ikR} \vec{R}_0 = ik e^{ika} \vec{m}_0$$

$$\text{grad} \frac{e^{ikR}}{R} \approx ik \frac{e^{ikR}}{R} \vec{n}_0 \quad (185)$$

$$\cos \alpha = \vec{m}_0 \cdot \vec{R}_0 \approx m_0^2 = 1 \quad \text{а} \quad \cos \beta = - \vec{m}_0 \cdot \vec{n}_0 \approx -1$$

што внесено во горната формула ќе даде

$$M(\bar{P}\bar{P}') = \frac{ik B e^{ik(a+b)}}{2\sqrt{b}} \sum_j D_j \left\{ \int_{-\sqrt{j-1}}^{\sqrt{j}} e^{ik \frac{(x-x_1)^2}{2b}} dx + \int_{-\sqrt{j}}^{-\sqrt{j-1}} e^{ik \frac{(x-x_1)^2}{2b}} dx \right\}$$

Наместо смената (47) сега ќе имаме

$$\frac{ik}{2b} (x-x_1)^2 = \frac{\xi}{2} \xi^2 \quad \text{односно} \quad x = \sqrt{\frac{2b}{2}} \xi + x_1 \quad \text{а} \quad \xi = \sqrt{\frac{2}{2b}} (x-x_1)$$

со граници на интеграција

$$\xi_j = t \sqrt{j} - 2 \quad \xi_{j-1} = t \sqrt{j-1} - 2$$

при што сега

$$t = \sqrt{\frac{2}{2b}} \quad \text{а} \quad q = x_1 \sqrt{\frac{2}{2b}} \quad (186)$$

Така наместо (49) сега ја имаме формулата

$$M(\bar{P}\bar{P}') = \frac{ik B e^{ik(a+b)}}{\sqrt{2b}} \sum_j D_j \left\{ \int_{\sqrt{j-1}-q}^{\sqrt{j}-q} e^{i\frac{\xi}{2} \xi^2} d\xi + \int_{-\sqrt{j}-q}^{-\sqrt{j-1}-q} e^{i\frac{\xi}{2} \xi^2} d\xi \right\}$$

Вредноста на интегралите е идентична со онаа дадена со изразот (41), се разбира со значења на t и q дадени преку (186), така што брановата функција кај идеалната негативна

линеарна мрежичка ќе биде дадена со изразот

$$M(\bar{P}\bar{P}') = \frac{i\pi B e^{i[k(a+b)+\delta]}}{\sqrt{2\lambda}} \sum_{p=1}^n \left\{ [C(\gamma\sqrt{2p}-q) - C(-\gamma\sqrt{2p}-q) - C(\gamma\sqrt{2p-1}-q) + C(-\gamma\sqrt{2p-1}-q)] + i[S(\gamma\sqrt{2p}-q) - S(-\gamma\sqrt{2p}-q) - S(\gamma\sqrt{2p-1}-q) + S(-\gamma\sqrt{2p-1}-q)] \right\} \quad (187)$$

кој се разликува од (51) само по множителот кој стои пред знакот на сумата. Се разбира дека и изразот за распоредот на интензитетот ќе биде по форма ист со (55), со значење на q дадено со (186) и константа

$$K = \frac{B^2 \pi^2}{2\lambda} \quad (188)$$

Изразот за распоредот на интензитетот по оптичката оска и овде ќе биде идентичен со (58), освен во значењето на константата K . Значи и кога упадната светлина претставува рамен бран, за распоредот на интензитетот по оптичката оска ќе имаме

$$I(\bar{P}\bar{P}') = K \left\{ \left(\sum_{p=1}^n [C(\gamma\sqrt{2p}) - C(\gamma\sqrt{2p-1})] \right)^2 + \left(\sum_{p=1}^n [S(\gamma\sqrt{2p}) - S(\gamma\sqrt{2p-1})] \right)^2 \right\}$$

Тоа значи дека истите формули што досега ги имавме за распоредот на минимумите и максимумите вдолж оптичката оска ќе важат и сега, само на секаде наместо b ќе треба да се стави $\frac{b}{2}$.

Местата на главните максимуми ќе бидат определени со

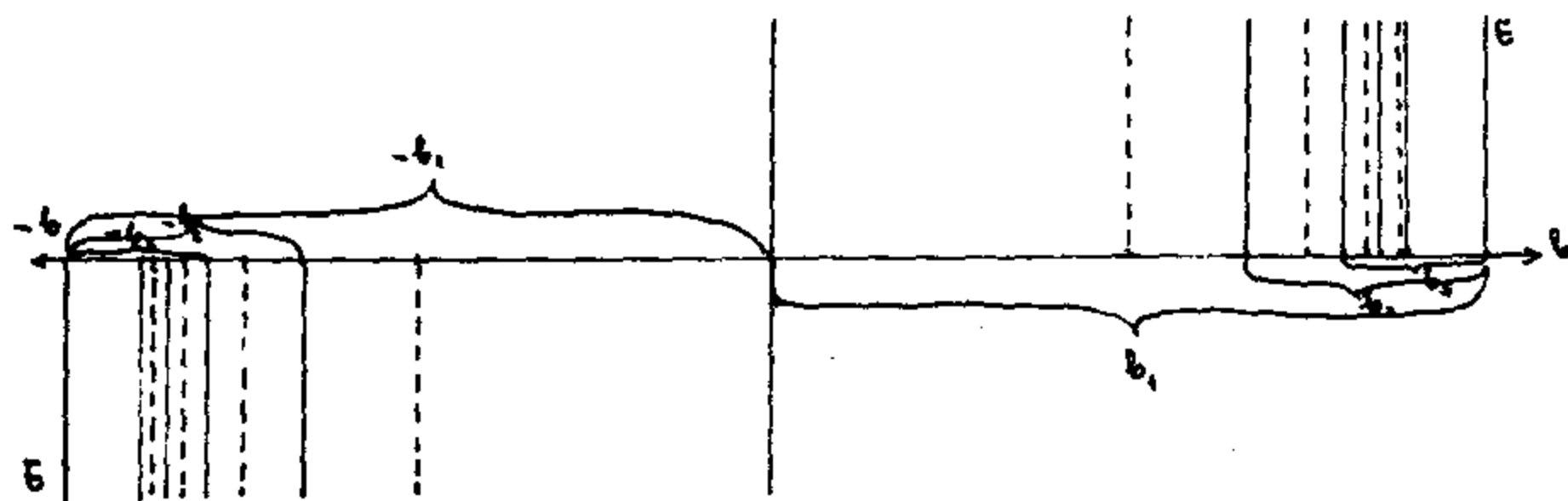
$$b = f = \frac{\alpha^2}{(2k-1)\lambda} \quad (189)$$

а оние на главните минимуми со

$$b = f = \frac{\alpha^2}{2k\lambda} \quad (190)$$

При тоа позитивните односно реалните фокусни растојанија лежат на страната меѓу мрежичката и еcranot, додека имагинарните фокусни растојанија кои одговараат на негативни растојанија $f = b$

ги наоѓаме во продолжение на дивергентно дифрактирани зраци од мрежичката и лежат на страната на мрежичката што е кон изворот. На Сл. 25 шематски е даден распоредот на реалните и имагинарните главни екстреми на интензитетот.



Сл.25

имагинарните главни екстреми на интензитетот. Местата на главните максимуми се означени со пола линија а на минимумите со испрекината линија. Гледаме дека во овој случај на секое реално фокусно растојание му одговара имагинарно растојание од ист ред кое лежи на исто растојание од мрежичката само на негативната страна (-b). Висината на линијата на Сл. 25 не одговара на висината на интензитетот во главните фокуси.

Првиот главен максимум е кајоддалечен од еcranот и има најголем интензитет. Приближувајќи се со мрежичката кон еcranот следат максимумите од повисок ред, кои се се погусти и пониски.

Местата на главните максимуми според (189) се определени со растојанија b кои се однесуваат како

$$b_1 : b_2 : b_3 : \dots : b_n = f_{1\text{max}} : f_{2\text{max}} : \dots : f_{n\text{max}} = 1 : \frac{1}{3} : \frac{1}{5} : \dots : \frac{1}{2n-1}$$

Во случајот на мрежичката од нашиот конкретен пример овие растојанија ќе бидат дадени со вредностите кои стојат во првата колона од табелата 3.

Што се однесува до вредноста на интензитетот во главните максимуми бидејќи и овде можат да се направат апроксимациите (156) и (157), тие ќе бидат во однос

$$I_{\text{max}} : I_{\text{max}} : I_{\text{max}} \dots : I_{\text{max}} = \lambda : \frac{1}{3} : \frac{1}{5} : \dots : \frac{1}{24a-1}$$

И споредните екстреми како и нивниот број ќе бидат определени со истите вредности на φ дадени со (170) и (171), водејќи при тоа сметка дека вредноста на φ во φ треба да биде заменета со φ_0 . Така наместо (180) за местата на споредните минимуми ќе ја имаме формулата

$$\delta_{\varphi \text{ min}} = \varphi_{\text{min}} = \frac{2\alpha^2}{\lambda \delta^2} = \frac{2\alpha^2(N-1)}{\lambda(2\lambda\rho-\lambda)} \quad (191)$$

Од сето досегашно излагање може да се заклучи дека во случај на рамен упаден бран формално важат истите математички формули како при френеловата дифракција на цилиндричните бранувања кај линеарните зонски мрежички, меѓутоа при проучувањето на распоредот по оптичката оска треба да се води сметка дека секаде онаму каде се јавува φ треба да се стави φ_0 , а за местата надвор од оптичката оска наместо $\varphi = \sqrt{\frac{2x}{\lambda\rho}}$ треба да се зема $\varphi = \sqrt{\frac{2x}{\lambda\rho}}$, што исто така се добива со замената $\varphi = \varphi_0$.

Разгледувањето на проблемот на дифракција кај линеарната зонска мрежичка со помош на рамен упаден бран, не само што е поедноставно, зошто во случај на неподвижен фотометар дава по еден лик за секое фокусно растојание од даден ред, (кај цилиндричниот упаден бран постојат две места φ_1, φ_2 кои одговараат на исто фокусно растојание) туку е и поблиску до концепцијата на Френел за толкување на дифракциониот феномен, зошто рамнината на мрежичката не отстапува од члената поврвнина на рамниот бран.

Поради непостоење на математички формална разлика меѓу овие два типа на дифракција, сите понатамошни изведувања

подеднакво ќе се однесуваат на двата типа на дифракции, а во крајните резултати секаде каде што се јавува ћ за случајот на рамни бранови ќе треба да се земе $\frac{1}{\lambda}$.

ГЛАВА V.

ДИСПЕРЗИЈА И ХРОМАТСКА РАЗДЕЛНА СПОСОБНОСТ НА ЛИНЕАРНАТА ЗОНСКА МРЕЖИЧКА

Видовме дека местата на главните максимуми на интензитетот вдолж оптичката оска се определени со фокусните растојанија дадени со формулите (180) одн.(189)

$$\varphi_k = \frac{\alpha^2}{(2k-1)\lambda}$$

на кои им одговараат положби на мрежичката во однос на еcranот дадени со

$$b_k = \frac{c}{2} \pm \frac{1}{2}\sqrt{c^2 - 4c\varphi_k}$$

за случај на Френелова дифракција на цилиндрична светлина и

$$b_k = \varphi_k$$

за случај на дифракција на рамен бран.

Според тоа линеарната зонска мрежичка различните бранови должини λ ќе ги фокусира на различни места b_k вдолж оптичката оска. Велиме дека мрежичката исто како и кружната зонска мрежичка има способност спектрално да ги разлага компонентите на белата светлина, па како таква може да биде употребена во замена на призма или дифракциони решетки, кои служат како дисперзиони оптички системи во разните спектрални апарати. За разлика од призмата и решетката, кои зарлагашето го вршат во рамнина која стои нормално на патот на поминатите низ нив зраци, линеарната зонска мрежичка разлагашето го врши во оптичката осна рамнина, а максимумите се јавуваат во вид на фокусни линии

кои стојат нормално на оптичката оска.

Како и кај останатите дисперзиони оптички системи и овде можеме да ја дефинираме линеарната дисперзија D која покажува за колкава вредност $\Delta\lambda$ ќе се промени местото на максимумот при промена на брановата должина за $\Delta\lambda$.

$$D = \left| \frac{db}{d\lambda} \right| \quad (192)$$

Вредноста на дисперзијата ја добиваме преку диференцирање на горните изрази за b_n . Така за Френеловата дифракција на цилиндричен бран имаме

$$D_n = \left| \frac{db_n}{d\lambda_n} \cdot \frac{d\lambda_n}{d\lambda} \right| = \frac{1}{\sqrt{1 - 4f_n/c}} \cdot \frac{f_n}{\lambda} \quad (193)$$

а за случај на рамен упаден бран

$$D_n = \frac{db_n}{d\lambda} = \frac{d\lambda_n}{d\lambda} = \frac{f_n}{c} \quad (194)$$

што може да се добие од (193) при услов $c \rightarrow \infty$. Занемарувањето на вредноста f_n/c во именителот на (193) може да се постигне и со избор на мрежичка која има многу мала ширина на основната централна зона. Ошто земено дисперзијата дефинирана преку (193) за фокално растојание o_1 даден ред, ќе има нешто поголема вредност од дисперзијата што се врши од рамнобрановата дифракција кај линеарната зонска мрежичка.

Горните изрази покажуваат дека фокусите од повисок ред ќе имаат помала дисперзија во однос на онаа што ја имаме за фокусите од прв ред.

$$D_n = \frac{f_n}{c} = \frac{f_1}{(2k-1)\lambda} = \frac{1}{(2k-1)} D_1$$

Освен тоа дисперзијата на линеарната зонска мрежичка има обратно пропорционална зависност од брановата должина. Тоа значи дека пониски бранови должини ќе бидат разделени во поголема мера од брановите должини со голема вредност. Ако по ради најголемата вредност на дисперзијата се одлучиме за фокус-

ните растојанија кои им одговараат на максимумите од прв вед, вредноста на дисперзијата (194) ќе биде за мрежичка со $\alpha = 10^{-3}$ м и бранова должина $\lambda = 2000 \cdot 10^{-10}$ м дадена како $2,5 \frac{\text{мм}}{\lambda}$, а во случај на брановата должина од нашиот конкретен пример со $\lambda = 6328 \cdot 10^{-10}$ м таа ознесува $0,25 \frac{\text{мм}}{\lambda}$.

Според Рейлиевиот критериум за разделната способност, минималното растојание, на кое треба да се наоѓаат два максимуми на две близки бранови должини кои ќе сметаме дека се разделени од страна на линеарната зонска мрежичка, треба да биде еднакво на растојанието меѓу максимумот на едната бранова должина и нејзиниот прв минимум. Со други зборови максимумот на другата бранова должина треба да се совпаѓа со првиот дифракционен минимум по оптичката оска на првата бранова должина. За мрежичка со голем број на пропусни зони ние покажавме дека местото на првиот спореден минимум е определено со равенката (171) за $p=N$. Тоа во случај на двата типа на дифракција се вредностите на b_p дадени со

$$b_{\min} = \frac{c}{2} - \frac{1}{2} \sqrt{c^2 - 8c \frac{\alpha^2}{\lambda^2}} = \frac{c}{2} - \frac{1}{2} \sqrt{c^2 - 8c \frac{\alpha^2(N-1)}{\lambda(2N-1)}} \quad (195)$$

$$b_{\min} = \frac{c}{2} - \frac{2\alpha^2}{\lambda^2} = \frac{2\alpha^2(N-1)}{\lambda(2N-1)}$$

Минималното разделивачко растојание според тоа ќе биде

$$b_k - b_{\min} \approx \frac{1}{2} c \left[\left(1 - \frac{4\alpha^2(N-1)}{c(2N-1)\lambda} \right) - \left(1 - \frac{2\alpha^2}{c(2N-1)\lambda} \right) \right] = \frac{\alpha^2}{\lambda} \left[\frac{1}{2N-1} - \frac{2(N-1)}{2N-1} \right] \quad (196)$$

$$b_k - b_{\min} = \frac{\alpha^2}{\lambda} \left[\frac{1}{2N-1} - \frac{2(N-1)}{2N-1} \right]$$

за паралелна светлина. Од друга страна ако извршиме диференцирање по λ на соодветните вредности b_k имаме

$$db_k \rightarrow \Delta b = \frac{\frac{c\alpha^2}{\lambda^2}}{\frac{1}{2N-1} - \frac{2(N-1)}{2N-1}} \Delta \lambda \approx \frac{\Phi_k}{1-2\frac{\Phi_k}{c}} \frac{\Delta \lambda}{\lambda} \quad (197)$$

и

$$db_k \rightarrow \Delta b = \frac{\alpha^2}{(2N-1)\lambda^2} \Delta \lambda = \frac{\Phi_k}{\lambda} \frac{\Delta \lambda}{\lambda}$$

Изедначувајќи ги десните страни на изразите (196) и (197) добиваме дека најмалата вредност $\Delta\lambda$ која може да биде разделена со помош на линеарната зонска мрежичка зависи од бројот на зоните на мрежичката, потоа од редот k на максимумот во кој се врши разложувањето, а е пропорционална со брановата должина λ . Значи за случај на френелова дифракција на цилиндричен бран

$$\Delta\lambda = (2k-1) \left[\frac{1}{2N-1} - \frac{2(N-1)}{2N-1} \right] \left(1 - \frac{2}{c} \frac{\alpha^2}{(2k-1)\lambda} \right) \lambda \quad (198)$$

додека кај рамнобрановата дифракција таа е дадена со

$$\Delta\lambda = (2k-1) \left[\frac{1}{2k-1} - \frac{2(N-1)}{2N-1} \right] \lambda \quad (199)$$

Во обата случаи $\Delta\lambda$ има најголема вредност кога разлагањето се врши во првиот главен максимум, т.е. за $k=1$. Така за разделната способност на линеарната зонска мрежичка, кога разлагањето се врши во првиот главен максимум, според [35] имаме

$$R = \frac{\lambda}{\Delta\lambda} = \frac{1}{1-2\frac{\alpha^2}{c}} (2N-1) \quad (200)$$

и во случај на дифракција во паралелна светлина

$$R = \frac{\lambda}{\Delta\lambda} = 2N-1 \quad (201)$$

Редот на главните максимуми k во кои се врши разлагањето, кај линеарната зонска мрежичка ја игра истата улога што кај дифракционата решетка ја има редот на спектарот m . Познато е дека разделната способност на една дифракциска решетка е пропорционална со бројот на цртите на решетката и со редот на спектарот и е дадена со изразот

$$R = mN$$

Поради најголемата вредност на интензитетот кај решетката највеке се користи спектарот од прв ред. Така за разделната способност во спектарот од прв ред кај дифракциска решетка имаме

$$R = N$$

т.е. се постига поголема хроматска разделна способност во кол-

ку решетката се состои од поголем број N на процепи. Од изразите (200) и (201) гледаме дека вредноста на разделната способност на линеарната зонска мрежичка кога разложувањето се врши во нејзиниот "спектар од прв ред" односно кога се разделуваат првите главни фокуси на соодветните бранови должини, исто така зависи од бројот на пропусните зони на мрежичката ($2N-1$ е редниот број на долната граница на последната пропусна зона на мрежичката).

Значи што се однесува до разделната способност, особините на линеарната зонска мрежичка се еквивалентни со оние на дифракционата решетка. Меѓутоа дифракционата решетка освен предноста што ја има во полесното конструирање и формирање на дифракционата слика во рамнина која е погодна за набљудување, има дисперзија која не зависи од брановата должина. Кај неа линеарната дисперзија е рамна на $D = \frac{\lambda}{d}$ каде d е ширината на процепите на решетката. Кај зонската мрежичка видовме дека дисперзијата е обратно пропорционална со брановата должина, што наједува на заклучок дека мрежичката е погодна за спектрално разложување на покусите бранови должини, односно за работа во ултравиолетовиот дел од спектарот и за испитување на х-зраците.

ГЛАВА VI.

РАСПОРЕД НА ИНТЕНЗИТЕТОТ ВО РАМНИНАТА НА ПРВИОТ ГЛАВЕН МАКСИМУМ

За вредноста на интензитетот вдолж било која права $\overline{PP'}$, која не мора да ја сече оптичката оска, ги имавме формулите (55) и (56) за негативната и позитивната мрежичка соодветно.

При претпоставка дека работиме со мрежичка со многу голем број на пропусни зони, рамнината на првиот главен макси-

мум е определена со оние вредности на b за кои е $t = \sqrt{2}$, така што за распоредот на интензитетот според (55) и (68) за негативната мрежичка ја имаме формулата

$$I_{\text{PP}'} = \frac{1}{4} K \left\{ \left(\sum_{p=1}^n [C(\sqrt{2}\cdot 2p - 2) - C(-\sqrt{2}\cdot 2p - 2) - C(\sqrt{2}(2p-1) - 2) + C(-\sqrt{2}(2p-1) - 2)] \right)^2 + \left(\sum_{p=1}^n [S(\sqrt{2}\cdot 2p - 2) - S(-\sqrt{2}\cdot 2p - 2) - S(\sqrt{2}(2p-1) - 2) + S(-\sqrt{2}(2p-1) - 2)] \right)^2 \right\}$$

Со оглед на тоа што е

$$C(-t\sqrt{2}p - 2) = -C(t\sqrt{2}p + 2)$$

$$S(-t\sqrt{2}p - 2) = -S(t\sqrt{2}p + 2)$$

$$C(-t\sqrt{2}p-1 - 2) = -C(t\sqrt{2}p-1 + 2)$$

$$S(-t\sqrt{2}p-1 - 2) = -S(t\sqrt{2}p-1 + 2)$$

а според формулите (48) и (182)

$$2 = x \sqrt{\frac{2k}{\lambda b}} = x \frac{\alpha}{\lambda} \sqrt{2}$$

интензитетот во рамнината на првиот главен максимум ќе биде даден со формулата

$$I_{\text{PP}'} = \frac{1}{4} K \left\{ \left(\sum_{p=1}^n C[\sqrt{2}(\sqrt{2}p - \frac{x\alpha}{\lambda b})] + C[\sqrt{2}(\sqrt{2}p + \frac{x\alpha}{\lambda b})] - C[\sqrt{2}(\sqrt{2}p-1 - \frac{x\alpha}{\lambda b})] - C[\sqrt{2}(\sqrt{2}p-1 + \frac{x\alpha}{\lambda b})] \right)^2 + \left(\sum_{p=1}^n S[\sqrt{2}(\sqrt{2}p - \frac{x\alpha}{\lambda b})] + S[\sqrt{2}(\sqrt{2}p + \frac{x\alpha}{\lambda b})] - S[\sqrt{2}(\sqrt{2}p-1 - \frac{x\alpha}{\lambda b})] - S[\sqrt{2}(\sqrt{2}p-1 + \frac{x\alpha}{\lambda b})] \right)^2 \right\} \quad (202)$$

Величината x е растојанието на правата \overline{PP}' од фокусната линија $\overline{P'P}$ која во рамнината на главниот максимум стои нормално на оптичката оска. Ние ќе го испитуваме распоредот на интензитетот во непосредна близина на правата $\overline{P'P}$ т.е. на растојанија x , кои се многу мали во споредба со b . Затоа количникот $\frac{x\alpha}{\lambda b}$ ќе го сметаме за многу мала величина која ќе ја означиме со ϵ .

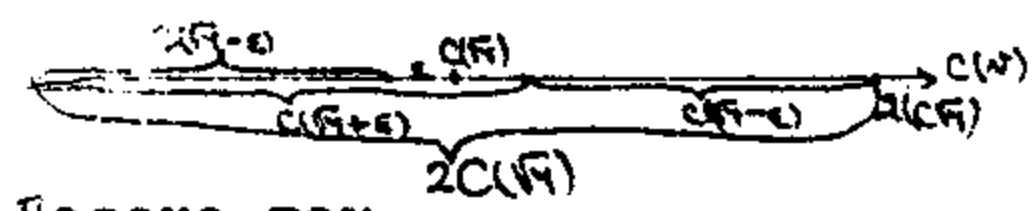
$$\frac{x\alpha}{\lambda b} = \epsilon$$

Од графикот на Корниевата спирала на Сл.26 се гледа дека

$$C(\sqrt{2}\cdot 2p - \sqrt{2}\epsilon) + C(\sqrt{2}\cdot 2p + \sqrt{2}\epsilon) \approx 2C(\sqrt{2}\cdot 2p) \quad (203)$$

$$C(\sqrt{2}(2p-1) - \sqrt{2}\epsilon) + C(\sqrt{2}(2p-1) + \sqrt{2}\epsilon) \approx 2C(\sqrt{2}(2p-1)) \quad (204)$$

на пример



$$C(\bar{\mu} + \epsilon) + C(\bar{\mu} - \epsilon) \approx 2C(\epsilon)$$

Додека пак

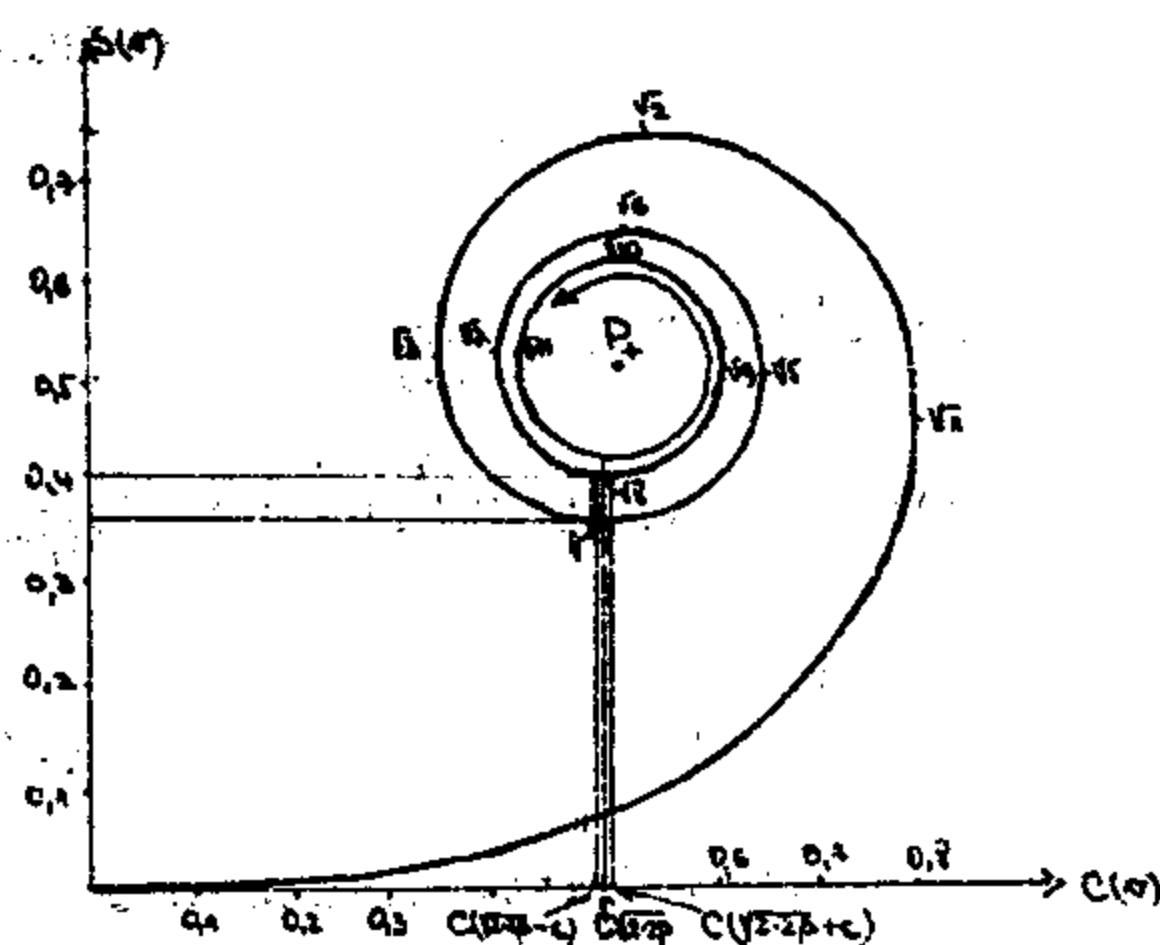
$$\begin{aligned} S[\sqrt{2}(\sqrt{2p}-\epsilon)] &\approx S[\sqrt{2}(\sqrt{2p}+\epsilon)] \\ S[\sqrt{2}(\sqrt{2p-1}-\epsilon)] &\approx S[\sqrt{2}(\sqrt{2p-1}+\epsilon)] \end{aligned} \quad (205)$$

Според тоа формулата за распоредот на интензитетот во рамнината на првиот главен максимум можеме да ја апроксимираме со

$$I(\overline{PP}) = K \left\{ \left(\sum_{p=1}^n [C(\sqrt{2p}) - C(\sqrt{2p-1})] \right)^2 + \left(\sum_{p=1}^n [S(\sqrt{2p} \pm \sqrt{2}\epsilon) - S(\sqrt{2p-1} \pm \sqrt{2}\epsilon)] \right)^2 \right\} \quad (206)$$

Од Корниевата спирала на Сл.26 исто така се гледа дека разликите $[C(\sqrt{2p}) - C(\sqrt{2p-1})]$ се мали, така што придонесот на првата сума во (206) кон вредноста на интензитетот е многу мала во

споредба со делот што доаѓа од втората сума. Малата вредност на првата сума не зависи од x_1 , така што за мрежичката со даден број на зони има константна вредност што ќе ја означиме со C . Во оваа приближност можеме да сметаме дека интензитетот е за-



Сл.26

даден со формулата

$$I(\overline{PP}) = K \left\{ C^2 + \left(\sum_{p=1}^n [S(\sqrt{2p} \pm \sqrt{2} \frac{x_1}{\lambda}) - S(\sqrt{2p-1} \pm \sqrt{2} \frac{x_1}{\lambda})] \right)^2 \right\}$$

За да ги најдеме правите \overline{PP}' во главната фокална рамнина кои се со минимална и максимална осветленост, а се наоѓат на растојание x_1 од оптичката оска, ќе го побараме и израмниме со нула првиот извод на интензитетот по променливата x_1 .

а бидејќи x , фигурира во аргументот на Френеловите интеграли, ќе треба да го израмним со нула сложениот извод

$$\frac{dI}{dq} \frac{dq}{dx} = 0$$

Изгубтоа

$$\frac{dq}{dx} = \frac{\alpha\sqrt{2}}{\lambda b} \neq 0$$

така што останува да се бараат решенијата на равенката

$$\begin{aligned} \frac{dI}{dq} &= 2K \left\{ \sum_{p=1}^n [S(\sqrt{2}\cdot2p \pm q) - S(\sqrt{2}(2p-1) \pm q)] \right\} \cdot \left\{ \sum_{p=1}^n \frac{dS}{d(\sqrt{2}\cdot2p \pm q)} \frac{d(\sqrt{2}\cdot2p \pm q)}{dq} \right. \\ &\quad \left. - \frac{dS(\sqrt{2}(2p-1) \pm q)}{d(\sqrt{2}(2p-1) \pm q)} \cdot \frac{d(\sqrt{2}(2p-1) \pm q)}{dq} \right\} \end{aligned}$$

Според равенките (74)

$$\frac{dS(\sqrt{2}\cdot2p \pm q)}{d(\sqrt{2}\cdot2p \pm q)} = \sin \frac{\pi}{2} (\sqrt{2}\cdot2p \pm q)^2 \quad \frac{dS(\sqrt{2}(2p-1) \pm q)}{d(\sqrt{2}(2p-1) \pm q)} = \sin \frac{\pi}{2} (\sqrt{2}(2p-1) \pm q)^2$$

а

$$\frac{d(\sqrt{2}\cdot2p \pm q)}{dq} = \pm 1 \quad \frac{d(\sqrt{2}(2p-1) \pm q)}{dq} = \pm 1$$

така што треба да ја решиме равенката

$$\begin{aligned} \frac{dI}{dq} &= \pm 2K \left\{ \sum_{p=1}^n [S(\sqrt{2}\cdot2p \pm x \cdot \frac{\alpha\sqrt{2}}{\lambda b}) - S(\sqrt{2}(2p-1) \pm x \cdot \frac{\alpha\sqrt{2}}{\lambda b})] \right\} \cdot \\ &\quad \cdot \left\{ \sum_{p=1}^n \sin \frac{\pi}{2} (\sqrt{2}\cdot2p \pm x \cdot \frac{\alpha\sqrt{2}}{\lambda b})^2 - \sin \frac{\pi}{2} (\sqrt{2}(2p-1) \pm x \cdot \frac{\alpha\sqrt{2}}{\lambda b})^2 \right\} \quad (207) \end{aligned}$$

Вредностите x , за кои првиот множител на равенката (198) е равен на нула, т.е. решенијата на равенката

$$\sum_{p=1}^n \left\{ S(\sqrt{2}\cdot2p \pm x \cdot \frac{\alpha\sqrt{2}}{\lambda b}) - S(\sqrt{2}(2p-1) \pm x \cdot \frac{\alpha\sqrt{2}}{\lambda b}) \right\} = 0 \quad (208)$$

ги даваат минимумите на интензитетот, зошто тогаш и равенката за интензитетот дава $I(\overline{PP}') = 4KC^2$

Решенијата пак на вториот множител на (207)

$$\sum_{p=1}^n \left\{ \sin \frac{\pi}{2} (\sqrt{2}\cdot2p \pm x \cdot \frac{\alpha\sqrt{2}}{\lambda b})^2 - \sin \frac{\pi}{2} (\sqrt{2}(2p-1) \pm x \cdot \frac{\alpha\sqrt{2}}{\lambda b})^2 \right\} = 0 \quad (209)$$

ќе ги дадат местата со максимална осветленост.

Да се обидеме најнапред да ги определиме местата со минимална осветленост. Не велиме нули на интензитетот, зошто равенката (206) на тие места, како што беше речено, дава вредност $I=4KC^2$. Со други зборови членовите од првата сума во равен-

ката (206) колку и да се со занемарливо мала вредност, не се еднакви на нула.

Ќе ги побараме решенијата на равенката (208) претходно применувајќи ја втората од формулите (78). Така имаме

$$\sum_{p=1}^n \left\{ Q(\sqrt{2(2p-1)} \pm x_i \frac{\alpha\sqrt{2}}{\lambda_6}) \cos \frac{\pi}{2} (\sqrt{2(2p-1)} \pm x_i \frac{\alpha\sqrt{2}}{\lambda_6})^2 + P(\sqrt{2(2p-1)} \pm x_i \frac{\alpha\sqrt{2}}{\lambda_6}) \sin \frac{\pi}{2} (\sqrt{2(2p-1)} \pm x_i \frac{\alpha\sqrt{2}}{\lambda_6})^2 \right. \\ \left. - Q(\sqrt{2 \cdot 2p} \pm x_i \frac{\alpha\sqrt{2}}{\lambda_6}) \cos \frac{\pi}{2} (\sqrt{2 \cdot 2p} \pm x_i \frac{\alpha\sqrt{2}}{\lambda_6})^2 - P(\sqrt{2 \cdot 2p} \pm x_i \frac{\alpha\sqrt{2}}{\lambda_6}) \sin \frac{\pi}{2} (\sqrt{2 \cdot 2p} \pm x_i \frac{\alpha\sqrt{2}}{\lambda_6})^2 \right\} = 0$$

Поради тоа што проблемот го разгледуваме во близина на оптичката оска, т.е. за мали вредности на x_i , ќе можеме да ја направиме апроксимацијата

$$\begin{aligned} (\sqrt{2 \cdot 2p} \pm x_i \frac{\alpha\sqrt{2}}{\lambda_6})^2 &\approx 2 \cdot 2p \pm 4x_i \frac{\alpha\sqrt{2p}}{\lambda_6} \\ (\sqrt{2(2p-1)} \pm x_i \frac{\alpha\sqrt{2}}{\lambda_6})^2 &\approx 2(2p-1) \pm 4x_i \frac{\alpha\sqrt{2p-1}}{\lambda_6} \end{aligned} \quad (210)$$

така што

$$\begin{aligned} \cos \frac{\pi}{2} (\sqrt{2(2p-1)} \pm x_i \frac{\alpha\sqrt{2}}{\lambda_6})^2 &\approx \cos \left[\pi (2p-1) \pm 2\pi x_i \frac{\alpha\sqrt{2p-1}}{\lambda_6} \right] = -\cos 2\pi x_i \frac{\alpha\sqrt{2p-1}}{\lambda_6} \\ \cos \frac{\pi}{2} (\sqrt{2 \cdot 2p} \pm x_i \frac{\alpha\sqrt{2}}{\lambda_6})^2 &\approx \cos \left[\pi \cdot 2p \pm 2\pi x_i \frac{\alpha\sqrt{2p}}{\lambda_6} \right] = \cos 2\pi x_i \frac{\alpha\sqrt{2p}}{\lambda_6} \end{aligned}$$

и исто така

$$\begin{aligned} \sin \frac{\pi}{2} (\sqrt{2(2p-1)} \pm x_i \frac{\alpha\sqrt{2}}{\lambda_6})^2 &\approx \mp \sin 2\pi x_i \frac{\alpha\sqrt{2p-1}}{\lambda_6} \\ \sin \frac{\pi}{2} (\sqrt{2 \cdot 2p} \pm x_i \frac{\alpha\sqrt{2}}{\lambda_6})^2 &\approx \pm \sin 2\pi x_i \frac{\alpha\sqrt{2p}}{\lambda_6} \end{aligned}$$

Занемарувајќи ги поради нивната мала вредност функциите $P(x)$ и земајќи уште дека е

$$Q(\sqrt{2(2p-1)} \pm x_i \frac{\alpha\sqrt{2}}{\lambda_6}) \approx Q(\sqrt{2 \cdot 2p} \pm x_i \frac{\alpha\sqrt{2}}{\lambda_6}) = \frac{1}{\pi(\sqrt{2 \cdot 2p} \pm x_i \frac{\alpha\sqrt{2}}{\lambda_6})} \quad (211)$$

како услов за добивање на правите $\overline{P}\overline{P}'$ кои во фокалната рамнине на првият главен максимум на линеарната зонска мрежичка ќе имаат минимална осветленост, се решенијата на равенката

$$\sum_{p=1}^n \frac{1}{\pi(\sqrt{2 \cdot 2p} \pm x_i \frac{\alpha\sqrt{2}}{\lambda_6})} \left\{ \cos 2\pi x_i \frac{\alpha\sqrt{2p-1}}{\lambda_6} + \cos 2\pi x_i \frac{\alpha\sqrt{2p}}{\lambda_6} \right\} = 0$$

или

$$\sum_{\rho=1}^{\infty} \frac{2}{\pi(\sqrt{2}\beta \pm x_4 \frac{\alpha}{\lambda b})} \cos \frac{x_4 \alpha}{\lambda b} (\sqrt{2}\beta + \sqrt{2}\beta - 1) \cos \frac{x_4 \alpha}{\lambda b} (\sqrt{2}\beta - \sqrt{2}\beta - 1) = 0 \quad (212)$$

Правиот минимум (нула) за секој член од сумата е за

$$\frac{x_4 \alpha}{\lambda b} (\sqrt{2}\beta + \sqrt{2}\beta - 1) = \pm \frac{\pi}{2}$$

односно

$$\frac{x_4}{b} = \pm \frac{\lambda}{2\alpha(\sqrt{2}\beta + \sqrt{2}\beta - 1)} = \pm \frac{\lambda}{2\alpha} (\sqrt{2}\beta - \sqrt{2}\beta - 1) \quad (213)$$

Гледаме дека секој пар на зони со реден број ρ го дава својот прв минимум на различно место x_4 . Минимумите на периферните зони се поблиску до оптичката оска. Според тоа резултантниот прв минимум на интензитетот во рамнината на првиот главен максимум ќе зависи од учеството на бројот на пропусните зони на мрежичката и ќе биде поблиску до оптичката оска во колку се зголемува бројот на зоните на мрежичката.

Кај мрежичка со $\alpha = 10^{-3}$ м осветлена со монохроматски извор со бранова должина $\lambda = 6328 \cdot 10^{-10}$ м во рамнината на главниот максимум кој е на растојание од еcranот $b = 2,4101$ м, места на првите минимуми кои им припаѓаат на разни парови на зони со индекс ρ се дадени во табелата 10

Табела 10

ρ	$x_4 \cdot 10^{-5}$ м								
1	31,59	6	11,25	11	8,22	16	6,79	25	5,42
2	20,43	7	10,38	12	7,87	17	6,59	50	3,82
3	16,27	8	9,69	13	7,55	18	6,40	100	2,70
4	13,93	9	9,11	14	7,27	19	6,23	150	2,20
5	12,37	10	8,64	15	7,02	20	6,07	200	1,91

Според тоа ако мрежичката има на пример по 10 пропусни зони од двете страни на оската, нејзиниот прв минимум ќе се

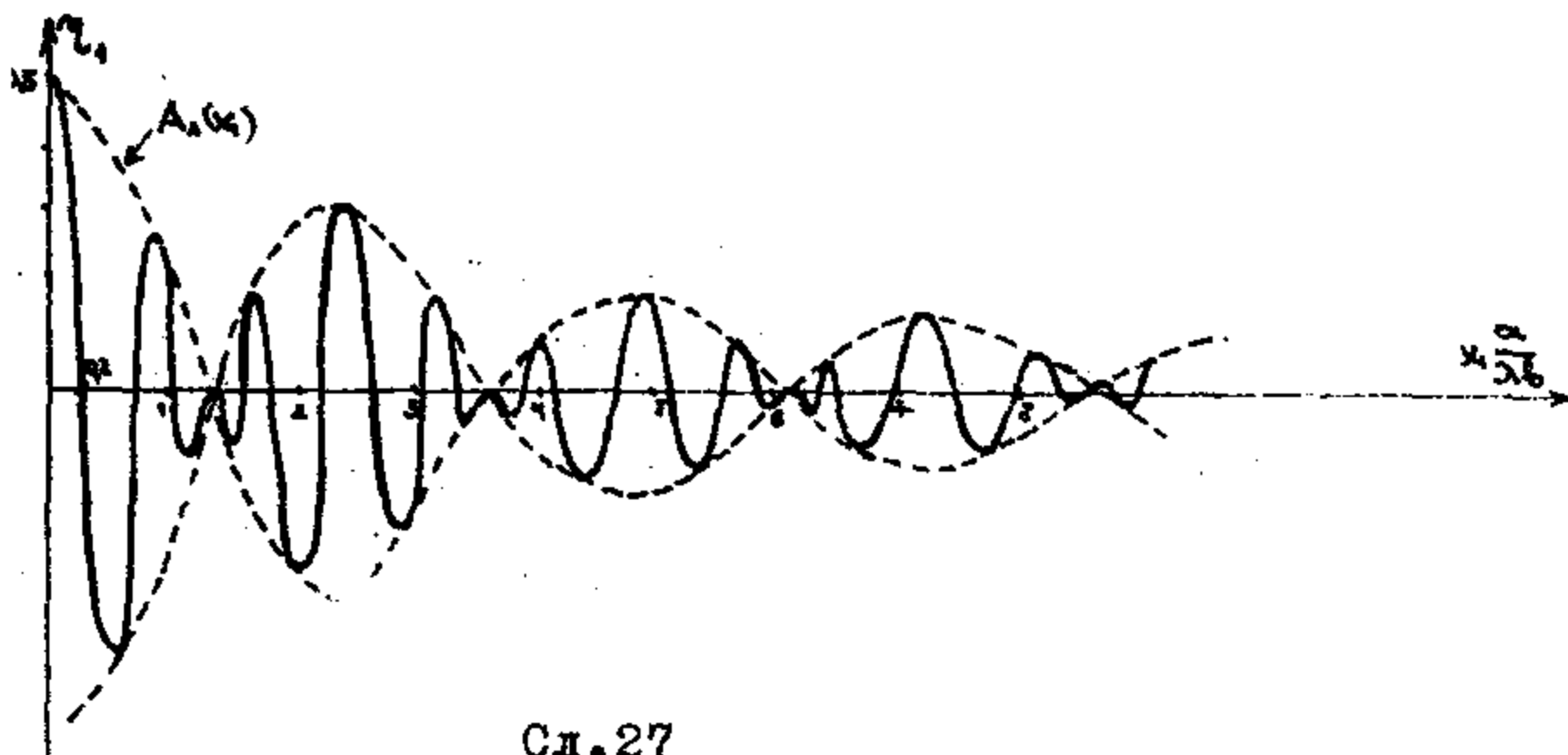
јави во интервалот 0,0000864 < x < 0,0003159 м.

За да стане појасно формирањето на првиот минимум ќе ја дискутираме вредноста на интензитетот во интервалот на x, од 0 до 0,00032 м. Во сила на апроксимациите (210) и (211) интензитетот според (206) е даден со формулата

$$I(\bar{P}P') = K \left\{ C + \left(\sum_{k=1}^{\infty} \frac{2}{\pi [\sqrt{2\beta} \pm \sqrt{\frac{x_1 \alpha}{\lambda_b}}]} \cos \frac{x_1 \alpha}{\lambda_b} (\sqrt{2\beta} - \sqrt{2\beta - 1}) \cos \frac{x_1 \alpha}{\lambda_b} (\sqrt{2\beta} + \sqrt{2\beta - 1})^2 \right) \right\} \quad (214)$$

Секој член од сумата во горната формула претставува осцилација $\cos \frac{x_1 \alpha}{\lambda_b} (\sqrt{2\beta} + \sqrt{2\beta - 1})$ со амплитуда $\frac{2}{\pi [\sqrt{2\beta} \pm \sqrt{\frac{x_1 \alpha}{\lambda_b}}]}$ $\cos \frac{x_1 \alpha}{\lambda_b} (\sqrt{2\beta} - \sqrt{2\beta - 1}) = A_p(k)$. На Сл.27 графички е претставен членот од сумата со индекс $p=1$

$$\eta_1 = \frac{2}{\pi [\sqrt{2} + \sqrt{2 - \frac{x_1 \alpha}{\lambda_b}}]} \cos \frac{x_1 \alpha}{\lambda_b} (\sqrt{2} - \sqrt{1}) \cos \frac{x_1 \alpha}{\lambda_b} (\sqrt{2} + \sqrt{1})$$



Сл.27

Со испрекината линија е означена модулацијата на амплитудата. Вториот член од сумата ќе има сличен график, само сега модулацијата ќе биде со амплитуди кои побргу опфаат и со периода која е поголема од претходната. Периодата на модулациите е

$$T_p = \frac{2}{\sqrt{2\beta} - \sqrt{2\beta - 1}} = 2(\sqrt{2\beta} + \sqrt{2\beta - 1})$$

од каде јасно се гледа дека $T_2 > T_1$. ($T_1 = 0,8$; $T_2 = 7,4$).

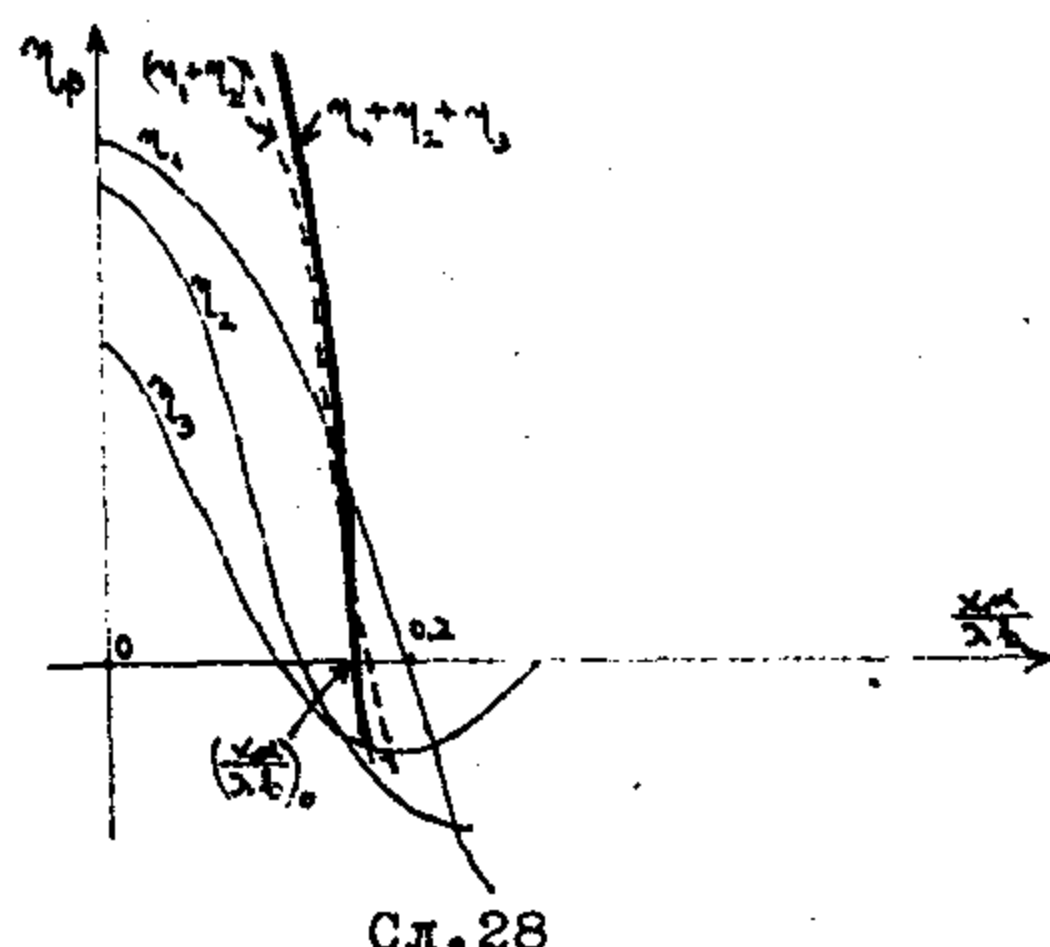
Меѓутоа периодата на осцилацијата $\cos \frac{x_1 \alpha}{\lambda_b} (\sqrt{4} + \sqrt{3})$ е помала од онаа на првиот член и првата нула ја постига за

$$\frac{x_1 \alpha}{\lambda_b} = \frac{1}{2(\sqrt{4} + \sqrt{3})} = 0,13$$

Нас не интересира првата нула на збирот на овие два члена. За таа цел на Сл.28 се претставени кривите η_1 и η_2 во околината на нивните први постигнати нули (тенки полни линии). Графичкиот збир $\eta_1 + \eta_2$ (испрекината линија) ја има првата нула која е поместена кон помала вредност $\frac{x_m}{\lambda_6}$ од онаа на првата нула на функцијата η_1 .

Зголемувањето на

бројот на пропусните зони на мрежичката би значело додавање на нови членови во сумата, а во графикото бараве на средната прва нула на интензитетот тоа би значело мало поместување на средната прва нула на претходните суманди



Сл.28

кон помали вредности на $\frac{x_m}{\lambda_6}$. Веќе третиот суманд за многу малку ќе ја помести средната нула на $\eta_1 + \eta_2$. Збирот $\eta_1 + \eta_2 + \eta_3$ е претставен на Сл.28 со дебелата полна линија. Малата негативна вредност што ја има осцилацијата на секој нов член во сумата η_p , претходниот збир $\eta_1 + \eta_2 + \eta_3 + \dots + \eta_{p-1}$ ја поништува (графичко собирање) со исто толкава позитивна вредност, која е во непосредна близина на претходно постигнатата средна нула, зошто кривата на сумата $\eta_1 + \eta_2 + \dots + \eta_{p-1} + \eta_p$ е многу стрма и позитивна во интервалот $(0; \frac{x_m}{\lambda_6})$.

Од сепак досега изложено може да се каже дека во формирањето на првата средна нула на интензитетот одлучна улога имаат првите неколку пропусни зони на мрежичката, додека зоните со повисок индекс на сумирање ѝ придонесуваат кон поместувањето на средната прва нула кон помали вредности на $\frac{x_m}{\lambda_6}$, т.е.

така е се поблиску до оптичката оска.

За случај на позитивна мрежичка изразот за распоредот на интензитетот (206) и условот за минимум (208) ќе се разликуваат од оние за негативната во вредностите на аргументите на сумирањето, т.е. секаде наместо $\sqrt{2\beta}$ треба да се стави $\sqrt{2(\beta-1)}$ и $\sqrt{2(\beta-1)}$ да се замени со $\sqrt{2(\beta-2)}$.

Минимумите на интензитетот сега ќе бидат дефинирани со решенијата на равенката

$$\sum_{p=1}^n \frac{2}{\pi(\sqrt{2(\beta-2)}+x_p)\sqrt{2}} \cos \frac{\pi x_p}{\lambda b} (\sqrt{2\beta-1} + \sqrt{2\beta-2}) \cos \frac{\pi x_p}{\lambda b} (\sqrt{2\beta-1} - \sqrt{2\beta-2}) = 0$$

а првиот минимум на секој член од оваа сума ќе биде определен со

$$\frac{x_1}{b} = \frac{\pm \lambda}{2\alpha\sqrt{2\beta-1} + \sqrt{2\beta-2}} \quad (215)$$

Овој израз по својата вредност е поголем од соодветниот даден со (213) за негативната мрежичка. Според тоа позитивната мрежичка со ист број на пропусни зони во рамнината на главниот максимум ќе го постигне својот прв минимум на осветлување на растсјание x_1 кое е пооддалечено од оптичката оска, отколку што е минимумот на негативната мрежичка. Во нашиот конкретен пример паровите на зони со индекси β во случај на позитивна мрежичка ги постигаат своите нули на местата x_1 дадени според табелата 11.

Табела 11

β	1	2	3	5	10	15	20	50	100
$x \cdot 10^5$	77,18	24,15	18,36	13,12	8,66	7,09	6,14	3,66	2,62

Од табелата се гледа дека минимумите на паровите зони што имаат големи редни броеви β се наоѓаат на приближно исти места како кај негативната мрежичка. Меѓутоа бидејќи одлучна улога во формирањето на средниот прв минимум играат првите неколку пари

на зони, а тута постои разлика во вредноста на x_1 , јасно е дека првиот минимум на интензитетот во рамнината на првиот главен максимум кај позитивната мрежичка ќе биде подалеку од оптичката оска.

Да видиме сега како би можеле да ги определиме местата на максимумите во рамнината на првиот главен максимум. Рековме дека тие се определени со решенијата на равенката (209), која со помош на апроксимацијата (210) ќе гласи

$$\sum_{n=1}^N \left[\sin 2\pi \frac{x_1}{\lambda b} \frac{\alpha \sqrt{2\beta}}{\lambda b} + \sin 2\pi x_1 \frac{\alpha \sqrt{2\beta-1}}{\lambda b} \right] = 0$$

или

$$\sum_{n=1}^N \sin \pi \frac{x_1 \alpha}{\lambda b} (\sqrt{2\beta} + \sqrt{2\beta-1}) \cos \pi \frac{x_1 \alpha}{\lambda b} (\sqrt{2\beta} - \sqrt{2\beta-1}) = 0 \quad (216)$$

Равенката (216) е задоволена за $x_1=0$, што не е ништо друго туку првиот главен максимум кој лежи на оптичката оска.

Освен ова решение секој пар на зони со индекс β го постига својот максимум на оние места x_1 за кои е

$$\sin \pi \frac{x_1 \alpha}{\lambda b} (\sqrt{2\beta} + \sqrt{2\beta-1}) \cos \pi \frac{x_1 \alpha}{\lambda b} (\sqrt{2\beta} - \sqrt{2\beta-1}) = 0$$

односно кога е

$$\pi \frac{x_1 \alpha}{\lambda b} (\sqrt{2\beta} + \sqrt{2\beta-1}) = k\pi \quad k = 0, \pm 1, \pm 2, \dots$$

$$\frac{x_1}{b} = \frac{\alpha k}{\alpha(\sqrt{2\beta} + \sqrt{2\beta-1})} \quad (217)$$

Решенијата (217) всушност се места на минимумите и максимумите на модулираните осцилации $\cos \pi \frac{x_1 \alpha}{\lambda b} (\sqrt{2\beta} + \sqrt{2\beta-1})$. Сумата од овие модулирани осцилации ќе даде средни минимуми и максимуми, кои при квадрирањето (зашто интензитетот е пропорционален со квадратот на сумата) претставуваат максимуми на интензитетот.

За $k=0$ и за било која вредност на β го имаме главниот максимум кој лежи на оптичката оска. Модулирачката амплитуда на сите суманди од (214) има најголема вредност за $x_1=0$ а со оддалечувањето од оптичката оска имаме нагло опаѓа-

че на истата.

Според тоа на местото $x=0$ во рамнината на првиот главен максимум се наоѓа висок максимум на интензитетот, чија вредност зависи од бројот на пропусните зони што учествуваат во дифракцијата, или како што покажавме од квадратот на вкупната пропусна ширина на мрежичката, а лево и десно од него во вид на темни ленти се јавуваат минимуми на интензитетот определени со формулите (213), а потоа, на приближно двојно растојание од оската, се јавуваат две посветли ленти чии места се средни максимуми определени од формулата (217) за $k=\pm 1$. Овие максимуми поради опаѓањето на модулирачките амплитуди ќе бидат значно пониски од главниот максимум. Се разбира потоа следи серија од други минимуми и максимуми кои со зголемувањето на бројот на зоните се во поголем број и погусти и со изразито помала вредност од онаа на главниот максимум. Со зголемување на бројот на зоните на мрежичката висината на главниот максимум е се поголема а неговата ширина се потесна.

Со цел да се поткрепат горенаправените теоретски претпоставки за распоредот на интензитетот во главната фокална рамнина, кои беа апроксимативно изведени, програмирана е функцијата (202) и тоа за мрежичка и извор земени во нашиот конкретен пример. Во табелата 12 се наведени четворократните вредности на интензитетот во главната фокална рамнина на една негативна линеарна мрежичка (за да биде константата пред сумите рамна на 1 како во (69)), која содржи различен број на пропусни зони и тоа за $N = 3, 5, 10$.

И овде како и при претходните табелирања ќе биде внесена секоја петта вредност со исклучок на местата каде се јавуваат минимумите и максимумите.

Табела 12

Распоред на интензитетот во рамнината на првиот главен максимум на една негативна линеарна зонска мрежичка

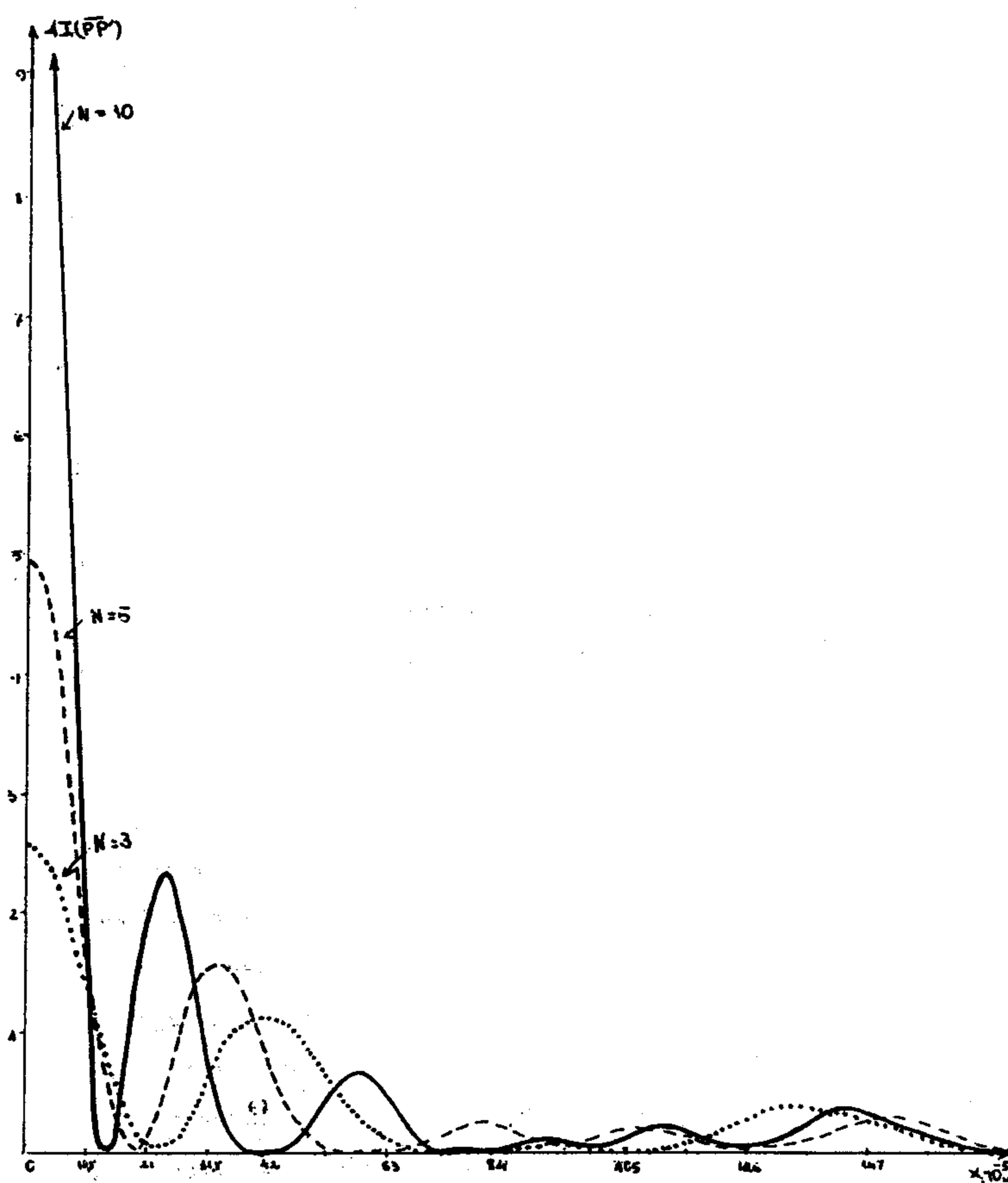
$x_1 \cdot 10^{-5} \text{ м}$	$I_{n=3}$	$I_{n=5}$	$I_{n=10}$
0,00	2,59612	4,98078	11,48825
0,53	2,59245	4,98024	11,44432
1,05	2,58148	4,88653	11,31328
2,63	2,50560	4,72222	10,42734
5,25	2,24768	4,00537	7,67925
7,88	1,86089	2,99077	4,32840
10,50	1,40202	1,89742	1,57424
13,13	0,93637	0,94527	0,17906
14,18	0,76261	0,64392	0,03551
15,75	0,52682	0,30025	0,16870
18,38	0,22378	0,03748	1,04336
18,90	0,17903	0,03022	1,24609
21,00	0,05761	0,13173	1,96779
22,58	0,02736	0,31738	2,30133
23,65	0,03494	0,47576	2,59109
24,15	0,04655	0,56162	2,59508
26,25	0,15937	0,91886	2,16770
28,88	0,35597	1,61256	1,82342
31,50	0,58879	1,54826	0,82037
33,08	0,72644	1,59226	0,48743
34,15	0,81956	1,58057	0,31969
36,75	1,01606	1,42557	0,07991
39,36	1,13834	1,14486	0,01131
41,48	1,17282	0,88530	0,00323

$x_1 \cdot 10^{-5}$ M.	I _{n=8}	I _{n=9}	I _{n=10}
42,00	1,17248	0,81793	0,00321
44,63	1,12067	0,51589	0,01494
47,25	0,99856	0,28361	0,07615
49,88	0,83052	0,13432	0,22109
52,50	0,64403	0,05595	0,42797
55,13	0,46426	0,02395	0,61506
57,75	0,31014	0,01477	0,69301
60,38	0,19225	0,01459	0,62617
63,00	0,11275	0,02108	0,45457
65,63	0,06699	0,03906	0,26183
68,25	0,04621	0,07343	0,12127
70,88	0,04045	0,12315	0,05598
71,40	0,04030	0,13427	0,05040
73,50	0,04107	0,17923	0,04270
76,13	0,04224	0,22729	0,04440
76,65	0,04227	0,23463	0,04437
78,75	0,04146	0,25327	0,04215
79,80	0,04058	0,25544	0,04087
80,33	0,04005	0,25466	0,04096
81,58	0,03890	0,24947	0,04197
84,00	0,03630	0,21810	0,05743
86,10	0,03547	0,18074	0,08177
86,63	0,03554	0,17078	0,08858
89,25	0,03763	0,12436	0,11861
91,35	0,04118	0,09866	0,12517
93,88	0,04224	0,09462	0,12418
93,45	0,04559	0,08901	0,11501

$x_1 \cdot 10^{-5} M_\odot$	$I_{n=3}$	$I_{n=5}$	$I_{n=10}$
94,50	0,04779	0,09079	0,10618
97,13	0,05227	0,11261	0,08667
98,70	0,05374	0,13457	0,07480
99,70	0,05410	0,15117	0,07827
102,38	0,05304	0,19270	0,11374
105,00	0,05066	0,22574	0,17549
106,58	0,04988	0,23340	0,21275
107,63	0,05017	0,23553	0,23314
110,25	0,05581	0,22613	0,25768
112,88	0,07176	0,19990	0,23925
115,50	0,10070	0,16486	0,19051
118,13	0,14342	0,12946	0,13477
120,75	0,19773	0,10007	0,09114
123,38	0,25894	0,08004	0,06760
124,95	0,29632	0,07299	0,06341
126,53	0,33231	0,06969	0,06663
127,65	0,34373	0,06943	0,06943
128,63	0,37553	0,07114	0,08337
131,25	0,41757	0,082693	0,12706
133,88	0,44237	0,10891	0,19636
135,98	0,44870	0,13334	0,26399
139,13	0,43718	0,18804	0,36037
141,75	0,41253	0,24185	0,40919
143,53	0,39558	0,27483	0,41760
144,38	0,38003	0,29601	0,41404
147,00	0,34532	0,34218	0,37987
152,25	0,29050	0,38425	0,27873

$x_1 \cdot 10^{-5} M_\odot$	$I_{n=3}$	$I_{n=6}$	$I_{n=10}$
154,88	0,23411	0,34218	0,21099
157,50	0,18535	0,28759	0,16154
160,13	0,14594	0,23109	0,12533
162,75	0,11325	0,17935	0,09685
165,38	0,08530	0,13678	0,07633
168,00	0,06126	0,10464	0,06746
168,53	0,05693	0,09935	0,06725
170,63	0,04141	0,08128	0,07083
173,25	0,02680	0,06351	0,08053
175,88	0,01870	0,04841	0,08808
176,40	0,01795	0,04557	0,08732
177,45	0,01733	0,04033	0,08647
178,50	0,01792	0,03474	0,08589
181,13	0,02435	0,02336	0,07158
184,80	0,04295	0,01576	0,05174
186,38	0,05302	0,01686	0,04621
189,00	0,07060	0,02515	0,04231
190,05	0,07745	0,03054	0,04210
191,63	0,08714	0,04037	0,04236
194,25	0,10116	0,05951	0,04269
195,30	0,10597	0,06744	0,04265
196,88	0,11248	0,07896	0,04288
199,50	0,12232	0,09606	0,04634
202,13	0,13313	0,11047	0,05698
204,75	0,14794	0,12450	0,07540
207,38	0,16967	0,14234	0,09849
210,00	0,20034	0,16845	0,12504

Вра ~~база~~ на горната табела графички е претставен распоредот на интензитетот во рамнината на првиот главен максимум и тоа за мрежички со $N=3$ (точки) $N=5$ (испрекината линија) и $N=10$ (полна линија) на Сл.29



Сл.29

На ординатната оска од овие графици е нанесена четворократната вредност на интензитетот, поради направениот избор на константата во формулата (169). Затоа не треба да збуни разликата во вредноста на интензитетот за $x_1=0$ од овие графици и за $\lambda = 2,41$ ($4,59$) од графиките на Сл.19.

Од графиките на Сл.29 се гледа дека во рамнината на главниот максимум, интензитетот има најголема вредност за $x_1=0$, и тоа вредноста е поголема во колку мрежичката учествува со поголем број на пропусни зони, т.е. овој централен максимум е повисок и потесен во колку бројот N е поголем. Од левата и десната страна на овој остер максимум имаме нагол пад на интензитетот, а местото на неговата прва минимална вредност е поблиску до оптичката оска во колку бројот на пропусните зони е поголем. Потоа следува уште по еден забележителен, но сепак мал во споредба со централниот, максимум а амплитудите на останатите максимуми кои се модулирани преку функциите $\frac{2}{\pi \sqrt{2\pi + \frac{\pi^2}{\lambda^2}}} \cos \frac{\pi x_1}{\lambda} (\frac{x_1}{\lambda} - \frac{1}{2})$ нагло спаѓаат со оддалечувањето од оптичката оска и нивната вредност е незначителна во споредба со онаа на централниот максимум.

Дифракционата слика на еcran поставен во рамнината на првиот максимум би се состоела од една интензивна лента во средината на еcranот, чија ширина спаѓа а интензитетот расте со зголемувањето на бројот на зоните, потоа симетрично од двете страни оваа лента ќе биде ограничена со две темни ленти, а интензитетот на светлите ленти кои потоа следат се намалува со оддалечувањето од оската на еcranот. Додуша спаѓањето на интензитетот во овие периферни светли ленти не е линеарно, поради модулацијата на функцијата на интензитетот, меѓутоа и амплитудата на модулацијата спаѓа, и тоа нагло, со оддалечувањето од оската.

ЗА РАЗДЕЛНАТА СПОСОБНОСТ НА ЛИНЕАРНАТА ЗОНСКА МРЕЖИЧКА ВО УЛОГА НА ЦИЛИНДРИЧНА ЛЕЌА

Поради најголемата вредност на интензитетот во првите главен максимум и неговата оддалеченост од останатите главни максимиуми, кои со зголемувањето на нивниот ред стануваат мошне близки еден до друг, рамнината на повиот главен максимум претставува фокална рамнина во која најдобро можат да се искористат можностите на линеарната зонска мрежичка при добивање на ликови, кога таа ја превзема улогата на цилиндрична лека.

Кога би имале цилиндрична лека, таа светлината од прачаст линеарен извор не ја фокусира како геометриска линија, туку како лента со конечна ширина, ограничена со темни и светли пруги, кои имаат значително помал интензитет од овој на централната лента. Тоа иде од таму, што за светлината како за браново движење, законите на геометриската оптика веќе не можат да бидат применети ако се однесуваат на делови од брановиот фронт со ограничена големина. Ликот на прачастиот извор не е осичен пресек на зраците од изворот, туку претставува дифракционна слика на оние бранови од изворот кои поминуваат низ системот на леката.

Според тоа дифракционата слика што ја добивме во рамнината на главниот максимум кај линеарната зонска мрежичка, всушност го претставува ликот на прачастиот светлински извор II'.

За оптичките системи, со чија помош се формираат ликови, се вели дека можат да разложат два лика кога соодветните дифракциони слики се доволно мали или доволно разделени за да можат да се разликуваат.

Поручувајќи ги дифракционите слики на два близки точ-

касти извори Лорд Рејли (Lord Rayleigh) го даде својот критериум според кој два еднакво светли светлински извори ќе можат да бидат разделени со помош на некој оптички систем, ако централниот максимум на дифракционата слика на едниот извор се совпаѓа со првиот дифракционен минимум на другиот извор. Ова пак е еквивалентно со условот растојанието меѓу центрите на дифракционите слики да биде еднакво на полупречникот на централниот максимум на дифракционата слика, што во случај на точкаст извор е во вид на светол диск, а во нашиот случај тоа ќе биде полуширината на централната светла лента, или вредноста на растојанието на првиот дифракционен минимум $|x_{\text{min}}|$. Тоа и беше причината што во претходното заглавие посебно внимание му беше посветено на определувањето на местото на првиот дифракционен минимум.

Придржувајќи се кон својот критериум, Рејли покажа дека сверна лека со дијаметар D ќе може да раздели два точкастни извори кои емитуваат светлина со бранова должина λ , ако полуагловната ширина на централниот дифракционен појас е таква, што е исполнет условот

$$\sin \frac{\theta}{2} = 1,22 \frac{\lambda}{D} \quad (218)$$

θ – е агловна вредност на првиот дифракционен минимум во однос на оптичката оска. Кога екранот на набљудување се наоѓа на растојание b од леката, а полулинеарната ширина која му одговара на првиот дифракционен минимум е τ , вредноста

$$\sin \frac{\theta}{2} \approx \frac{\tau}{b}$$

Буавен во [14] и [15] има покажано дека во рамнината на главниот максимум кај Соретовата кружна мрежичка со голем број на зони, при Френеловата дифракција сликата на точкаст светлински извор претставува Ериев диск. Подоцна Арсено во [6] покажа

дека истото важи и за Фраунховеровата дифракција.

Мејерс во [10] покажа дека радиусот на првиот дифракционен минимум во Ериевата слика тежи кон вредноста

$$r \rightarrow 0,61 \frac{\lambda b}{\pi \sqrt{2N}} \quad (219)$$

каде r е радиус на основниот круг на кружната зонска мрежичка, N е реден број на последната пропусна зона на мрежичката, кога бројот на пропусните зони на мрежичката е многу голем. Формулата е изведена за негативна мрежичка, а за позитивна мрежичка ќе треба под коренот во именителот да стои $2N+1$.

Множејќи ги именителот и броителот на (219) со два, за радиусот на првиот дифракционен минимум се добива

$$r = 1,22 \frac{\lambda b}{2\pi \sqrt{2N}} \quad (220)$$

а бидејќи $2\pi \sqrt{2N}$ е дијаметар на Соретовата кружна зонска мрежичка, имаме

$$\frac{r}{b} = \sin \frac{\pi}{N} = 1,22 \frac{\lambda}{D} \quad (221)$$

што е идентично со Рејлиевата формула (218) изведена за сверна лека.

Како мерка за разделната способност при формирањето на ликови ја дефинираме реципрочната вредност на количникот $\frac{D}{1,22 \lambda}$ т.е

$$R = \frac{1}{\sin \frac{\pi}{N}} = \frac{D}{1,22 \lambda} \quad (222)$$

Од досега изложеното следува дека Соретовата кружна зонска мрежичка со дијаметар $2\pi \sqrt{2N}$ има иста разделна способност со сферна лека со исти димензии, кога бројот на зоните содржани во тој дијаметар е доволно голем.

Со цел да го проверат овој резултат Стиглиани, Митра и Семонин во [17] ја испитуваат вредноста на количникот $\frac{\sin \frac{\pi}{N} \cdot D}{\lambda}$ пресметнувајќи ја со помош на електронски пресметувач вредноста на радиусот r на првиот дифракционен минимум од функцијата

за распоредот на интензитетот во првата фокална рамнина на Соретовата кружна мрежичка. При тоа тие покажуваат дека вредноста на овој количник асимптотски се приближува кон вредноста 1,22 со зголемување на бројот на зоните во даден дијаметар D.

За да ја најдеме разделната способност при формирање на ликови кај линеарната зонска мрежичка, ќе треба да го определиме местото на првиот дифракционен минимум. Во претходното заглавие беше приближно дискутирано за формирањето на дифракционата слика во рамнината на главниот максимум кај линеарната зонска мрежичка, а резултатите на оваа дискусија добро се сложуваат со компјутерски добиената зависност за распоредот на интензитетот во оваа рамнина.

Покажавме дека секој пар на зони го дава својот први дифракционен минимум на место определено со релацијата (213), која може да се дапши и како

$$x_{\text{min}} = \frac{\lambda b}{2\alpha} (\sqrt{2\rho} - \sqrt{2\rho-1}) = \frac{\lambda b}{2\alpha^2} \rho_{\text{par}} \quad (223)$$

Гледаме дека растојанието на минимумот на секој пар на зони е пропорционално со ширината на парот кој го формира тој минимум. Во табелата 12 што беше добиена со програмирање на функцијата (202) подвлечени се интензитетите кои одговараат на првиот дифракционен минимум за мрежички со различен број на пропусни зони. Споредувајќи ги местата на овие "средни" минимуми со оние добиени за секој пар на зони со (223), не е тешко да се провери дека растојанието на првиот среден минимум е дадено со

$$x_{\text{min}} = \frac{1}{N} \sum x_{\text{par min}}$$

каде $x_{\text{par min}}$ се зададени со (223), односно

$$x_{\text{min}} = \frac{1}{N} \frac{\lambda b}{2\alpha} \sum_{\rho=1}^N (\sqrt{2\rho} - \sqrt{2\rho-1}) \quad (224)$$

Може да се покаже, според [34], дека кога $N \gg 1$ сумата

$$\lim_{N \rightarrow \infty} \sum_{n=1}^N (\sqrt{2\beta} - \sqrt{2\beta - 1}) \rightarrow \frac{\sqrt{N}}{2}$$

така што за минимумот на мрежичката со голем број на пропусни зони може да се земе дека е даден со

$$x_{\min} = \frac{\lambda b}{2\alpha \sqrt{2N}} \quad (225)$$

Се доби формула аналогна со Мејерсовата (220), имајќи во предвид дека овде 2α е ширината на основната зона на мрежичката, меѓутоа наместо фактор 1,22 имаме 1.

Да го примениме сега Рейлиевиот критериум за најмалата полуагловна вредност што е потребно да ја има ликот на еден извор (предмет) добиен со помош на една линеарна зонска мрежичка, за да може да биде издвоен како целина од останатите многу блиски предмети. Од (225) следува дека за ваквата мрежичка

$$\sin \theta = \frac{x_{\min}}{b} = \frac{\lambda}{D} \quad (226)$$

каде

$$D = 2\alpha \sqrt{2N} \quad (227)$$

е дијаметар односно ширина на целата мрежичка.

Паѓа во очи известна аналогија што постои меѓу формулите за минималната полуагловна вредност (221) и (226) кај кружната и линеарната мрежичка, со формулите за полуагловната вредност на првите дифракциони минимуми кај кружниот отвор со дијаметар $2r = d$, и кај пукнатина со ширина d . Имено за кружниот отвор $\sin \theta = 1,22 \frac{\lambda}{d}$, а кај пукнатината $\sin \theta = \frac{\lambda}{d}$. И покрај тоа што се работи за исти вредности на λ и d , формулите и овде се разликуваат за факторот 1,22.

Според дефиницијата (222) разделната способност кај линеарната зонска мрежичка е

$$R \longrightarrow \frac{D}{\lambda} \quad (228)$$

во колку бројот на зоните содржани во даден дијаметар е доволно голем. Кај кружната мрежичка со исти вредности на D и λ , разделната способност ќе тежи кон вредноста $0,819 \frac{D}{\lambda}$, што значи дека линеарната мрежичка има извесна предност во однос на кружната, како оптички систем со поголема разделна способност.

И овде може да се направи проверка слична на онаа што ја имаат сторено авторите во [17]. Имено ќе биде испитана зависноста на вредноста на количникот $\frac{D \sin \frac{\theta}{2}}{\lambda}$, но сега за линеарна зонска мрежичка, во зависност од бројот на зоните на мрежичката. Вредностите $x_{\text{имн}}$ се добиени со помош на електронски пресметнувач од функцијата за интензитетот во рамнината на првиот максимум дадена со равенката (202).

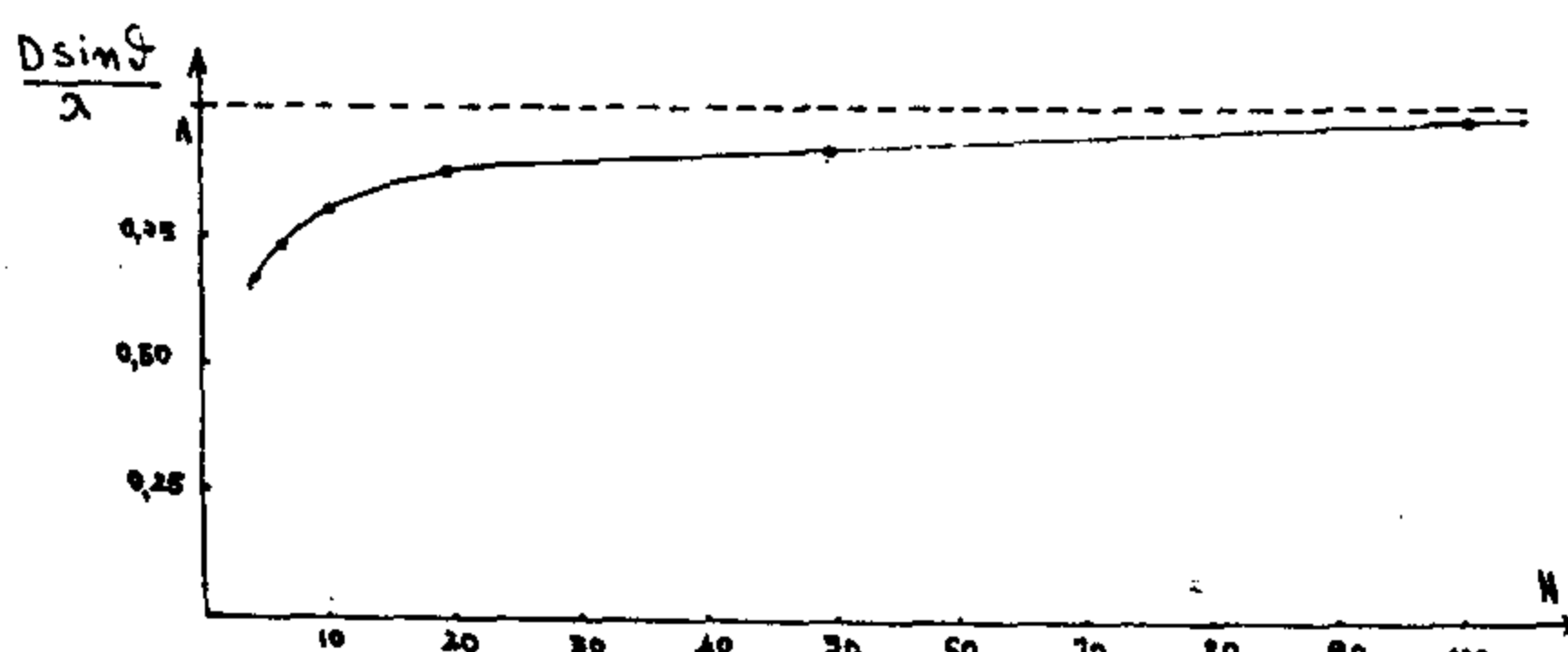
Резултатите добиени во табелата 13 се однесуваат на бранова должина $\lambda = 6328 \cdot 10^{-10} \text{ m}$ и за мрежичка чија фокална рамнина е определена со растојанието од екранот $b = 2,4101 \text{ m}$. Зависноста на оваа величина од бројот на зоните графички е претста-

Табела 13

зависност на количникот $\frac{D \sin \frac{\theta}{2}}{\lambda}$ од бројот на зоните

N	D (m)	$x \cdot 10^{-5} \text{ m}$	$\frac{D \sin \frac{\theta}{2}}{\lambda}$
3	0,00490	22	0,7085
5	0,00632	18,4	0,7616
10	0,00894	14,3	0,8403
20	0,01265	10,5	0,8754
50	0,02000	6,98	0,9158
100	0,02828	5,25	0,9737

вена на Сл.30. Од графикот се гледа дека асимптотската вредност на овој количник е 1.



Сл. 30

Поради обратно пропорционалната зависност на разделната способност на мрежичката од брановата должина, со линеарна зонска мрежичка направена според предлогот на Баез [27] од златни ленти на местото на непропусните зони и вакуум меѓу нив, може да се постигне добра разделна способност без зголемување на димензијата на мрежичката (D), ако се работи во ултравиолетовото браново подручје. Така линеарната зонска мрежичка како дел од оптиката со која е снабден еден земјин сателит исфрлен во орбита надвор од земјината атмосфера, може да одигра важна улога во добивањето на информации за разни стеларни системи чии ултравиолетови зраци, поради густината на земјината атмосфера на стасуваат на површината на земјата.

РАСПОРЕД НА ИНТЕНЗИТЕТОТ И РАЗДЕЛНА СПОСОБНОСТ ВО РАМНИНИТЕ НА ФОКУСИТЕ ОД ПОВИСОК РЕД

За да го испитаме распоредот на интензитетот во фокалните рамнини на максимумите од повисок ред, во формулата (55) ќе треба наместо $\frac{1}{k}$ да се стави $\sqrt{2(2k-1)}$ каде $k=2,3,4,\dots$. Имајќи ја во предвид уште и скратената ознака за константата (68), за распоредот на интензитетот во овие фокални рамнини ја имаме формулата

$$I(\bar{P}\bar{P}') = \frac{1}{4} K \left\{ \left(\sum_{p=1}^k [C(\sqrt{2(2k-1)} \cdot 2\beta + x \frac{\alpha}{\lambda_0} \sqrt{\frac{2}{2k-1}}) + C(\sqrt{2(2k-1)} \cdot 2\beta - x \frac{\alpha}{\lambda_0} \sqrt{\frac{2}{2k-1}}) - C(\sqrt{2(2k-1)}(2\beta-1) + x \frac{\alpha}{\lambda_0} \sqrt{\frac{2}{2k-1}}) - C(\sqrt{2(2k-1)}(2\beta-1) - x \frac{\alpha}{\lambda_0} \sqrt{\frac{2}{2k-1}})]^2 + \right. \right. \\ \left. \left. + \left(\sum_{p=1}^k [S(\sqrt{2(2k-1)} \cdot 2\beta + x \frac{\alpha}{\lambda_0} \sqrt{\frac{2}{2k-1}}) + S(\sqrt{2(2k-1)} \cdot 2\beta - x \frac{\alpha}{\lambda_0} \sqrt{\frac{2}{2k-1}}) - S(\sqrt{2(2k-1)}(2\beta-1) + x \frac{\alpha}{\lambda_0} \sqrt{\frac{2}{2k-1}}) - S(\sqrt{2(2k-1)}(2\beta-1) - x \frac{\alpha}{\lambda_0} \sqrt{\frac{2}{2k-1}})]^2 \right) \right\} \quad (229)$$

а апроксимациите (203), (204) и (205) можеме да ги примениме со уште поголема сигурност воколку се зголемува редот k на максимумот.

Така во близина на оптичката оска наместо формулата (206) за распоредот на интензитетот сега ја имаме функцијата

$$I(\bar{P}\bar{P}') = K \left\{ C + \left(\sum_{p=1}^k [S(\sqrt{2(2k-1)} \cdot 2\beta \pm x \frac{\alpha}{\lambda_0} \sqrt{\frac{2}{2k-1}}) - S(\sqrt{2(2k-1)}(2\beta-1) \pm x \frac{\alpha}{\lambda_0} \sqrt{\frac{2}{2k-1}})] \right)^2 \right\} \quad (230)$$

каде

$$C = \left(\sum_{p=1}^k [C(\sqrt{2(2k-1)} \cdot 2\beta) - C(\sqrt{2(2k-1)}(2\beta-1))] \right) \quad (231)$$

за мрежичка со определен број на зони има, во согласност со дискусијата за вредноста на интензитетот во главните максимуми (стр. 73-77), има се помала вредност во колку редот на фокалната рамнина k е повисок.

Повторувајќи ја истата процедура на барање на екстреми како на стр. 132-136 се доаѓа до заклучок дека минимумите на интензитетот во овие фокални рамнини се определени со решенијата на равенката

$$\sum_{p=1}^k [S(\sqrt{2(2k-1)} \cdot 2\beta \pm x \frac{\alpha}{\lambda_0} \sqrt{\frac{2}{2k-1}}) - S(\sqrt{2(2k-1)}(2\beta-1) \pm x \frac{\alpha}{\lambda_0} \sqrt{\frac{2}{2k-1}})] = 0 \quad (232)$$

која во согласност со втората од формулите (78) и апроксимациите (210) и (211) преминува во

$$\sum_{p=1}^k \frac{2}{x[\sqrt{2(2k-1)} \cdot 2\beta + x \frac{\alpha}{\lambda_0} \sqrt{\frac{2}{2k-1}}]} \cos \frac{x\alpha}{\lambda_0} (\sqrt{2\beta} + \sqrt{2\beta-1}) \cos \frac{x\alpha}{\lambda_0} (\sqrt{2\beta} - \sqrt{2\beta-1}) = 0 \quad (233)$$

Оваа равенка се разликува од (212) само во вредноста на ампли- тудниот фактор $\frac{2}{x[\sqrt{2(2k-1)} \cdot 2\beta + x \frac{\alpha}{\lambda_0} \sqrt{\frac{2}{2k-1}}]}$ на секој член од сумата.

Не земајќи ја во предвид вредноста на (231), интензитетот апроксимиран преку (78), (210) и (211) во рамнините на максимумите од повисок ред ќе биде даден со

$$I(\bar{\rho}) = K \left(\sum_{n=1}^{\infty} \frac{2}{\pi [\sqrt{2(2n-1)} \rho + \frac{\lambda}{\lambda_0} \sqrt{2n-1}]} \cos \frac{n\alpha}{\lambda_0} (\sqrt{2\rho} + \sqrt{2\rho-1}) \cos \frac{n\alpha}{\lambda_0} (\sqrt{2\rho} - \sqrt{2\rho-1}) \right)^2 \quad (234)$$

што исто така се разликува од изразот (214) по вредностите на амплитудните фактори. Тоа значи дека ќе треба да очекуваме слични слики за распоредот на интензитетот како онаа што ја добивме во рамнината на првиот главен максимум, дадена со Сл.29, само со пониски вредности на интензитетот.

Како што видовме од претходните дискусиии за нас од најголемо значење е определувањето на местото на првиот дифракционен минимум во фокалните рамнини на мрежичката.

Од формулата (233) следува дека првиот минимум секој пар на зони со реден број ρ ќе го даде на место определено со

$$x_{1\rho} = \frac{b_4 \lambda}{2\alpha(\sqrt{2\rho} + \sqrt{2\rho-1})} = \frac{b_4 \lambda}{2\alpha} (\sqrt{2\rho} - \sqrt{2\rho-1}) \quad (235)$$

што е идентично со формулата (213). Меѓутоа не треба да заборавиме дека фокалната рамнина на максимумот со реден број ρ се наоѓа на различно растојание b_4 од еcranот. Ако се работи во паралелна светлина овие растојанија се однесуваат како 1:3:5:..., така што и дифракционата слика ќе биде за три, пет, седум и т.н. пати помала од онаа во првиот главен фокус. Ако се работи пак во цилиндрична светлина поради постоењето на двојните положби $(b_4)_{1,2}$ за секое фокусно растојание, сликата е намалена или наголемена со употреба на фокусна рамнина од повисок ред, во зависност од тоа дали фокусната рамнина е на страната на помали или поголеми вредности од $c/2$ на растојанието на мрежичката од еcranот. Ова е во согласност со дискусијата за добивање на намален или наголемен лик со помош на зонска мрежичка

направена на стр.97. Средниот минимум според (224) ќе биде даден со

$$x_{\min} = \frac{1}{N} \frac{b_n \lambda}{2\alpha} \sum_{k=1}^n (\sqrt{2\beta} - \sqrt{2\beta-1}) \quad (236)$$

што за $N \gg 1$ е приближно дадено со

$$x_{\min} = \frac{b_n \lambda}{2\alpha \sqrt{2N}} = \frac{b_n \lambda}{D} \quad (237)$$

Минималната полуагловна вредност што е потребна да биде задоволен Рејлиевиот критериум за разделување на ликовите, меѓутоа е иста во сите фокални рамнини и зависи само од димензиите на мрежичката и од брановата должина со која се работи. Тоа со други зборови значи дека кога се работи со линеарна зонска мрежичка и при формирањето на ликови се ползува фокална рамнина од повисок ред, која дава на пример наголемен лик, зголемената слика не значи и добивање на повеќе подробни информации за предметот. Тоа иде од тату што вредноста на разделната способност

$$R = \frac{1}{\sin \theta} = \frac{b_n}{x_{\min}} = \frac{D}{\lambda}$$

останува непроменета.

Поради намалувањето на вредноста на интензитетот во фокалните рамнини од повисок ред, тие можат да имаат предност само во случај кога интензитетот во првата фокална рамнина е таков, што, при добивањето на фотографии каде како објектив служи линеарната зонска мрежичка, бара премногу куси експозиции кои ги надминуваат можностите на апаратурата. Значи формирањето на лик во фокална рамнина од повисок ред го продолжува експозиционото време на апаратурата, а квалитетот на сликата во смисол на добивање на повеќе ~~менувани~~ подробности за сликаниот предмет, не се менува.

ГЛАВА VII.

РАСПОРЕД НА ИНТЕНЗИТЕТОТ ВО РАМНИНИТЕ НА ГЛАВНИТЕ МИНИМУМИ КАЈ ЛИНЕАРНАТА ЗОНСКА МРЕЖИЧКА

Рамнините на главните минимуми се определени со вредностите за $\xi \cdot \sqrt{2 \cdot 2k}$ односно $\frac{\alpha^2}{2k\lambda}$ што заменето во равенката (55) за распоредот на интензитетот во рамнините на главните минимуми дава

$$I(\overline{PP}) = \frac{1}{4} K \left\{ \left(\sum_{p=1}^n [C(2\sqrt{k} \cdot 2p) - \frac{x_1 \alpha}{\lambda b} \sqrt{\frac{1}{k}}] + C(2\sqrt{k} \cdot 2p + \frac{x_1 \alpha}{\lambda b} \sqrt{\frac{1}{k}}) - C(2\sqrt{k} \cdot (2p-1) - \frac{x_1 \alpha}{\lambda b} \sqrt{\frac{1}{k}}) - C(2\sqrt{k} \cdot (2p-1) + \frac{x_1 \alpha}{\lambda b} \sqrt{\frac{1}{k}}) \right)^2 + \left(\sum_{p=1}^n [S(2\sqrt{k} \cdot 2p) - \frac{x_1 \alpha}{\lambda b} \sqrt{\frac{1}{k}}] + S(2\sqrt{k} \cdot 2p + \frac{x_1 \alpha}{\lambda b} \sqrt{\frac{1}{k}}) - S(2\sqrt{k} \cdot (2p-1) - \frac{x_1 \alpha}{\lambda b} \sqrt{\frac{1}{k}}) - S(2\sqrt{k} \cdot (2p-1) + \frac{x_1 \alpha}{\lambda b} \sqrt{\frac{1}{k}}) \right)^2 \right\} \quad (238)$$

Бидејќи и овде го бараме распоредот на интензитетот во непосредна близина на оптичката оска, величината $\frac{x_1 \alpha}{\lambda b \sqrt{k}}$ ја сметаме многу мала, така што следејќи ја Сл.26, и овде би можеле да ги направиме апроксимациите (203), (204) и (205) кои пооправдани во колку е поголем редот на минимумот k . Така за распоредот на интензитетот во рамнината на k -тиот минимум ја имаме формулата

$$I(\overline{PP}) = K \left\{ \left(\sum_{p=1}^n [C(2\sqrt{k} \cdot 2p) - C(2\sqrt{k} \cdot (2p-1))] \right)^2 + \left(\sum_{p=1}^n [S(2\sqrt{k} \cdot 2p) - S(2\sqrt{k} \cdot (2p-1))] \right)^2 \right\} \quad (239)$$

при што првиот член во дадена рамнина има мала но константна вредност. Во рамнините на минимумите ќе се менува само вредноста на вториот член.

Екстремните места на распоредот на интензитетот ги наоѓаме преку изедначување со нула на првиот извод

$$\frac{dI}{dx_1} = \frac{dI}{dq} \frac{dq}{dx_1} = 0$$

а бидејќи и овде

$$\frac{dq}{dx_1} = \frac{d}{dx_1} \left(\frac{x_1 \alpha}{\lambda b \sqrt{k}} \right) = \frac{\alpha}{\lambda b \sqrt{k}} \neq 0$$

ке треба да се побараат решенијата на изразот

$$\frac{dI}{da} = 2K \left\{ \sum_{p=1}^n \left[S(2\sqrt{\frac{1}{2}\cdot 2p} \pm \frac{x_0 \alpha}{\lambda b \sqrt{k}}) - S(2\sqrt{\frac{1}{2}(2p-1)} \pm \right. \right. \\ \left. \left. \pm \frac{x_0 \alpha}{\lambda b \sqrt{k}}) \right] \cdot \left\{ \sum_{p=1}^n \left[\sin^2 \frac{\pi}{2} (2\sqrt{\frac{1}{2}\cdot 2p} \pm \frac{x_0 \alpha}{\lambda b \sqrt{k}}) - \sin^2 \frac{\pi}{2} (2\sqrt{\frac{1}{2}(2p-1)} \pm \frac{x_0 \alpha}{\lambda b \sqrt{k}}) \right] \right\} \right\} \quad (240)$$

Израмнувањето со нула на првиот множител на изразот од левата страна ги определува минимумите на (239), зошто кога е

$$\sum_{p=1}^n \left[S(2\sqrt{\frac{1}{2}\cdot 2p} \pm \frac{x_0 \alpha}{\lambda b \sqrt{k}}) - S(2\sqrt{\frac{1}{2}(2p-1)} \pm \frac{x_0 \alpha}{\lambda b \sqrt{k}}) \right] = 0 \quad (241)$$

интензитетот $I(\bar{P}P')$ има минимална вредност рамна на првиот член во (239), т.е.

$$I(\bar{P}P')_{\min} = K \left(\sum_{p=1}^n [S(2\sqrt{\frac{1}{2}\cdot 2p}) - S(2\sqrt{\frac{1}{2}(2p-1)})] \right)^2 \quad (242)$$

Максимумите на осветлувањето во оваа рамнина ќе бидат определени како решенија на равенката

$$\sum_{p=1}^n \left[\sin^2 \frac{\pi}{2} (2\sqrt{\frac{1}{2}\cdot 2p} \pm \frac{x_0 \alpha}{\lambda b \sqrt{k}}) - \sin^2 \frac{\pi}{2} (2\sqrt{\frac{1}{2}(2p-1)} \pm \frac{x_0 \alpha}{\lambda b \sqrt{k}}) \right] = 0 \quad (243)$$

Си помош на формулите (78) и апроксимацијата (205) равенката (241) се трансформира во

$$\sum_{p=1}^n \frac{1}{\pi [2\sqrt{\frac{1}{2}\cdot 2p} \pm \frac{x_0 \alpha}{\lambda b \sqrt{k}}]} \left[\cos^2 \frac{\pi}{2} (2\sqrt{\frac{1}{2}\cdot 2p} \pm \frac{x_0 \alpha}{\lambda b \sqrt{k}}) - \cos^2 \frac{\pi}{2} (2\sqrt{\frac{1}{2}(2p-1)} \pm \frac{x_0 \alpha}{\lambda b \sqrt{k}}) \right] = 0$$

што со помош на (210) преминува во

$$\sum_{p=1}^n \frac{2}{\pi [2\sqrt{\frac{1}{2}\cdot 2p} \pm \frac{x_0 \alpha}{\lambda b \sqrt{k}}]} \sin \frac{\pi}{2} \frac{x_0 \alpha}{\lambda b} (\sqrt{2p} + \sqrt{2p-1}) \sin \frac{\pi}{2} \frac{x_0 \alpha}{\lambda b} (\sqrt{2p} - \sqrt{2p-1}) = 0 \quad (244)$$

Секој пар на зони го постига својот минимум на местото определено со релацијата

$$\frac{\pi x_0 \alpha}{\lambda b_n} (\sqrt{2p} + \sqrt{2p-1}) = p\pi$$

односно

$$\frac{x_{0\min}}{b_n} = \frac{p\lambda}{\alpha(\sqrt{2p} + \sqrt{2p-1})} \quad p=0, \pm 1, \pm 2, \dots \quad (245)$$

Првите минимуми ги добиваме за $p=0$

$$x_{0\min} = 0$$

како што и требаше да се очекува, бидејќи тоа е интензитетот во главните минимуми на оптичката оска.

Местата на максимумите во рамнините на главните минимуми ги наоѓаме од решенијата на равенката (243) која со помош на апроксимацијата (210) преминува во

$$\sum_{p=1}^n \cos \frac{x_p}{\lambda b_n} (\sqrt{2p} + \sqrt{2p-1}) \sin \frac{x_p}{\lambda b_n} (\sqrt{2p} - \sqrt{2p-1}) = 0 \quad (246)$$

Секој пар од зони го постига својот максимум на местото x_{\max} определено со релацијата

$$\frac{\lambda b_n}{2} (\sqrt{2p} + \sqrt{2p-1}) = (2p+1) \frac{\pi}{2}$$

односно

$$\left(\frac{x_p}{b_n} \right)_{\max} = \frac{(2p+1) \lambda}{2\alpha(\sqrt{2p} + \sqrt{2p-1})} = \frac{(2p+1) \lambda}{2\alpha} (\sqrt{2p} - \sqrt{2p-1}) \quad (247)$$

Првите максимуми ги добиваме за $p=0$, т.е.

$$x_{p=0} = \frac{\lambda b_{\min}}{2\alpha} (\sqrt{2} - \sqrt{1}) \quad (248)$$

а оваа формула има идентична десна страна со формулата (235) која ги определуваше местата на првите минимуми во рамнините на главните максимуми. Меѓутоа мораме да водиме сметка дека овде $b_n = b_{\min}$, а во (235) b_n ги определуваа местата на главните максимуми. Тогаш средниот прв максимум во рамнините на главните минимуми ќе биде даден во согласност со (236) преку изразот

$$x_{\text{min}} = \frac{1}{N} \frac{\lambda b_n}{2\alpha} \sum_{p=1}^N (\sqrt{2p} - \sqrt{2p-1}) \rightarrow \frac{\lambda b_{\min}}{2\alpha \sqrt{2N}} \quad (249)$$

Според тоа во рамнините на главните минимуми дифракционата слика ќе се состои од една темна лента во средината на еcranот, чија ширина зависи од редот на главниот минимум во чија рамнина се врши набљудувањето. Кога се работи со цилиндрична светлина и набљудувањата се вршат во рамнини со растојанија од еcranот $b_n < \frac{c}{2}$, или ако имаме паралелна упадна светлина, бидејќи имаме опаѓање на вредноста на b_n , ширината на темната лента во средината на еcranот ќе се смаѓува заедно

со растењето на редот на минимумот. Освен тоа од формулата (249) се гледа дека ширината на лентата исто така зависи од бројот на зоните со кој мрежичката учествува во дифракцијата и е обратно пропорционална со квадратниот корен на редниот број на последната пропусна зона.

Оваа темна лента од двете страни ќе биде ограничена со две посветли ленти, чии средини се определени со (249), а потоа би следеле наизменично светли и темни ленти. Поради тоа што модулационите амплитуди на членовите во сумата (244) чиј квадрат како и во случајот на (214) може да го апроксимира распоредот на интензитетот во рамнината на главниот минимум, се претставени со помош на синусни функции, би требало да се очекува извесно растење на интензитетот на периферните ленти, кое потоа периодично се ослабува и расте во согласност со периодата на вкупната модулација. Нашата теорија се однесува на распоредот на интензитетот во близина на оптичката оска, а како што покажува теоријата тука имаме минимален интензитет.

За да ги потврдиме овие теоретски претпоставки и да добиеме поблиска претстава за распоредот на интензитетот од бројот на зоните во рамнината на првиот главен минимум, табеларно и графички ќе го испитаме распоредот на интензитетот во зависност од бројот на зоните во рамнината на првиот главен минимум. Ќе се задржиме на мрежичката и растојанијата избрани во нашиот конкретен пример, т.е. $b = 0,9079$ м, $a = 10^{-3}$ м и $\lambda = 6328 \cdot 10^{-10}$ м. Во табелата 14 дадени се вредностите на интензитетите на негативни мрежички со $N=3, 10$ и 100 во зависност од растојанието од оската x . Вредностите на интензитетите се пресметани со помош на електронски пресметнувач, преку програмирање на функцијата (238) за $k = 1$.

Табела 14

Распоред на интензитетот во рамнината на првиот
главен минимум

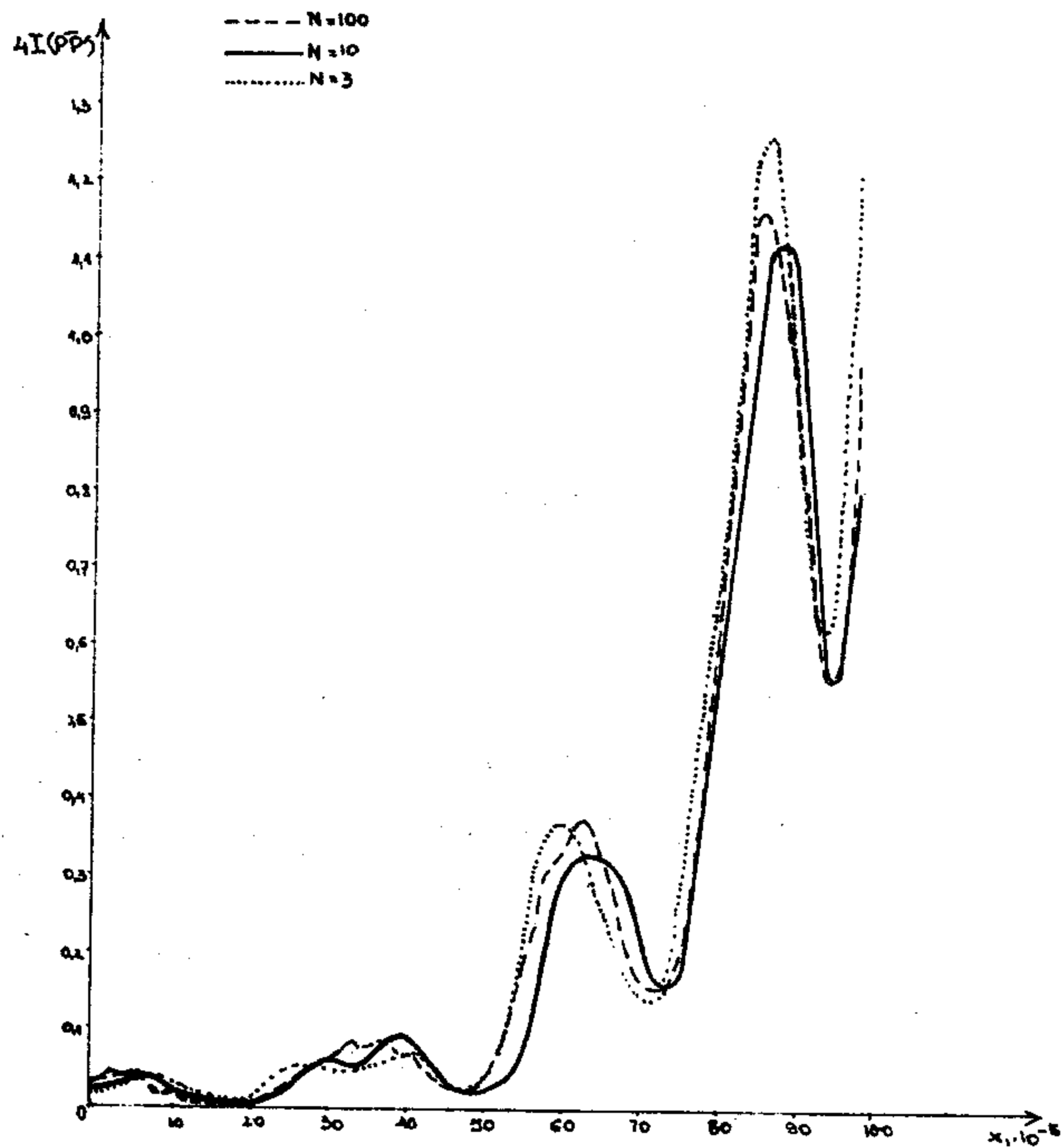
$x_1 \cdot 10^{-5} \text{м}$	$I_{n=3}$	$I_{n=10}$	$I_{n=100}$
0	0,01614	0,02372	0,03161
1	0,01656	0,02481	0,03534
2	0,01784	0,02786	0,03892
3	0,01989	0,03224	0,03359
4	0,02260	0,03666	0,02769
5	0,02571	0,03945	0,02886
6	0,02884	0,03914	0,03043
7	0,03151	0,03512	0,02435
8	0,03316	0,02815	0,01771
9	0,03331	0,01995	0,01695
10	0,03162	0,01247	0,01702
11	0,02806	0,00696	0,01180
12	0,02292	0,00366	0,00657
13	0,01683	0,00206	0,00533
14	0,01067	0,00142	0,00491
15	0,00544	0,00121	0,00235
16	0,00205	0,00115	0,00092
17	0,00117	0,00106	0,00096
18	0,00309	0,00089	0,00108
19	0,00766	0,00095	0,00251
20	0,02222	0,00206	0,00666
21	0,03039	0,00547	0,00930
22	0,03789	0,01177	0,01038

$x_1 \cdot 10^{-5} M$	$I_{N=3}$	$I_{N=10}$	$I_{N=100}$
23	0,03789	0,02112	0,01592
24	0,04399	0,03203	0,02592
25	0,04827	0,04228	0,03118
26	0,05068	0,04980	0,03234
27	0,05129	0,05363	0,04023
28	0,05068	0,05423	0,05409
29	0,04934	0,05314	0,06015
30	0,04781	0,05216	0,05911
31	0,04657	0,05293	0,06574
32	0,04602	0,05650	0,07929
33	0,04641	0,06326	0,08287
34	0,04788	0,07275	0,07678
35	0,05045	0,08345	0,07813
36	0,05399	0,09285	0,08659
37	0,05820	0,09806	0,08471
38	0,06260	0,09684	0,07255
39	0,06653	0,08870	0,06691
40	0,06917	0,07521	0,06793
41	0,06973	0,05943	0,06092
42	0,06754	0,04460	0,04644
43	0,06232	0,03298	0,03773
44	0,05432	0,02531	0,03442
45	0,04447	0,02107	0,02815
46	0,03437	0,01921	0,02124
47	0,02619	0,01883	0,01967

$x_1 \cdot 10^{-5} \text{ M}$	$I_{n=3}$	$I_{n=10}$	$I_{n=400}$
48	0,02236	0,01963	0,02061
49	0,02527	0,02208	0,02482
50	0,03677	0,03758	0,03772
51	0,05785	0,03841	0,05474
52	0,08838	0,05720	0,06804
53	0,12696	0,08595	0,08854
54	0,17111	0,12470	0,12580
55	0,21750	0,17065	0,16322
56	0,26242	0,21846	0,18607
57	0,30228	0,26175	0,21448
58	0,33404	0,29521	0,26258
59	0,35560	0,31636	0,30369
60	0,36596	0,32599	0,31703
61	0,36530	0,32735	0,32953
62	0,35473	0,32460	0,35930
63	0,33611	0,32113	0,37592
64	0,31169	0,31851	0,35772
65	0,28381	0,31608	0,33453
66	0,25465	0,31129	0,32597
67	0,22606	0,30057	0,30684
68	0,19955	0,28096	0,26292
69	0,17633	0,25196	0,22115
70	0,15743	0,21698	0,19573
71	0,14392	0,18351	0,17378
72	0,13704	0,16147	0,15584

$x_1 \cdot 10^{-5} \text{ m}$	$I_{N=5}$	$I_{N=10}$	$I_{N=100}$
73	0,13840	0,16018	0,15706
74	0,15001	0,18522	0,17437
75	0,17430	0,23666	0,20793
76	0,21389	0,30940	0,27518
77	0,27125	0,39562	0,37043
78	0,34821	0,48776	0,46203
79	0,44529	0,58082	0,55903
80	0,56106	0,67317	0,69434
81	0,69155	0,76548	0,84069
82	0,82994	0,85871	0,93976
83	0,96674	0,95171	1,00639
84	1,09037	1,03934	1,094413
85	1,18843	1,11201	1,16354
86	1,24950	1,15701	1,15326
87	1,26510	1,16199	1,09296
88	1,23173	1,11956	1,04140
89	1,15235	1,03158	0,97737
90	1,03717	0,91098	0,86306
91	0,90310	0,77961	0,73754
92	0,77207	0,66323	0,64819
93	0,66812	0,58435	0,58778
94	0,61369	0,55681	0,55354
95	0,62577	0,58361	0,57141
96	0,71237	0,65837	0,63749
97	0,87041	0,76947	0,73811
98	1,08516	0,90447	0,89597

Врз база на вредностите наведени во табелата 14 нацртан е графикот за распоредот на интензитетот во рамнината на првиот главен минимум на Сл.31. Полната линија го претставува интензитетот на мрежичка со $N = 10$, испрекинатата линија се однесува на $N = 100$, а онаа со ситни точки на мрежичка со $N = 3$.



Сл.31

Сд грациите се гледа дека во близина на оптичката оска без оглед на бројот на зоните со кој учествува мрежичката, треба да

се очекува една темна лента со минимално осветлување од страните ограничена со посветли ленти, чиј интензитет варира со вкупната модулација на интензитетот во рамнината на првиот главен минимум. Како што гледаме рамнината на првиот главен минимум не е рамнина во која имаме отсуство на осветлување, туку рамнина во која централниот дел од дифракционата слика има минимално осветлување. Затоа при експерименталното регистрирање на главниот минимум вдолж оптичката оска, би требало да се внимава отворот на фотометарот да биде со толкова ширина, што ќе го опфаќа само централниот дел околу оптичката оска. Во нашиот конкретен пример би требало да се внимава отворот на фотометарот да биде со толкова ширина што ќе изнесува $2.20 \cdot 10^{-5}$ м односно 0,4мм, зошто како што се гледа од графикот на Сл.31 во овој интервал и во колку има појава на мали осцилирања на вредноста на интензитетот, тие незнатно би влијаеле врз средната вредност на интензитетот што би ја регистрирал фотометарот.

Што се однесува до распоредот на интензитетот во рамнините на главните минимуми од повисок ред, од формулите (245) и (248) следува дека дифракционата слика во рамнината на k -тиот минимум ќе биде слична со онаа претставена на Сл.31, само координатата x_k на било кој екстрем во оваа рамнина ќе има вредност која е помала или поголема за износ $b_k/0,9079$ односно $b_k/6,0921$ од x_k во рамнината на првиот главен минимум, во зависност од тоа дали $b_k < \frac{c}{2}$ или $b_k > \frac{c}{2}$. Ако пак се работи со паралелна упадна светлина ќе имаме намалување на ширината на дифракционата слика од $c/0,7901$ пати. Вредностите на b_k и x_k треба да бидат земени од табелата 4.

ЗАКЛУЧОК

Предмет на испитување во оваа дисертација е поставување на теоријата на дифракција кај линеарната зонска мрежичка.

Пред да биде преминато кон теориското разгледување на проблемот на дифракција кај мрежичката, со помош на примената на Хајгенс-Френеловиот принцип врз цилиндричен бранов фронт е констатирано дека линеарната зонска мрежичка претставува дифракциона препрека која со својата конструкција обезбедува суперпонирање и поништување на интензитетот на дифрактираната светлина на поедини места во просторот, и како таква претставува интересен оптички инструмент чии особини заслужуваат поподробна теориска анализа.

Како теориска база за разгледување на проблемот на дифракцијата е земена Кирхофовата дифракциона апроксимација, која претходно е специјализирана за случај на цилиндрични бранувања. Третиран е проблемот на Френелова дифракција кај позитивните и негативните мрежички од типот на Сорé и тоа во случај на цилиндрична и рамна упадна светлина на мрежичката. При тоа подробно е разработен распоредот на интензитетот вдолж правите кои стojат нормално на оптичката оска, односно во оптичката осна рамнина, како и распоредот на интензитетот во главните фокални рамниччи.

Теориски добиените резултати укажуваат на следните особини на линеарната зонска мрежичка:

1. Положбите на линеарната зонска мрежичка во однос на екранот и светлинскиот извор за кои е исполнет условот
$$\frac{f}{a+b} = \frac{\alpha^2}{m\lambda}$$
 за цилиндрична упадна светлина и
$$\frac{f}{b} = \frac{\alpha^2}{m\lambda}$$
 за рамна упадна светлина, каде m е цел број,

се карактеристични за мрежичката, зошто тоа се положби кога во фотометарот (екранот) се регистрираат т.н. главни екстремни вредности на интензитетот на дифрактирана светлина.

2. Положбите кои одговараат на непарните фокусни растојанија

$$\frac{d}{\lambda} = \frac{\alpha^2}{2(2k-1)}$$

се положби при кои се регистрира максимум на интензитетот во централниот дел на дифракционата слика. Значи линеарната зонска мрежичка поради своите фокусирачки особини може да игра улога на цилиндрична лека со повеќекратни фокусни растојанија.

3. Вредноста на интензитетите во главните максимуми зависи од редот на максимумот и тие се однесуваат како

$$I_1 : I_3 : I_5 : \dots : I_{2k-1} = 1 : 1/3 : 1/5 : \dots : 1/(2k-1)$$

4. Положбите на мрежичката за кои е обезбедена вредноста на непарните фокусни растојанија

$$\frac{d}{\lambda} = \frac{\alpha^2}{2k}$$

даваат минимум на осветлување во централниот дел на дифракционата слика. Тоа е резултат што теоријата го дава за бинарните мрежички од типот на Сорé.

5. Помеѓу било кои два сукцесивни главни максимуми вдолж оптичката оска се јавуваат и споредни максимуми и минимуми, чиј број за мрежичка со по N зони од двете страни на оската изнесува $2N-2$ споредни минимуми и $2N-2$ споредни максимуми. Интензитетот што се добива во споредните максимуми е незначителен во однос на интензитетот во главните максимуми.

6. Со растењето на редот на фокусното растојание главните максимуми стануваат се погусти. Поради тоа и поради најголемата вредност на интензитетот што во него се добива, најголемо теориско и експериментално внимание заслужува првиот гла-

вен фокус или максимум од прв ред.

7. Поради зависноста на вредноста на фокусните растојанија од брановата должина, линеарната зонска мрежичка врши хроматско разлагање на компонентите од кои е составено бранувањето на светлинскиот извор со кој е осветлена мрежичката. Разлагањето се врши во оптичката осна рамнина. Максимумите од прв ред на соодветните бранови должини го составуваат спектарот од прв ред, вторите главни фокуси на брановите компоненти го даваат спектарот од втор ред, и т.н. Поради најголемата оддалеченост од останатите максимуми и во овој случај најпогодно за набљудување би било разлагањето што се врши во спектарот од прв ред. При тоа хроматската разделна способност кај спектарот од прв ред е еквивалентна со разделната способност што се постига кај спектарот од прв ред на дифракционата решетка, и е пропорционална со вкупниот број на пропусни зони на мрежичката.

8. Поради обратно пропорционалната зависност на фокусните растојанија од брановата должина, линеарната зонска мрежичка има голема дисперзионна способност во подручјата на кусите бранови должини, што ја прави особено погодна за испитување во областа на ултравиолетовото браново подручје и на X зраците.

9. Во рамнините на главните фокуси распоредот на интензитетот е таков што во централниот дел на дифракционата слика се јавува силно осветлена централна лента со интензитет кој е пропорционален со квадратот на вкупната пропусна површина на мрежичката. Централната лента е ограничена со темни и светли ленти при што интензитетот на последните е назначителен во однос на централната.

Ширината на централната лента е обратно пропорционал-

на со вкупниот број на пропусни зони на мрежичката. Агловната вредност што одговара на првиот дифракционен минимум кој ја ограничува централната лента е еднаква за сите фокусни рамнини и изнесува

$$\sin \theta = \frac{x}{L} = \frac{\lambda}{2\alpha\sqrt{2N}} \quad \text{кога } N \rightarrow \infty$$

10. Разделната способност при формирање на ликови кај линеарната зонска мрежичка е нешто поголема од разделната способност на сверната зонска мрежичка со ист број на зони, па во тој поглед има извесна предност.

Голема разделна способност $R = \frac{D}{\lambda}$ кај линеарната зонска мрежичка може да се постигне и преку избор на мала вредност на брановата должина. Во тој смисол и линеарната зонска мрежичка би можела да одигра одлучна улога за постигавање на голема вредност на разделната способност во рентгенската микроскопија.

Со сите гореспоменати особини располагаат и негативните и позитивните линеарни зонски мрежички од типот на Соре.

Од сето погоре споменатото може да се заклучи дека линеарната зонска мрежичка може да биде добра замена на цилиндричната лека онаму каде таа неможе да биде применета, исто како што и кружната зонска мрежичка ја заменува сверната лека.

Од друга страна бидејќи формирањето на прачкаст светлински извор е многу полесно од колку на точкаст, а многу по-лесно е и конструиравањето на линеарната зонска мрежичка од колку на сверната, би можноло да се рече дека линеарната зонска мрежичка би можела да има извесна предност над сверната секаде онаму каде има потреба од нивната примена.

ДОДАТОК

ТАВЕЛА I

Вредности на функциите $Q(\sigma)$ и $P(\sigma)$

σ	$Q(\sigma)$	$P(\sigma)$	σ	$Q(\sigma)$	$P(\sigma)$
0,0	0,5000	0,5000	2,5	0,1265	0,0062
0,1	0,4931	0,4078	2,6	0,1217	0,0056
0,2	0,4760	0,3306	2,7	0,1172	0,0050
0,3	0,4528	0,2671	2,8	0,1172	0,0045
0,4	0,4265	0,2154	2,9	0,1093	0,0041
0,5	0,3992	0,1736	3,0	0,1057	0,0037
0,6	0,3723	0,1402	3,1	0,1023	0,0033
0,7	0,3466	0,1135	3,2	0,0991	0,0030
0,8	0,3225	0,0992	3,3	0,0961	0,0027
0,9	0,3002	0,0753	3,4	0,0934	0,0024
1,0	0,2799	0,0617	3,5	0,0908	0,0022
1,1	0,2614	0,0508	3,6	0,0882	0,0021
1,2	0,2447	0,0422	3,7	0,0857	0,0020
1,3	0,2294	0,0353	3,8	0,0834	0,0019
1,4	0,2158	0,0296	3,9	0,0814	0,0017
1,5	0,2034	0,0250	4,0	0,0794	0,0016
1,6	0,1925	0,0214	4,1	0,0776	0,0014
1,7	0,1819	0,0181	4,2	0,0758	0,0013
1,8	0,1725	0,0156	4,3	0,0740	0,0012
1,9	0,1645	0,0136	4,4	0,0724	0,0012
2,0	0,1566	0,0118	4,5	0,0708	0,0011
2,1	0,1495	0,0103	4,6	0,0693	0,0011
2,2	0,1429	0,0090	4,7	0,0678	0,0010
2,3	0,1369	0,0080	4,8	0,0663	0,0009
2,4	0,1316	0,0070	4,9	0,0650	0,0009

ЦИТИРАНА ЛИТЕРАТУРА

- [1] Sorret J.L., Arch.Sci.Phys.Naturelles 1,52,/1875/
- [2] Fresnel A.J., Ann.Chim.etPhys. 9,246,/1819/
- [3] Cornu A., Compt rendu 80,645,/1875/
- [4] Mozer J., Bahčevandiev S., Jonoska M., Janikijevik Lj., God. Zborn.na PMF-Skopje, 16A.65,/1965/
- [5] Mozer J., Bahčevandiev S., Jonoska M., Janikijevik Lj., God. Zborn.na PMF-Skopje, 19A,55,/1969/
- [6] Wood R.W., Phil.Mag. /5/ 45,511,/1898/
- [7] Boivin A., Journ.Opt.Soc.Amer. 42,60,/1952/
- [8] Mozer J., God.Zborn. na Fil.Fak.-Skopje,10,75,/1957/
- [9] Sussman M., Amer.Journ.Phys. 28,60,/1960/
- [10] Myers O.E., Amer.Journ.Phys. 19,359,/1951/
- [11] Rajskij S.M. Usp.Fiz.Nauk /47/,4,515,/1959/
- [12] Bahčevandiev S., Doktorska disertacija, Skopje /1960/
- [13] Kogo Kamya, Science of Light /2,3/ 12,36,/1963/ Tokio
- [14] Mozer J., Doktorska disertacija, Skopje /1961/
- [15] Boivin A., "Theorie et calcul des figures de diffraction de revolution" Presses de l Université Laval, Quebec/1964/
- [16] Arsenault H., Journ.Opt.Soc.Amer. 58,1536,/1968/
- [17] Stigliani J., Mitra R., Semonin R., Journ. Opt.Soc. Amer. 57,610,/1967/
- [18] Gabor D., Proc.Roy.Soc./London/ A197,454,/1949/
- [19] Rogers G.L., Nature 166,237,/1950/
- [20] Rozenberg G., Usp.Fiz.Nauk /3/ 50,467,/1953/
- [21] Champagne E., Appl.Opt. 7,381,/1968/
- [22] Horman M.H., Chau H.H.M., Appl.Opt. 6,317,/1967/
- [23] Chau H.H.M., Appl.Opt. 8,1209,/1966/
- [24] Mozer J., Spiegelhalter, Optik,27,570,1968
- [25] Lohman A.W.,Paris D.P., Appl.Opt.6,1567,/1967/
- [26] Hart H.,Scrandis J.,Mark R.,Hatcher R., Journ.Opt.Soc.Amer. 56,1018,/1966/
- [27] Baez A., Journ.Opt.Soc. Amer. 51,405,/1961/
- [28] Janke E.,Emde F.,Leš F., "Specialjnie funkcii" Nauka izd. Moskva /1964/
- [29] Abramovitch M., Stegun J.A., " Handbook of Mathematical Functions" N.Y. Pover Publication /1965/

- [30] Born M., Wolf E., "Principles of Optics" Pergamon Press, London, /1970/
- [31] Theocaris P., "Moire Fringes in Strain Annalysis" Pergamon Press, London /1969/
- [32] Bronštajn I.N., "Spravočnik po matematike" Moskva /1965/
- [33] Wingaarden A., Scheen W.L., " Table of Fresnel Integrals" Nord Holland Company, Amsterdam /1949/
- [34] Jolley L.B., "Summation of Series" Chapman & Hall Ltd., London, /1925/
- [35] Landsberg G.S., "Optika" Naučna Knjiga, Beograd /1967/